

GM 62383

CAMPAGNE DE SONDAGE 2005, SECTEUR DES INDICES CR-1 ET CR-16-18-19, CR-17 ET CR-31 DU COMPLEXE ULTRAMAFIQUE DE MENARIK

Documents complémentaires

Additional Files



Licence



Licence

Cette première page a été ajoutée au document et ne fait pas partie du rapport tel que soumis par les auteurs.

Énergie et Ressources
naturelles

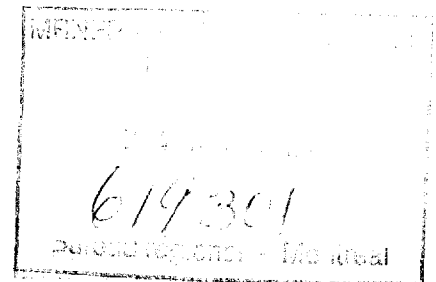
Québec 

RESSOURCES MINIÈRES PRO-OR INC.

PROJET MÉNARIK

**CAMPAGNE DE SONDAGES 2005, SECTEUR DES INDICES CR-1 ET CR-16-18-19, CR-17 ET CR-31
DU COMPLEXE ULTRAMAFIQUE DE MÉNARIK**

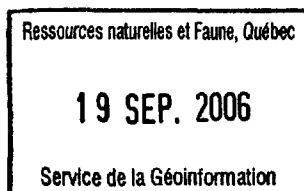
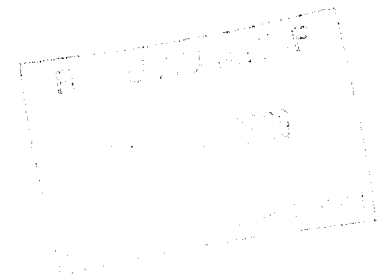
Par



Marc R. LaFlèche, Mario Bergeron, Yvan Bussièrès et Omer Sabary Nzangou

en collaboration avec

Yves Pelletier, V.P. Exploration Pro-Or inc.



Le 12 DÉCEMBRE 2005

GM 6 2 3 8 3

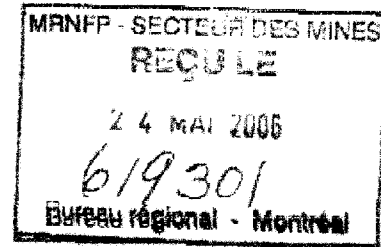
619301

RESSOURCES MINIÈRES PRO-OR INC.

PROJET MÉNARIK

CAMPAGNE DE SONDAGES 2005, SECTEUR DES INDICES CR-1 ET CR-16-18-19, CR-17 ET CR-31
DU COMPLEXE ULTRAMAFIQUE DE MÉNARIK

Par



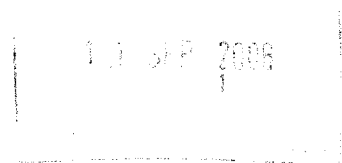
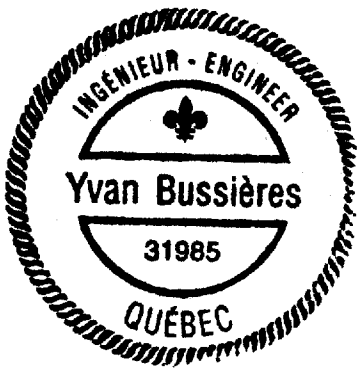
Marc R. LaFlèche, Mario Bergeron, Yvan Bussièrès et Omer Sabary Nzangou

en collaboration avec

Yves Pelletier, V.P. Exploration Pro-Or inc.



Le 12 DÉCEMBRE 2005



Yvan Bussièrès

619301

RÉSUMÉ

Au début de 2005, Ressources Minières Pro-Or a commandité l'exécution de 24 sondages carottés totalisant 3909 mètres sur sa propriété Ménarik localisée sur le Territoire de la Baie James (Qc). Les nouveaux sondages visaient à poursuivre l'évaluation du potentiel minéral en chromitites platinifères dans les parties Nord et Centre-Nord du Complexe ultramafique de Ménarik.

Les forages ont été réalisés par le contracteur Forage Mercier de Val-d'Or et la supervision des forages par une équipe géologique indépendante dirigée par le consultant Yvan Bussièrès (ing. géologue). Le premier forage (MK-05-14) a été implanté le 3 avril 2005 et le dernier (MK-05-37) le 27 avril 2005.

Les 24 sondages visaient des cibles situées à l'intérieur de la masse de roches ultramafiques. Ces derniers visaient l'évaluation des prolongements latéraux et verticaux des indices de chrome Cr-1, Cr-16-18-19, Cr-17 et Cr-31. Vingt et un des 24 sondages ont intersecté des unités de chromitites associées aux indices reconnus à la surface. Les sondages, d'une longueur moyenne de 163 m, ont recoupé en tout 24 intersections significatives ($\text{Cr}_2\text{O}_3 > 6\%$) de chromitites stratiformes rapportant une teneur moyenne de 8,14 % Cr_2O_3 sur une épaisseur moyenne de 10,65 m. Seul les sondages MK-05-17 et MK-05-26 ont intersecté des zones de chromitites moins riches (inf. à 5,0 % Cr_2O_3) titrant entre 3,78 et 4,93 % Cr_2O_3 respectivement sur 2,3 à 10,9 m d'épaisseur.

Les sondages recoupant les indices Cr-1, Cr-16-18-19, Cr-17 et Cr-31 ont permis de confirmer ou de documenter leurs continuités latérales tout autant que verticales.

Les forages de 2005 confirment une fermeture de la zone Cr-1 vers l'est en raison d'un contact entre le massif péridotitique et l'encaissant gabbroïque et tonalitique. Toutefois, dépendamment du pendage des structures impliquées, la zone pourrait continuée vers l'est mais cette fois plus en profondeur (à plus de 150 m).

L'indice de chromitite Cr-1 demeure probablement ouvert vers l'ouest (entre 0 et 150 m de profondeur) ainsi qu'en profondeur (à plus de 230 m).

L'indice de chromitite Cr-16-18-19 (décrite comme la zone Cr-16 dans ce rapport) demeure ouvert vers l'est (entre 0 et 100 m) ainsi qu'en profondeur (à plus de 200 m). Vers l'ouest, la zone minéralisée semble être fermée entre 0 et 150 m de profondeur en raison de l'absence d'intersections dans les sondages MK-05-22 et MK-97-32. Toutefois, il est probable que la zone minéralisée soit présente à plus de 175 m.

L'indice de chromitite Cr-17 demeure ouvert vers l'est et l'ouest ainsi que vers la surface (entre 0 et 75 m de profondeur). L'absence de minéralisations chromifères dans les trous MK-05-29 et MK-05-32 suggère que la zone minéralisée soit fermée en dessous de 200 m.

L'indice de chromitite Cr-31 demeure ouvert vers l'ouest et en profondeur et semble fermé vers l'est tel que démontré par les sondages MK-05-31 et MK-05-32 qui n'ont pas intersectés de minéralisations chromifères.

Les résultats de campagne de 2005 combinés aux données des campagnes antérieures, confirment le fort potentiel chromifère de la propriété Ménarik.

TABLE DES MATIÈRES

RÉSUMÉ	page
1- INTRODUCTION.	6
2- RESPONSABILITÉS TECHNIQUES	6
3. DESCRIPTION DE LA PROPRIÉTÉ MENARIK	8
3.1 LOCALISATION ET ACCÈS	8
3.2 PHYSIOGRAPHIE	10
4- TITRES MINIERS	11
5-TRAVAUX ANTÉRIEURS	15
5.1 TRAVAUX ANTÉRIEURS À CEUX DE RESSOURCES MINIÈRES PRO-OR INC.	15
5.2 TRAVAUX RÉALISÉS PAR RESSOURCES MINIÈRES PRO-OR INC.	15
5.2.1 Campagnes de forage sur la propriété Ménarik (secteur du Complexe intrusif de Ménarik)	15
5.2.1.1 Campagne de 1988 (texte tiré de Pelletier, 1990)	15
5.2.1.2 Campagne de 1989 (texte tiré de Pelletier, 1990)	16
5.2.1.3 Campagne de 1997(texte tiré de Pelletier, 1998)	17
5.2.14 Travaux de la campagne de décembre 2004.	20
6- GÉOLOGIE RÉGIONALE	23
7. GÉOLOGIE DE LA PROPRIÉTÉ MÉNARIK	26
7.1 LE COMPLEXE INTRUSIF DE MÉNARIK (SÉQUENCES ULTRAMAFIQUE ET MAFIQUE)	28
7.2 STRUCTURE	28
8. MINÉRALISATIONS	30
8.1 MINÉRALISATIONS LIÉES AU COMPLEXE INTRUSIF DE MÉNARIK	30
9- CAMPAGNE DE SONDAGES 2005	32
9.1 LOCALISATION DES SONDAGES	32
9.2 TRANSPORT ET ENTREPOSAGE DES CAROTTES DE FORAGE	33
	4

9.3 PRÉPARATION DES ÉCHANTILLONS	36
9.4 ANALYSE CHIMIQUE DES ÉCHANTILLONS	36
9.5 PRÉSENTATION DES RÉSULTATS	39
9.5.1 Sondages visant spécifiquement l'indice Cr-1 (MK-05-14, MK-05-23, MK-05-24, MK-05-25 et MK-05-26)	40
9.5.2 Sondages visant l'intersection des indices Cr-1 et Cr-16 (MK-05-15, MK-05-16, MK-05-17, MK-05-18 et MK-05-19)	41
9.5.3 Sondages visant spécifiquement l'intersection de l'indice Cr-16 (MK-05-20, MK-05-21 et MK-05-22).	42
9.5.4 Sondages visant l'intersection des indices Cr-17 et 31.	43
9.5.4.1 Section des sondages MK-05-27, MK-05-28 et MK-05-29	43
9.5.4.2 Sondage MK-05-30	44
9.5.4.3 Section des sondages MK-05-31 et, MK-05-32	44
9.5.4.4 Section des sondages MK-05-33 et MK-05-34	45
9.5.4.5 Section des sondages MK-05-35 et MK-05-36	45
9.5.4.6 Sondage MK-05-37	46
9.5.5 Angles d'intersection des sondages avec le litage stratigraphique des chromitites.	46
9.6 SECTIONS LONGITUDINALES	48
9.6.1 Sections longitudinales (Cr1-Cr16)	48
9.6.2 Section longitudinale (Cr17-Cr31)	51
9.7 SECTIONS TRANSVERSALES	52
9.7.1 Section transversale (Cr1-Cr16)	52
9.7.2 Section transversale (Cr17-Cr31)	55
9.8 LONGITUDINALES INTERPRÉTÉES DES INDICES CR-1, CR-16, CR-17 ET CR-31.	58
9.9 ENRICHISSEMENT RELATIF DES CONCENTRÉS DE CHROMITE DES INDICES CR-1, CR-16, CR-17 ET CR-31.	63
10- CONCLUSION ET RECOMMANDATIONS	65
11. REFERENCES BIBLIOGRAPHIQUES	67
ANNEXES	69
ANNEXE I. JOURNAUX DES SONDAGES	
ANNEXE II. RÉSULTATS ANALYTIQUES ET CERTIFICATS D'ANALY SE (INRS-ETE)	
ANNEXE III. RÉSULTATS ANALYTIQUES ET CERTIFICATS D'ANALY SE (CHIMITEC)	
ANNEXE IV. SECTIONS DE FORAGE DE 2005	
ANNEXE V. LOG STRATIGRAPHIQUES DES FORAGES DE 2005	

1- INTRODUCTION.

Ressources Minières Pro-Or inc. a financé en 2005 la réalisation de 24 sondages carottés totalisant 3909 mètres dans le complexe ultramafique inclut dans sa propriété Ménarik (Baie James, Qc). Les forages ont été dirigés vers les indices Cr1 et Cr16-18-19, Cr17 et Cr31 compris dans un ensemble de roches péridotitiques situées dans les parties Nord et Centre-Nord du Complexe ultramafique de Ménarik.

Les 24 sondages ont tous été dirigés sous des indices de chromite déjà connus. Ces forages visaient l'exploration des prolongements latéraux et verticaux des indices Cr-1, Cr-16-18-19 (préalablement investigués lors de la campagne de 2004) et les indices Cr17 et Cr-31 situés plus au sud. Notez que ces indices ont antérieurement été forés lors des campagnes de forage de 1988, 1989 et 1997.

En plus des résultats des données recueillies lors de la campagne de sondage d'avril 2005, ce rapport comprend une compilation des anciennes données de forage de Pro-Or inc et intègre les informations provenant de la campagne de décembre 2004. Ces données ont été compilées numériquement, synthétisées et harmonisées afin d'apporter une constance dans la terminologie utilisée par les différents géologues ayant décrit la carotte de forage sur la propriété Ménarik.

2- RESPONSABILITÉS TECHNIQUES

La planification, la sélection des cibles, l'interprétation des données, et la supervision générale du projet ont été réalisés par une équipe constituée de Yvan Bussièrès (ing. Géol. consultant) et Marc R. LaFlèche (INRS). M. Yvan Bussièrès, ingénieur géologue, a dirigé les travaux de terrain, décrit la carotte et choisi les zones d'échantillonnage au cours de la campagne de sondage. Il a été assisté de Guy Scherrer (géologue, M.Sc.) et de Christopher Cyr (homme de camp). Les journaux de sondage d'Yvan Bussièrès sont présentés à l'annexe I.

Les analyses chimiques ont été réalisées sous la supervision du Dr Omer S. Nzangou (géochimiste) et de Stéphane Prémont (chimiste et responsable des laboratoires de l'INRS-ETE). Les analyses de métaux précieux (Au, Pt et Pd) ont été réalisées sous la supervision des chimistes et techniciens de Chimitec aux laboratoires de Val-d'Or (Qc) et de Vancouver (CB).

Marco Boutin, technicien de l'INRS-ETE s'est occupé de l'impression des sections et des plans.

Le forage proprement dit a été réalisé à contrat par Forage Mercier inc de Val-d'Or (Qc). L'auteur principal a effectué la saisie des résultats d'analyse et formaté les informations des journaux de sondage dans un format compatible avec le logiciel *Downhole Explorer 3.0*.

L'original des journaux de forage est conservé au bureau de Ressources minières Pro-Or inc. De multiples vérifications ont été faites pour s'assurer de l'exactitude du processus de transfert des données. Toutefois, il demeure possible que quelques erreurs mineures se soient glissées lors de l'intégration finale des données.

3. DESCRIPTION DE LA PROPRIÉTÉ MENARIK

3.1 LOCALISATION ET ACCÈS

La propriété est située à l'extrémité orientale du lac Ménarik dans le canton projeté 3114 du territoire de la municipalité de la Baie James, à l'intérieur du feuillet topographique 33F/6 (SNRC). Le village de Radisson et la centrale hydroélectrique de LG-2 se trouvent à environ 45 kilomètres au nord-ouest (figures 1 et 2). L'aéroport de Radisson-LG2 est desservi par des vols réguliers de Montréal, Québec et Val d'Or.

La route carrossable la plus proche, qui relie la centrale de LG-3 à la route pavée de Matagami-Radisson, passe à 7 km au sud, tandis que cette dernière se trouve à environ 12 km à l'ouest des claims. Un chemin utilisable par des véhicules sur chenilles a été tracé entre la propriété et ces deux routes, d'abord lors de la construction d'une ligne électrique de 740 kilovolts qui recoupe le coin sud-ouest des terrains miniers, puis lors des campagnes de sondages commanditées par Ressources minières Pro-Or inc. en 1988, 1989, 1994, 1997, 2004 et 2005.

L'été, on peut accéder à la propriété en canot motorisé en empruntant une série de voies navigables sur environ 16 km à partir de la route Matagami-Radisson. Des avions sur flotteurs peuvent aussi se poser sur le lac Ménarik mais l'hélicoptère reste le moyen le plus rapide et le plus flexible pour se rendre sur la propriété. Sur l'un des anciens sites de campement de Pro-Or inc., à l'extrémité est du lac Menarik, on trouve maintenant un camp de chasse et pêche relativement bien aménagé.

Localisation du projet Ménarik

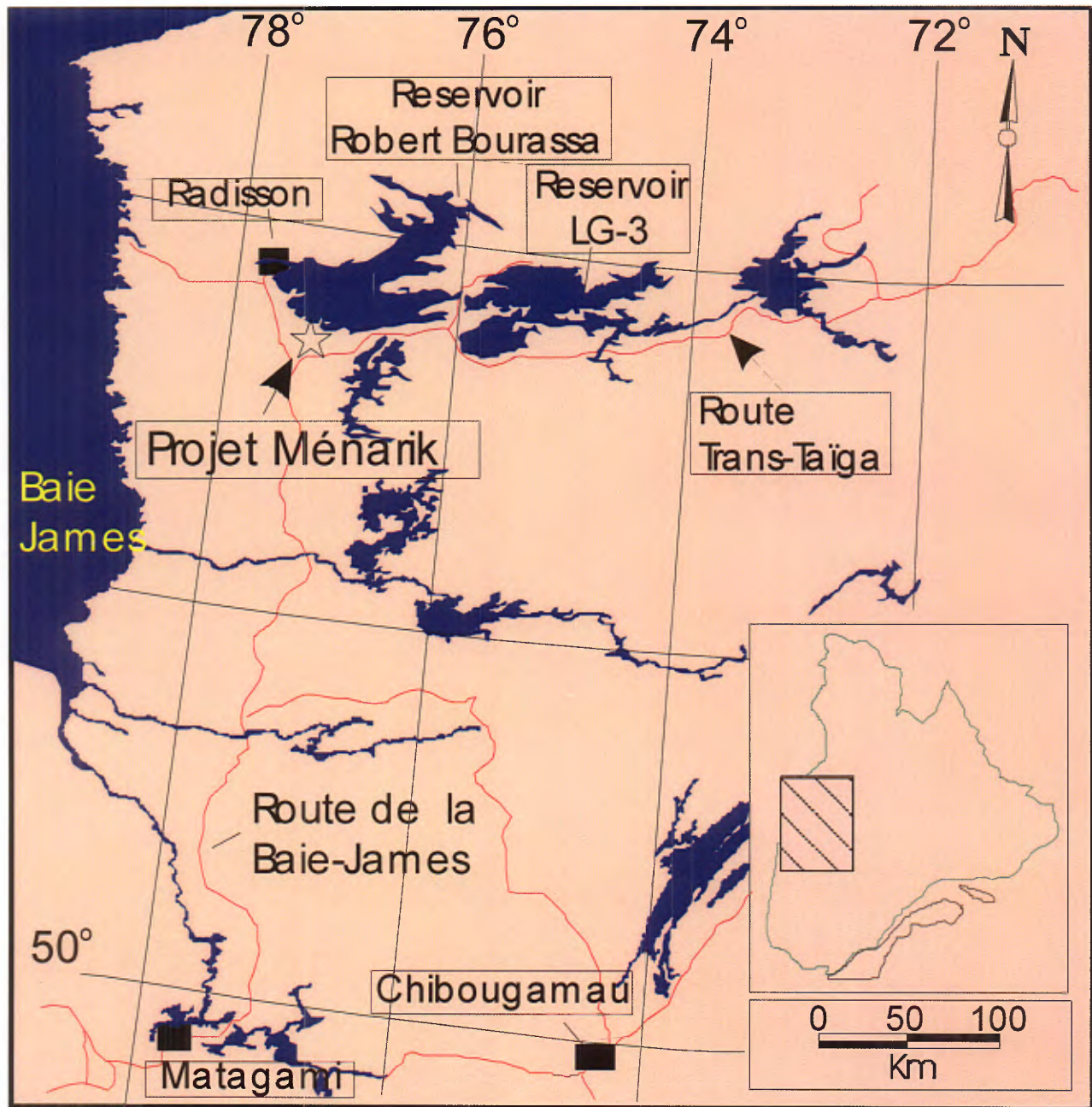


Figure 1. Localisation de la propriété Ménarik de Ressources minières Pro-Or inc., Baie-James (Qc).

3.2 PHYSIOGRAPHIE

Le relief du terrain est typique du nord-ouest du Québec où collines alternent avec des zones marécageuses et des lacs. Le nord de la propriété est situé sur des terrains relativement plats d'une altitude moyenne de 650 pieds. Ce plateau est couvert d'affleurements rocheux pour environ 50% de sa superficie. Plus au sud, le terrain est plus accidenté. La masse de péridotite du centre sud forme une série de buttes relativement élevées aux pentes raides et parfois abruptes. Des escarpements, pouvant atteindre 25 mètres, caractérisent les rives de certains lacs et rivières encaissés.

Les sols de la région recouvrent une moraine composée de blocs et de sable. Ces dépôts ont des épaisseurs variant de un à dix mètres. La végétation comprend des mousses, lichens et des conifères. Elle est clairsemée (type taïga) et a été partiellement détruite par des feux de forêts.

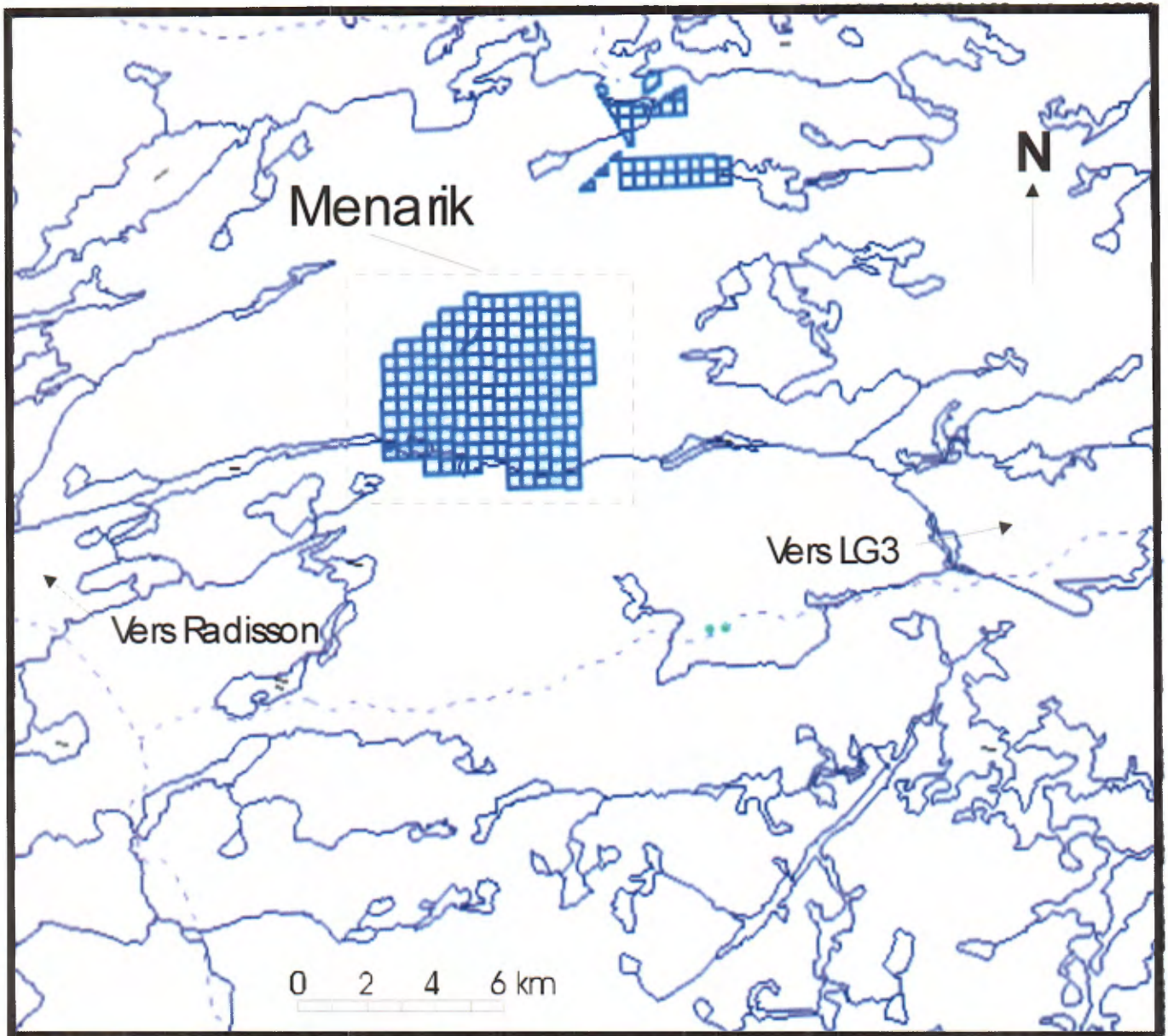
Le terrain est mal drainé au nord ce qui favorise le développement de marécages; ailleurs le drainage des eaux de surface s'effectue le long de ruisseaux ou par des écoulements superficiels, du nord vers le sud, en direction de la rivière et du lac Ménarik qui, à son tour s'écoule vers l'ouest. L'apport en eau sur la propriété est suffisant pour combler les besoins lors de travaux d'exploration.

4- TITRES MINIERS

La propriété Ménarik est constituée de 160 claims (tableau 1) contigus et couvrant une superficie de 2532 hectares. La localisation du bloc de claims de la propriété Ménarik est montrée à la figure 2. Leur numéro d'enregistrement et leur superficie nominale sont présentés au tableau 1.

Tous les claims sont détenus à 100 % par Ressources minières Pro-Or inc. et aucune royauté ne leur est rattachée. Ces claims sont enregistrés en bonne et due forme auprès du gouvernement du Québec (Ministère des Ressources Naturelles de la Faune et des Parcs du Québec).

Localisation des claims de la propriété Menarik de Ressources Minières Pro-Or inc.



Feuillet SNRC 33F06

Figure 2 : Carte des claims de la propriété Ménarik de Ressources minières Pro-Or inc. (source GESTIM: MRNFPQ 2005).

**Tableau 1 : Liste des claims miniers de la propriété
Ménarik Ressources minières Pro-Or inc.**

No titre	Rang	Lot	Superficie (Ha)	(%)	No titre	Rang	Lot	Superficie (Ha)	(%)
4619485	38	38	16	100	4412911	42	34	16	100
5176801	38	39	16	100	4412901	42	35	16	100
5176807	38	40	16	100	4618033	42	36	16	100
5176813	38	41	16	100	4619494	42	37	16	100
5176819	38	42	16	100	4619493	42	38	16	100
4412913	39	32	16	100	5176805	42	39	16	100
4412914	39	33	16	100	5176811	42	40	16	100
4412915	39	34	16	100	5176817	42	41	16	100
4412921	39	35	16	100	5176823	42	42	16	100
4619484	39	38	16	100	5176881	43	29	16	100
5176802	39	39	16	100	5176886	43	30	16	100
5176808	39	40	16	100	4618054	43	31	16	100
5176814	39	41	16	100	4412885	43	32	16	100
5176820	39	42	16	100	4412904	43	33	16	100
5176878	40	28	4	100	4412903	43	34	16	100
4619533	40	29	16	100	4412902	43	35	16	100
4619532	40	30	16	100	4618034	43	36	16	100
4618051	40	31	16	100	4619491	43	37	16	100
4412912	40	32	16	100	4619492	43	38	16	100
4412924	40	33	16	100	5176806	43	39	16	100
4412923	40	34	16	100	5176812	43	40	16	100
4412922	40	35	16	100	5176818	43	41	16	100
4618031	40	36	16	100	5176824	43	42	16	100
4619482	40	37	16	100	5176882	44	29	16	100
4619483	40	38	16	100	5176887	44	30	16	100
5176803	40	39	16	100	4618055	44	31	16	100
5176809	40	40	16	100	4412884	44	32	16	100
5176815	40	41	16	100	4412883	44	33	16	100
5176821	40	42	16	100	4412882	44	34	16	100
5176879	41	28	16	100	4412881	44	35	16	100
5176884	41	29	14,4	100	4618035	44	36	16	100
4619531	41	30	11	100	4619512	44	37	16	100
4618052	41	31	16	100	4619511	44	38	16	100
4412892	41	32	16	100	5176825	44	39	16	100
4412893	41	33	16	100	5176831	44	40	16	100
4412894	41	34	16	100	5176837	44	41	16	100
4412895	41	35	16	100	5176843	44	42	16	100
4618073	41	36	16	100	5176883	45	29	16	100
4619495	41	37	16	100	5176888	45	30	16	100
4619481	41	38	16	100	4618061	45	31	16	100
5176804	41	39	16	100	4618071	45	32	16	100
5176810	41	40	16	100	4618072	45	33	16	100
5176816	41	41	16	100	4618045	45	34	16	100
5176822	41	42	16	100	4618044	45	35	16	100
5176880	42	29	16	100	4618041	45	36	16	100
5176885	42	30	16	100	4619514	45	37	16	100
4618053	42	31	16	100	4619513	45	38	16	100
4412891	42	32	16	100	5176826	45	39	16	100
4412905	42	33	16	100	5176832	45	40	16	100

Liste des claims miniers de la propriété Ménarik (suite)

No titre Rang Lot Superficie (%) No titre Rang Lot Superficie (%)

5176838	45	41	16	100	5176855	49	38	16	100
5176844	45	42	16	100	5176830	49	39	16	100
5176653	45	43	16	100	5176836	49	40	16	100
5176877	46	29	16	100	5176842	49	41	16	100
5176889	46	30	16	100	5176848	49	42	16	100
4618062	46	31	16	100	5176859	50	35	16	100
4618063	46	32	16	100	5176858	50	36	16	100
4618064	46	33	16	100	5176854	50	37	16	100
4618065	46	34	16	100	5176853	50	38	16	100
4618043	46	35	16	100	5176852	50	39	16	100
4618042	46	36	16	100	5176851	50	40	16	100
4619521	46	37	16	100	5176850	50	41	16	100
4619515	46	38	16	100	5176849	50	42	16	100
5176827	46	39	16	100					
5176833	46	40	16	100					
5176839	46	41	16	100					
5176845	46	42	16	100					
5176652	46	43	16	100					
5176875	47	29	16	100					
5176874	47	30	16	100					
5176873	47	31	16	100					
5176872	47	32	16	100					
5176871	47	33	13,4	100					
4619505	47	34	11	100					
4619504	47	35	16	100					
4619524	47	36	16	100					
4619523	47	37	16	100					
4619522	47	38	16	100					
5176828	47	39	16	100					
5176834	47	40	16	100					
5176840	47	41	16	100					
5176846	47	42	16	100					
5176651	47	43	16	100					
5176868	48	31	16	100					
5176869	48	32	16	100					
5176870	48	33	16	100					
4619503	48	35	14	100					
4619502	48	36	16	100					
4619501	48	37	16	100					
4619525	48	38	16	100					
5176829	48	39	16	100					
5176835	48	40	16	100					
5176841	48	41	16	100					
5176847	48	42	16	100					
5176862	49	33	16	100					
5176863	49	34	16	100					
5176864	49	35	16	100					
5176857	49	36	16	100					
5176856	49	37	16	100					

5-TRAVAUX ANTÉRIEURS

5.1 TRAVAUX ANTÉRIEURS À CEUX DE RESSOURCES MINIÈRES PRO-OR INC.

Pour minimiser le nombre de page de ce rapport, les travaux antérieurs à ceux de Ressources minières Pro-Or inc. sont décrits dans le rapport de LaFlèche et al. 2005 (campagne de forage de novembre-décembre 2004).

5.2 TRAVAUX RÉALISÉS PAR RESSOURCES MINIÈRES PRO-OR INC.

Ressources minières Pro-Or inc. a réalisé ou commandité une multitude d'interventions sur le terrain. Plusieurs levés géophysiques hélicoptérés et au sol ainsi que des campagnes de prospection et de cartographie géologique ont permis de localiser les principaux indices de chromitites et de sulfures platinifères dans le Complexe ultramafique de Ménarik.

Les travaux de coupe de ligne, débutés en 1986, furent suivit de travaux de géophysique au sol (Mag-VLF), de cartographies géologiques et de prospection et d'un levé pédogéochimique (entre 1987 et 1990). Ces travaux ont été suivit en 1996 d'un levé géophysique hélicoptéré de type DIGHEM-V. Le lecteur peut référer aux rapports de Bergeron (2001) et aux rapports de Pelletier (1989, 1998) pour plus d'informations.

5.2.1 Campagnes de forage sur la propriété Ménarik (secteur du Complexe intrusif de Ménarik)

Cette section décrit les travaux réalisés par Ressources minières Pro-Or inc. sur le Complexe intrusif de Ménarik et plus spécifiquement les travaux réalisés sur les indices chromifères et platinifères. Les informations et une partie du texte proviennent des rapports de Pelletier (1989; 1998) et de Bergeron (2001).

5.2.1.1 Campagne de 1988 (texte tiré de Pelletier, 1990)

Au printemps de 1988, Ressources minières Pro-Or inc. a entrepris une première campagne de sondages carottés axés sur l'exploration de cibles à potentiel aurifère situées à l'extérieur du Complexe intrusif de Ménarik (Pelletier, 1989). Vingt et un sondages totalisant 2989 mètres furent complétés. En raison de la spécificité de ce rapport, qui vise à documenter les caractéristiques des minéralisations chromifères et platinifères associées au Complexe intrusif du Menarik, les principaux résultats de cette campagne ne sont pas discutés dans ce document et le lecteur peu référer au rapport de Pelletier (1998). Toutefois, il est d'intérêt de souligner qu'un

des forages (MK 88-18) fut planifié pour explorer l'extension verticale de l'indice de chromite Cr-1, situé dans la partie nord du Complexe intrusif du Menarik.

Le sondage MK 88-18, implanté sous l'indice de chrome Cr-1, se termina dans une séquence très prometteuse de lits de chromite à une profondeur verticale de 124 à 136 mètres: un intervalle de 12 mètres titra en moyenne 9,3% Cr₂O₃, incluant 5 horizons titrant entre 19% et 27% Cr₂O₃ et dont certains contenaient des teneurs appréciables de platinoïdes (jusqu'à 2,7 grammes/tonne de palladium + platine). La teneur moyenne en Pd et Pt de la section de 12,0 mètres fut respectivement de 0,6 g/t Pd+Pt. Dans les cinq horizons plus riches en chrome, le rapport Cr/Fe variait de 0,76 à 1,10. Les résultats de ce sondage concordaient assez bien avec les données recueillies en surface sur l'indice Cr-1 et peut-être Cr-16.

Notez que la plupart des autres indices de chrome connus sur la propriété sont caractérisés par des rapports Cr/Fe nettement supérieurs à ceux-ci (ex. Houlé, 2000). Ces variations, dans les rapports Cr/Fe, sont entre autre attribuables à la présence de quantités variables de serpentine, de magnétite, de chlorite et de sulfures (pentlandite, pyrrhotite) dans la matrice qui entoure les grains de chromite.

5.2.1.2 Campagne de 1989 (texte tiré de Pelletier, 1990)

L'évaluation du potentiel chromifère a été poursuivie en 1989 par l'exécution de vingt et un sondages carottés totalisant 2 547 mètres (Pelletier, 1990). Un total de 544 échantillons représentant 586,4 mètres de carottes de forage ont ensuite été analysés systématiquement pour le palladium, le platine, et l'or et sélectivement pour le chrome, le fer, le cuivre, le nickel, et, rarement, pour le zinc et le plomb. Huit groupes d'indices, comprenant 14 des 31 indices chromifères découverts jusqu'alors en surface, ont été explorés en profondeur par au moins un sondage. Quatre des groupes ont fait l'objet d'au moins trois sondages à intervalle d'environ 50 mètres le long des séquences chromifères observées ou présumées. Les sondages visaient généralement à recouper les indices principaux à environ 60 mètres sous la surface; deux indices secondaires à proximité ont également été explorés par les mêmes sondages.

Chacun des forages a effectivement traversé une ou plusieurs séquences chromifères. Cinq nouvelles séquences ont été découvertes près des indices Cr-4 et Cr-5; l'une d'elles a été rencontrée dès le début d'un sondage dirigé vers Cr-2 et Cr-5 et montré la meilleure teneur-épaisseur moyenne relevée jusqu'à présent sur la propriété, soit 16,7% d'oxyde de chrome sur une longueur de 8,70 mètres; les géologues de Ressources minières Pro-Or inc. n'ont cependant pas trouvé ses extensions dans les sondages voisins. Par contre, la série d'indices Cr-16-18-19, qui avait déjà été observée jusqu'à une profondeur de 140 mètres dans le seul forage de 1988 dirigé vers une cible de chrome, a été recoupée à nouveau en 1989 à une profondeur de 62 à 83 mètres dans les 4 sondages qui la visaient. Cette zone minéralisée est constituée de 7 horizons de chromite massive ou litée séparés par des horizons à chromite disséminée dont la teneur en chrome est beaucoup plus faible que celle des premiers. Son pendage varie de 54 à

68 degrés et son épaisseur horizontale entre 10,2 et 16,3 mètres en utilisant 5% d'oxyde de chrome comme teneur de coupure inférieure.

Les trois sondages implantés sous l'indice Cr-8 ont aussi tous recoupé son extension verticale jusqu'à une profondeur de 33 mètres; son pendage varie de 36 à 46 degrés et son épaisseur horizontale de 12,5 à 16,7 mètres

Par ailleurs, un des quatre sondages pointés sous l'extension latérale de l'indice Cr-17-20 ne l'a pas traversé, peut-être parce que le forage a été arrêté un peu trop tôt. Elle a été observée dans les trois autres sondages contigus jusqu'à une profondeur de 58 mètres sous la surface; elle y montre un pendage de 33 à 47 degrés et une épaisseur horizontale de 11,6 à 21,6 mètres.

L'indice Cr-31, qui se situe à environ 50 mètres au-dessus de l'indice précédent ou 100 mètres horizontalement, a été recoupé par deux des quatre sondages implantés sous ce dernier à une profondeur de 13 à 28 mètres; son pendage est estimé à 37 degrés.

Un des forages sous l'indice de chromite Cr-4 a été arrêté dans une section de 27,3 mètres titrant 0,2% de nickel. Une autre section de 5,2 mètres dans un forage différent titra 0,3% de nickel, incluant un intervalle de 1,0 mètre à 0,7% de nickel. La plus forte teneur de nickel rencontrée dans les forages a été de 0,8% associée à une teneur de 0,3% en cuivre sur 0,5 mètre. De fait, des sections épaisses titrant plus de 0,1% de nickel sont communes malgré le nombre relativement restreint d'analyses pour cet élément. Toutes ces intersections soulignent le potentiel élevé en nickel de cette formation.

De plus, de nombreuses sections titrant plus de 1 gramme de platinoïdes (Pd + Pt) ont été traversées par les sondages: la meilleure teneur, observée dans le sondage MK-89-19 sur 1,8 mètres, a été de 3,2 grammes de palladium et 0,3 gramme de platine.

Faute de financement, les travaux d'exploration sur le Complexe intrusif de Menarik (potentiel Cr-ÉGP) furent arrêté entre 1990 et 1995. Toutefois, en 1994 les géologues de Ressources minières Pro-Or inc. réalisèrent une courte campagne de forage axée sur le potentiel aurifère de la partie centre est de la propriété (10 forages totalisant 1503 m).

5.2.1.3 Campagne de 1997(texte tiré de Pelletier, 1998)

En 1997, Ressources minières Pro-Or inc. a commandité l'exécution de 14 sondages carottés totalisant 2380 mètres. Les quatorze sondages visaient des cibles dans la demie sud de la zone ultramafique de la propriété Ménarik.

Deux sondages (246 mètres) ont été forés dans le voisinage d'une forte anomalie pédogéochimique de nickel et cuivre et qui avait mené à la découverte d'un affleurement de roches ultramafiques porteur d'une minéralisation de pentlandite. L'un de ces deux sondages fut dirigé sous l'affleurement nickellifère. Il traversa une section de 7,4 mètres titrant 0,6% Ni. L'autre sondage fut orienté sous la partie principale d'un pic magnétique: il recoupa une épaisse section de 17,9 mètres, dans l'ultramafite, titrant 0,6% Ni et 0,5% Cu (pentlandite-chalcopyrite), incluant une section de 3,7 mètres à 1,0% Ni et 0,4% Cu. Ces sondages confirment l'importance du potentiel en nickel-cuivre du complexe intrusif du Ménarik et rehaussent la valeur de plusieurs petits indices de surface qui y avaient été trouvés antérieurement.

La plupart des sondages visaient l'exploration des prolongements latéraux des indices Cr-8, Cr-17-20, Cr-16-18-19 et Cr-1, déjà partiellement reconnus par forage et affichant des teneurs significatives en palladium-platine. Deux autres exploraient pour la première fois le prolongement en profondeur de deux indices de surface voisins, Cr-23 et Cr-27.

Les sondages des indices Cr-16-18-19 et Cr-1 ont confirmé leur continuité latérale tout autant que verticale et permis d'augmenter de plus d'un million de tonnes les ressources chromifères délimitées par forage sur la propriété. Ce total, correspondant à cinq séquences chromifères, atteint donc maintenant 2,6 millions de tonnes de « ressources indiquées » et 1,1 millions de tonnes de ressources inférées à une teneur combinée de 8,5% Cr₂O₃. En tenant compte des nombreux indices sur la propriété qui n'ont pas encore été explorés par sondages, Pelletier (1998) estiment que le potentiel total de ressources similaires à celles évaluées se situe raisonnablement aux environs de 30 millions de tonnes jusqu'à une profondeur de 200 mètres sous la surface. Ces sondages ont aussi montré que la séquence ultramafique se poursuivait plus à l'ouest que ce qui avait été cartographié antérieurement.

Deux des trois sondages implantés entre les indices Cr-8 et Cr-17-20 ont traversé une double séquence chromifère suggérant une continuité possible en profondeur entre ces deux indices. Des travaux supplémentaires seront cependant nécessaires avant de pouvoir y évaluer des ressources vu les discontinuités géologiques suggérées en affleurements et l'absence apparente d'horizons de chromite dans le troisième sondage au sud-ouest de Cr-8. Il faudra aussi revoir et échantillonner ces carottes de façon plus exhaustive car une vérification rapide effectuée par Yves Pelletier en juillet 1998 y a détecté un intervalle de 1 mètre titrant 5,4% Cr₂O₃ qui était passé inaperçu lors de la description originale. Par ailleurs, aucun des trois sondages visant l'extension occidentale des indices Cr-17-20 et Cr-31 n'a recoupé de séquence chromifère. La vérification sur le terrain, effectuée par Yves Pelletier, a permis d'expliquer cette absence par un virement brusque vers le sud des lits chromifères à l'ouest de la séquence Cr-17-20 déjà recoupée en sondages. De nouveaux sondages devraient donc y être implantés avec un nouvel azimut après l'exécution d'une cartographie détaillée de ces affleurements.

Dans les deux sondages sous les indices Cr-23 et Cr-27, le géologue M. Chakib Chak Bouchaib, responsable de la description et de l'échantillonnage des carottes de forage, n'avait pas non plus relevé de lits de chromite dans la carotte lors de sa description effectuée au cours de la campagne de forage. Cependant, en juillet 1998, un second échantillonnage réalisé par Yves Pelletier a montré, dans l'un de ces sondages, trois intervalles de chromitites portant des teneurs entre 4,0% et 10,8% Cr₂O₃ qui n'avaient pas été relevés. De plus, l'examen partiel de ces carottes indique que ces sondages étaient probablement sub-parallèles au pendage des horizons de chromite et qu'il faudrait utiliser un azimut inverse pour explorer ces indices.

De façon générale, les résultats subséquents à la description visuelle des carottes ont montré que le géologue a nettement sous-évalué les teneurs de chromite dans sa description des carottes de 1997 au moment du forage. Pour continuer l'évaluation des ressources il faudra donc revoir l'ensemble de ces carottes et y faire beaucoup plus d'échantillonnage. Lors des forages futurs, il faudra tenir compte de ces difficultés à reconnaître toutes les sections porteuses de minéralisation d'intérêt et échantillonner de façon plus systématique. Une solution à ce problème serait d'utiliser systématiquement une diagraphie magnétométrique dans les trous de forage. Les horizons de chromitite étant beaucoup moins magnétique que la péridotite, une chute rapide du magnétisme reflète la présence d'horizons de chromitite. De la même façon, nous suggérons que des diagraphies électriques (résistivité et polarisation

provoquée) pourraient être utilisées en forage pour localiser les bandes de chromitites massives qui sont naturellement plus résistantes et la présence de sulfures platinifères disséminés dans les roches ultramafiques.

Trois des séquences chromifères explorées en 1997 contiennent régulièrement des quantités appréciables de palladium et platine. Ainsi, chacun des sondages qui a traversé les séquences chromifères correspondant aux indices Cr-16-18-19 (8 sondages; MK 88-18, 89-14, 89-15, 89-16, 89-17, 97-30, 97-31, 97-33), Cr-1 (4 sondages; MK 89-18, 97-31, 97-32, 97-33) et Cr-8 (3 sondages; MK 89-7, 89-8, et 89-9) a aussi recoupé au moins une section titrant plus de 1,5 grammes/tonne de palladium+platine sur 30 centimètres. La teneur la plus élevée obtenue jusqu'à maintenant a été de 3,6 g/t de (Pd+Pt) sur 43 centimètres dans la séquence Cr-1 (forage MK97-33 échantillon : 707768). Certains sondages contiennent plusieurs de ces sections enrichies: la somme de telles intersections dans un sondage de Cr-16-18-19 atteint 4,4 mètres et correspond à un produit cumulatif de 7,5 grammes-mètres/tonne. Les séquences correspondant à Cr-17-20, Cr-31, et au secteur intermédiaire entre Cr-17-20 et Cr-8, montrent aussi de telles sections enrichies mais moins systématiquement.

D'une façon générale, le rapport Pd/Pt de ces minéralisations se situe entre 3,5 et 4,5. Des études détaillées réalisées par Michel Houlé (**Houlé, 2000**) et par **LaFlèche et al. (2001)** ont montrées que les zones enrichies en ÉGP sont généralement associées à des lits particuliers de chromitites, et parfois à leurs épontes immédiates; dans ce dernier cas, elles pourraient aussi être reliées à la présence de concentrations de sulfures de nickel ou de cuivre.

Entre 1998 et décembre 2000, aucun travaux d'exploration n'ont été réalisés sur le Complexe intrusif de Ménarik ainsi que sur l'ensemble de la propriété Ménarik de Ressources minières Pro-Or inc .

La figure 3 montre la répartition spatiale des sondages, de Ressources minières Pro-Or inc., réalisés avant 2004. Notez la faible densité des sondages dans la partie centrale et sud de la propriété Ménarik.

5.2.1.4 Travaux de la campagne de décembre 2004

À la fin de 2004, Ressources Minières Pro-Or a commandité l'exécution de 13 sondages carottés totalisant 3197,6 mètres sur sa propriété Ménarik.. Les nouveaux sondages visaient à poursuivre l'évaluation du potentiel minéral en chromitites platinifères dans la partie nord du Complexe ultramafique de Ménarik.

Les forages ont été réalisés par le contracteur Forage Mercier de Val-d'Or et la supervision des forages par une équipe géologique indépendante dirigée par le consultant Yvan Bussièrès (ing. géologue).

Les treize sondages visaient des cibles situées à l'intérieur de la masse de roches ultramafiques. Ces derniers visaient l'évaluation des prolongements latéraux et verticaux des indices de chromitites Cr1 et Cr16-18-19. Douze des treize sondages ont intersecté des chromitites platinifères associées aux indices Cr-1 et ou Cr-16-18-19. Les sondages, d'une longueur moyenne de 231 m, ont recoupé en tout 30 intersections significatives ($\text{Cr}_2\text{O}_3 > 6 \%$) de chromitites stratiformes rapportant une teneur moyenne de 7,62 % Cr_2O_3 sur une épaisseur moyenne de 8,9 m pour l'indice Cr-1 et de 7,59 % Cr_2O_3 sur une épaisseur moyenne de 9,4 m pour l'indice Cr-16-18-19.

Les sondages recoupant les indices Cr-16-18-19 et Cr-1 ont confirmés leurs continuités latérales tout autant que verticales. Comme observées dans les campagnes de forage antérieures (1988, 1989 et 1997), les séquences chromifères intersectées en 2004 contiennent régulièrement des quantités appréciables de palladium et de platine. Les sondages de 2004 recoupant les indices Cr-1 et Cr-16-18-19 ont rapporté respectivement une teneur moyenne de 0,4 g/t (Pd+Pt) pour une épaisseur moyenne de 8,9 m et de 0,5 g/t (Pd+Pt) pour une épaisseur moyenne de 9,4 m.

En tenant compte d'un mode d'exploitation minière optimisé pour la récupération des ÉGP, le minage sélective des chromitites massives permettrait l'obtention de minerais beaucoup plus riches en ÉGP. Par exemple, 18 intersections de chromitites massives ou semi-massives

associées à l'indice Cr-16-18-19 et 6 intersections associées à l'indice Cr-1 ont rapportées des teneurs supérieures à 2 g/t (Pd+Pt) sur des épaisseurs variables de 0,1 à 0,75 m.

Les forages de 2004 ont montré une fermeture de la zone Cr-1 vers l'est en raison d'un contact entre le massif péridotitique et l'encaissant gabbroïque et tonalitique. Cr-1 demeure toutefois ouverte vers l'ouest ainsi qu'en profondeur (à plus de 230 m).

La zone Cr-16-18-19 (décrite comme la zone Cr-16 dans ce rapport) demeure ouverte vers l'est ainsi qu'en fonction de la profondeur (à plus de 280 m).

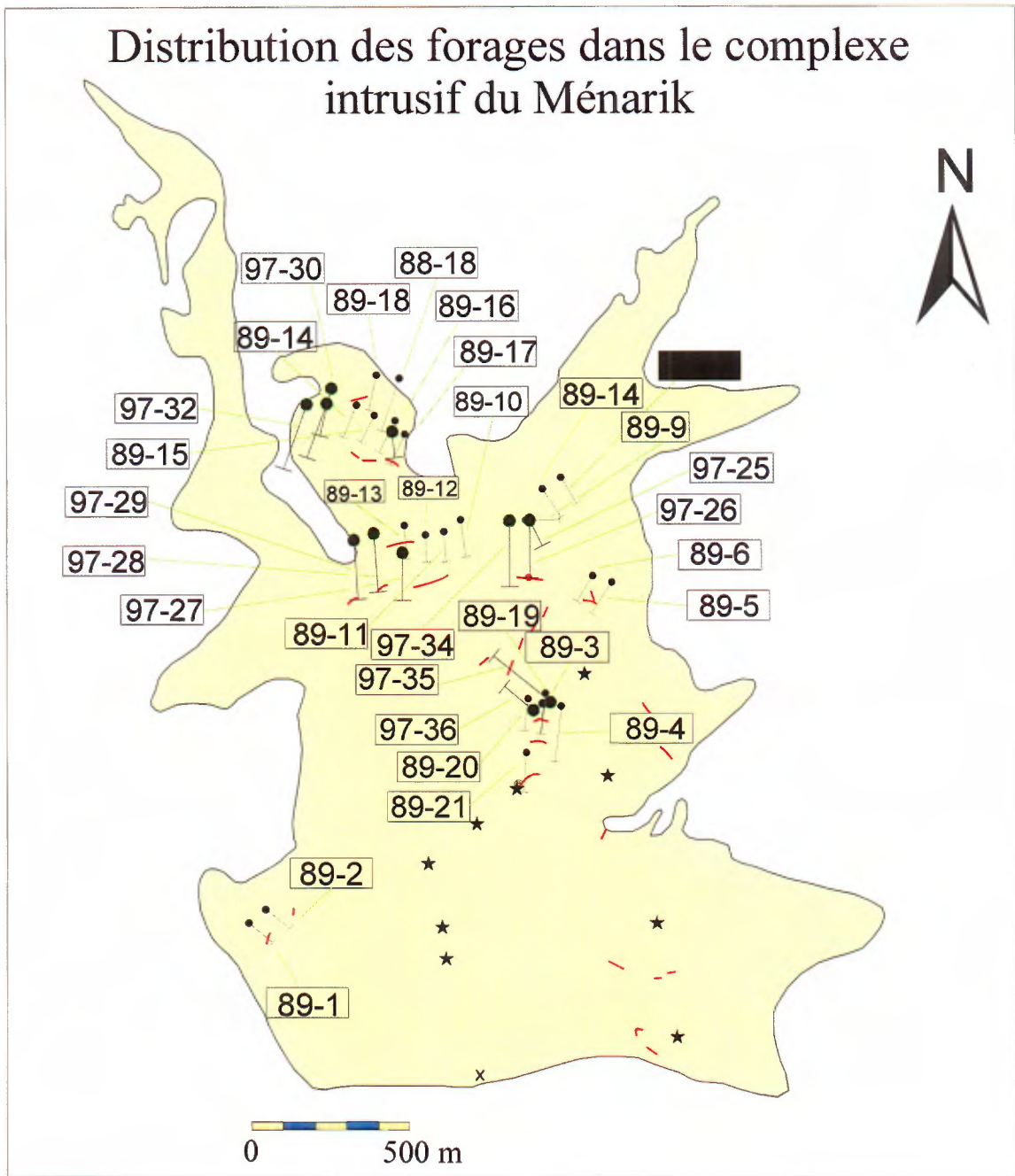


Figure 3. Carte de distribution des sondages des campagnes de forage 1988, 1989 et 1997 de Ressources minières Pro-Or inc. La limite du Complexe ultramafique est indiquée par un contour continu.

6- GÉOLOGIE RÉGIONALE

La géologie de la région du Menarik comprend trois ensembles de roches archéennes, des dykes protérozoïques ainsi qu'un bassin sédimentaire d'âge Protérozoïque. Les roches supracrustales, plutoniques et gneisso-plutoniques archéennes de la région à l'étude font partie des sous-provinces de La Grande, de Bienville et d'Opinaca de la province tectonique du Supérieur (figure 4). Dans la région étudiée, la sous-province de Bienville est constituée d'une grande intrusion monzonitique, d'un granite à hornblende, d'une tonalite et d'une monzodiorite. La limite entre les sous-provinces de Bienville et de La Grande peut être mise en évidence par la différence de signatures magnétiques (Goutier et al., 1999a). Le contact sud de la sous-province de Bienville et de la sous-province de La Grande est une zone de faille coulissante majeure à déplacement dextre tandis que le contact sud-est serait plutôt une zone de faille de chevauchement (Goutier et al., 1999) (figure 4).

La sous-province méta-sédimentaire d'Opinaca est constituée de wackes feldspathiques plissés (roches sédimentaires) passant progressivement à des paragneiss. Elle comporte également des conglomérats, des formations de fer et des arénites.

La sous-province de La Grande se compose d'un ensemble de gneiss tonalitiques, d'une séquence volcano-sédimentaire (ex. sillon volcano-sédimentaire de Yasinski) et de multiples intrusions tonalitique, granitique, gabbroïque et ultramafique.

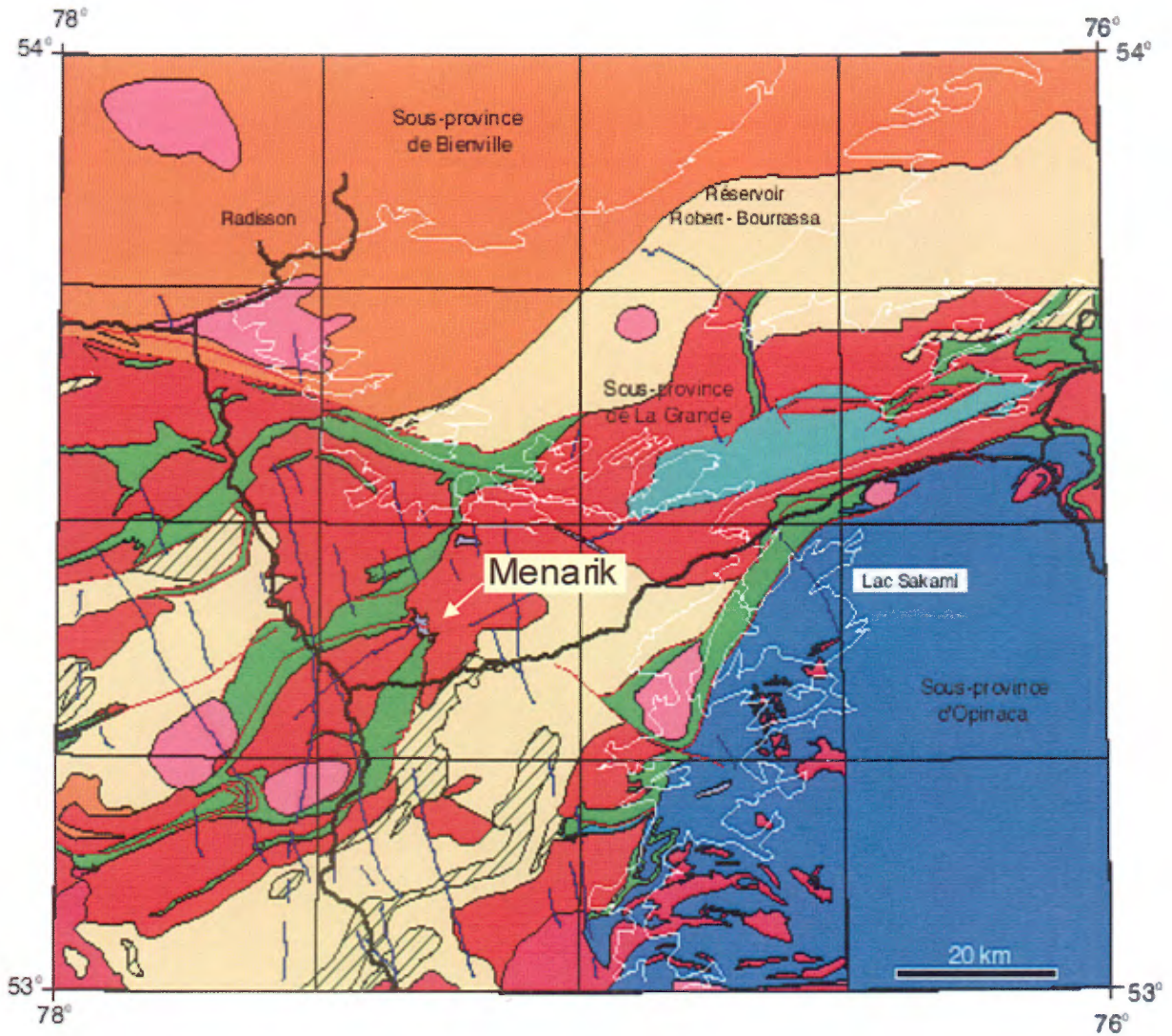
Le sillon volcano-sédimentaire de Yasinski est grossièrement de direction nord-est sud-ouest. Dans sa partie nord-est, les unités volcaniques se trouvent en deux bandes principales qui se rejoignent près de la propriété, formant un "U" pointant vers le nord-est. La présence de roches sédimentaires, présumées plus récentes, dans le coeur de cette structure suggérerait la présence d'un synforme plongeant vers l'ouest. A l'opposé, la carte de compilation de Gauthier et al. (1997) y indique la présence de roches granitiques intrusives qui suggère la présence d'un antiforme plongeant vers l'est. Par ailleurs, le nez de cette structure est occupé par le Complexe intrusif de Ménarik (méta-péridotite et gabbros).

Dans la région, les roches les plus anciennes de la sous-province de La Grande sont constituées de gneiss tonalitiques et de tonalites du Complexe de Langelier. Des échantillons de gneiss tonalitiques ont été datés à 2811 ± 2 Ma (Mortensen et Ciesielski, 1987) tandis que les plutons tonalitiques à hornblende et à biotite ont été datés à $2788 \pm 4/-3$ Ma et 2794 ± 2 Ma (Goutier *et al.*, 1999b). Ces roches gneisso-plutoniques constituent le socle sur lequel se sont déposées les roches sédimentaires de la Formation d'Apple et les roches volcaniques du Groupe de Yasinski (Goutier *et al.*, 1999b; LaFlèche et al., 2000).

Les roches sédimentaires de la Formation d'Apple sont principalement composées d'arénites quartzitiques et de conglomérats monogéniques pyritifères et uranifères qui reposent en discordance sur les gneiss du Complexe de Langelier. Les roches volcaniques du Groupe de Yasinski sont surtout constituées de basaltes tholéïtiques. Aussi, en plus faible proportion, des roches volcaniques calco-alkalines différenciées de compositions intermédiaire et felsique ont été observées (LaFlèche et al., 2000). Une dacite de ce groupe a été datée à $2732 \pm 8/-6$ Ma (Goutier *et al.*, 1998a) et des tonalites et diorites, datées entre 2716 et 2709 Ma, sont injectées dans l'empilement volcanique (Goutier *et al.*, 1998a; 1999a).

Les roches volcaniques du Groupe de Yasinski alternent avec des formations de fer et, plus rarement, avec des séquences de grès et de conglomérats polygéniques. Le Groupe de Yasinski est surmonté régionalement par les grès et les conglomérats polygéniques des Formations archéennes de Shabudowan et d'Ekomiak.

Des masses de roches ultramafiques, ont été observées à différents endroits. La plus importante en superficie, le Complexe intrusif de Ménarik, se trouve à l'extrémité orientale du lac Menarik et constitue le pôle d'intérêt principal de Ressources minières Pro-Or inc. pour la recherche de dépôts de nickel-cuivre, chrome, et éléments du groupe du platine (ÉGP).



Protérozoïque

■ Dykes de gabbro

Formation de Sakami

■ Grès rouges, conglomérat, arénite quartzitique et mudrocks

Archéen

■ Granite du Vieux-Comptoir

■ Pluton de Radisson (sous-province de Bienville) et Syénite du lac Bruce

■ Monzonite porphyrique et syénite

■ Intrusions de Duncan et d'Amisach Wat

■ Tonalite à hornblende, diorite, monzodiorite et monzonite

Figure 4. Contexte géologique régional. Carte modifiée du MRNFPQ.

7. GÉOLOGIE DE LA PROPRIÉTÉ MÉNARIK

La propriété Menarik se situe dans l'extrémité NE de la ceinture volcano-sédimentaire du lac Yasinski. Plusieurs lithologies, dont le Complexe de Langelier, le Groupe de Yasinski, l'intrusion de Duncan, le pluton d'Amisach Wat et des dykes à xénolites (protérozoïques), se retrouvent à proximité du Complexe intrusif de Ménarik.

Dans le secteur du Complexe intrusif de Ménarik, les roches volcaniques sont très déformées et les structures primaires sont souvent oblitérées. Les roches volcaniques, localement grenatifères, sont métamorphosées en amphibolites foliées. Des formations de fer, des conglomérats, des wackes et des intrusions felsiques porphyriques sont intercalés dans les roches volcaniques. Les roches associées à la formation d'Ekomiak sont constituées de wackes et de conglomérats polygéniques. Le système intrusif de Duncan, qui borde le secteur N et SE du Complexe intrusif de Menarik, est constitué de tonalites et de tonalites à hornblende légèrement déformées et postérieures au Groupe de Yasinski. Les nombreuses minéralisations aurifères de la propriété Menarik (secteur Nord) sont encaissées dans cette intrusion. Le pluton d'Amisach Wat est constitué de tonalites porphyriques riches en phénocristaux de quartz et de hornblende. Ces tonalites sont post-métamorphiques (Houlé, 2000) (Figure 5).

Le Complexe intrusif de Ménarik est constitué d'une séquence ultramafique et d'une séquence mafique. La séquence ultramafique est composée de dunite, d'harzburgite à chromite, de lherzolite à chromite, de pyroxénites, d'horizons stratiformes de chromitites platinifères et de sulfures filoniens riches en ÉGP-Ni-Cu. À la surface, sa superficie est d'environ 2 * 3 km² et son épaisseur est estimée à environ 500 mètres. Il est encaissé dans la tonalite de Duncan et dans les basaltes mylonitisés du Groupe de Yasinski (Houlé, 2000). Les données magnétométriques disponibles suggèrent fortement que le Complexe intrusif de Ménarik pente légèrement vers le nord sous les tonalites. Cette configuration géométrique augmenterait considérablement la superficie de l'intrusion et conséquemment l'extension des zones minéralisées chromifères et platinifères.



Figure 5. Carte géologique simplifiée du Complexe intrusif de Ménarik (modifiée de Houlé, 2000).

7.1 LE COMPLEXE INTRUSIF DE MÉNARIK (SÉQUENCES ULTRAMAFIQUE ET MAFIQUE)

Les roches des séquences ultramafique et mafique du complexe intrusif occupent le centre sud de la propriété Ménarik pour y former un massif intrusif situé à la hauteur du nez du synforme du lac Yasinski. Le Complexe intrusif de Ménarik est localement en contact de faille avec les lithologies environnantes et, est recoupé dans sa partie médiane par une faille inverse est-sud-est (faille du lac Ménarik). Les roches du bloc nord du complexe sont inclinées de 40 degrés vers le nord et les roches du bloc sud montrent une inclinaison du litage magmatique d'environ 70 degrés vers le nord (Goutier et al., 1998; Houlé, 2000). Les roches de la séquence ultramafique comportent des dunites, des harzburgites, des werhlites et des chromitites et les roches de la séquence mafique sont surtout gabbroïques. Les roches ultramafiques ont subi le métamorphisme régional. Près des zones de cisaillement, la péridotite devient fréquemment talqueuse. De nombreux horizons de chromitites stratiformes y ont été observés en affleurements et en forage. Les analyses lithogéochimiques montrent que plusieurs de ces unités sont enrichies en Pd et Pt.

7.2 STRUCTURE

Deux épisodes de métamorphisme régional ont affectés les roches de la région. Sur la propriété Ménarik, le métamorphisme varie du faciès des schistes verts à celui des amphibolites. Dans le Complexe intrusif de Ménarik, le métamorphisme se manifeste par la présence de serpentine, de chlorite, de magnétite, de talc et de carbonates.

Dans la séquence ultramafique du complexe intrusif, le litage et la foliation magmatique sont facilement observables. Le litage s'exprime par une concentration élevée de chromite. En affleurement, les stratifications sont généralement assez régulières. De petites failles fragiles et tardives et le plissement peuvent expliquer certaines variations observées dans le litage magmatique du Complexe intrusif de Ménarik. Selon Houlé (2000), l'attitude moyenne du litage serait de $261^{\circ} / 57^{\circ}$.

Les roches de la zone ultramafique sont localement plissées (figure 6). Toutefois, en raison de l'homogénéité des roches du Complexe intrusif de Ménarik, ces zones plissées sont extrêmement

difficiles à observer. Les plis observés sont généralement décimétriques à métriques. Ces derniers sont surtout observés dans la partie sud du complexe intrusif. Lorsque projeté sur un stéréonet, le litage magmatique définit un grand arc de cercle dont le pôle correspondrait à un axe de plis orienté $068^{\circ} / 27^{\circ}$. Ce plis serait de type très ouvert.

Les roches du Complexe intrusif de Ménarik sont localement recoupées par des failles associées à des zones de cisaillement généralement caractérisées par la présence de talc et de schistes à chlorite. Ces dernières déplacent les horizons de chromitite d'un mouvement généralement dextre. Ces failles peuvent être subdivisées en 3 populations. La première et la plus importante est d'orientation ESE et semble découper le Complexe intrusif de Ménarik en deux blocs. La seconde, d'orientation ENE-NE et la dernière à une orientation N-NNO.

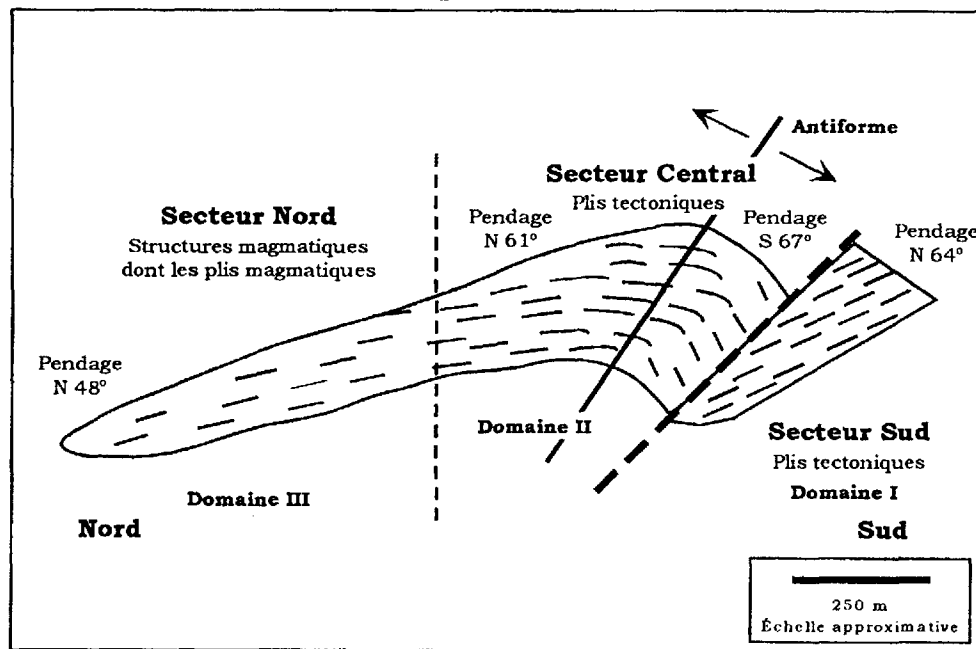


Figure 6. Coupe schématique montrant le plissement des roches du Complexe intrusif de Ménarik (tirée de Houlé, 2000).

8. MINÉRALISATIONS

Dans cette section du rapport nous présentons uniquement les caractéristiques des minéralisations de Cr, ÉGP et de sulfures de Cu-Ni associées aux roches du Complexe intrusif du Ménarik. Les nombreuses minéralisations aurifères de la partie nord de la propriété Ménarik sont décrites dans Pelletier (1998).

8.1 MINÉRALISATIONS LIÉES AU COMPLEXE INTRUSIF DE MÉNARIK

Sur le terrain, les indices de chromite (Cr-1 à 32) se présentent sous la forme d'horizons stratiformes cartographiables sur plusieurs dizaines de mètre (le mort terrain et la forêt étant les facteurs limitants) (figure 7). Les minéralisations chromifères se retrouvent sous la forme de péridotites à chromite, de chromitites à silicates et de chromitites massives. Les faciès sont souvent zonés avec un cœur constitué de chromitites massives bordé d'une enveloppe de chromitites à silicates puis de péridotites à chromite.

Suite aux différentes campagnes de forage (1988, 1989, 1997 et 2004), il est évident que ces indices chromifères se poursuivent également en profondeur. De par la nature stratiforme de la minéralisation et des intersections profondes rapportées lors de la campagne de 2004, et par analogie à la grande continuité latérale observée dans les chromitites stratiformes associées aux intrusifs lités archéens (ex. chromitites du Bushveld et du Stillwater), il est hautement probable que les chromitites du Ménarik se poursuivent jusqu'à la base de l'intrusion.

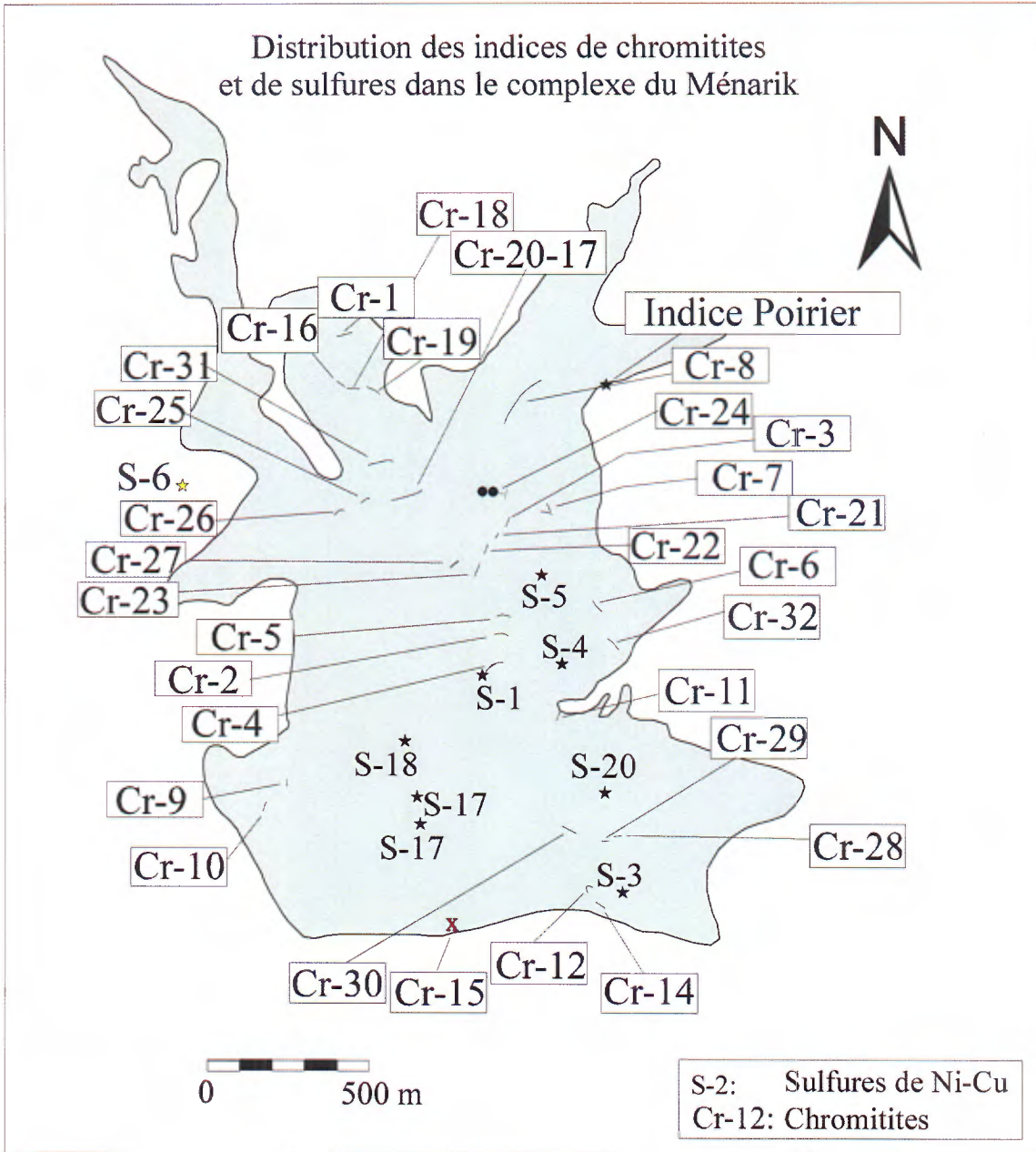


Figure 7. Distribution spatiale des indices de chromitites et de sulfures Ni-Cu-ÉGP dans le Complexe ultramafique de Ménarik.

9- CAMPAGNE DE SONDAGES 2005

L'objectif principal de la campagne de forage de 2005 était de poursuivre les travaux entrepris en 2004 visant à augmenter le plus rapidement possible les ressources indiquées par forage. Ces travaux reposent donc sur les assises et résultats des anciennes campagnes de forage réalisées pour Ressources minières Pro-Or inc. Le choix des cibles et des unités de chromitites forées reposait sur la nécessité de maximiser le tonnage en ressources indiquées et ce dans un rayon relativement court. Cette stratégie reposait sur une éventuelle exploitation à ciel ouvert (fosse) dans la partie Nord et Centre-Nord du Complexe de Ménarik. De plus, la décision d'explorer les zones les plus platinifères du Complexe reposait sur les conclusions des travaux de R et D démontrant la possibilité d'enrichir la chromite tout en extrayant les ÉGP contenu dans les chromitites. Notons finalement que les travaux de forage de 2004 et 2005 ont été réalisés avant le dépôt du rapport final sur le pilotage du procédé de carbo-chloruration.

Au total, la campagne de 2005 impliqua le forage de 3909 mètres. Les 24 sondages (MK-05-14 à MK-05-37 respectivement) avaient pour objectif d'explorer les continuités latérales et ou verticales des indices de chrome Cr-1, Cr-16-18-19, Cr-17 et Cr-31 déjà partiellement reconnus par les sondages de 1988-89, 1997 et de 2004 réalisés pour Ressources minières Pro-Or inc. (Figures 3 et 8).

9.1 LOCALISATION DES SONDAGES

Dans un premier temps, à la demande de M. Yves Pelletier, les forages ont été localisés à partir des anciennes lignes coupées les plus proches et par la suite à partir d'un levé de positionnement DGPS sub-métrique (*système DGPS RTK de Trimble*). Leurs azimuts ont été établis à la boussole puis calculés à partir des données DGPS provenant des visées avant et arrière des forages. Cette procédure étant préférable en raison de forts contrastes magnétiques reliés à la présence des roches ultramafiques riches en magnétite. La répartition géographique des sondages est représentée sur les figures 8a et 8b et dans les tableaux 2 et 3.

Dans ce rapport nous utiliserons le système de projection UTM Nad-27. Toutefois rappelons que ce système de projection n'est pratiquement plus utilisé en géodésie ou par les différentes agences gouvernementales. Ces institutions et organismes utilisent le système canadien UTM Nad-83.

9.2 TRANSPORT ET ENTREPOSAGE DES CAROTTES DE FORAGE

Les carottes des forages de la campagne 2005 ont été entreposées au camp de Pro-Or inc. situé près de la rivière Ménarik. À la demande de Ressources minières Pro-Or inc., les intersections de chromitites ont été systématiquement acheminées à une carothèque du Groupe minier St-Jacques située dans la municipalité de Taschereau (Abitibi).

Sur la propriété Ménarik, les boîtes de carotte ont été transportées sur une chenillette NORWEL appartenant au contracteur en forage. Une fois en bordure de la route Trans-Taiga, les carottes de forage ont été acheminées vers Val-d'Or en utilisant un transport par camion.

Carte de localisation des sondages (Secteur indices Cr-1 et Cr-16-18-19)

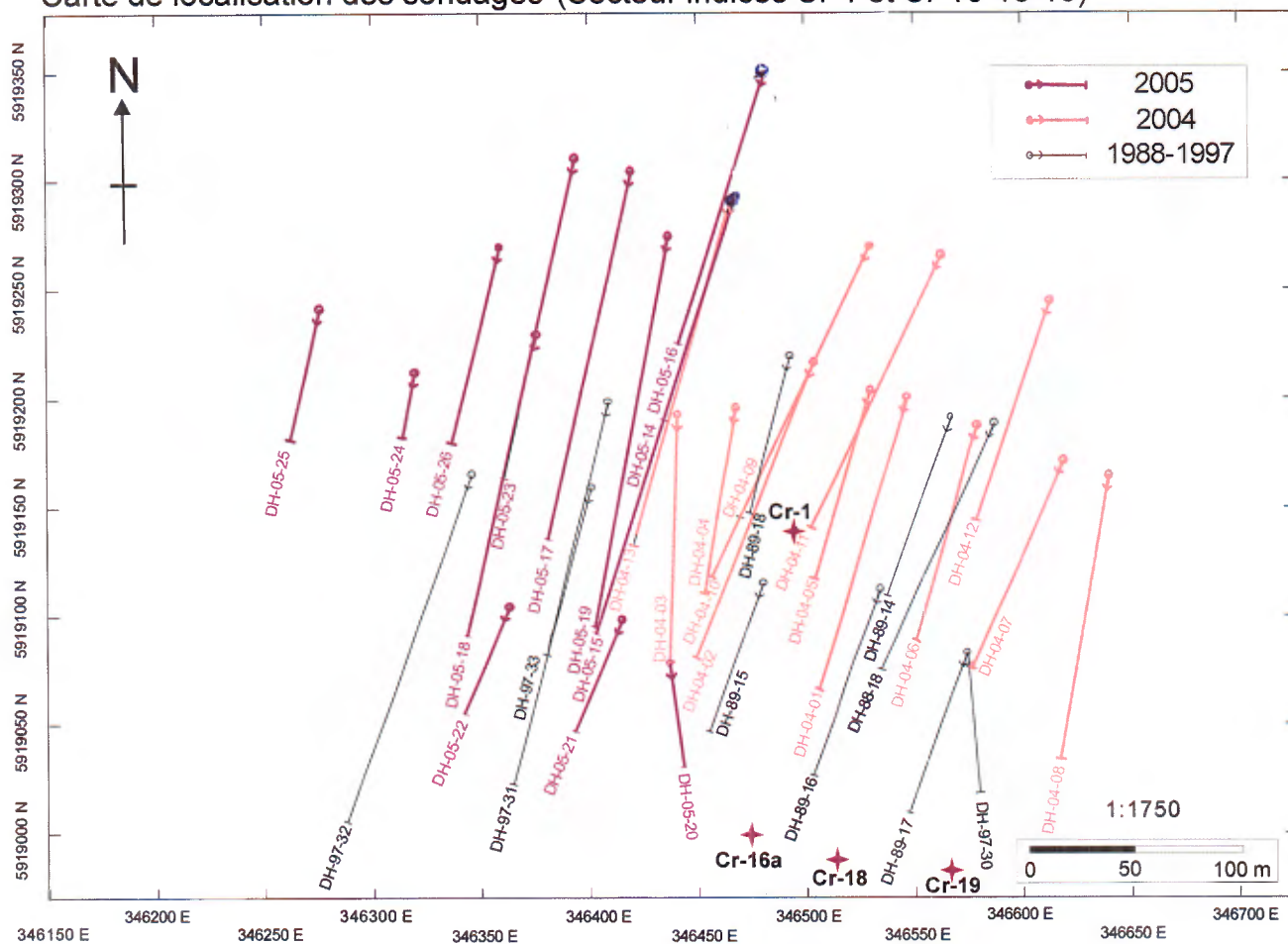


Figure. 8a. Carte de localisation des sondages de la campagne de 2005 (en mauve) et des anciens sondages des campagnes antérieures (rouge pour 2004 et noir pour les autres). Projection UTM Nad-27. Les étoiles montrent la position des indices Cr-1, Cr-16a, Cr-18 et Cr-19 en affleurement.

9.3 PRÉPARATION DES ÉCHANTILLONS

Lors de la campagne de forage, les échantillons ont été prélevés en sciant longitudinalement la carotte à l'aide d'une scie à diamant. Ce travail a été réalisé dans une carothèque temporaire aménagée sur le site de Ménarik. Les échantillons ont par la suite été soigneusement ensachés dans des sacs de plastique numérotés et un identifiant cartonné a été ajouté à l'intérieur des sacs pour éviter toutes erreurs d'identification des échantillons.

Suite au transfert des échantillons à Québec, ces derniers ont été broyés, quartés et pulvérisés aux laboratoires de l'INRS-ETE à Québec. L'ensemble de l'échantillon a été concassé et seulement quelques centaines de grammes (représentatifs de l'échantillon) ont été pulvérisés. Pour éviter toute probabilité de contamination métallique en fer et chrome, les échantillons ont été pulvérisés à l'aide d'un mortier rotatif en agate.

9.4 ANALYSE CHIMIQUE DES ÉCHANTILLONS

Le dosage quantitatif des éléments majeurs, incluant le Cr et le Fe, dans des échantillons riches en chromite (parfois jusqu'à 80%) est un problème analytique important car ce minéral est réfractaire et difficilement solubilisable dans des acides forts ou des fondants. Dans le cadre des projets de recherche réalisés pour Pro-Or inc., l'INRS-ETE a développé un protocole spécifiquement adapté à l'analyse des chromitites. Cette méthode assure la destruction complète de l'échantillon. Ce protocole est basé sur une fusion alcaline (mélange de méta et tétraborate de lithium) classique en prenant soin d'ajuster la prise d'échantillon pour éviter une digestion incomplète de l'échantillon (présence de résidus de chromite). Après fusion complète de l'échantillon, ce dernier est dissous dans de l'acide nitrique. Une précaution particulière est apportée pour éliminer les solutions montant une turbidité ou la présence de précipités chimiques secondaires. Le dosage final des échantillons translucides se fait par spectrométrie d'émission atomique à source plasma (ICP-AES). Compte tenue de la forte abondance du Cr et de Fe, un ICP-AES à détecteur radial est utilisé (Perkins Elmer, Optima 3000).

Pour des raisons de coûts, la préparation et le dosage des métaux précieux (Au, Pt, Pd) ont été réalisés par Chimitec. Les échantillons ont été envoyés au laboratoire de Val-d'Or (Qc) puis à ceux de Vancouver (CB). Les échantillons, d'un poids moyen de 25 grammes, ont été préparés par la méthode de fusion plombeuse suivit d'une coupellation et d'une digestion de la bille métallique dans *l'aqua-reggia*. Le dosage se fait par spectrométrie d'émission atomique à source plasma (ICP-AES). Lors du passage des échantillons, le contrôle de qualité implique le passage d'un blanc, d'un standard et de 2 duplicata à tous les 36 échantillons.

Notez qu'une forte proportion d'échantillons a du être réacheminée aux laboratoires de Chimitec en raison de problèmes lors de la manipulation des échantillons dans les laboratoires de Vancouver. Ce phénomène, possiblement relié à l'utilisation d'une main-d'oeuvre peu expérimentée, a plus que doubler le temps d'acquisition des données analytiques. Dans le futur, idéalement, les analyses de métaux précieux devraient être réalisées dans un autre laboratoire.

TABLEAU 2: COORDONNÉES, AZIMUTHS ET PLONGÉES DES SONDAGES DE 2005.

Campagne de forage du printemps 2005 - Propriété Ménarik, Baie-James

Localisation, longueur, plongée et azimuth des forages

Sondage	UTM-E Nad 27	UTM-N Nad 27	Élévation (m)	Longueur (m)	Plongée début (degré)	Plongée fin (degré)	Azimuth (degré)
MK-05-14	346468	5919292	180,9	170	-46,5	-54	198
MK-05-15	346468	5919292	180,9	305	-44,5	-46,5	198
MK-05-16	346482	5919350	184,4	236	-60	-61	198
MK-05-17	346420	5919304	180,5	356	-60	-60	193
MK-05-18	346394	5919310	180,6	329	-47,5	-46,5	193
MK-05-19	346437	5919274	180,7	259	-44,5	-45	191
MK-05-20	346437	5919078	169,1	58	-33	-37	173
MK-05-21	346415	5919098	168,9	80	-45	-48	203
MK-05-22	346363	5919104	167,2	76	-45	-48,5	203
MK-05-23	346376	5919229	173,7	97	-45	-49	193
MK-05-24	346320	5919212	172,5	43	-45	-45	192
MK-05-25	346276	5919241	170,0	92	-45	-53,5	193
MK-05-26	346359	5919269	180,2	136	-45	-52	194
MK-05-27	346627	5918891	168,8	161	-45	-46,5	181
MK-05-28	346627	5918892	168,8	266	-78	-78	181
MK-05-29	346627	5918891	169,0	221	-65,5	-67	181
MK-05-30	346675	5918894	169,7	130	-45	-49	182
MK-05-31	346719	5918897	170,3	134	-45	-48	181
MK-05-32	346719	5918898	170,1	149	-78	-80	181
MK-05-33	346776	5918897	170,6	113	-45	-45	181
MK-05-34	346776	5918898	170,4	114	-78	-79,5	181
MK-05-35	346824	5918882	178,5	110	-45	-49,5	181
MK-05-36	346824	5918882	178,2	114	-78	-78	181
MK-05-37	346876	5918934	175,5	161	-45	-45	181

9.5 PRÉSENTATION DES RÉSULTATS

Les journaux de sondage, rédigés par l'ingénieur-géologue Yvan Bussi eres, sont pr esent es dans l'annexe I. Les analyses chimiques, correspondantes aux  echantillons pr elev es par ce dernier, sont pr esent es  a la fin de chaque journal de sondage et dans les annexes II et III (r esultats analytiques).

La position g eographique des sondages de 2005 est pr esent ee sur les figures 8a et 8b et dans le tableau 2. Sur les figures 8a et 8b, nous avons ajout e les sondages des campagnes de 1988, 1989, 1997 et 2004 couvrant le secteur des indices Cr-1, Cr-16-18-19, Cr-17 et Cr-31. Cette compilation permet de visualiser l'agencement spatial de l'ensemble des sondages.

Dans ce rapport, nous avons de plus ajout e des sections qui repr esentent l'essentiel des observations contenues dans les journaux de sondage (annexe IV). Ces sections repr esentent des plans verticaux passant par l'axe des sondages.  a l'annexe V, nous avons ajout e une s erie de *logs* stratigraphiques montrant les caract eristiques g eologiques, les variations des abondances en Cr₂O₃, Pd et Pt et la variabilit e de la susceptibilit e magn etique observ ees dans les sondages. Les diff erents plans et sections ont  et e produits  a l'aide du logiciel *Downhole Explorer 3.0* et  edit es dans le logiciel de dessin technique *Corel-Draw 12*.

Les rapports sur les donn ees analytiques de Chimitec et de l'INRS-ETE (pr esent es dans les annexes II et III) ont  et e sign es par les chimistes responsables des deux entit es administratives (chimistes membres de l'Ordre des Chimistes du Qu ebec).

9.5.1 Sondages visant spécifiquement l'indice Cr-1 (MK-05-14, MK-05-23, MK-05-24, MK-05-25 et MK-05-26)

Ces cinq sondages vérifiaient l'extension vers l'ouest des minéralisations chromifères associées à l'indice de surface Cr-1 (Figure 8a).

A l'exception du sondage MK-05-25 (localisé le plus à l'ouest), qui n'a pas intersecté de chromitites, les cibles de chromitites ont été atteintes à des profondeurs linéaires de 6 à 243 m (note : dans ce rapport, sauf indication contraire, les profondeurs sont exprimées en fonction des distances linéaires mesurées en forage). Les échantillons prélevés sur l'indice Cr-1 ont retourné des intersections de chromitites titrant de 4,62 à 7,62 % Cr_2O_3 et de 0,34 à 0,70 g/t de Pt+Pd sur des épaisseurs variables de 10,2 à 14,3 m (Tableau 4).

Le forage MK-05-14 a intersecté la zone Cr-1 entre 137 et 147m de profondeur (intersection de 7,66 % Cr_2O_3 et 0,62 g/T Pt+Pd sur 10,3 m).

Le forage MK-05-23 a intersecté la zone Cr-1 entre 72 et 83 m. (intersection de 7,42 % Cr_2O_3 et 0,63 g/T Pt+Pd sur 10,2 m). Le MK-05-24 a intersecté la zone Cr-1 entre 6 et 20 m (intersection de 7,17 % Cr_2O_3 et 0,70 g/T Pt+Pd sur 14,3 m). Le MK-05-26 a intersecté la zone Cr-1 entre 109 et 120 m de profondeur (intersection de 4,62 % Cr_2O_3 et 0,347 g/T Pt+Pd sur 10,9 m).

La teneur moyenne de 4,62% Cr_2O_3 obtenue dans le forage MK-05-26 pourrait être influencée par la présence d'une zone cisailée recoupant le contact supérieur de la zone minéralisée Cr-1. Une certaine proportion de chromitite massive pourrait avoir été déplacée par la zone de cisaillement.

Comme pour le rapport de la campagne de 2004, les observations de la campagne de 2005 tendent à démontrer l'importance de la déformation tardive sur la géométrie des corps minéralisés.

9.5.2 Sondages visant l'intersection des indices Cr-1 et Cr-16 (MK-05-15, MK-05-16, MK-05-17, MK-05-18 et MK-05-19)

Ces cinq sondages vérifiaient simultanément l'extension vers l'ouest des minéralisations chromifères associées aux indices de surface Cr-1 et 16 (Figure 8a).

Le forage MK-05-15 a intersecté la zone Cr-1 de 135 à 142 m de profondeur (intersection de 6,31% Cr_2O_3 et 0,63g/T Pt+Pd sur 6,8m). La zone Cr-16, prévue vers 250 m, est absente dans ce sondage. Le journal de sondage montre que le secteur est affecté par la présence de deux zones de schistes à biotite de 10 mètres d'épaisseur pouvant correspondre à un important corridor de déformation. Ce dernier pourrait expliquer le déplacement de la zone Cr-16 dans ce secteur.

Le forage MK-05-16, implanté le plus au nord, visait l'intersection de l'indice Cr-1 en plus grande profondeur. Un horizon de chromitite a été intersecté entre 243 et 252 m et retourné des valeurs très élevées en Cr_2O_3 (9,58% Cr_2O_3 et 0,27 g/T de Pt+Pd sur 9,4 m). Les hautes teneurs en Cr_2O_3 et les plus faibles abondances en Pt+Pd ne ressemblent pas aux intersections normalement observées pour l'indice Cr-1. Ces teneurs rappellent celles observées dans des indices situés plus au sud comme l'indice Cr-31. De plus, lorsque projeté le long d'une section transversale, la zone minéralisée apparaît plus profondément que prévu. Ce secteur serait possiblement affecté par des failles.

Le MK-05-17 a intersecté la zone Cr-1 entre 96 à 165 m de profondeur (3 intersections de 3,78 à 7,49 % Cr_2O_3 et de 0,15 à 0,56 g/T Pt+Pd sur 2,3 à 11,1 m). La présence de la zone Cr-1 sur une épaisseur aussi grande s'explique par la présence de 27m de filon-couches gabbroïques injectant la zone minéralisée. En excluant les zones gabbroïques, la distribution des ÉGP sur les log stratigraphiques du sondage MK-05-17 est semblable à la tendance observée dans les autres intersections de l'indice Cr-1 (enrichissement en Pt+Pd vers le bas du sondage). Le sondage a intersecté la zone Cr-16 entre de 322,5 à 339 m de profondeur (intersection de 7,05% Cr_2O_3 et 0,28g/T Pt+Pd sur 16,9m).

Le forage MK-05-18, après avoir traversé plus de 150m de gabbro, n'a pas intersecté de chromitites. La zone Cr-1, prévue dans la partie supérieure du sondage, est absente en raison de

la présence d'un corps gabbroïque relativement épais. La zone Cr-16, prévue dans la partie inférieure du sondage, est absente malgré la présence de péridotites à faciès cumulatifs.

Le forage MK-05-19 a intersecté la zone Cr-1 entre 125 à 138m de profondeur (intersection de 8,03% Cr_2O_3 et 0,41g/T Pt+Pd sur 12m). La zone Cr-16, prévue vers 225-250 m, est absente dans ce sondage. Comme pour le forage MK-05-15, le journal du sondage MK-05-19 montre que les péridotites sont affectées par la présence de deux importantes zones de déformation soulignées par la présence de schistes à biotite. Cette zone de déformation pourrait expliquer le déplacement de la zone Cr-16.

9.5.3 Sondages visant spécifiquement l'intersection de l'indice Cr-16 (MK-05-20, MK-05-21 et MK-05-22).

Ces sondages, situés au sud des précédents, vérifiaient spécifiquement l'extension vers l'ouest des minéralisations chromifères associées à l'indice de chromitite Cr-16 (figure 8a). Les sondages MK-05-20, MK-05-21 ont intersecté la zone Cr-16 tandis que le MK-05-22, situé à 100 m à l'ouest de MK-05-20, n'a pas intersecté de zones minéralisées.

Le forage MK-05-20 a intersecté la zone Cr-16 de 30 à 41 m de profondeur (intersection de 8,22% Cr_2O_3 et 0,58g/T Pt+Pd sur 11,4m).

Le forage MK-05-21 a intersecté la zone Cr-16 de 42 à 66 m de profondeur (intersection de 7,01% Cr_2O_3 et 0,50g/T Pt+Pd sur 23,6m) et ce sur une très grande épaisseur.

Le forage MK-05-22 visait une intersection de l'indice de chromitite Cr-16 située théoriquement vers 60 à 75 m de profondeur (le long du trou). Il a intersecté une péridotite cumulative bordée en profondeur par une importante zone de cisaillement d'une épaisseur de 3 m (sondage terminé dans cette zone). Il est probable que la zone Cr-16 soit présente en plus grande profondeur ou qu'elle soit localement déplacée latéralement par une zone de déformation.

9.5.4 Sondages visant l'intersection des indices Cr-17 et 31.

Ces sondages vérifiaient l'extension vers l'est et en profondeur des minéralisations chromifères associées aux indices de chromitite Cr-17 et Cr-31 (figure 8b). Ce secteur a fait l'objet de 15 sondages entre 1988 et 1997.

Les 9 nouveaux sondages se répartissent le long de quatre sections orientées N-S. De l'ouest vers l'est, nous présenterons les sections MK-05 (sondages 27-28-29), MK-05 (sondages 31-32), MK-05-(sondages 33-34) et MK-05 (sondages 35-36). Le sondage MK-05-30 a été implanté entre les sections MK-05 (sondages 27-28-29) et MK-05 (sondages 31-32). Le dernier sondage de la campagne de 2005, le MK-05-37, a été implanté le plus à l'est.

9.5.4.1 Section des sondages MK-05-27, MK-05-28 et MK-05-29

Ces trois sondages sont situés sur une section N-S qui recoupe les zones Cr-17 et 31 dans la partie ouest (figure 8 b). Dans ce secteur, la minéralisation en affleurement est orientée grossièrement selon un axe est-ouest et pente vers le nord. Ainsi, il est normal d'intersecter en premier la zone Cr-31 et par la suite la zone Cr-17.

Le forage MK-05-27 a intersecté la zone Cr-31 de 70 à 79 m de profondeur (intersection de 7,47% Cr_2O_3 et 0,24g/T Pt+Pd sur 9,3m). La zone Cr-17 a été intersectée entre 139 et 148m (intersection de 7,71% Cr_2O_3 et 0,65g/T Pt+Pd sur 9,3m).

Le forage MK-05-28 a intersecté la zone Cr-31 entre 114 à 129 m de profondeur (intersection de 8,32% Cr_2O_3 et 0,72g/T Pt+Pd sur 15,65m). En profondeur, le MK-05-28 n'a pas intersecté l'indice Cr-17. À la place, le journal de sondage rapporte la présence de zones de déformation.

Le forage MK-05-29 a intersecté la zone Cr-31 entre 87 à 98 m de profondeur (intersection de 8,28% Cr_2O_3 et 0,53g/T Pt+Pd sur 11,10m). La zone Cr-17 n'a pas été intersectée dans ce sondage. L'absence de Cr-17 est difficilement explicable compte tenu de la présence de péridotites cumulatives dans ce secteur.

Dans l'ensemble, ces sondages indiquent une ouverture de la zone minéralisée vers l'ouest mais pour l'instant nous ne savons pas si la minéralisation est présente à plus de 225m de profondeur.

9.5.4.2 Sondage MK-05-30

Ce sondage a été implanté entre les sections des sondages MK-05-27 et 28 et MK-05-31 et 32. Le sondage MK-05-30 est localisé dans une section regroupant l'ancien sondage MK-89-11 implanté lors de la campagne de 1989.

Le sondage MK-05-30 a intersecté la zone Cr-31 entre 62 à 73 m de profondeur (intersection de 9,97% Cr_2O_3 et 0,50g/T Pt+Pd sur 10,50m). Le même sondage a intersecté la zone Cr-17 entre 109 et 118 m (intersection de 10,05% Cr_2O_3 et 0,67g/T Pt+Pd sur 8,90m). Sur la section du sondage MK-05-30 (Annexe IV), il semble probable que le trou MK-89-11 aurait possiblement intersecté l'indice Cr-31 s'il avait été implanté légèrement plus au nord.

9.5.4.3 Section des sondages MK-05-31 et, MK-05-32

Ces deux sondages sont situés sur une section N-S qui devrait recouper les zones Cr-17 et 31 (figure 8 b; Annexe IV). L'examen sommaire des logs stratigraphiques montre que les sondages débutent dans des zones hautement déformées marquées par la présence de schistes à biotite et de brèches de faille. Ces zones de déformation ont une épaisseur d'environ 50 mètres. Ces dernières montrent de plus des évidences d'injections par des roches gabbroïques. Ces structures semblent expliquer l'absence de l'indice Cr-31 dans ce secteur. Notons que ces zones de déformation ne sont pas reflétées dans le sondage MK-05-30 (situé 50m à l'ouest) ni dans les sondages MK-05-33 et 34 (situés 50 m à l'est). Cette zone de déformation doit donc recouper le secteur à fort angle par rapport à la stratigraphie locale qui est généralement orientée est-ouest.

Le forage MK-05-31 n'a donc pas été intersecté la zone Cr-31 dans la partie supérieure du sondage. Le forage a tout de même intersecté la zone Cr-17 entre 108 à 119 m de profondeur (intersection de 9,58% Cr_2O_3 et 0,45g/T Pt+Pd sur 11,30m).

Tout comme pour le sondage MK-05-31, la présence d'une très importante zone de déformation dans la partie supérieure du sondage MK-05-32 suggère le déplacement de la zone minéralisée

Cr-31. Le forage MK-05-32 a intersecté la zone Cr-17 de 128 à 130 m de profondeur (intersection de 5,01% Cr₂O₃ et 0,24g/T Pt+Pd sur 1,90m). La faible teneur moyenne ainsi que la faible épaisseur de la zone minéralisée s'expliqueraient par l'injection d'un dyke gabbroïque et la présence d'une seconde zone de déformation dans la partie inférieure du sondage. Il serait probable de retrouver la suite de la zone Cr-17 à une plus grande profondeur dans cette section.

9.5.4.4 Section des sondages MK-05-33 et MK-05-34

Ces deux sondages sont situés sur une section N-S qui devait recouper les zones de chromitites Cr-17 et 31 (figure 8 b). Tout comme pour les forages précédents (MK-05-31 et 32), l'examen sommaire des logs stratigraphiques et de la section (Annexe IV) ne montre pas la présence de la zone de chromitite Cr-31. Contrairement aux sondages MK-05-31 et MK-05-32, les péridotites semblent moins déformées et la zone de schiste à biotite ne fait que 2 m d'épaisseur et la zone de péridotites cisillées que 2,2 m d'épaisseur.

Le forage MK-05-33 a intersecté la zone Cr-17 de 96 à 106 m de profondeur (intersection de 9,75% Cr₂O₃ et 0,31g/T Pt+Pd sur 9,90 m).

Le forage MK-05-34 a intersecté la zone Cr-17 de 88 à 98 m de profondeur (intersection de 7,95% Cr₂O₃ et 0,29g/T Pt+Pd sur 10,0 m).

9.5.4.5 Section des sondages MK-05-35 et MK-05-36

Ces deux sondages sont situés sur une section N-S localisée dans la partie est du secteur étudié. Ces sondages devaient également recouper les zones Cr-17 et 31 (figure 8 b). L'examen sommaire des logs stratigraphiques et de la section (Annexe IV) ne montre pas la présence de la zone de chromitite Cr-31. Le sondage MK-05-35 montre la présence de deux zones schisteuses de 2 à 3m d'épaisseur (de 41 à 44 m et de 49 à 51 m) et le sondage MK-05-36 une zone de péridotites et de gabbros cisillés de 55 à 77 m et de gabbros brèchiques (avec brèches de faille) entre 73 et 77 m. Ces structures tardives semblent influencer la distribution spatiale des zones

minéralisées. Notons qu'elles sont observées à la profondeur où l'indice Cr-31 devait être normalement intersecté.

Le forage MK-05-35 a intersecté la zone Cr-17 de 82 à 94 m de profondeur (intersection de 7,93% Cr₂O₃ et 0,51g/T Pt+Pd sur 11,60 m).

Le forage MK-05-36 a intersecté la zone Cr-17 de 82 à 98 m de profondeur (intersection de 8,24% Cr₂O₃ et 0,46g/T Pt+Pd sur 15,20 m).

9.5.4.6 Sondage MK-05-37

Ce dernier sondage de la campagne de 2005 est localisé le plus à l'est. Comme les sondages précédents, il ne recoupe que la zone de chromitites Cr-17.

Le forage MK-05-37 a intersecté la zone Cr-17 entre 80 à 96 m de profondeur (intersection de 9,54% Cr₂O₃ et 0,69g/T Pt+Pd sur 16,70 m).

9.5.5 Angles d'intersection des sondages avec le litage stratigraphique des chromitites

Les données moyennes des angles A/C pour le litage des chromitites sont présentées dans le tableau 3. Ces données, mesurées sur les carottes de forage, permettent d'évaluer l'angularité de l'intersection des sondages avec les zones de chromitites ou les zones de déformation (schistosité).

Pour les sondages de 2005, l'angle A/C moyen est de 56° pour l'indice Cr-1, de 43° pour le Cr-16, de 58° pour le Cr-17 et finalement l'angle est de 49° pour l'indice Cr-31. Ces données montrent qu'en général les zones minéralisées ne sont pas intersectées par les sondages d'une façon orthogonale. Conséquemment, pour le calcul des ressources minérales, ce facteur doit être tenu en considération.

Notons que l'angle A/C mesuré pour le litage magmatique peut être variablement affecté par la présence de zones de déformation. Par exemple, dans le sondage MK-05-16, le litage magmatique passe abruptement de 50° à 15° au voisinage d'une zone de cisaillement. Dans l'ensemble des sondages de 2005, les zones schisteuses montrent des intersections (A/C)° variables de 15 à 25° ce qui démontre que ces foliations ne sont pas parallèles à la stratification magmatique (S₀).

Tableau 3. Angles d'intersection (moyenne) du litage des chromitites par rapport à l'axe long des carottes de forage (A/C) de la campagne de 2005.

Sondage	indice	(A/C)°
MK-05-14	Cr-1	50
MK-05-15	Cr-1	73
MK-05-16	Cr-1	22
MK-05-17	Cr-1	43
MK-05-17	Cr-16	42
MK-05-19	Cr-1	72
MK-05-20	Cr-16	55
MK-05-21	Cr-16	32
MK-05-23	Cr-1	51
MK-05-24	Cr-1	63
MK-05-26	Cr-1	70
MK-05-27	Cr-31	38
MK-05-27	Cr-17	56
MK-05-28	Cr-31	49
MK-05-29	Cr-31	44
MK-05-30	Cr-31	65
MK-05-30	Cr-17	70
MK-05-31	Cr-17	60
MK-05-32	Cr-17	60
MK-05-33	Cr-17	53
MK-05-34	Cr-17	75
MK-05-35	Cr-17	46
MK-05-36	Cr-17	49
MK-05-37	Cr-17	48

9.6 SECTIONS LONGITUDINALES

9.6.1 Sections longitudinales (Cr1-Cr16)

Les figures 9 et 10 montrent des sections longitudinales verticales orientées N285°-N105° et passant au voisinage de l'indice Cr-1 (en surface). Cette section regroupe les informations provenant des sondages de 1988-89, 1997, 2004 et 2005 et ce dans une zone d'influence de 150m de part et d'autre de la section. Notez que la section longitudinale n'est pas idéale en raison de la variabilité dans les directions des forages implantés lors des différentes campagnes. De plus, la représentation spatiale est verticale au lieu d'être inclinée dans le plan de la stratigraphie magmatique. La direction choisie est grossièrement perpendiculaire à la direction moyenne des forages implantés dans ce secteur.

Nous avons projeté sur la figure 9 uniquement les forages afin de pouvoir visualiser rapidement la distribution et la profondeur relative des nouveaux sondages implantés en 2005 (en rouge sur la figure). Les sondages apparaissant en pointillés ne sont pas inclus dans la zone d'influence et sont montrés à titre indicatif.

La figure 10 montre la distribution spatiale des principales intersections décrites dans le texte et au tableau 4. Ces intersections reflètent l'épaisseur d'intersections significatives de chromitites. En réalité, l'épaisseur réelle des zones de chromitites est souvent de 2 à 3 fois plus importante que les épaisseurs indiquées sur cette section. Toutefois, nous avons préféré présenter les intersections de plus de 6% Cr₂O₃. Ne pouvant établir avec certitude une teneur de coupure (compte tenu de l'incertitude sur les éventuels coûts de production du gisement de chromite), nous avons fixé arbitrairement cette valeur.

L'alignement des intersections (rectangles rouges) peu profondes sur la figure 10 correspond à l'indice Cr-1 tandis que l'alignement d'intersections plus profondes correspond à l'indice Cr-16. Dans l'ensemble, la section montre que la minéralisation en chromite peut être observée jusqu'à 280m de profondeur (profondeur verticale) sous la surface. Les teneurs et épaisseurs des intersections observées en profondeur n'indiquent pas une atténuation de la minéralisation en chromitites en fonction de l'accroissement de la profondeur. Ceci est encourageant et suggère un potentiel minéral en chromite et ÉGP pouvant s'étendre à des profondeurs de l'ordre de 400 à 600m.

Section verticale N285° (indices Cr-1 et Cr-16) - Projet Ménarik

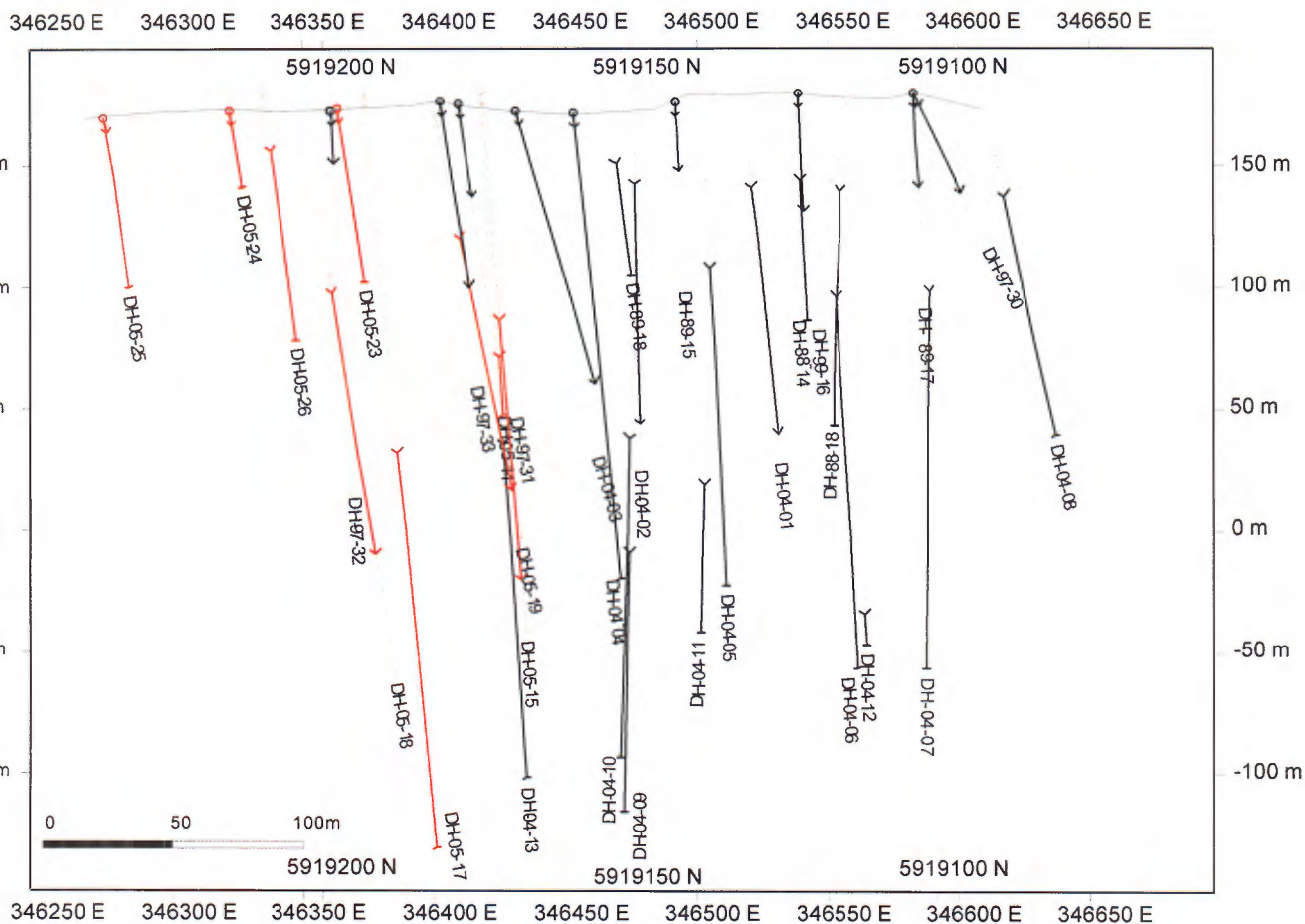


Figure 9. Section longitudinale verticale passant par l'indice de surface Cr-1 et orientée à N285°-N105°. Les forages de la campagne de 2005 sont représentés en rouge. La zone d'influence de la longitudinale est de 150m.

Section verticale N285° (indices Cr-1 et Cr-16) - Projet Ménarik

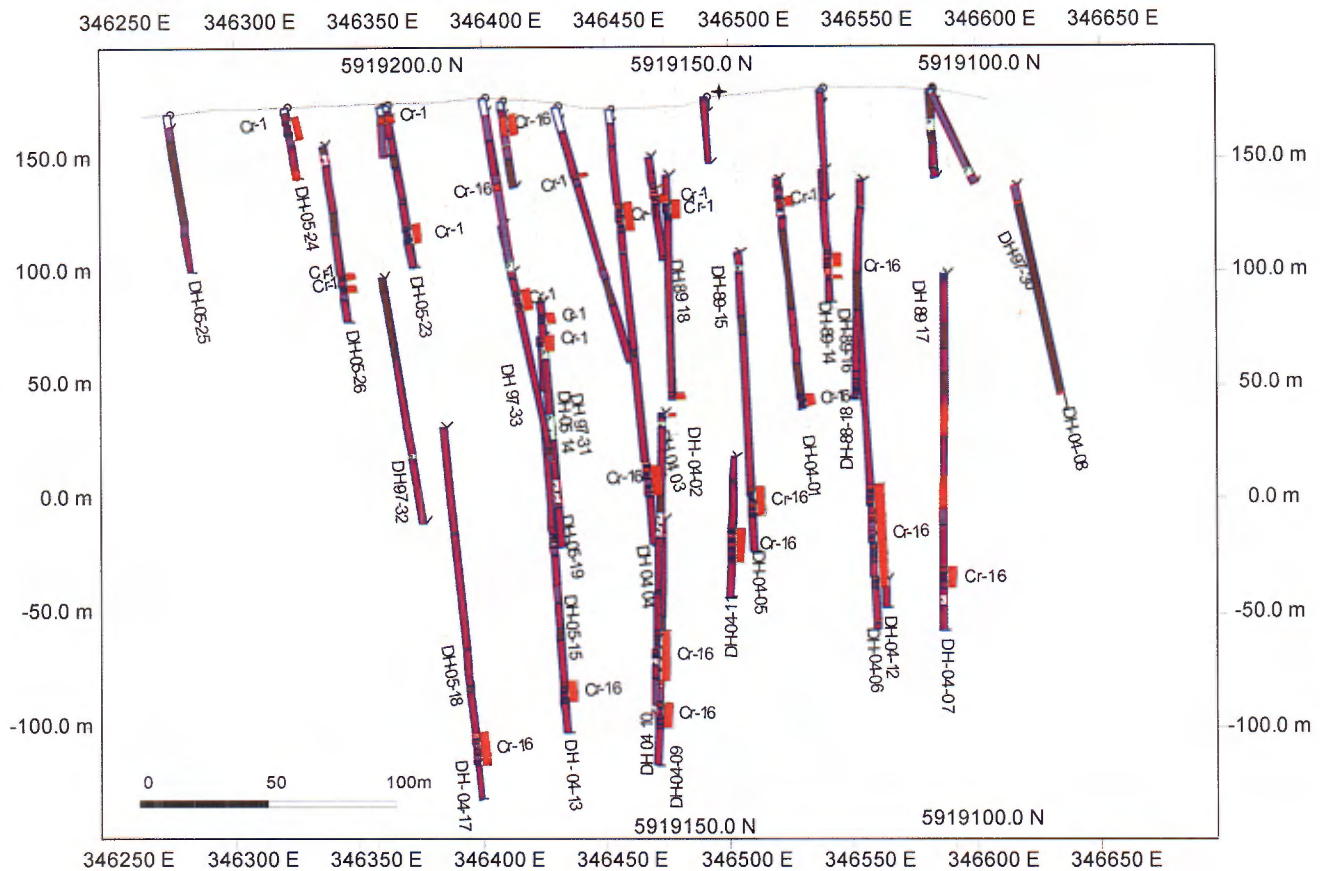


Figure 10. Section longitudinale verticale passant par l'indice de surface Cr-1 et orientée N285°-N105°. La zone d'influence de la longitudinale est de 150m. Les intersections associées aux indices Cr-1 et Cr-16 sont représentées pour visualiser la répartition spatiale de ces indices. La trace en pointillée de certains forages indique une projection à l'extérieur de la zone d'influence de la section.

9.6.2 Section longitudinale (Cr17-Cr31)

La section longitudinale présentée à la figure 11 montre la distribution des minéralisations de chromitites Cr17 et Cr31 dans un plan vertical orienté Est-Ouest. Cette section n'est pas une pure longitudinale car cette dernière devrait penter vers le nord et ce d'une façon parallèle au litage des chromitites. L'incertitude sur le pendage réel des zones de chromitite en raison de zones de déformation schisteuses observées dans les sondages, rend incertain ce type de représentation. La section permet de montrer la présence de l'indice Cr-31 près de la surface dans la partie centre et est de la section et l'omniprésence de l'indice Cr-17 (en profondeur) dans la zone représentée par la section. Notez que la section longitudinale vertical passe par la latitude 5917750N et que sa zone d'influence est de 150 m.

Section longitudinale Cr-17/Cr31 orientée E-W (5917750 N)

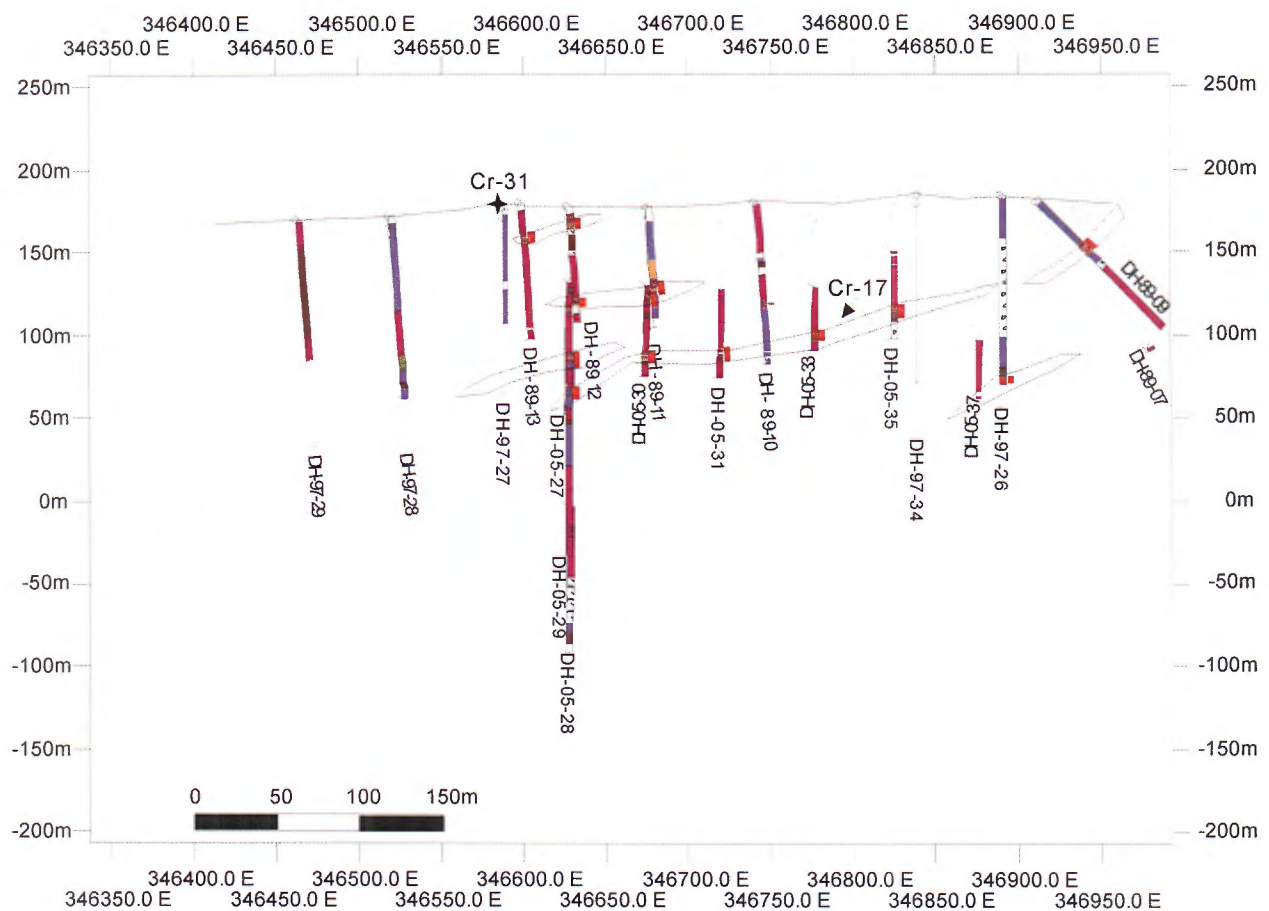


Figure 11. Section longitudinale verticale passant par l'indice de surface Cr-31 et orientée E-W (section passant par 5917750 N). La zone d'influence de la longitudinale est de 150m. La trace en pointillée de certains forages indique une projection à l'extérieur de la zone d'influence de la section.

9.7 SECTIONS TRANSVERSALES

9.7.1 Section transversale (Cr1-Cr16)

La section présentée sur la figure 12 présente une vue composite de la distribution des minéralisations chromifères dans la partie Nord du Complexe intrusif de Ménarik. Cette figure présente une coupe grossièrement nord-sud (en réalité N 015°) avec un observateur qui serait situé à l'Ouest de la section. Sur cette dernière, les indices de chromitites Cr-1 pendent de 43 à 62° et Cr-16 de 28 à 57° (vers le nord) et semblent affectés par une zone de faille inverse possiblement située près du contact entre les roches ultramafiques et les roches tonalitiques et gabbroïques qui marquent la limite Nord du Complexe intrusif.

La présence de structures tardives pourrait expliquer les contrastes géologiques et géométriques observés dans l'attitude des minéralisations entre les positions 5919100 et 5919200 N. Pour l'instant, nous ne possédons pas suffisamment d'informations pour préciser la nature de ces déplacements. Toutefois, les observations provenant de l'examen de la section transversale semblent compatibles avec les très nombreuses observations de changements de pendage de la stratification magmatique (variation des angles A/C) observés dans les unités de chromitites (surtout Cr-1) présentes au voisinage de schistes, de brèches ou de péridotites cisillées.

Les intersections, observées en grande profondeur sur les sections des figures 12 et 13, pourraient s'expliquer par un déplacement le long d'une faille inverse. Alternativement, ces intersections pourraient être interprétées comme une évidence de la présence d'un autre indice de chromite dans le secteur. Pour l'instant, nous ne possédons pas suffisamment d'informations pour suggérer l'existence d'une nouvelle zone de chromitite située stratigraphiquement sous l'indice Cr-16.

L'utilisation de marqueurs géochimiques (terres rares, actinides et autres éléments à forts champs ioniques) permettrait de caractériser les différentes chromitites et ainsi permettre une reconstitution de l'architecture et de la stratigraphie des zones minéralisées.

Section transversale Cr-1/Cr-16 orientée NO15° -N195°

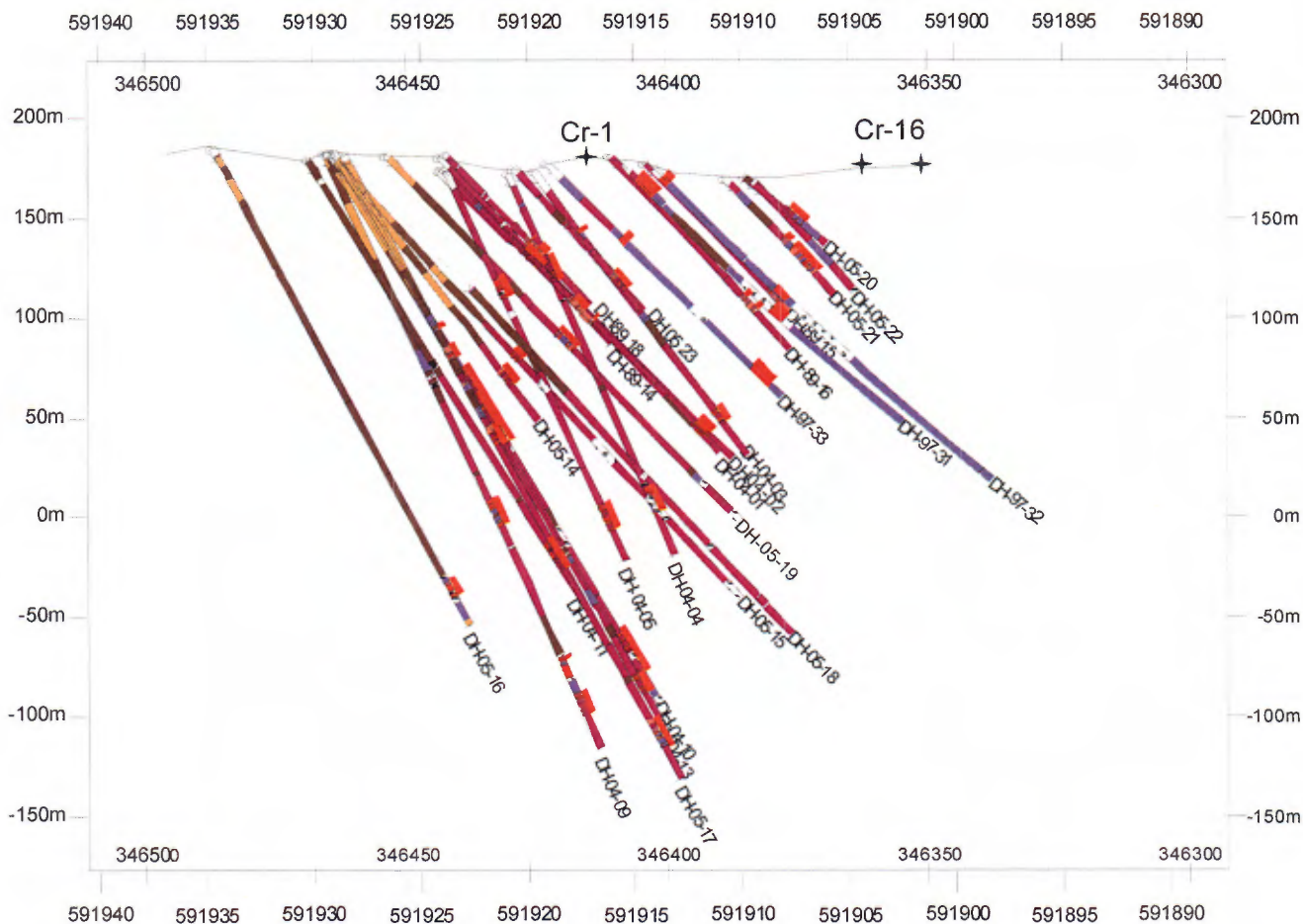


Figure 12. Section transversale orientée NO15°–N195° et passant par les indices de surface Cr-1 et Cr-16. Notez la présence des deux principales unités de chromitites Cr-1 et Cr-16 qui pendent vers le nord. Les étoiles près de la surface correspondent à la localisation des indices Cr-1, 16 et 16a tel qu’observée en affleurement.

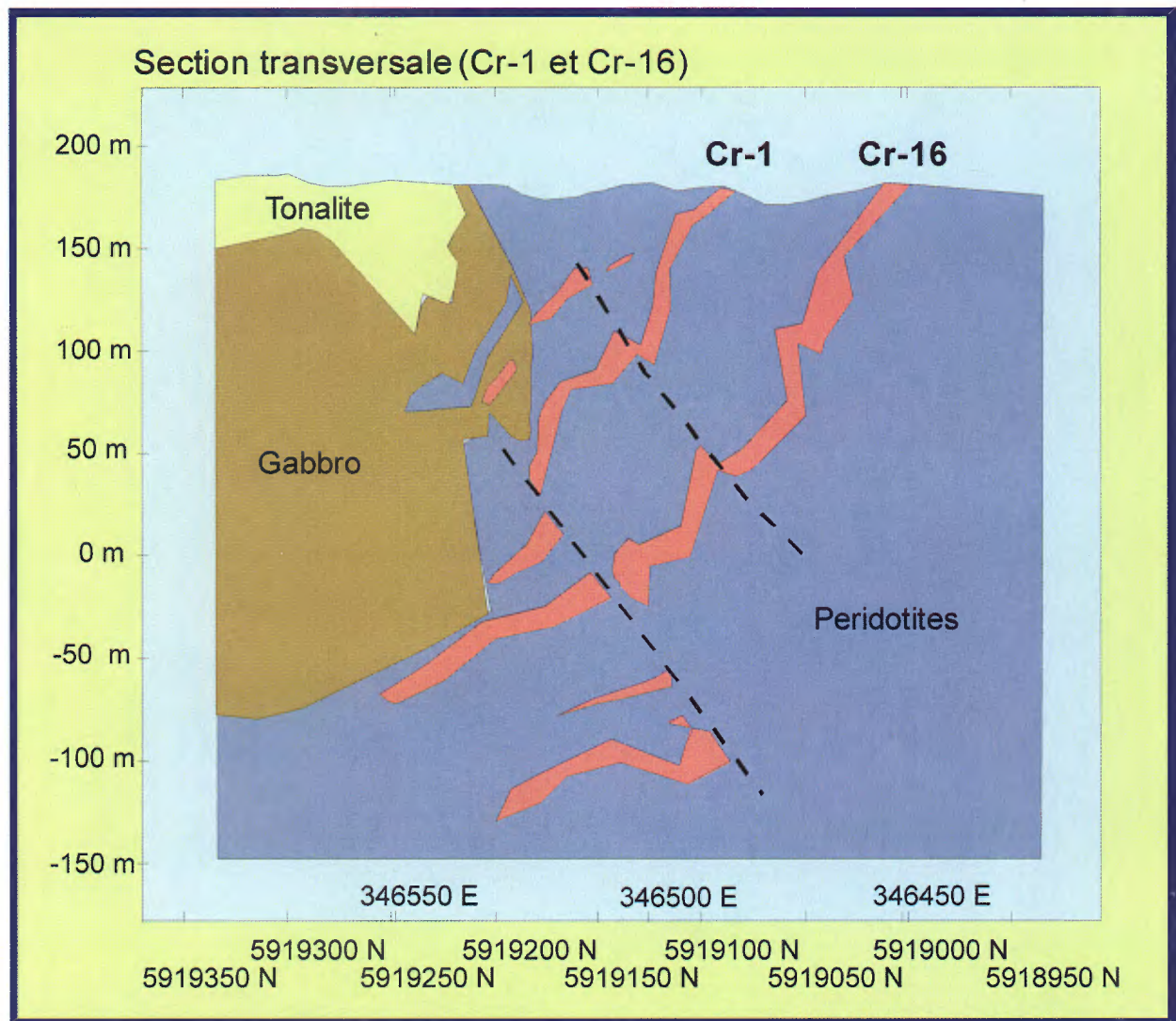


Figure 13. Section transversale interprétée suggérant la présence d'un déplacement important des unités de chromitites le long d'une structure à déplacement inverse. L'interprétation suggère une remontée du bloc Sud sur le bloc Nord.

Section transversale Cr-17/Cr31 orientée N-S (346850E)

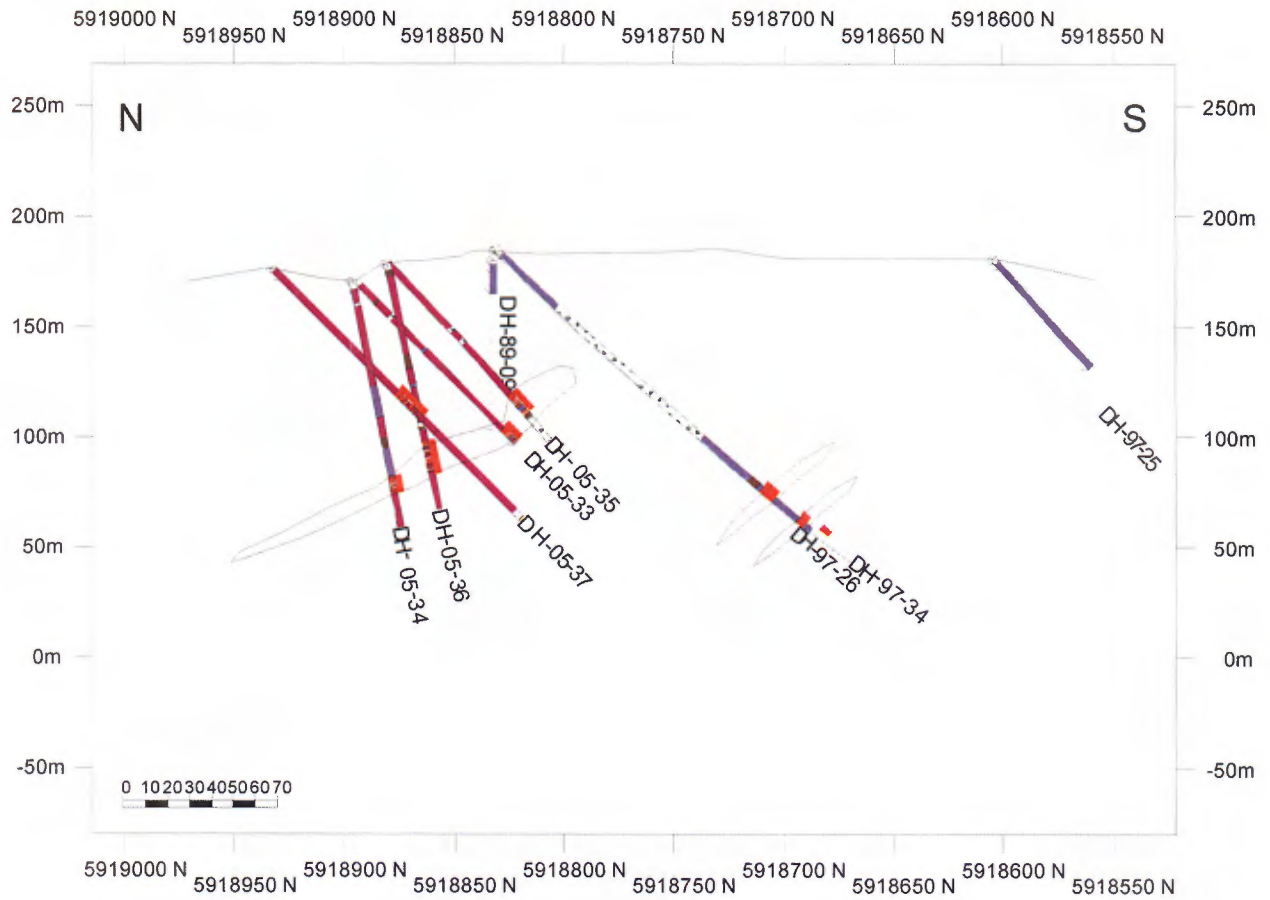


Figure 15. Section transversale orientée Nord-Sud. La zone d'influence de la section est de 150m. La section passe à la longitude 346850E.

**TABLEAU 4. PRINCIPAUX RÉSULTATS DE A CAMPAGNE DE FORAGE DE 2005.
LES INTERSECTIONS RAPPORTÉES SONT CALCULÉES POUR DES ONES.**

Résultats de la campagne de forage 2005

Propriété Ménarik de Ressources minières Pro-Or inc.

Sondage	Indice	Cr ₂ O ₃ (% pds)	Au (g/t)	Pt (g/t)	Pd (g/t)	Σ Pt et Pd (g/t)	Épais. (m)	de (m)	à (m)
MK-05-14	Cr-1	7,66	0,01	0,14	0,48	0,62	10,3	136,9	147
MK-05-15	Cr-1	6,31	0,01	0,14	0,49	0,63	6,8	135	142
MK-05-16	Cr-1	9,58	0,00	0,07	0,20	0,27	9,4	242,8	252
MK-05-17	Cr-1	3,78	0,00	0,04	0,11	0,15	4,6	94,6	99,2
MK-05-17	Cr-1	6,77	0,01	0,06	0,17	0,23	7,6	108,2	116
MK-05-17	Cr-1	4,93	0,01	0,05	0,16	0,21	2,3	128	130
MK-05-17	Cr-1	7,49	0,01	0,10	0,45	0,56	11,1	154	165
MK-05-17	Cr-16	7,05	0,00	0,06	0,22	0,28	16,9	322,5	339
MK-05-19	Cr-1	8,03	0,00	0,07	0,33	0,41	12,0	124,7	137
MK-05-20	Cr-16	8,22	0,01	0,11	0,47	0,58	11,4	29,6	41
MK-05-21	Cr-16	7,01	0,00	0,09	0,40	0,50	23,6	42,15	65,8
MK-05-23	Cr-1	7,42	0,02	0,13	0,50	0,63	10,2	72,35	82,6
MK-05-24	Cr-1	7,17	0,01	0,15	0,55	0,70	14,3	5,7	20
MK-05-26	Cr-1	4,62	0,00	0,07	0,27	0,34	10,9	108,9	120
MK-05-27	Cr-31	7,47	0,00	0,06	0,18	0,24	9,3	70,1	79,4
MK-05-27	Cr-17	7,71	0,00	0,14	0,51	0,65	9,3	138,7	148
MK-05-28	Cr-31	8,32	0,01	0,13	0,58	0,72	15,7	113,6	129
MK-05-29	Cr-31	8,28	0,00	0,09	0,43	0,53	11,1	86,7	97,8
MK-05-30	Cr-31	9,97	0,00	0,10	0,40	0,50	10,5	62,4	72,9
MK-05-30	Cr-17	10,05	0,00	0,13	0,54	0,67	8,9	109	118
MK-05-31	Cr-17	9,58	0,00	0,09	0,36	0,45	11,3	107,6	119
MK-05-32	Cr-17	5,01	0,00	0,07	0,17	0,24	1,9	128,4	130
MK-05-33	Cr-17	9,75	0,00	0,07	0,25	0,31	9,9	95,8	106
MK-05-34	Cr-17	7,95	0,05	0,07	0,22	0,29	10,0	88,1	98,1
MK-05-35	Cr-17	7,93	0,00	0,11	0,40	0,51	11,6	82,3	93,9
MK-05-36	Cr-17	8,24	0,00	0,10	0,36	0,46	15,2	82,4	97,6
MK-05-37	Cr-17	9,54	0,03	0,15	0,54	0,69	16,7	79,7	96,4

9.8 LONGITUDINALES INTERPRÉTÉES DES INDICES Cr-1, Cr-16, Cr-17 ET Cr-31.

Les figures 16 à 19 présentent une interprétation préliminaire de longitudinales réalisée par Yvan Bussi res (Ing. G ol.). Ces figures ont  t  utilis es pour calculer les ressources indiqu es suite aux r sultats des campagnes de forage de 1988   2005. Dans notre rapport, nous rapportons uniquement les plans pour permettre une visualisation simplifi e de la g om trie des zones et de leurs continuit s lat rales et verticale. Le calcul final des ressources sera r alis  en d cembre 2005 et janvier 2006 par Yvan Bussi res et le Groupe Roche de Qu bec.

La figure 16 montre la r partition des zones min ralis es ainsi que les futures cibles de forage (cercles en jaune) associ es   l'indice Cr-1. Notez que pour des profondeurs situ es entre la surface et 125 m, Cr-1 est ferm e vers l'Est. De la m me fa on, la zone est ferm e   faible profondeur vers l'ouest en raison de l'absence de min ralisations dans le sondage MK-05- 25 qui est situ    50m   l'ouest du sondage MK-05-24 (projection   l'ext rieur du diagramme). Notez  galement que la zone Cr-1 demeure ouverte en profondeur (  plus de 225m   partir de la surface. L'implantation de 6 nouveaux sondages dans ce secteur permettrait de pr ciser ces observations tout en augmentant les ressources indiqu es pour ce secteur.

La figure 17 montre la r partition des zones min ralis es ainsi que les futures cibles de forage associ es   l'indice Cr-16. Notez que pour des profondeurs situ es entre la surface et 175 m Cr-16 est ferm e vers l'Ouest. La zone demeure toutefois compl tement ouverte vers l'Est et ce ind pendamment de la profondeur d'investigation. Notez  galement que la zone Cr-16 demeure ouverte en profondeur et ce   plus de 300m sous la surface. L'implantation de 11 nouveaux sondages dans ce secteur permettrait de pr ciser ces observations tout en augmentant les ressources indiqu es pour ce secteur.

La figure 18 montre la r partition des zones min ralis es et les futures cibles de forage associ es   l'indice Cr-17. Notez qu'entre 0 et 200m de la surface, la zone Cr-17 semble ouverte vers l'Est et l'Ouest. En profondeur, la zone semble ferm e vers l'Ouest et il est probable qu'elle continue en profondeur dans la partie Est. L'implantation de 10 nouveaux sondages dans ce secteur permettrait de pr ciser ces observations tout en augmentant les ressources indiqu es pour ce secteur.

La figure 19 montre la r partition des zones min ralis es ainsi que les futures cibles de forage associ es   l'indice Cr-31. Notez que la zone Cr-31 demeure ouverte vers l'Ouest et dans la partie centrale de la section. Vers l'Est, la zone est ferm e entre 60 et 125 m et probablement en sub-surface.

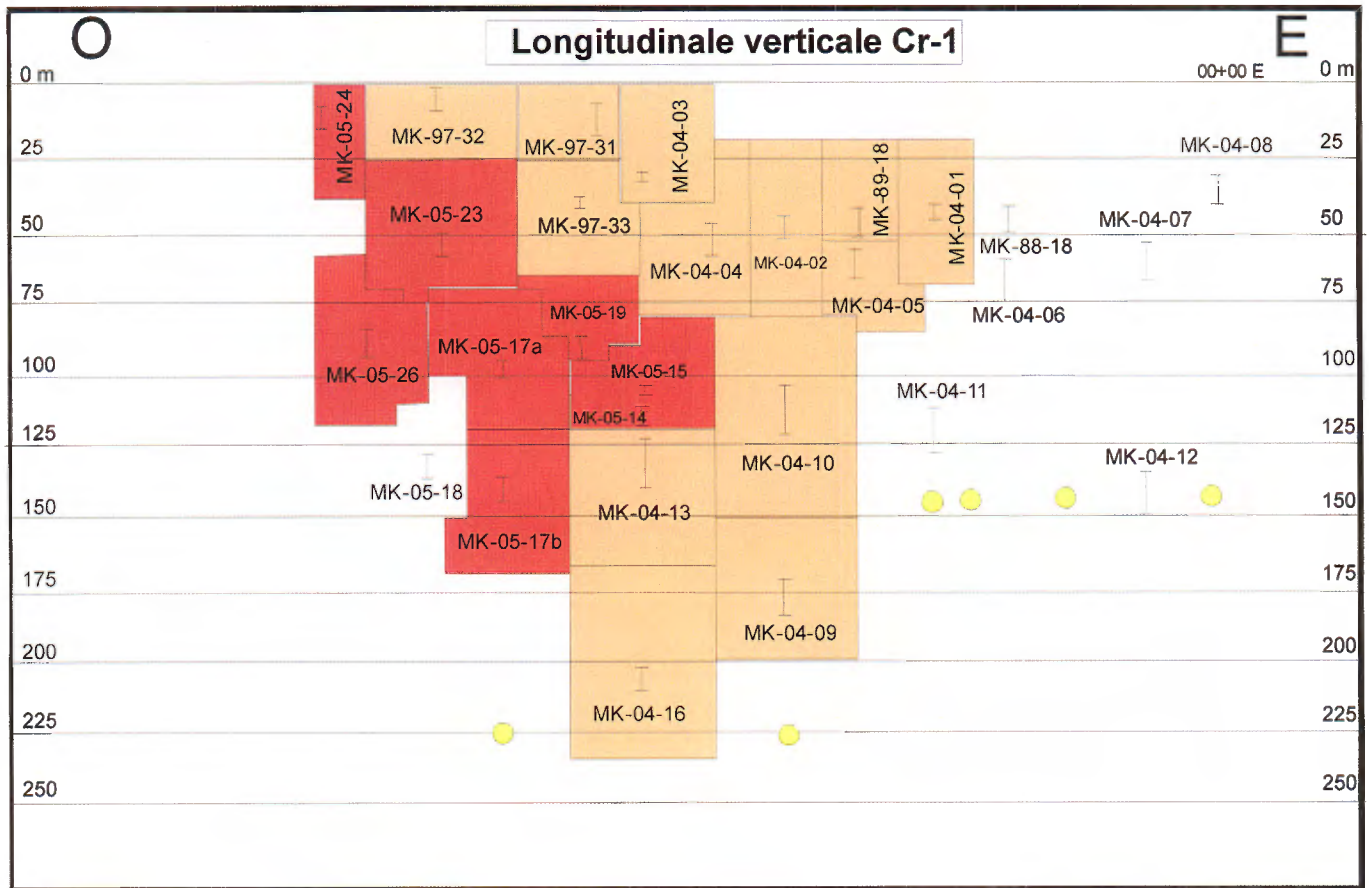


Figure 16 Section longitudinale préliminaire montrant la répartition des zones minéralisées et les futures cibles de forage associées à l'indice Cr-1. Notez que pour des profondeurs situées entre la surface et 125 m Cr-1 est fermée vers l'Ouest. De la même façon la zone est fermée à faible profondeur vers l'ouest en raison de l'absence de minéralisations dans le sondage MK-05- 25 situé à 50m à l'ouest du sondage MK-05-24 (projection à l'extérieur du diagramme). Notez également que la zone Cr-1 semble demeurer ouverte en profondeur (à plus de 225m à partir de la surface).

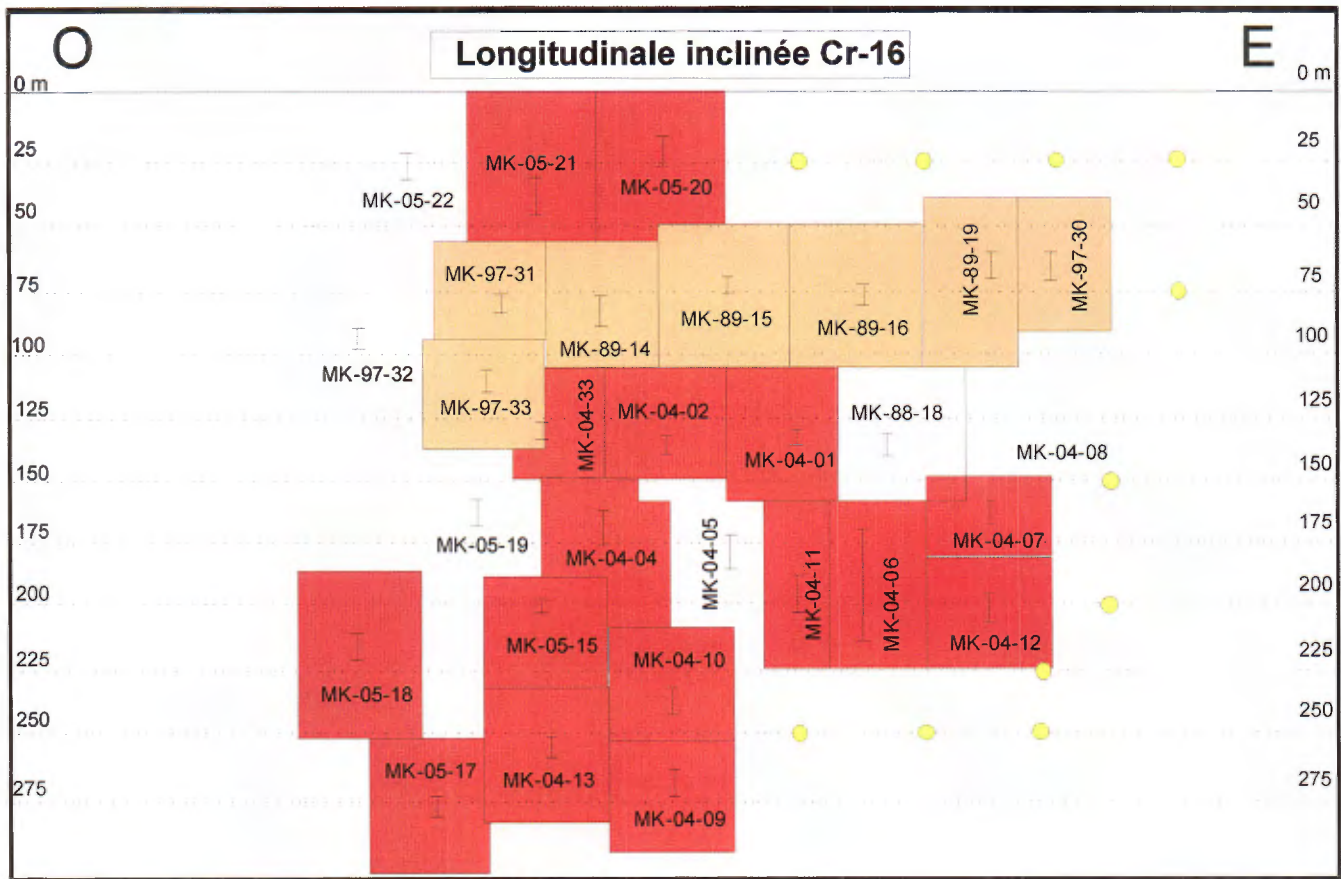


Figure 17 Section longitudinale préliminaire montrant la répartition des zones minéralisées et les futures cibles de forage associées à l'indice Cr-16. Notez que pour des profondeurs situées entre la surface et 175 m Cr-16 est fermée vers l'Ouest. La zone demeure toutefois complètement ouverte vers l'Est et ce indépendamment de la profondeur d'investigation. Notez également que la zone Cr-16 demeure ouverte en profondeur et ce à plus de 300m.

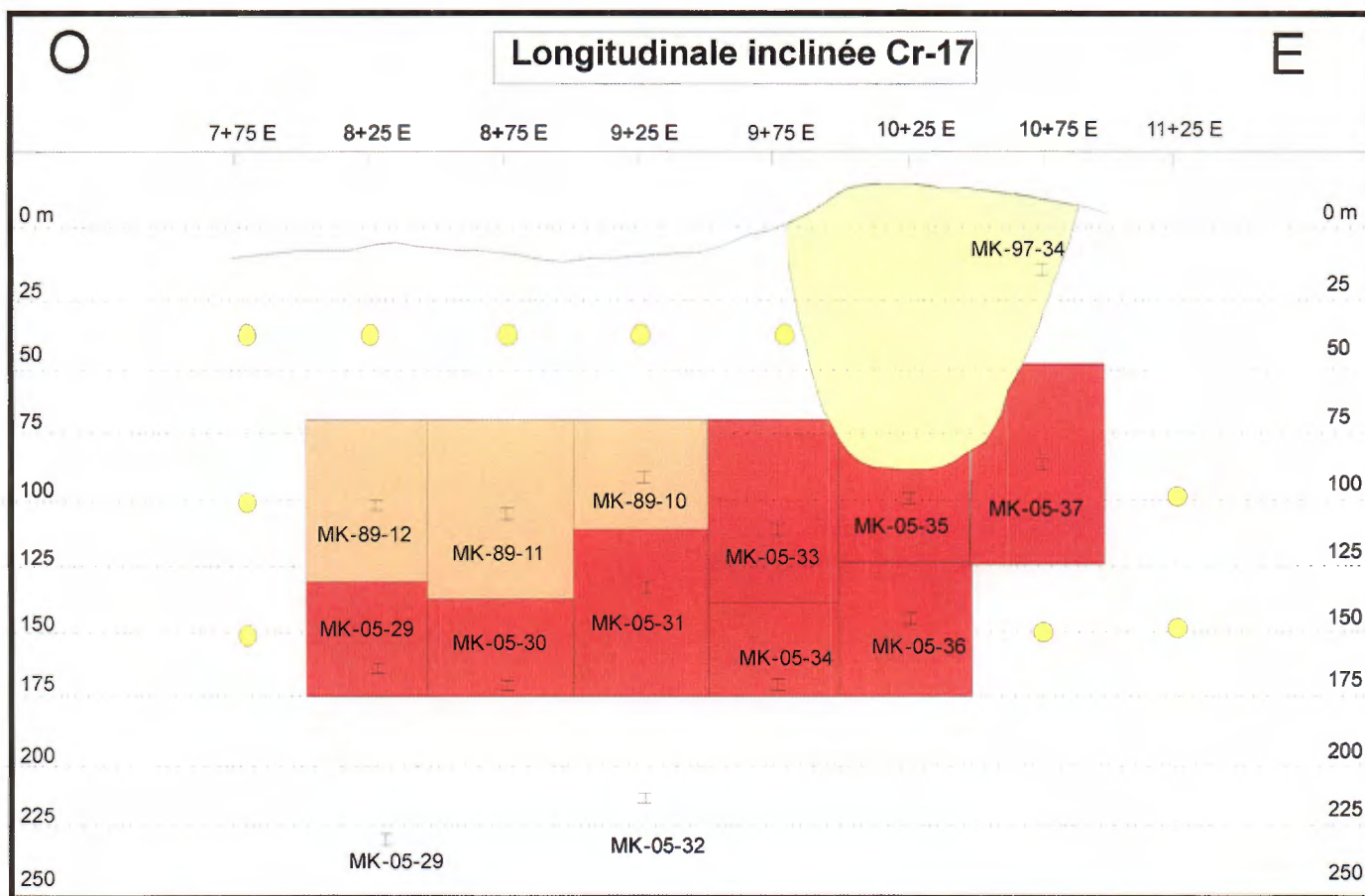


Figure 18 Section longitudinale préliminaire montrant la répartition des zones minéralisées et les futures cibles de forage associées à l'indice Cr-17. Notez qu'entre 0 et 200m de la surface, la zone Cr-17 semble ouverte vers l'Est et l'Ouest. En profondeur, la zone semble fermée vers l'Ouest et il est probable qu'elle continue en profondeur dans la partie Est.

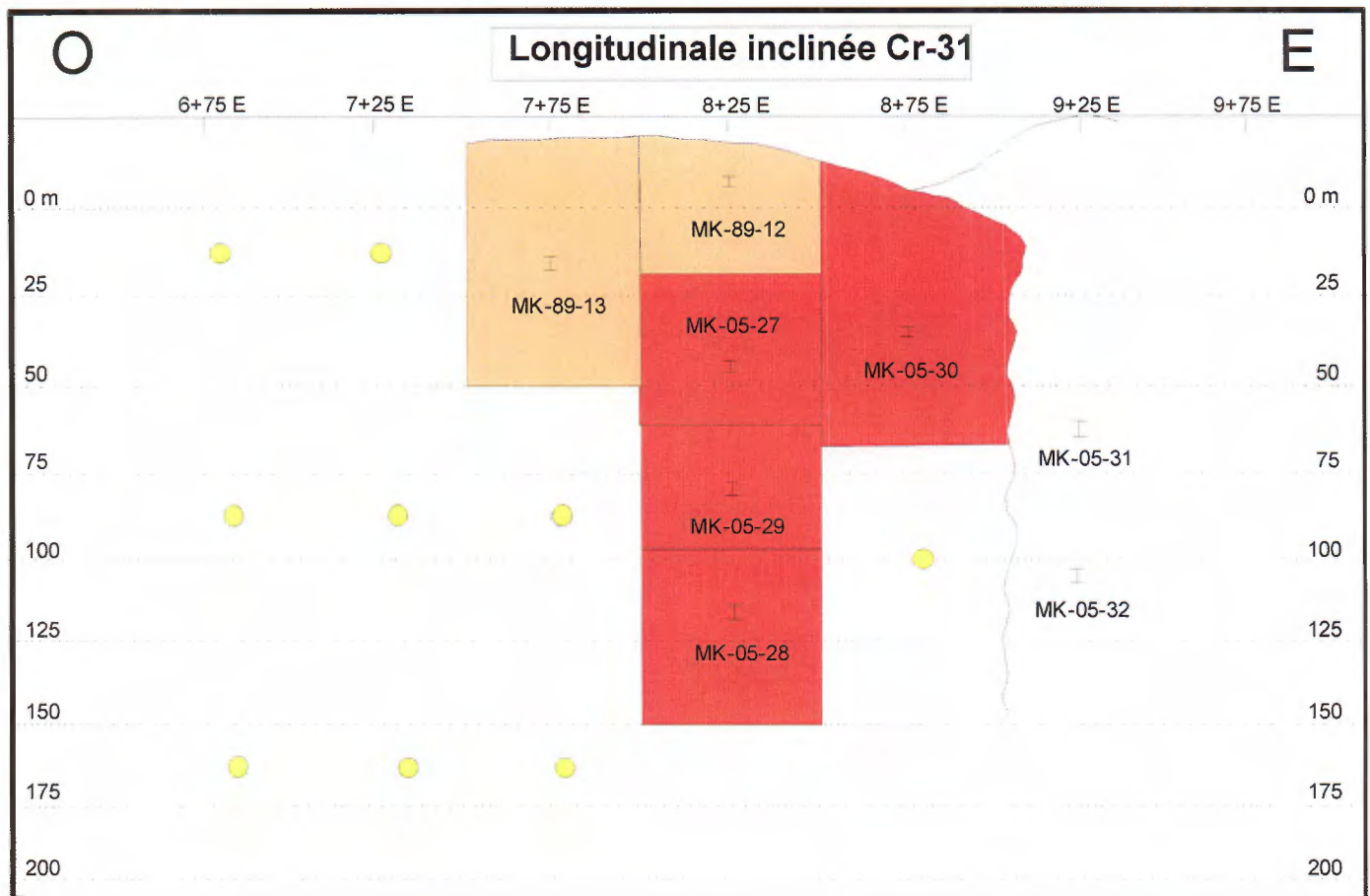


Figure 19 Section longitudinale préliminaire montrant la répartition des zones minéralisées et les futures cibles de forage associées à l'indice Cr-31. Notez que la zone Cr-31 demeure ouverte vers l'Ouest et dans la partie centrale de la section. Vers l'Est, la zone est fermée entre 60 et 125 m et probablement en sub surface.

9.9 ENRICHISSEMENT RELATIF DES CONCENTRÉS DE CHROMITE DES INDICES CR-1, CR-16, CR-17 ET CR-31.

Avant même de procéder à des essais de concentration minéralurgique, nous pouvons estimer la qualité relative d'éventuels concentrés de chromite pouvant être obtenus à partir des zones minéralisées Cr-1, Cr-16 Cr-17 et Cr-31. Pour ce faire, nous avons utilisé les analyses en éléments majeurs des zones de chromitites intersectées en forage. Normalement, la chromite ne contient pas de SiO_2 dans sa structure cristalline comparativement à la matrice périclétique qui contient beaucoup de SiO_2 . En régressant les droites des diagrammes de la figure 20 vers une teneur en SiO_2 de 0% nous pouvons estimer la valeur de l'intercepte de l'axe des Y qui en l'occurrence est soit le Cr_2O_3 ou le Fe_2O_3^* qui seraient contenus dans les concentrés de chromite.

À partir des données obtenues par extrapolation des données présentées sur la figure 16 nous avons calculé le rapport Cr/Fe des concentrés que nous pourrions théoriquement obtenir à partir des zones minéralisées intersectées en forage. Ces rapports vont de 1,34 dans Cr-1 à 1,61 dans Cr-31. Notez que des rapports de l'ordre de 1,4-1,5 sont considérés comme économiques dans certains pays producteurs de ferrochrome (ex. Afrique du Sud) et aussi dans des pays exportateurs de chromite comme l'Australie.

Il est important de souligner ici que ce type d'estimation ne remplace pas les essais minéralurgiques pour l'obtention de concentrés gravimétriques. Un des problèmes de l'approche géochimique est l'influence probable de la magnétite qui tout comme la chromite ne contient pas de SiO_2 . Toutefois, la présence de magnétite dans les zones minéralisées devrait diminuer le rapport Cr/Fe des concentrés. Ainsi les rapports Cr/Fe estimés dans le tableau 5 peuvent être considérés comme minimaux si de la magnétite est présente (ce qui est démontré par le magnétisme élevé des périclites du Complexe de Ménarik). Dans ce cas, l'utilisation d'un séparateur magnétique devrait permettre d'obtenir un concentré avec un rapport Cr/Fe encore plus élevé. Ce concentré serait idéal comme source principale source d'alimentation d'un réacteur de carbo-chloruration.

TABLEAU 5. ESTIMATION GÉOCHIMIQUE DES CONCENTRATIONS DANS UN ÉVENTUEL CONCENTRÉ DE CHROMITE.

	Cr_2O_3 (%)	Fe_2O_3^T (%)	<i>Cr/Fe</i>
Cr-1:	33,28	31,29	1,34
Cr-16:	37,56	32,95	1,44
Cr-17:	36,90	31,39	1,48
Cr-31:	39,68	31,22	1,61

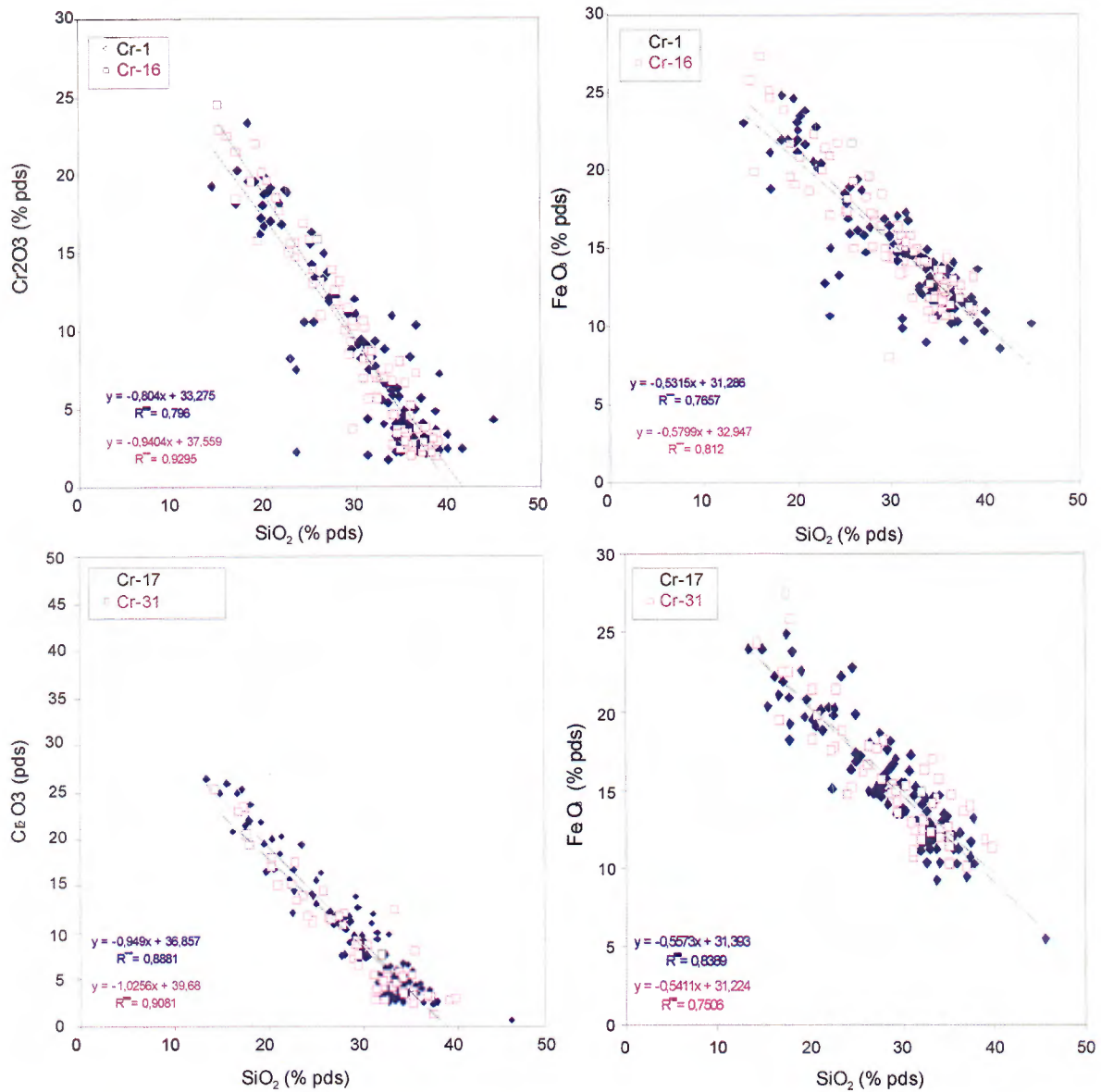


Figure 20. Diagrammes Cr₂O₃ et Fe₂O₃* (total) vs SiO₂ montrant la variabilité observée dans les zones minéralisées des indices Cr1, Cr-16, Cr17 et Cr-31. Notez les valeurs des interceptes (lorsque SiO₂ = 0%). Ces valeurs suggèrent que dans un concentré de chromite (avec SiO₂ de 0%) nous devrions observer une croissance des abondances en Cr₂O₃ dans l'ordre suivant : Cr1, Cr17, Cr16 et Cr-31. Notez de plus que si de la magnétite est présente, elle sera concentrée avec la chromite. Ceci peut expliquer l'obtention d'un concentré de chromite de moins de 45% Cr₂O₃. L'élimination de la magnétite par séparation magnétique permettrait d'obtenir un concentré beaucoup plus riche en Cr₂O₃.

10- CONCLUSIONS ET RECOMMANDATIONS

Les résultats encourageants de la campagne de 2005 viennent confirmer les résultats et observations réalisées lors des campagnes de 1988-1989, 1997 et 2004. L'étude montre entre autre une importante continuité verticale de la minéralisation confirmée par la présence de minéralisations chromifères intersectées à plus de 280m de profondeur sous la surface.

Les résultats de la campagne de 2005 confirment le contrôle magmatique et le caractère lité de la minéralisation chromifère. Toutefois, l'examen attentif de carottes de forage a montré la présence de variations de pendage du litage des chromitites suggérant un certain contrôle structural dans la distribution spatiale et la géométrie de la minéralisation. Ceci pourrait expliquer certaines discontinuités apparentes ou certains changements observés dans l'épaisseur des zones minéralisées.

21 des 24 sondages réalisés en 2005 ont intersectés des zones de chromitites. Tel qu'initialement prévu, la majorité des sondages ont intersecté les indices Cr-1, Cr-16, Cr-17 et Cr-31. Les sondages ont recoupé en tout 24 intersections significatives ($\text{Cr}_2\text{O}_3 > 6 \%$) de chromitites stratiformes rapportant une teneur moyenne de 8,14 % Cr_2O_3 sur une épaisseur moyenne de 10,65 m.

Les forages de 2005 montrent une fermeture de la zone Cr-1 vers l'est en raison de la présence d'un contact entre le massif péridotitique et l'encaissant gabbroïque et tonalitique et une fermeture vers l'Ouest entre la surface et 150m de profondeur. La zone Cr-1 demeure toutefois ouverte en profondeur. La zone Cr-16-18-19 (décrite comme la zone Cr16 dans ce rapport) est totalement ouverte vers l'est ainsi qu'en fonction de la profondeur (à plus de 280 m). Toutefois, entre 0 et 200m, la zone semble fermée vers l'Ouest. La zone Cr-17 demeure ouverte en sub-surface (0-100m) vers l'Est et l'Ouest mais semble se terminer en profondeur dans la partie Ouest et au centre de la longitudinale (Figure 18). La zone Cr-31 demeure ouverte vers l'Ouest et en profondeur mais se bute sur une discontinuité lithologique vers l'Est.

Les résultats de la campagne de 2005 justifient la poursuite de l'évaluation du potentiel chromifère et platinifère du secteur des indices Cr16-18-19 et Cr-17-31. Une campagne de 4000

m devrait permettre de compléter l'étude du potentiel de ces zones d'augmenter considérablement les ressources indiquées. Lors d'une prochaine campagne de forage, nous recommandons également d'amorcer de nouveaux travaux sur des indices de la partie centrale de la propriété Ménarik.

Avant de forer de nouveaux secteurs du Complexe de Ménarik, Ressources minières Pro-Or inc. devrait attendre les résultats d'une étude en cours par l'INRS-ETE sur la qualité des concentrés de chromites obtenus à partir de l'échantillonnage de terrain réalisé en octobre-novembre 2005. Ces résultats devraient être disponibles en janvier 2006. Ils devraient permettre de choisir les indices de chromitites susceptibles de produire les concentrés de chromite avec les plus hauts rapports Cr/Fe.

11. REFERENCES BIBLIOGRAPHIQUES

BALDWIN, A.B., 1959. Report project no 286-*Yasinski Lake Area, New Quebec, Main Exploration Company Ltd, Document filed in N.T.S. 33F. GM-10200.

Bergeron, 2001. Synthèse géologique et métallogénique du Complexe intrusif de Menarik, Baie James (Qc) : Potentiel minéral en chrome et en éléments du groupe du platine (ÉGP), 44 pages.

BERGERON, M., RICHER-LAFLÈCHE, M., 2003a. A method for increasing the chrome to iron ratio of chromites. Demande de brevet déposée chez Goudreau Gage Dubuc (agents de brevets).

BORDUAS, B., 1979. Recherche de nickel et d'amianté dans la région du lac Sakami, S.D.B.J., mars 1979, p.7 à 10.

COCKBURN, G.H., 1977. Données brutes de l'échantillonnage des sédiments de ruisseaux de la région de la Grande Rivière, annexe au DPV-455, MRNQ, DPV 456, 1977.

GAUTHIER, M., LAROCQUE, M., AND CHARTAND, F., 1997. Cadre géologique, style et répartition des minéralisations métalliques du bassin de la Grande Rivière, Territoire de la Baie James. MB 97-30, MRNQ, 65 pages.

GOUTIER, J., DOUCET, P., DION, C., BEAUSOLEIL, C., DAVID, J., PARENT, M. ET DION, D.-J., 1998a. Géologie de la région du lac Kowskatehkakmow (SNRC 33F/06). Ministère des Ressources naturelles, Québec; RG98-16, 48 pages.

GOUTIER, J., DOUCET, P., DION, C., BEAUSOLEIL, C. ET DION, D.J., 1998. Géologie de la région du lac Esprit (SNRC 33F/05), RG98-09, 39 pages

GOUTIER, J., DION, C., DAVID, J. ET DION, D.J., 1999a. Géologie de la région de la passe Chimusumini et du lac Vion (SNRC 33F/11 et 33F/12). Ministère des Ressources naturelles, Québec; RG98-17, 41 pages.

GOUTIER, J., DION, C., LAFRANCE, I., DAVID, J., PARENT, M. ET DION, D.J., 1999b. Géologie de la région des lacs Langelier et Threefold (SNRC 33F/03 et 33F/04).). Ministère des Ressources naturelles, Québec; RG98-18, 52 pages.

GOUTIER, J., DION, C., OUELLET, M.-C., DAVID, J. ET PARENT, M., 2000. Géologie de la région des lacs Guillaumat et Sakami (SNRC 33F/02 et 33F/07). Ministère des Ressources naturelles, Québec.

HOULÉ, M., 2000. Pétrologie et métallogénie du complexe de Ménarik, Baie-James, Qc, Canada. Mémoire de maîtrise (M.Sc.), Université Laval, 450 pages.

LAFLÈCHE, M.R., MOORHEAD, J. ET GOUTHIER, J., 2000. Géochimie et pétrogénèse du volcanisme tholéiitique et calco-alkalin archéen du groupe de Yasinski, sous-province de la Grande. Série des MB, MRNQ, 65 pages.

LAFLÈCHE, M.R., BERGERON, M. ET PELLETIER, Y., 2001. Report on the geology, economic geology, mineralogy and ongoing metallurgical works on the PGM-rich chromitite mineralizations of the Archean Ménarik Igneous Complex, M.énarik Property, Baie-James, Qc, Canada. Rapport de l'INRS (Géoressources) pour la compagnie Ressources Minières Pro-Or inc. 25 mai 2001. 30 pages.

LAVOIE, C., 1987. Levés géophysiques. Propriété de ressources minières Pro-or inc; projet Ménarik, canton 3114., GEOLA, novembre 1987.

Marchand, P., 1982. Campagne d'exploration 1981. Rapport interne de la SDBJ, Société de Développement de la Baie-James.

Mortensen, J.K. et Ciesielski, A., 1987. U-Pb zircon and sphene geochronology of Archean plutonic and orthogneissic rocks of the James Bay region and Bienville Domaihn Quebec. In: Radiogenic Age and Isotopic Studies. Report 1, Paper 87-2, Geological Survey of Canada, 129-134.

PELLETIER, Y., 1989. Évaluation du potentiel chromifère et recommandations de travaux. Propriété du lac Ménarik, Ressources Minières Pro-or inc., janvier 1989.

PELLETIER, Y., 1990. Évaluation du potentiel chromifère de la propriété Ménarik de Pro-Or inc.. Campagne de sondages 1989. 67 pages.

PELLETIER, Y., 1998. Ressources minières Pro-Or inc. Projet Ménarik, Baie-James. Rapport de la campagne de sondage 1997.

Riley, J.C., 1975. Report on prospecting of anomalies in the Yasinski area. Rapport interne S.E.S.

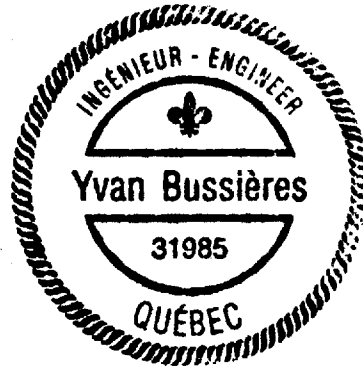
Rivard, B., 1985. Petrochemistry of layered archean magma chamber and relation to models of basalt evolution. Thèse de maîtrise Université Mc-Gill, Montréal, 73 pp.

SANSCHAGRIN, Y. AND PELLETIER, Y., 1989. Cartographie géologique et levé géochimique . Projet MÉNARIK, CANTON 3114. Campagne 1986-87, rapport interne pour Ressources Minières Pro-Or inc., 1989.

WAGG, D.M., ET DOWSE, R.K., 1975. Interpretation report on an airborne geological survey in the James Bay area, for James Bay Development Corporation, part I, 1975 EM results, Geoterrex, 1975, p. 41-42.

ANNEXE I JOURNAUX DES SONDAGES

ANNEXE I JOURNAUX DES SONDAGES



Yvan Bussi res ing

ÉCHANTILLONS			Analyses chimiques																				
			intervalle		Cr2O3	Fe2O3	SiO2	TiO2	Al2O3	MnO	MgO	CaO	Na2O	K2O	P2O5	S	PAF	Au	Pt	Pd	Ni	Cu	Co
no	de:	à:	cont.	disc.	%	%	%	%	%	%	%	%	%	%	%	%	%	ppb	ppb	ppb	ppm	ppm	ppm
64201	39,20	40,60																					
64202	135,85	136,85			0,45	10,75	37,25	0,10	4,02	0,13	30,91	2,95	0,17	0,00	< L.D	0,24	11,86	1	16	7	1181	6793	92
64203	136,85	137,85			5,80	13,81	34,57	0,15	5,99	0,17	30,01	1,16	0,14	0,03	< L.D	0,17	9,59	7	77	187	1448	635,9	120,3
64204	137,85	138,85			9,01	15,12	31,20	0,20	6,42	0,19	28,59	1,16	0,12	0,02	< L.D	0,11	9,39	0	60	160	1364	1922	112,9
64205	138,85	139,70			10,66	15,83	29,70	0,22	7,50	0,20	27,29	0,84	0,13	0,03	< L.D	0,13	8,55	4	103	297	1689	732,8	130,8
64206	139,70	139,80			11,95	14,71	27,17	0,23	9,45	0,19	24,95	2,51	0,14	0,03	< L.D	0,12	9,44	4	94	303	1084	598,6	108,1
64207	139,80	140,80			4,16	12,28	34,28	0,17	5,28	0,13	30,76	1,29	0,15	0,04	< L.D	< L.D	9,93	2	53	92	1138	184,1	97,8
64208	140,80	141,05			13,39	18,88	25,53	0,26	8,66	0,31	23,38	0,99	0,10	0,03	< L.D	0,08	7,44	0	96	257	1316	187,7	143,2
64209	141,05	141,90			1,73	11,00	37,34	0,15	4,06	0,12	28,64	4,03	0,18	0,00	0,00	0,25	12,34	0	19	39	1065	82	104
64210	141,90	142,80			2,65	12,82	35,74	0,17	4,22	0,13	30,52	2,76	0,16	0,04	< L.D	0,23	11,82	1	36	90	3363	2833	124,9
64211	142,80	143,20			18,86	20,43	22,56	0,34	10,82	0,31	20,72	0,91	0,15	0,03	< L.D	0,09	6,22	2	116	350	1357	233,9	190,5
64212	143,20	143,90			12,08	16,47	29,78	0,30	8,53	0,24	26,01	1,11	0,13	0,02	< L.D	0,09	7,64	5	93	288	1348	275,6	155,6
64213	143,90	144,90			3,22	12,91	34,80	0,19	5,16	0,12	28,08	3,45	0,12	< L.D	< L.D	0,29	11,16	15	89	364	1511	724,3	87,4
64214	144,90	145,60			19,26	22,98	14,45	0,55	11,65	0,40	16,86	3,76	0,15	< L.D	0,10	0,10	11,12	10	446	1560	1829	184	205,1
64215	145,60	146,80			3,27	12,99	34,34	0,22	5,05	0,12	29,06	2,03	0,14	0,07	< L.D	0,30	10,47	21	305	1215	1733	1146	107,6
64216	146,80	147,15			16,77	22,71	22,01	0,38	10,02	0,36	20,13	1,73	0,09	< L.D	< L.D	0,15	7,07	45	523	2180	2233	463,4	204,6
64217	147,15	148,10			2,26	12,04	34,22	0,20	4,47	0,14	29,51	3,78	0,12	0,03	< L.D	0,13	12,57	6	124	331	1129	599,1	67,1
64218	148,10	149,10			0,79	12,26	33,57	0,15	3,79	0,17	29,59	3,35	0,14	0,04	< L.D	0,15	12,99	1	23	85	994,4	3626	70,5

ÉCHANTILLONS					Analyses chimiques																		
		intervalle		Cr2O3	Fe2O3	SiO2	TiO2	Al2O3	MnO	MgO	CaO	Na2O	K2O	P2O5	S	PAF	Au	Pt	Pd	Ni	Cu	Co	
no	de:	à:	cont.	disc.	%	%	%	%	%	%	%	%	%	%	%	%	ppb	ppb	ppb	ppm	ppm	ppm	
64219	25,90	26,55																					
64220	74,70	76,20			0,03	14,05	46,20	1,05	15,15	0,18	6,63	6,65	2,21	1,86	< L.D.	0,28	4,78	2	43	58	1448	2032	58
64221	134,00	135,00			1,61	12,08	35,33	0,16	4,47	0,12	31,33	2,14	0,26	0,16	< L.D.	0,29	10,80	0	0	1	1127	101	105
64222	135,00	136,00			3,16	12,17	35,14	0,16	4,87	0,13	30,99	1,78	0,12	0,03	< L.D.	0,14	10,22	0	11	21	1174	320	109
64223	136,00	136,60			13,44	15,91	25,57	0,24	7,96	0,25	21,83	4,53	0,13	0,06	< L.D.	0,04	8,47	4	100	269	1033	106	147
64224	136,60	137,60			8,65	14,81	31,70	0,30	5,76	0,19	25,65	1,93	0,13	0,04	< L.D.	0,08	8,74	0	95	336	1356	263	154
64225	137,60	138,65			2,64	10,24	36,29	0,20	4,73	0,11	28,29	4,43	0,13	0,04	< L.D.	0,23	10,38	8	98	313	1956	939	112
64226	138,65	139,00			16,75	21,99	20,00	0,43	11,36	0,33	19,66	1,49	0,16	0,03	< L.D.	0,17	5,92	19	494	1445	1925	809	167
64227	139,00	140,35			3,25	12,47	34,70	0,18	5,13	0,11	30,41	1,93	0,18	0,03	< L.D.	0,20	10,00	13	125	606	1469	553	122
64228	140,35	140,80			18,04	21,17	19,97	0,38	10,71	0,37	19,24	1,24	0,17	0,06	< L.D.	0,18	5,49	60	574	2130	2014	915	205
64229	140,80	141,80			1,88	12,08	34,99	0,18	4,48	0,12	31,77	2,29	0,15	0,03	< L.D.	< L.D.	10,70	5	109	196	1090	452	119
64230	141,80	142,80			0,52	12,58	36,00	0,18	3,74	0,15	33,04	1,37	0,12	0,03	< L.D.	< L.D.	10,46	10	31	63	1103	557	111
64232	251,30	254,00			1,65	10,95	41,25	0,13	4,07	0,15	26,60	4,25	0,15	0,04	< L.D.	< L.D.	8,37	6	97	346	961	120	89
64233	254,00	257,00			0,51	11,88	41,79	0,10	3,75	0,14	29,65	2,97	0,18	0,04	< L.D.	0,10	10,80	1	21	36	998	200	133
64234	257,00	260,00			0,49	12,71	35,85	0,14	3,96	0,17	30,41	4,35	0,18	0,04	< L.D.	0,15	12,43	2	16	48	1047	854	130
64235	260,00	263,00			0,42	11,85	34,54	0,12	3,47	0,15	32,26	2,04	0,14	0,04	< L.D.	0,07	11,75	1	18	67	1026	104	122
64236	263,00	266,00			0,41	12,08	35,82	0,20	2,84	0,20	33,47	2,75	0,14	0,03	< L.D.	0,12	12,05	0	24	84	1094	76	137
64237	266,00	269,00			0,42	12,47	35,96	0,19	3,02	0,20	32,80	2,63	0,16	0,04	< L.D.	0,12	12,96	2	24	91	1105	196	133
64238	269,00	272,00			0,43	12,64	35,53	0,10	3,26	0,18	32,80	2,44	0,14	0,03	< L.D.	0,11	12,69	1	12	21	1085	1763	125
64239	272,00	275,00			0,45	12,00	34,98	0,12	3,05	0,18	32,03	2,61	0,14	0,02	< L.D.	0,13	12,78	0	14	19	1106	151	124
64240	275,00	278,00			0,37	10,92	32,29	0,10	2,77	0,22	30,73	5,47	0,19	0,02	< L.D.	0,14	14,48	0	15	37	988	259	108
64241	278,00	281,00			0,39	11,78	35,12	0,09	3,24	0,16	32,35	1,59	0,13	< L.D.	< L.D.	0,12	11,85	0	12	28	1070	134	125
64242	281,00	284,00			0,43	12,00	36,29	0,11	3,15	0,17	32,54	1,34	0,10	0,02	< L.D.	0,16	10,55	0	16	16	1061	99	123
64243	285,00	287,00			0,41	11,75	39,76	0,10	2,91	0,17	30,69	1,93	0,17	0,00	0,00	0,13	9,89	0	10	17	1029	64	112
64244	287,00	290,00			0,44	11,63	39,99	0,11	3,08	0,17	30,88	2,14	0,12	0,02	< L.D.	0,11	8,47	1	35	18	1028	105	113
64245	290,00	293,60			0,37	10,03	46,21	0,08	3,76	0,11	26,43	4,75	0,18	0,05	< L.D.	< L.D.	5,41	0	18	22	893	144	78

Forage:	MK-05-16	Profond. (m):	236,2	UTM-N:	5919349,989	Cible(s):	Cr-1	Acid	0	60			
Date:	6 Avr. 2005	Plongée:	60	UTM-E:	346481,676	Diamètre:	BQ	Test:	14	62			
Ing. Géol.:	Y. Bussières	Azimuth:	198	Altitude:	184,418	Contracteur:	For. Mercier		120	62			
		Mort-terrain (m):	4						218	61			
		Tubage présent:	Oui										
		Cimentation:	non										
		Coins-biseaux	non										
		Unité de mesure	mètre										
<i>Début de la zone descriptive</i>													
De:	à:	Lithologie	Descripti.	Altération	Sulfures	Couleur	Structure	A/C (o)					
0	4	MT	Mort terrain et tubage										
4	4,8	GAB	Gabbro fin			vert							
4,8	10,5	TON	Tonalite	chlor		gris bleu	contact	25					
10,5	17,4	GAB	Gabbro fin			vert	contact	15					
17,4	29,9	TON	Tonalite, 30% gabbro	chlor		gris bleu	contact	10					
29,9	67,2	GAB	Gabbro fin			vert							
29,9	33	GAB z. faille	Zone de faille										
44,2	44,7	GAB	Roche très fracturée										
58	58,5	GAB			Py dans fracture								
67,2	243,8	GAB	Gabbro grossier	5% v.q-c		vert							
69,5	71	GAB			Tr Py		v.q-c	5					
74,7	81,7	GAB		30% v.q-c	Tr Py		contact	5					
143,6	143,8	GAB		50% v.q-c	3% Py, 1% Cp		contact	50					
167,6	178,6	GAB	Roche très fracturée										
167,6	195,5	GAB	30% Gabbro fin										
178,8	185,4	GAB brec	60% brèche de faille	20% v.q-c									
232,4	234,7	GAB brec	Brèche de faille										
243,8	245,2	PER b.f.	Boue de faille, péridotite										
245,2	255,85	PER	Péridotite	TALC		bleu	cisaillement	15					
245,2	255,85	Chromitite Cr-1											
245,2	245,6	CHR.-DISS	5% chrom.				contact	50					

Forage: MK-05-16 (suite)									
De:	à:	Lithologie	Descripti.	Altération	Sulfures	Couleur	Structure	A/C (o)	
245,6	247,8	PER	Péridotite						
247,8	248,9	CHR.-DISS	10% chrom.				contact	15	
248,9	252,2	CHR.-MAS	100% chrom						
252,2	253,1	CHR.-DISS	5% chrom.				contact	15	
253,1	254	z. cis	Zone cisailée	100% TALC			cisaillement	15	
254	254,55	CHR.-MAS	100% chrom				contact	15	
254,55	254,85	PER cis	Péridotite cisailée				cisaillement	15	
254,85	255,85	CHR.-MAS	100% chrom				contact	15	
255,85	268,9	PER	Péridotite	TALC, 10% v.q-c-t	bleu				
255,85	259,5	PER cis	Zone cisailée				cisaillement	15	
268,9	272,2	TON	Tonalite	CHLOR	gris bleu		contact	25	
272,2		Fin de trou	Fin du trou						

ÉCHANTILLONS					Analyses chimiques																		
		intervalle		Cr2O3	Fe2O3	SiO2	TiO2	Al2O3	MnO	MgO	CaO	Na2O	K2O	P2O5	S	PAF	Au	Pt	Pd	Ni	Cu	Co	
no	de:	à:	cont.	disc.	%	%	%	%	%	%	%	%	%	%	%	%	ppb	ppb	ppb	ppm	ppm	ppm	
64231	69,50	71,00																					
64246	74,70	77,20																					
64247	77,20	78,70																					
64248	78,70	80,20																					
64249	80,20	81,70																					
64250	143,60	143,80																					
64337	242,80	243,80			0,21	9,65	41,78	0,59	9,89	0,14	22,65	7,08	0,28	0,03	0,40	0,06	6,20			838	145	61	
64338	243,80	245,20			0,29	8,23	44,85	0,28	6,37	0,12	23,17	8,66	0,20	0,07	0,19	0,06	4,81	0	0	6	1121	93	105
64339	245,20	245,60			4,37	10,15	44,88	0,12	5,15	0,24	21,43	8,52	0,19	0,06	< L.D.	0,05	3,79	4	39	78	1025	202	111
64340	245,60	246,80			0,24	11,04	30,44	0,45	19,83	0,13	25,25	0,93	0,19	1,26	< L.D.	0,07	9,77	0	14	1	276	46	49
64341	246,80	247,80			3,25	11,33	33,53	0,14	5,33	0,19	24,79	5,97	0,14	0,03	< L.D.	0,17	13,94	1	49	73	863	127	98
64342	247,80	248,90			10,41	14,11	36,54	0,23	8,63	0,32	20,63	6,16	0,15	0,03	< L.D.	0,06	4,33	3	69	213	974	664	151
64343	248,90	250,00			18,17	20,46	21,80	0,36	13,16	0,47	17,04	2,15	0,14	0,03	< L.D.	0,05	4,35	2	113	346	1003	87	196
64344	250,00	251,20			19,62	21,95	19,10	0,39	13,62	0,51	16,26	1,59	0,21	0,03	< L.D.	0,05	4,11	0	133	473	1202	239	196
64345	251,20	252,20			14,95	19,39	26,50	0,32	11,41	0,41	18,90	3,05	0,19	0,05	< L.D.	< L.D.	4,77	0	122	310	942	80	141
64346	252,20	253,10			5,71	12,17	37,10	0,21	7,31	0,21	22,46	6,63	0,18	0,04	< L.D.	< L.D.	5,35	0	54	179	832	67	84
64347	253,10	254,00			1,34	7,67	45,11	0,19	4,47	0,13	23,73	9,69	0,21	0,05	0,24	< L.D.	4,07	0	19	31	736	83	58
64348	254,00	254,55			8,95	14,46	33,09	0,22	9,24	0,28	22,58	3,94	0,18	0,06	< L.D.	0,06	6,21	0	54	124	1043	65	152
64349	254,55	254,85			2,50	8,66	41,43	0,39	6,83	0,14	23,85	7,37	0,23	0,06	0,23	0,05	5,14	0	24	64	797	72	95
64350	254,85	255,85			8,37	13,46	35,77	0,24	7,72	0,29	21,22	5,46	0,26	0,06	< L.D.	0,06	4,83	0	80	166	872	51	138
64351	255,85	256,80			0,55	8,21	46,95	0,19	5,48	0,15	24,90	8,16	0,22	0,05	< L.D.	< L.D.	4,89	0	12	5	476	374	68
64352	256,80	257,80			0,47	7,49	45,84	0,12	5,79	0,12	26,05	5,09	0,23	0,08	< L.D.	0,07	5,96	0	7	12	1243	820	84

ECHANTILLONS			Analyses chimiques																				
no	de:	à:	intervalle		Cr2O3	Fe2O3	SiO2	TiO2	Al2O3	MnO	MgO	CaO	Na2O	K2O	P2O5	S	PAF	Au	Pt	Pd	Ni	Cu	Co
			cont.	disc.	%	%	%	%	%	%	%	%	%	%	%	%	%	%	ppb	ppb	ppb	ppm	ppm
64251	2,90	4,40																					
64252	94,60	95,60			3,11	11,58	37,71	0,17	5,92	0,13	25,57	3,04	0,14	0,05	< L.D.	0,17	9,96	0	28	53	814	106	102
64253	95,60	96,60			3,08	10,88	36,04	0,12	4,64	0,15	25,44	6,42	0,16	0,06	< L.D.	0,31	12,74	3	33	77	916	259	136
64254	96,60	97,30			7,27	13,67	39,03	0,24	7,37	0,20	24,48	1,67	0,17	0,06	< L.D.	0,10	5,36	2	69	197	1123	407	152
64255	97,30	97,65			4,89	11,87	38,46	0,21	8,38	0,18	24,37	4,31	0,17	0,05	< L.D.	0,06	6,11	0	55	116	1070	272	127
64256	97,65	98,20			0,51	10,75	37,02	0,65	12,39	0,11	25,28	5,31	0,19	0,05	0,39	0,06	7,53	2	16	13	657	206	77
64257	98,20	99,20			4,13	12,05	37,19	0,28	10,22	0,21	22,53	5,37	0,17	0,05	< L.D.	0,08	6,17	0	60	174	997	757	125
64258	99,20	100,20			1,06	9,17	44,45	0,09	6,13	0,14	23,85	7,27	0,20	0,05	< L.D.	0,06	4,80	0	18	39	959	134	109
64259	100,20	101,20			1,88	11,77	42,37	0,19	7,33	0,19	23,65	6,46	0,18	0,04	< L.D.	0,07	5,16	1	30	38	1482	475	122
64260	106,20	107,20			0,38	8,26	46,14	0,14	5,86	0,16	24,12	7,35	0,25	0,06	< L.D.	0,06	4,77	5	49	192	573	54	78
64261	107,20	108,20			0,76	9,38	44,52	0,33	7,91	0,16	24,44	6,00	0,15	0,05	0,14	0,04	5,68	0	21	35	672	104	91
64262	108,20	109,20			3,38	9,76	39,80	0,12	5,56	0,14	27,58	2,76	0,07	0,04	< L.D.	0,12	10,32	0	37	65	1063	114	107
64263	109,20	110,20			5,93	12,73	33,83	0,15	5,67	0,18	28,65	1,88	0,11	0,04	< L.D.	0,07	10,49	0	43	95	1134	63	119
64264	110,20	111,20			7,37	14,11	31,93	0,18	5,88	0,19	27,24	2,17	0,10	< L.D.	< L.D.	< L.D.	10,43	10	46	146	1272	82	140
64265	111,20	111,80			6,36	14,11	34,42	0,18	5,73	0,17	28,41	2,20	0,10	< L.D.	< L.D.	0,17	10,57	1	46	120	1177	263	104
64266	111,80	112,00			4,46	9,95	31,14	0,14	4,69	0,19	25,61	8,18	0,11	< L.D.	< L.D.	0,20	17,09	6	26	91	1381	885	80
64267	112,00	113,05			5,58	12,30	32,81	0,16	4,92	0,16	26,28	3,97	0,16	< L.D.	< L.D.	< L.D.	12,17	5	30	147	1179	361	124
64268	113,05	114,70			12,15	15,82	27,12	0,30	9,77	0,27	21,87	1,56	0,09	0,02	< L.D.	< L.D.	8,63	48	131	378	1381	639	130
64269	114,70	115,80			3,80	10,28	36,63	0,18	4,82	0,16	24,98	4,44	0,10	< L.D.	< L.D.	< L.D.	11,60	1	33	95	958	416	85
64270	115,80	116,80			0,34	11,93	41,46	0,34	9,44	0,15	25,35	5,07	0,19	0,02	< L.D.	0,18	7,14	0	17	12	473	56	63
64271	116,80	117,80			0,43	9,64	45,64	0,22	6,02	0,22	24,59	8,07	0,21	0,04	< L.D.	0,15	5,72	0	14	7	416	41	56
64272	124,00	127,00			0,31	9,63	39,30	0,19	4,63	0,12	27,79	4,81	0,17	0,02	< L.D.	0,39	11,27	24	9	150	1033	240	68
64273	127,00	128,00			0,49	10,73	36,71	0,10	4,02	0,14	29,83	3,83	0,13	0,02	< L.D.	0,21	13,65	0	8	26	1106	116	83
64274	128,00	128,65			1,73	10,59	35,93	0,12	4,69	0,15	28,79	3,63	0,13	< L.D.	< L.D.	< L.D.	12,63	1	53	152	1281	441	104
64275	128,65	130,30			6,16	13,62	33,74	0,17	5,75	0,25	25,91	3,56	0,15	0,02	< L.D.	0,07	11,63	18	54	162	1159	156	112
64276	130,30	131,30			1,51	9,00	39,29	0,16	4,95	0,16	25,27	5,72	0,16	0,00	< L.D.	0,20	11,83	0	8	36	653	458	71
64277	131,30	133,80			0,43	9,96	46,36	0,19	5,41	0,18	24,02	5,74	0,26	0,00	< L.D.	0,16	5,47	0	8	9	523	60	81
64278	152,00	153,00			0,65	10,83	35,79	0,11	4,22	0,12	30,75	2,56	0,15	0,02	< L.D.	0,04	11,76	0	12	17	1223	105	103
64279	153,00	154,00			0,45	10,30	38,67	0,19	3,83	0,11	32,03	2,59	0,33	0,02	< L.D.	< L.D.	11,64	0	0	6	1138	141	78
64280	154,00	155,00			5,47	14,04	33,52	0,14	5,97	0,19	28,92	2,07	0,17	0,04	< L.D.	< L.D.	9,90	2	52	188	1362	47	133
64281	155,00	156,00			6,76	14,23	33,03	0,16	5,71	0,19	28,19	2,12	0,14	0,03	< L.D.	< L.D.	9,70	0	44	93	908	295	95

ÉCHANTILLONS				Analyses chimiques																			
no	de:	à:	intervalle		Cr2O3	Fe2O3	SiO2	TiO2	Al2O3	MnO	MgO	CaO	Na2O	K2O	P2O5	S	PAF	Au	Pt	Pd	Ni	Cu	Co
			cont.	disc.														ppb	ppb	ppb	ppm	ppm	ppm
64282	156,00	157,00			9,43	17,00	30,73	0,20	6,95	0,24	27,49	0,75	0,14	0,04	< L.D.	< L.D.	8,75	1	70	207	1013	76	119
64283	157,00	157,60			9,01	15,13	29,26	0,20	6,84	0,24	25,36	2,91	0,25	0,04	< L.D.	< L.D.	10,01	0	0	29	766	155	110
64284	157,60	158,00			19,50	22,93	19,25	0,33	12,42	0,41	17,37	0,71	0,15	0,02	< L.D.	< L.D.	5,05	2	89	402	843	97	195
64285	158,00	159,00			1,87	10,98	38,55	0,18	4,49	0,13	29,97	4,25	0,15	0,03	< L.D.	0,13	11,75	0	14	38	1078	279	74
64286	159,00	160,30			1,89	11,18	38,18	0,17	4,67	0,10	31,43	2,83	0,18	0,04	< L.D.	0,11	11,14	1	9	52	1171	97	91
64287	160,30	161,30			14,29	18,08	25,13	0,30	9,51	0,30	21,96	1,72	0,14	0,04	< L.D.	< L.D.	6,81	0	119	406	1289	52	168
64288	161,30	162,30			3,67	11,91	34,08	0,19	5,46	0,12	28,80	2,95	0,19	0,03	< L.D.	< L.D.	10,27	2	45	144	1085	219	88
64289	162,30	162,90			2,02	8,18	37,66	0,13	5,62	0,09	28,08	6,46	0,23	0,05	< L.D.	0,25	10,67	10	84	376	1138	1083	90
64290	162,90	164,10			17,93	21,45	20,11	0,46	12,22	0,36	18,52	1,60	0,15	0,04	< L.D.	0,16	5,40	44	424	2130	2144	274	244
64291	164,10	165,10			3,22	12,50	34,63	0,20	5,14	0,14	27,87	4,97	0,13	0,02	< L.D.	< L.D.	10,74	22	199	909	1456	520	101
64292	165,10	166,10			0,89	12,52	37,47	0,17	4,51	0,13	31,67	3,09	0,14	0,02	< L.D.	0,07	10,81	0	12	64	1008	73	100
64296	320,50	321,50			0,51	12,07	37,74	0,11	4,02	0,16	31,95	2,98	0,19	0,04	< L.D.	0,05	11,64	0	0	15	1205	104	95
64297	321,50	322,50			1,16	10,36	37,69	0,13	4,24	0,12	31,03	2,91	0,15	0,03	< L.D.	< L.D.	10,62	2	16	88	1224	259	99
64298	322,50	323,50			7,06	14,89	32,75	0,17	6,02	0,22	28,77	1,59	0,15	0,04	< L.D.	< L.D.	9,15	0	67	228	1624	71	148
64299	323,50	324,50			5,63	13,43	31,34	0,14	5,52	0,19	27,07	4,48	0,17	0,04	< L.D.	< L.D.	11,36	0	14	57	1451	117	122
64300	324,50	325,40			7,24	15,70	32,03	0,16	5,78	0,20	27,64	1,33	0,14	0,04	< L.D.	< L.D.	8,47	0	45	155	1086	272	119
64301	325,40	326,50			1,43	9,12	36,64	0,11	4,33	0,10	27,68	6,73	0,17	0,04	< L.D.	< L.D.	11,79	3	20	101	1070	552	80
64302	326,50	327,60			2,85	11,79	37,23	0,14	4,96	0,12	30,35	2,99	0,20	< L.D.	< L.D.	< L.D.	10,44	4	6	142	1229	463	111
64303	327,60	328,90			8,79	14,75	31,30	0,20	6,15	0,18	28,93	1,14	0,11	0,03	< L.D.	< L.D.	9,57	3	29	192	1446	242	135
64304	328,90	329,90			10,31	14,29	29,84	0,21	7,06	0,17	26,98	3,04	0,16	0,03	< L.D.	< L.D.	9,23	14	84	336	1592	758	147
64305	329,90	330,90			18,47	18,54	21,33	0,35	11,24	0,33	19,95	1,92	0,14	< L.D.	< L.D.	< L.D.	6,35	13	87	432	1684	585	164
64306	330,90	332,00			3,45	11,92	34,58	0,18	4,79	0,12	29,30	3,38	0,15	< L.D.	< L.D.	< L.D.	11,23	1	37	71	1137	236	91
64307	332,00	332,85			3,79	12,83	36,73	0,18	4,97	0,13	30,80	2,08	0,17	0,02	< L.D.	< L.D.	9,99	0	45	98	1341	252	115
64308	332,85	333,90			8,20	14,96	30,77	0,21	6,62	0,20	26,23	2,42	0,22	0,04	< L.D.	< L.D.	9,03	0	21	160	1143	65	130
64309	333,90	334,90			1,93	11,18	36,13	0,17	4,33	0,11	30,54	2,07	0,10	0,03	< L.D.	0,04	10,45	1	17	44	1156	132	90
64310	334,90	335,90			1,88	11,47	36,39	0,15	4,29	0,11	30,12	3,26	0,11	0,03	< L.D.	< L.D.	10,94	0	23	57	1263	144	98
64311	335,90	336,30			2,83	10,72	36,23	0,15	4,68	0,09	30,31	2,22	0,16	0,04	< L.D.	< L.D.	9,73	0	47	100	1225	90	98
64312	336,30	336,95			10,24	15,72	31,07	0,25	7,85	0,21	24,52	2,35	0,15	0,05	< L.D.	< L.D.	7,27	0	182	351	1131	42	119
64313	336,95	337,80			3,81	12,53	37,50	0,22	5,39	0,12	26,87	3,65	0,16	0,04	< L.D.	< L.D.	7,74	0	54	325	1285	612	90
64314	337,80	338,40			18,35	24,56	17,14	0,54	11,22	0,51	17,63	0,52	0,15	0,03	< L.D.	< L.D.	6,13	5	363	1450	2155	131	189
64315	338,40	339,40			2,86	13,07	38,84	0,22	5,05	0,18	28,94	3,67	0,14	0,04	< L.D.	< L.D.	8,64	0	55	205	1038	192	113
64316	339,40	340,40			0,62	12,68	36,81	0,17	3,89	0,19	31,56	4,21	0,12	0,03	< L.D.	< L.D.	11,43	0	39	98	1096	160	100

Forage:	MK-05-19	Profond. (m):	258,8	UTM-N:	5919274,477	Cible(s):	Cr-1 et Cr-16	Acid	0	44,5
Date:	13 Avr. 2005	Plongée:	44,5	UTM-E:	346437,324	Diamètre:	BQ	Test:	13	45
Ing. Géol.:	Y. Bussières	Azimuth:	191	Altitude:	180,693	Contracteur:	For. Mercier		100	46
		Mort-terrain (m):	2,5						200	45
		Tubage présent:	oui							
		Cimentation:	non							
		Coins-biseaux	non							
		Unité de mesure	mètre							
Début de la zone descriptive										
De:	à:	Lithologie	Descriptio	Altération	Sulfures	Couleur	Structure	A/C °		
0	2,5	MT	Mort terrain et tubage							
2,5	21	TON	Tonalite	CHLOR		gris bleu				
21	60,6	GAB	Gabbro fin	5% v.q-c		gris vert	contact	20		
29,7	36,6	GAB	50% de tonalite							
60,6	70,5	GAB	Gabbro grossier	5% v.q-c		gris vert	contact	20		
70,5	106,1	PER-CUM	Périd. cumulative	TALC		gris bleu				
90,6	98,8	PER	50% Gabbro							
106,1	124,7	PER-CUM	Périd. cumulative	5% v.q-c		bleu				
116,6	116,7	PER cis	Zone cisailée		1% Py		cisaillement	15		
124,7	136,65	PER-CUM	Périd. cumulative	5% v.q-c-t		bleu				
124,7	136,65	Chromitite Cr-1	Indice Cr-1							
124,7	124,85	CHR.-DISS	20% chrom.				contact	80		
124,85	125,4	CHR.-DISS	2% chrom.							
125,4	126,2	CHR.-DISS	5% chrom.							
126,2	127,35	CHR.-DISS	10% chrom.							
127,35	128,1	CHR.-MAS	100% chrom.				contact	70		
128,1	128,5	CHR.-DISS	2% chrom.							
128,5	130,25	PER	Péridotite							
130,25	130,65	CHR.-DISS	10% chrom.							
130,65	132,6	PER	Péridotite							
132,6	133,7	CHR.-MAS	100% chrom.							

Forage:		MK-05-19 (suite)											
De:	à:	Lithologie	Descriptio	Altération	Sulfures	Couleur	Structure	A/C °					
137,7	134,3	PER	Péridotite										
134,3	134,9	CHR.-MAS	100% chrom.				contact	65					
134,9	136,25	CHR.-DISS	2% chrom.										
136,25	136,65	CHR.-MAS	100% chrom.				contact	80					
136,65	221,9	PER-CUM	Périd. cumulative	5% v.q-c-t									
221,9	225,7	GAB	Gabbro fin			bleu foncé							
225,7	230	PER	Péridotite	TALC, 5% v.q-c-t		vert							
230	234,5	SCHISTE	Schiste à biotite			bleu							
234,5	252,1	PER-CUM	Périd. cumulative	TALC, 5% v.q-c-t		noir	contact	50					
252,1	258,8	SCHISTE	Schiste à biotite			bleu							
258,8		Fin de trou	Fin du trou			noir							

ÉCHANTILLONS					Analyses chimiques																		
no	de:	à:	intervalle		Cr2O3	Fe2O3	SiO2	TiO2	Al2O3	MnO	MgO	CaO	Na2O	K2O	P2O5	S	PAF	Au	Pt	Pd	Ni	Cu	Co
			cont.	disc.	%	%	%	%	%	%	%	%	%	%	%	%	%	ppb	ppb	ppb	ppm	ppm	ppm
64318	122,7	123,7			0,62	11,82	37,62	0,12	4,09	0,16	33,19	2,76	0,16	0,03	< L.D.	0,03	10,57	2	21	25	1328	47	92
64319	123,70	124,70			0,48	11,42	38,38	0,13	4,33	0,12	34,22	2,83	0,17	0,03	< L.D.	< L.D.	10,60	0	5	14	1260	165	91
64320	124,70	125,40			8,35	15,37	31,53	0,19	6,03	0,17	29,91	0,24	0,11	0,03	< L.D.	< L.D.	8,69	0	32	235	1312	102	125
64321	125,40	126,20			10,16	15,27	30,27	0,20	6,96	0,18	27,81	1,00	0,14	0,04	< L.D.	< L.D.	7,84	0	26	151	1536	268	156
64322	126,20	127,35			10,16	15,27	30,27	0,20	6,96	0,18	27,81	1,00	0,14	0,04	< L.D.	< L.D.	7,84	0	48	269	1536	268	156
64323	127,35	128,10			19,71	18,76	19,46	0,38	11,93	0,29	18,80	3,73	0,12	0,02	< L.D.	< L.D.	6,42	3	118	484	1371	915	152
64324	128,10	128,50			6,86	13,93	33,22	0,26	5,79	0,15	29,25	2,49	0,13	0,02	< L.D.	< L.D.	9,26	0	12	119	1190	1976	134
64325	128,50	129,40			3,07	12,74	34,61	0,18	4,78	0,12	30,87	2,13	0,12	0,02	< L.D.	< L.D.	9,85	0	28	49	1257	209	106
64326	129,40	130,25			3,57	12,88	35,24	0,16	5,12	0,14	30,58	3,26	0,16	0,03	< L.D.	< L.D.	10,31	0	27	79	1155	84	101
64327	130,25	130,65			10,00	16,34	28,85	0,26	7,25	0,23	27,06	1,63	0,18	0,04	< L.D.	< L.D.	8,26	0	0	51	1147	130	150
64328	130,65	131,65			1,84	12,32	37,25	0,17	4,26	0,13	30,88	3,20	0,14	0,03	< L.D.	< L.D.	10,42	1	55	185	1305	237	105
64329	131,65	132,60			2,28	11,35	36,19	0,14	4,22	0,11	30,12	2,97	0,14	0,03	< L.D.	< L.D.	9,93	0	0	23	1101	114	99
64330	132,60	133,70			14,76	20,83	23,59	0,26	8,90	0,31	22,55	0,68	0,12	0,04	< L.D.	< L.D.	6,09	0	0	37	1146	24	158
64331	133,70	134,30			3,09	10,92	38,44	0,17	5,04	0,10	30,20	2,82	0,17	0,03	< L.D.	< L.D.	9,13	0	155	485	1164	1237	95
64332	134,30	134,90			19,50	23,80	18,71	0,42	10,95	0,43	18,41	2,69	0,14	0,02	< L.D.	< L.D.	7,14	2	85	336	2128	312	207
64333	134,90	136,25			3,36	13,04	35,14	0,17	4,49	0,13	30,56	2,51	0,11	< L.D.	< L.D.	< L.D.	10,51	4	110	674	1497	766	118
64334	136,25	136,65			17,62	22,26	21,94	0,44	10,89	0,44	20,44	1,59	0,14	0,03	< L.D.	0,05	5,83	24	690	3000	2508	1171	190
64335	136,65	137,60			1,66	13,68	35,82	0,18	3,96	0,15	30,90	2,94	0,17	0,03	< L.D.	< L.D.	10,85	2	19	136	1109	218	108
64336	137,60	138,60			0,67	12,12	36,83	0,14	3,97	0,14	33,15	1,79	0,13	0,02	< L.D.	< L.D.	10,09	23	8	61	1043	59	104

Forage:	MK-05-20 (suite)		Descriptio	Altération	Sulfures	Couleur	Structure	A/C (o)
De:	à:	Lithologie						
41,7	42,1	PER	Zone cisailée	70% v.q-c-t	1% Py, 1% Cp		cisaillement	20
42,1	52,8	PER	Péridotite		Tr Py dans veinules q-c-t			
58		Fin de trou	Fin de trou					

Forage:	MK-05-21	Profond. (m):	80	UTM-N:	5919098,173	Cible(s):	Cr-16	Acid	0	45
Date:	15 Avr. 2005	Plongée:	45	UTM-E:	346414,647	Diamètre:	BQ	Test:	44	46,5
Ing. Géol.:	Y. Bussières	Azimuth:	203	Altitude:	168,917	Contracteur:	For. Mercier			
		Mort-terrain (m):	4,4							
		Tubage présent:	non							
		Cimentation:	non							
		Coins-biseaux	non							
		Unité de mesure	mètre							
Début de la zone descriptive										
De:	à:	Lithologie	Descriptif	Altération	Sulfures	Couleur	Structure	A/C (o)		
0	4,4	MT	Mort terrain							
4,4	10,2	PER-CUM	Périd. cumulative	10% v.q-c-t		bleu				
10,2	18,5	PER	Péridotite	TALC, 10% v.q-c-t		gris bleu	cisaillement	25		
18,5	33	GAB	Gabbro moyen (1 à 2 mm)			vert	contact	25		
33	42,15	PER-CUM	Périd. cumulative frac	15% v.q-c-t		bleu	contact	20		
42,15	65,75	PER	Péridotite fracturée	15% v.q-c-t		bleu				
42,15	65,75	Chromitite Cr-16	Indicne Cr-16							
42,15	42,3	CHR.-MAS	100% chrom.				contact	50		
42,3	42,8	CHR.-DISS	2% chrom.							
42,8	44,8	CHR.-DISS	5% chrom.							
44,8	45,75	CHR.-DISS	10% chrom.				contact	25		
45,75	48,5	PER	Péridotite		Tr Py					
48,5	49,7	CHR.-MAS	100% chrom.				contact	35		
49,7	52,5	CHR.-DISS	2% chrom.		Tr Py et Cp					
52,5	53	CHR.-MAS	100% chrom.							
53	54,5	PER	Péridotite							
54,5	55,7	CHR.-DISS	2% chrom.		Tr Py et Cp					
55,7	55,85	CHR.-MAS	100% chrom.							
55,85	57,9	PER	Péridotite							
57,9	58,95	CHR.-MAS	100% chrom.				contact	15		
58,95	59,4	CHR.-DISS	2% chrom.		5% Py, 1% Cp					
59,4	60,1	CHR.-MAS	100% chrom.				contact	40		

Forage:		MK-05-21 (suite)										
De:	à:	Lithologie	Descriptio	Altération	Sulfures	Couleur	Structure	A/C (o)				
60,1	60,4	PER	Brèche de faille									
60,4	61	CHR.-MAS	100% chrom.				contact	20				
61	61,45	CHR.-DISS	10% chrom.									
61,45	62,05	CHR.-DISS	2% chrom.		Tr Py et Cp							
62,05	62,6	PER	Péridotite									
62,6	63,1	CHR.-MAS	100% chrom.				contact	50				
63,1	64	PER	Péridotite									
64	65,5	CHR.-DISS	2% chrom.		Tr Cp							
65,5	65,75	CHR.-MAS	100% chrom.				contact	30				
65,75	80	PER-CUM	Périd. cumulative	5% v.q-c-t	Tr Py et Cp(73.7m)	bleu						
80		Fin de trou	Fin de trou									

ÉCHANTILLONS					Analyses chimiques																		
no	de:	à:	intervalle		Cr2O3	Fe2O3	SiO2	TiO2	Al2O3	MnO	MgO	CaO	Na2O	K2O	P2O5	S	PAF	Au	Pt	Pd	Ni	Cu	Co
			cont.	disc.	%	%	%	%	%	%	%	%	%	%	%	%	%	%	ppb	ppb	ppb	ppm	ppm
64378	40,20	41,20			1,52	11,38	39,05	0,15	3,32	0,15	29,28	4,07	0,14	< L.D.	< L.D.	0,18	12,14	0	33	172	1201	243	82
64379	41,20	42,15			0,47	11,20	33,63	0,53	8,59	0,10	29,90	2,20	0,00	0,00	0,34	0,14	11,11	0	9	41	872	142	99
64380	42,15	42,80			7,27	12,98	36,53	0,17	5,77	0,22	25,76	2,77	0,13	< L.D.	< L.D.	0,12	9,43	2	106	427	1285	165	122
64381	42,80	43,80			8,06	13,67	34,84	0,16	5,82	0,20	25,38	2,35	0,16	< L.D.	< L.D.	0,13	9,28	1	0	43	1203	135	118
64382	43,80	44,80			8,46	14,39	29,37	0,16	5,71	0,20	28,39	1,42	0,05	0,00	0,00	0,11	9,89	0	43	150	1404	64	161
64383	44,80	45,75			11,89	17,16	27,90	0,17	8,62	0,29	23,77	1,65	0,15	< L.D.	< L.D.	0,13	8,56	0	62	205	1243	43	144
64384	45,75	46,80			0,36	10,31	41,07	0,12	5,31	0,10	29,49	2,64	0,15	< L.D.	< L.D.	0,16	10,27	2	47	186	885	296	61
64385	46,80	47,80			0,37	11,18	40,33	0,13	2,87	0,14	30,65	2,94	0,15	< L.D.	< L.D.	0,12	11,56	1	12	31	956	119	72
64386	47,80	48,50			1,77	9,58	40,24	0,14	5,56	0,11	29,76	3,10	0,16	< L.D.	< L.D.	0,12	10,96	1	14	69	1157	372	76
64387	48,50	49,70			19,60	20,74	20,43	0,29	11,72	0,52	20,41	0,57	0,14	< L.D.	< L.D.	0,07	7,14	7	112	517	1511	162	164
64388	49,70	50,60			3,41	10,48	34,42	0,15	6,86	0,15	29,96	3,30	0,14	< L.D.	< L.D.	0,17	12,61	1	24	74	1255	398	88
64389	50,60	51,60			3,53	11,58	35,39	0,16	5,61	0,17	30,03	3,43	0,21	< L.D.	< L.D.	0,20	12,39	1	26	90	1168	126	80
64390	51,60	52,50			3,23	11,01	35,39	0,15	5,52	0,15	30,28	2,71	0,13	< L.D.	< L.D.	0,16	12,23	1	27	75	1173	502	77
64391	52,50	53,00			13,20	19,14	26,20	0,26	8,41	0,38	22,34	2,23	0,15	< L.D.	< L.D.	0,06	8,58	1	77	251	1257	58	143
64392	53,00	54,50			2,09	11,00	35,52	0,14	4,01	0,12	30,82	2,47	0,16	< L.D.	< L.D.	0,16	11,83	0	10	48	1136	140	89
64393	54,50	55,70			4,67	12,66	34,09	0,14	5,46	0,16	29,17	2,03	0,19	< L.D.	< L.D.	0,13	10,99	1	32	108	1185	56	88
64394	55,70	55,85			12,00	19,20	26,74	0,18	8,51	0,30	23,01	1,35	0,12	< L.D.	< L.D.	0,10	8,08	3	85	310	1295	41	132
64395	55,85	56,90			1,87	10,50	37,61	0,13	4,27	0,10	31,39	1,59	0,21	< L.D.	< L.D.	0,10	11,16	1	18	52	1031	130	40
64396	56,90	57,90			2,19	11,24	38,20	0,19	4,56	0,10	32,44	1,72	0,15	< L.D.	< L.D.	0,14	11,53	0	18	43	1261	363	91
64397	57,90	58,95			14,20	18,61	27,00	0,27	8,56	0,32	23,33	1,01	0,13	< L.D.	< L.D.	0,09	7,86	1	135	495	1750	92	140
64398	58,95	59,40			5,23	14,33	35,99	0,24	4,83	0,15	30,01	0,85	0,16	< L.D.	< L.D.	0,46	9,42	17	230	1110	2750	2258	120
64399	59,40	60,10			15,90	20,92	24,23	0,24	9,97	0,38	21,90	0,76	0,16	< L.D.	< L.D.	0,11	6,69	12	214	932	1812	36	143
64400	60,10	60,40			3,70	7,94	29,69	0,09	6,61	0,16	27,81	8,09	0,16	< L.D.	< L.D.	0,06	18,09	3	28	118	940	71	< L.D.
64401	60,40	61,00			13,77	18,61	22,70	0,19	9,58	0,35	22,56	2,38	0,14	< L.D.	< L.D.	0,09	8,99	10	154	600	1368	38	133
64402	61,00	61,45			10,52	16,92	28,67	0,19	6,90	0,30	26,39	1,37	0,17	0,03	< L.D.	0,11	8,25	16	120	492	1481	148	115
64403	61,45	62,05			5,78	14,00	32,30	0,24	5,00	0,20	30,49	1,68	0,10	0,00	0,00	0,24	10,20	10	130	731	1937	388	164
64404	62,05	62,60			15,62	21,13	22,99	0,26	9,22	0,44	21,62	1,66	0,17	< L.D.	< L.D.	0,15	8,14	12	264	1125	1666	108	152
64405	62,60	63,10			7,56	14,10	33,59	0,35	6,93	0,25	27,44	1,86	0,16	0,04	< L.D.	0,29	9,48	11	230	797	2163	1214	121
64406	63,10	64,00			2,75	12,41	35,67	0,15	4,10	0,14	31,39	1,82	0,09	< L.D.	< L.D.	0,30	11,26	13	178	1215	2257	487	100
64407	64,00	65,50			5,59	14,53	31,31	0,20	4,74	0,24	29,62	1,79	0,14	< L.D.	< L.D.	0,23	10,61	16	277	1205	1935	339	167
64408	65,50	65,75			22,31	27,02	16,01	0,47	10,44	0,74	16,90	0,80	0,16	< L.D.	< L.D.	0,16	5,22	45	744	2560	2088	256	199
64409	65,75	66,70			2,84	13,54	35,32	0,19	3,68	0,19	30,24	1,89	0,15	0,00	0,00	0,21	11,19	13	120	370	1195	700	125
64410	66,70	67,70			0,90	12,52	35,85	0,23	3,19	0,16	32,36	2,10	0,17	< L.D.	< L.D.	0,12	12,08	0	34	74	1931	222	95

Forage: MK-05-23		Profond. (m):	97,4	UTM-N:	5919228,526	Cible(s):	Cr-1	Acid	0	angle (o)	45
Date:	16 Avr. 2005	Plongée:	45	UTM-E:	346375,768	Diamètre:	BQ	Test:	52	47,5	
Ing. Géol.:	Y. Bussières	Azimuth:	193	Altitude:	173,710	Contracteur:	For. Mercier				
		Mort-terrain (m):	3,3								
		Tubage présent:	oui								
		Cimentation:	non								
		Coins-biseaux	non								
		Unité de mesure	mètre								
<i>Début de la zone descriptive</i>											
De:	à:	Lithologie	Descriptio...	Altération	Sulfures	Couleur	Structure	A/C (o)			
0	3,3	MT	Mort terrain et tubage								
3,3	29,9	PER-CUM	Périd. cumulative	TALC, 5% v.q-c-t		bleu					
18,9	19,4	V.Q-C-T	v.q-c-t	v.q-c-t	1% minéral métallique noir en aiguille		contact	20			
29,9	37	GAB	Gabbro	TALC		gris vert					
37	72,35	PER-CUM	Périd. cumulative	5% v.q-c-t		bleu					
37	41,4	PER-CUM	Fracturée et cisailée								
38,8	39	PER cis	Zone cisailée		10% Py, Tr Cp		cisaillement	20			
56,8	56,9	PER	Péridotite		Tr Py						
59,5	59,6	PER	Péridotite		Tr Py						
72,35	82,55	PER-CUM	Périd. cumulative	5% v.q-c-t							
72,35	82,55	Chromitite Cr-1	Indice Cr-1								
72,35	72,95	CHR.-DISS	2% chrom.				contact	60			
72,95	73,6	CHR.-DISS	5% chrom.								
73,6	74,5	CHR.-DISS	10% chrom.								
74,5	75	CHR.-MAS	100% chrom.				contact	65			
75	75,3	CHR.-DISS	5% chrom.				contact	65			
75,3	76,95	PER-CUM	Périd. cumulative								
76,95	77,2	CHR.-SEMI-MASS	50% chrom.								
77,2	78,6	PER-CUM	Périd. cumulative								
78,6	79,3	CHR.-SEMI-MASS	60% chrom.				contact	60			
79,3	79,75	CHR.-DISS	10% chrom.								
79,75	80,8	PER-CUM	Périd. cumulative		1% Py et Cp						

ÉCHANTILLONS					Analyses chimiques																		
			intervalle		Cr2O3	Fe2O3	SiO2	TiO2	Al2O3	MnO	MgO	CaO	Na2O	K2O	P2O5	S	PAF	Au	Pt	Pd	Ni	Cu	Co
no	de:	à:	cont.	disc.													ppb	ppb	ppb	ppm	ppm	ppm	
64411	70,4	71,4			0,76	11,79	35,97	0,15	3,77	0,16	30,82	4,16	0,14	< L.D.	< L.D.	0,13	11,44	0	24	54	1278	154	68
64412	71,4	72,35			0,58	10,18	37,72	0,11	3,95	0,13	31,91	2,85	0,11	< L.D.	< L.D.	0,19	10,54	8	16	59	1310	72	57
64413	72,35	72,95			6,79	14,27	33,57	0,17	5,39	0,21	28,57	1,91	0,11	0,03	< L.D.	0,24	9,48	8	63	273	1669	627	101
64414	72,95	73,6			8,77	17,24	31,56	0,18	5,55	0,20	27,41	0,97	0,10	0,04	< L.D.	0,18	9,03	1	61	153	1350	147	137
64415	73,6	74,5			9,35	14,06	32,08	0,18	6,26	0,18	26,96	3,25	0,16	0,04	< L.D.	0,15	9,20	14	79	267	1260	395	90
64416	74,5	75			20,28	18,79	17,24	0,40	11,57	0,31	18,08	3,57	0,08	0,00	0,00	0,11	11,26	7	186	499	1366	160	226
64417	75	75,3			6,60	12,11	33,23	0,21	5,97	0,15	28,52	3,11	0,14	< L.D.	< L.D.	0,10	8,97	2	28	111	1151	318	84
64418	75,3	76,95			3,15	11,49	34,37	0,15	4,97	0,13	31,64	2,12	0,11	< L.D.	< L.D.	0,19	9,70	3	28	89	1252	71	82
64419	76,95	77,2			13,82	18,67	26,91	0,32	9,03	0,36	23,14	2,17	0,09	< L.D.	< L.D.	0,07	6,48	0	87	204	1213	41	145
64420	77,2	78,6			2,47	11,74	36,70	0,16	4,40	0,12	30,95	2,71	0,07	< L.D.	< L.D.	0,17	10,24	1	18	35	1187	218	88
64421	78,6	79,3			16,35	17,83	25,29	0,31	9,94	0,33	21,27	2,36	0,09	< L.D.	< L.D.	0,06	5,57	32	119	397	1377	64	133
64422	79,3	79,75			11,13	15,73	29,90	0,27	7,50	0,25	24,85	2,51	0,08	< L.D.	< L.D.	0,09	7,75	15	153	408	1400	463	119
64423	79,75	80,9			4,06	12,50	32,97	0,20	4,81	0,13	27,10	5,64	0,20	< L.D.	< L.D.	0,66	10,05	63	275	1295	2252	2864	103
64424	80,9	82,1			3,30	12,81	34,20	0,16	4,50	0,12	29,68	1,75	0,17	< L.D.	< L.D.	0,30	9,87	29	191	883	1640	969	90
64425	82,1	82,55			17,71	20,10	16,76	0,33	10,50	0,45	16,22	6,37	0,15	< L.D.	< L.D.	0,16	8,11	82	562	2380	2092	906	151
64426	82,55	83,5			1,75	12,28	35,32	0,15	3,97	0,13	31,27	2,10	0,12	< L.D.	< L.D.	0,19	10,27	7	76	201	1172	374	81
64427	83,5	84,5			0,56	11,89	36,85	0,15	3,83	0,15	31,87	2,14	0,06	< L.D.	< L.D.	0,10	10,54	1	14	31	1167	110	72

ÉCHANTILLONS				Analyses chimiques																			
		intervalle		Cr2O3	Fe2O3	SiO2	TiO2	Al2O3	MnO	MgO	CaO	Na2O	K2O	P2O5	S	PAF	Au	Pt	Pd	Ni	Cu	Co	
no	de:	à:	cont.	disc.	%	%	%	%	%	%	%	%	%	%	%	%	ppb	ppb	ppb	ppm	ppm	ppm	
64428	3,70	4,70			0,53	10,65	36,99	0,14	3,93	0,13	30,87	2,75	0,05	< L.D.	< L.D.	0,12	10,95	0	8	5	1170	40	64
64429	4,70	5,70			0,58	10,71	38,94	0,11	3,90	0,10	32,12	2,28	0,15	0,00	0,00	0,16	10,90	0	27	8	1234	1569	92
64430	5,70	6,70			7,80	14,51	32,19	0,17	6,04	0,21	29,09	0,98	0,11	< L.D.	< L.D.	0,09	9,21	4	57	207	1350	272	115
64431	6,70	8,15			9,47	14,20	30,57	0,19	6,48	0,18	27,88	1,36	0,06	< L.D.	< L.D.	0,11	8,93	4	59	200	1454	658	116
64432	8,15	8,80			21,72	20,15	17,99	0,39	13,10	0,37	17,77	1,48	0,15	< L.D.	< L.D.	0,06	4,41	7	134	485	1368	212	157
64433	8,80	9,65			4,64	13,05	35,08	0,23	4,68	0,14	29,11	3,32	0,17	< L.D.	< L.D.	0,14	10,51	3	39	66	1237	262	90
64434	9,65	10,65			3,83	12,70	35,58	0,17	5,00	0,15	30,87	1,89	0,15	< L.D.	< L.D.	0,13	9,93	1	40	95	1227	251	88
64435	10,65	11,35			10,60	16,86	25,39	0,29	7,32	0,31	25,51	2,40	0,07	0,00	0,00	0,11	9,02	6	70	156	1260	23	199
64436	11,35	12,25			2,11	11,57	37,52	0,15	4,73	0,12	31,83	2,48	0,24	0,08	< L.D.	0,21	10,36	0	19	29	1184	183	75
64444	12,25	13,10																					
64437	13,10	14,20			12,25	16,40	27,73	0,27	8,20	0,28	24,72	1,60	0,16	< L.D.	< L.D.	0,09	7,40	7	88	220	1222	297	124
64438	14,20	15,20			2,81	11,12	36,65	0,17	4,96	0,10	30,36	3,35	0,17	< L.D.	< L.D.	0,41	9,74	32	105	643	1952	1672	86
64439	15,20	15,95			17,25	21,73	19,80	0,38	10,65	0,39	17,99	3,20	0,20	< L.D.	< L.D.	0,18	6,50	37	419	1705	2077	743	170
64440	15,95	17,10			3,11	10,78	34,93	0,14	4,80	0,11	30,93	2,60	0,18	< L.D.	< L.D.	0,27	10,34	20	165	763	1473	1082	80
64441	17,10	17,50			18,74	23,09	20,01	0,35	10,31	0,46	19,20	2,29	0,17	< L.D.	< L.D.	0,20	5,88	53	468	1905	2183	509	212
64442	17,50	18,50			1,85	12,61	34,75	0,16	4,08	0,12	31,93	2,37	0,13	< L.D.	< L.D.	0,16	10,46	7	78	232	1220	286	86
64443	18,50	20,00			0,57	13,11	35,63	0,17	3,65	0,13	33,64	1,83	0,17	< L.D.	< L.D.	0,21	10,76	0	27	55	1096	62	95

Forage:		Profond. (m):		UTM-N:		Cible(s):		Acid		prof. (m)	angle (o)
Date:		Plongée:		UTM-E:		Diamètre:		Test:		0	45
Ing. Géol.:		Azimuth:		Altitude:		Contracteur:				55	48
		Mort-terrain (m):									
		Tubage présent:									
		Cimentation:									
		Coins-biseaux									
		Unité de mesure									
Début de la zone descriptive											
De:	à:	Lithologie	Descriptif	Altération	Sulfures	Couleur	Structure	A/C (o)			
0	2	MT	Mort terrain								
2	7,8	GAB	Gabbro grossier	TALC		Gris bleu					
7,8	29,6	GAB	Gabbro à grain moyen	5% v.q-c-t		Vert	contact	15			
29,6	38,4	GAB	Gabbro grossier	TALC		Gris bleu					
38,4	45,5	SCHISTE	Schiste à biotote	10% v.q-c		Noir	contact	45			
45,5	72,6	PER-CUM	Périd. cumulative	TALC, 5% v.q-c-t		Gris bleu					
72,6	85	GAB	Gabbro grossier			Gris bleu	contact	45			
85	108,85	PER-CUM	Périd. cumulative	5% v.q-c-t		Bleu					
108,85	119,7	PER-CUM	Périd. cumulative	30% v.q-c-t		Gris bleu	schistosité	10			
108,85	119,7	Chromitite Cr-1	Indice Cr-1								
108,85	109,9	CHR.-DISS	2% chrom.				contact	80			
109,9	110,55	PER cis	zone cisailée				cisaillement	15			
110,55	111,4	CHR.-SEMI-MASS	50% chromite massive				contact	10			
114,4	115,5	PER-CUM	Périd. cumulative								
115,5	115,95	CHR.-MAS	100% chrom.								
115,95	116,8	CHR.-SEMI-MASS	60% chrom.								
116,8	117,8	PER-CUM	Périd. cumulative								
117,8	118,15	CHR.-MAS	100% chrom.				contact	70			
118,15	119,3	PER-CUM	Périd. cumulative		1% Py						
119,3	119,7	CHR.-MAS	100% chrom.		1% Py		contact	60			
119,7	136	PER-CUM	Périd. cumulative			Bleu foncé					
119,7	123	PER	Péridotite		Tr Py						
136		Fin du trou	Fin du trou								

ÉCHANTILLONS					Analyses chimiques																		
			intervalle		Cr2O3	Fe2O3	SiO2	TiO2	Al2O3	MnO	MgO	CaO	Na2O	K2O	P2O5	S	PAF	Au	Pt	Pd	Ni	Cu	Co
no	de:	à:	cont.	disc.	%	%	%	%	%	%	%	%	%	%	%	%	%	ppb	ppb	ppb	ppm	ppm	ppm
64445	107,00	108,00			0,74	11,23	35,57	0,14	4,03	0,13	33,23	2,45	0,22	0,03	< L.D.	0,22	11,12	0	14	8	5105	86	76
64446	108,00	108,85			0,64	11,04	36,74	0,14	3,83	0,12	32,33	3,38	0,20	0,04	< L.D.	0,22	10,58	0	30	58	1275	403	98
64447	108,85	109,90			6,49	13,22	34,10	0,16	6,24	0,19	23,54	5,71	0,16	0,00	0,00	0,19	8,18	3	67	183	1151	388	133
64448	109,90	110,55			0,13	5,25	23,19	0,12	7,21	0,09	16,72	22,51	0,16	0,00	0,00	0,12	22,12	1	9	3	111	1082	< L.D.
64449	110,55	111,40			10,59	13,29	24,51	0,23	8,88	0,25	16,61	11,51	0,26	0,12	< L.D.	0,10	10,57	13	71	225	672	267	79
64450	111,40	112,40			1,77	9,00	33,54	0,14	7,50	0,11	21,56	11,81	0,30	0,13	< L.D.	0,14	10,90	0	0	47	462	140	53
64451	112,40	113,50			0,64	8,40	18,04	0,15	8,74	0,17	13,97	23,11	0,45	0,18	< L.D.	0,24	24,01	0	14	4	167	88	< L.D.
64452	113,50	114,50			0,33	7,25	23,84	0,07	5,67	0,18	14,72	24,24	0,43	0,22	< L.D.	0,24	21,50	0	0	4	209	199	< L.D.
64453	114,50	115,50			1,97	8,65	42,62	0,11	4,10	0,12	23,06	10,13	0,48	0,22	< L.D.	0,43	5,24	0	13	38	889	103	44
64454	115,50	115,95			2,26	10,66	23,44	0,13	8,05	0,18	15,83	20,04	0,18	< L.D.	< L.D.	0,06	18,46	0	20	49	300	69	53
64455	115,95	116,80			11,03	14,88	33,83	0,25	7,10	0,26	20,48	6,99	0,17	0,03	< L.D.	0,12	4,71	0	103	284	1225	175	102
64456	116,80	117,80			2,03	10,53	31,14	0,21	6,80	0,13	19,13	14,87	0,18	< L.D.	< L.D.	0,13	13,13				545	205	44
64457	117,80	118,15			16,25	24,53	19,63	0,38	10,06	0,37	16,90	4,67	0,16	< L.D.	< L.D.	0,12	7,19	3	267	962	1196	111	133
64458	118,15	119,30			3,22	11,61	37,31	0,17	4,78	0,14	24,72	7,25	0,20	< L.D.	< L.D.	0,39	7,35	16	157	811	1583	989	106
64459	119,30	119,70			19,16	23,80	20,83	0,40	11,21	0,47	18,05	2,30	0,15	< L.D.	< L.D.	0,21	5,09	39	621	2350	2248	577	212
64460	119,70	120,70			0,99	9,40	41,16	0,16	3,50	0,15	24,05	9,39	0,18	0,00	0,00	0,25	7,95	33	54	98	946	195	81
64461	120,70	121,70			0,41	10,24	33,70	0,18	5,65	0,15	23,78	10,48	0,19	< L.D.	< L.D.	0,15	12,10	5	17	30	743	134	55
64462	121,70	123,00			0,59	11,63	38,90	0,16	3,98	0,16	29,16	3,29	0,23	0,00	0,00	0,14	9,96	2	15	42	1001	98	114

Forage:	MK-05-27	Profond. (m):	161,1	UTM-N:	5918890,823	Cible(s):	Cr-31 et Cr-17	Acid	prof. (m)	angle (o)				
Date:	18 Avr. 2005	Plongée:	45	UTM-E:	346626,780	Diamètre:	BQ	Test:	0	45				
Ing. Géol.:	Y. Bussièrès	Azimuth:	181	Altitude:	168,750	Contracteur:	For. Mercier		80	47				
		Mort-terrain (m):	2,7						161	46,5				
		Tubage présent:	non											
		Cimentation:	non											
		Coins-biseaux	non											
		Unité de mesure	mètre											
<i>de la zone descriptive</i>														
De:	à:	Lithologie	Descriptio	Altération	Sulfures	Couleur	Structure	A/C (o)						
0	2,7	MT	Mort terrain											
2,7	70,1	PER-CUM	Périd. cumulative	5% v.c-c-t		Bleu								
6,8	7,7	GAB	Gabbro				contact	35						
14,9	16,1	GAB	Gabbro				contact	20						
47,6	48,5	GAB	Gabbro				contact	15						
56,1	60,2	GAB	Gabbro				contact	35						
70,1	78,4	PER	Péridotite	TALC, 10% v.q.c.t		Gris bleu								
70,1	78,4	Chromitite Cr-31	Indice Cr-31											
70,1	70,4	CHR.-MAS	100% chrom.				contact	25						
70,4	71,45	CHR.-SEMI-MASS	50% chrom.											
71,45	71,75	CHR.-MAS	100% chrom.				contact	25						
71,75	72,5	CHR.-DISS	10% chrom.											
72,5	73,1	CHR.-MAS	100% chrom.				contact	15						
73,1	73,9	PER	Péridotite											
73,9	75	CHR.-DISS	2% chrom.											
75	75,2	CHR.-MAS	100% chrom.				contact	55						
75,2	76,85	PER	Péridotite											
76,85	76,95	CHR.-MAS	100% chrom.				contact	50						
76,95	77,7	PER	Péridotite											
77,7	78,4	CHR.-MAS	100% chrom.				contact	60						
78,4	135,2	PER-CUM	Périd. cumulative	5% v.q-c-t		Bleu Foncé								
135,2	138	SCHISTE	Schiste à biotite			Noir								

ÉCHANTILLONS					Analyses chimiques																		
			intervalle		Cr2O3	Fe2O3	SiO2	TiO2	Al2O3	MnO	MgO	CaO	Na2O	K2O	P2O5	S	PAF	Au	Pt	Pd	Ni	Cu	Co
no	de:	à:	cont.	disc.	%	%	%	%	%	%	%	%	%	%	%	%	ppb	ppb	ppb	ppm	ppm	ppm	
64463	68,10	69,10			0,52	8,06	35,83	0,13	4,20	0,17	28,22	6,11	0,24	< L.D.	0,10	0,16	15,11	0	27	130	1106	234	56
64464	69,10	70,10			0,23	5,74	34,28	0,16	4,31	0,15	26,89	9,31	0,20	0,03	0,18	0,32	17,04	0	0	5	783	593	< L.D.
64465	70,10	70,40			7,61	14,81	32,04	0,19	7,01	0,26	25,10	3,21	0,14	< L.D.	< L.D.	0,16	10,25	0	168	484	1832	122	151
64466	70,40	71,45			8,01	14,54	35,45	0,15	5,32	0,21	24,22	3,09	0,18	< L.D.	< L.D.	0,11	9,48	0	59	172	1128	49	95
64467	71,45	71,75			12,32	16,92	33,35	0,22	7,02	0,25	22,78	1,71	0,17	0,02	< L.D.	0,09	6,80	0	92	229	1252	24	101
64468	71,75	72,50			9,15	14,72	29,33	0,19	5,98	0,20	25,52	2,72	0,19	0,02	< L.D.	0,11	10,41	2	56	160	1248	33	83
64469	72,50	73,10			14,38	16,13	25,86	0,30	8,47	0,26	20,75	3,80	0,07	0,00	0,00	0,05	8,30	0	70	198	857	< L.D.	131
64470	73,10	73,90			5,47	12,61	35,15	0,15	4,89	0,13	30,18	0,97	0,16	0,02	< L.D.	0,15	9,76	0	49	188	1338	276	81
64471	73,90	75,00			5,77	14,43	33,79	0,16	5,21	0,18	29,22	1,72	0,16	0,02	< L.D.	0,14	10,46	0	50	99	1246	113	82
64472	75,00	75,20			12,02	18,07	27,96	0,25	7,52	0,32	24,72	0,84	0,19	< L.D.	< L.D.	0,12	7,63	0	82	236	1346	85	128
64473	75,20	76,00			2,75	11,73	39,06	0,12	3,98	0,11	30,33	1,49	0,12	< L.D.	< L.D.	0,18	9,82	0	9	68	1256	543	95
64474	76,00	76,85			2,86	11,21	39,76	0,12	4,48	0,11	27,63	2,60	0,18	0,03	< L.D.	0,13	9,72	0	22	67	1221	201	80
64475	76,85	76,95																					
64476	76,95	77,70			3,09	10,06	37,09	0,13	4,24	0,12	26,89	4,18	0,17	0,04	< L.D.	0,20	11,68				1571	114	56
64477	77,70	78,40			23,19	27,33	17,53	0,39	11,12	0,47	15,92	1,37	0,27	0,13	< L.D.	0,22	4,50	1	257	711	1991	160	179
64478	78,40	79,40			3,25	13,62	36,79	0,14	3,77	0,14	32,28	0,68	0,16	0,03	< L.D.	0,30	10,37	0	43	81	1665	547	94
64479	79,40	80,40			1,12	13,91	37,38	0,16	2,86	0,16	33,55	1,08	0,18	0,02	< L.D.	0,18	11,18	0	16	10	1245	56	89
64480	137,00	138,00			0,19	10,04	44,55	0,52	10,90	0,12	17,07	2,57	1,82	4,95	0,24	0,07	3,97	0	13	19	405	84	66
64481	138,00	138,70			0,34	8,12	35,58	0,27	7,06	0,11	26,15	6,12	0,31	1,00	0,21	0,23	14,07	0	139	537	864	490	62
64482	138,70	139,40			22,13	20,82	17,84	0,31	11,35	0,41	18,36	1,25	0,18	0,00	0,00	0,09	5,94	0	149	556	1534	39	174
64483	139,40	140,40			4,56	10,28	35,90	0,13	4,14	0,14	25,83	4,45	0,20	0,00	0,00	0,16	11,46	0	19	93	1208	346	104
64484	140,40	141,40			5,91	11,89	35,14	0,14	5,07	0,17	25,26	3,84	0,18	0,00	0,00	0,19	11,13	0	9	44	1031	453	114
64485	141,40	142,40			2,48	10,39	32,65	0,14	3,20	0,16	27,42	4,51	0,17	0,00	0,00	0,27	15,67	0	26	88	1209	152	93
64486	142,40	142,90			3,83	9,29	33,72	0,12	3,91	0,13	27,56	4,47	0,16	0,00	0,00	0,24	15,50	3	35	116	1092	554	101
64487	142,90	143,90			13,83	16,64	29,13	0,25	7,85	0,23	22,11	2,52	0,15	0,00	0,00	0,18	8,17	5	176	591	1565	457	178
64488	143,90	144,70			2,97	11,24	33,74	0,14	3,57	0,12	27,73	3,76	0,22	0,00	0,00	0,59	13,71	10	218	916	2132	1334	104
64489	144,70	145,15			20,88	22,23	16,24	0,29	11,05	0,35	17,84	1,44	0,13	0,00	0,00	0,14	6,90	2	188	931	2021	40	174
64490	145,15	146,40			3,60	11,96	32,67	0,12	3,84	0,14	28,17	2,67	0,13	0,00	0,00	0,40	14,45	16	498	1725	1824	809	116
64491	146,40	146,95			16,59	20,78	19,76	0,32	9,37	0,35	19,46	3,12	0,18	0,00	0,00	0,17	8,83	0	71	259	2000	38	191
64492	146,95	148,00			2,00	11,25	34,58	0,13	3,54	0,15	27,64	4,73	0,15	0,00	0,00	0,26	14,59	0	20	60	1140	371	86
64493	148,00	149,00			0,67	11,62	30,55	0,10	2,67	0,19	28,49	4,87	0,21	0,02	0,00	0,27	18,90	1	0	20	1067	100	96

Forage: MK-05-28		Profond. (m):	266	UTM-N:	5918891,644 <th>Cible(s):</th> <td>Cr-31 et Cr-17 <th>Acid</th> <td>0</td> <th>angle (o)</th> <td>78</td> </td>	Cible(s):	Cr-31 et Cr-17 <th>Acid</th> <td>0</td> <th>angle (o)</th> <td>78</td>	Acid	0	angle (o)	78
Date:	20 Avr. 2005	Plongée:	78	UTM-E:	346626,883	Diamètre:	BQ	Test:	80		77
Ing. Géol.:	Y. Bussières	Azimuth:	181	Altitude:	168,776	Contracteur:	For. Mercier		149		79
		Mort-terrain (m):	1,6						266		78
		Tubage présent:	oui								
		Cimentation:	non								
		Coins-biseaux	non								
		Unité de mesure	mètre								
Début de la zone descriptive											
De:	à:	Lithologie	Descriptif	Altération	Sulfures	Couleur	Structure	A/C (o)			
0	1,6	MT	Mort terrain et tubage								
1,6	88,7	PER-CUM	Périd. cumulative	5% v.q-c-t		Bleu foncé					
1,6	4,9	PER	60% gabbro				contact		15		
7,2	11,6	PER	Péridotite fracturée	TALC, 20% v.q-c-t							
57,2	58,3	PER brec	Péridotite bréchifiée		1% Py, Tr Cp						
88,7	91,1	SCHISTE	Schiste à biotite	5% v.q-c		Noir	contact		35		
91,1	114,6	PER-CUM	Périd. cumulative	5% v.q-c-t		Bleu foncé	contact		65		
110,7	114,6	PER	Péridotite		Tr Py dans veinules q-c-t						
114,6	129,25	PER-CUM	Périd. cumulative	5% v.q-c-t		Bleu					
114,6	129,25	Chromitite Cr-31	Indice Cr-31								
114,6	114,7	CHR.-MAS	100% chrom.				contact		45		
114,7	115,4	CHR.-DISS	2% chrom.		Tr Cp, Tr Py						
115,4	117,7	CHR.-DISS	5% chrom.								
117,7	119	CHR.-MAS	100% chrom.				contact		40		
119	121,75	CHR.-DISS	2% chrom.								
121,75	122,05	CHR.-SEMI-MASS	50% chrom.								
122,05	122,5	CHR.-DISS	2% chrom.								
122,5	123,1	CHR.-DISS	5% chrom.								
123,1	123,4	CHR.-DISS	2% chrom.								
123,4	128,85	CHR.-MAS	100% chrom.				contact		55		
123,85	124,35	PER-CUM	Péridotite								
124,35	125,05	CHR.-MAS	100% chrom.				litage magmatique		55		

Forage: MK-05-28 (suite)									
De:	à:	Lithologie	Descriptio.	Altération	Sulfures	Couleur	Structure	A/C (o)	
125,05	127,2	PER-CUM	Péridotite						
127,2	128,05	CHR.-DISS	30% chrom. massive, Péridotite bréchifiée						
128,05	128,5	PER-CUM	Péridotite						
128,5	129,25	CHR.-DISS	5% chrom. massive, Péridotite bréchifiée						
129,25	220	PER-CUM	Périd. cumulative	5% v.q-c-t		Bleu			
187,7	188,8	GAB	Gabbro						
190	191,6	GAB	Gabbro						
193,7	194,4	GAB	Gabbro				contact	30	
220	248,3	SCHISTE	Schiste à biotite			Noir	contact	35	
248,3	253,4	PER	Péridotite	TALC, 5% v.q-c-t		gris bleu	contact	45	
253,4	261	GAB	Gabbro fin			Gris			
261	266	PER. BRÉ	Péridotite bréchifiée	TALC, 30% v.q-c-t		gris bleu			
266		Fin du trou	Fin du trou						

ÉCHANTILLONS					Analyses chimiques																		
			intervalle		Cr2O3	Fe2O3	SiO2	TiO2	Al2O3	MnO	MgO	CaO	Na2O	K2O	P2O5	S	PAF	Au	Pt	Pd	Ni	Cu	Co
no	de:	à:	cont.	disc.	%	%	%	%	%	%	%	%	%	%	%	%	%	ppb	ppb	ppb	ppm	ppm	ppm
64494	110,60	111,60																					
64495	111,60	112,60																					
64496	112,60	113,60			0,74	10,80	38,49	0,12	3,01	0,16	29,65	5,24	0,26	0,00	0,00	0,22	13,01	1	89	302	1400	44	95
64497	113,60	114,60			1,89	11,36	34,26	0,11	3,57	0,15	31,47	2,40	0,16	0,00	0,00	0,21	12,39	2	111	332	1753	168	117
64498	114,60	115,40			8,77	15,17	30,45	0,18	5,71	0,22	28,23	0,58	0,12	0,00	0,00	0,13	9,05	5	74	263	1752	326	150
64499	115,40	116,70			9,12	14,78	29,26	0,17	5,83	0,17	28,08	1,28	0,15	0,00	0,00	0,11	10,04	1	94	310	1501	146	123
64500	116,70	117,70			10,77	15,58	27,85	0,20	6,60	0,17	26,88	0,71	0,16	0,02	0,00	0,13	8,86	0	106	347	1831	440	147
64501	117,70	119,00			17,91	18,16	20,31	0,31	10,66	0,27	20,65	1,88	0,17	0,00	0,00	0,08	7,80	1	33	113	2420	165	153
64502	119,00	119,75			4,88	12,60	32,00	0,16	4,58	0,12	30,62	2,40	0,16	0,00	0,00	0,12	12,08	0	21	87	1399	274	92
64503	119,75	120,75			3,99	12,30	33,15	0,13	4,66	0,11	31,14	1,50	0,12	0,00	0,00	0,11	11,28				1315	386	96
64504	120,75	121,75			3,99	12,32	32,15	0,12	4,74	0,14	30,39	2,02	0,15	0,00	0,00	0,17	11,69	67	7	154	1298	211	100
64505	121,75	122,05			13,87	18,69	23,66	0,29	8,70	0,33	23,56	1,00	0,17	0,00	0,00	0,08	7,91	0	50	360	1597	95	165
64506	122,05	122,50			3,76	10,65	31,34	0,14	4,70	0,14	30,35	3,89	0,17	0,00	0,00	0,17	13,84	0	30	89	1352	937	87
64507	122,50	123,10			11,70	17,56	27,44	0,25	7,58	0,25	26,64	0,85	0,20	0,00	0,00	0,10	8,71	25	69	337	1455	60	130
64508	123,10	123,40			3,64	10,17	35,24	0,12	4,66	0,10	32,80	1,15	0,17	0,00	0,00	0,27	11,20	5	57	325	1695	2798	99
64509	123,40	123,85			20,41	22,47	17,76	0,37	11,12	0,43	18,24	1,21	0,13	0,00	0,00	0,22	5,82	15	535	1870	3218	528	191
64510	123,85	124,35			7,20	14,78	28,93	0,18	5,40	0,19	28,00	1,58	0,16	0,02	0,00	0,17	10,07	16	106	666	1665	577	115
64511	124,35	125,05			15,09	19,72	20,95	0,28	8,67	0,33	21,97	1,96	0,16	0,00	0,00	0,21	8,24	13	387	1615	2599	527	171
64512	125,05	126,00			2,84	11,03	31,31	0,15	3,90	0,12	31,43	2,91	0,15	0,00	0,00	0,31	12,96	0	65	518	1578	1186	97
64513	126,00	127,20			5,16	15,56	34,03	0,15	4,53	0,14	30,70	1,02	0,12	0,00	0,00	0,33	9,96	58	154	943	2132	1336	133
64514	127,20	128,05			13,36	21,27	22,92	0,19	8,04	0,35	24,56	2,37	0,00	0,00	0,00	0,17	9,38	3	441	2010	2170	30	253
64515	128,05	128,50			4,51	14,03	33,41	0,17	4,59	0,16	31,23	1,41	0,13	0,00	0,00	0,17	11,15	10	323	1430	2287	190	139
64516	128,50	129,25			5,53	16,24	32,48	0,18	4,72	0,22	29,45	1,94	0,11	0,00	0,00	0,21	10,49	6	271	974	1672	248	138
64517	129,25	130,20			0,88	13,27	34,31	0,12	3,15	0,17	32,11	1,86	0,13	0,00	0,00	0,19	12,12	4	34	75	1235	134	99
64518	130,20	131,20			0,65	12,55	35,29	0,13	3,00	0,18	32,50	2,18	0,11	0,00	0,00	0,16	12,13	1	19	56	1179	59	106

ÉCHANTILLONS					Analyses chimiques																		
			intervalle		Cr2O3	Fe2O3	SiO2	TiO2	Al2O3	MnO	MgO	CaO	Na2O	K2O	P2O5	S	PAF	Au	Pt	Pd	Ni	Cu	Co
no	de:	à:	cont.	disc.	%	%	%	%	%	%	%	%	%	%	%	%	%	ppb	ppb	ppb	ppm	ppm	ppm
64519	84,70	85,70			0,61	10,90	36,76	0,09	3,26	0,14	31,80	2,55	0,18	0,00	0,00	0,22	11,78	0	31	310	1439	89	91
64520	85,70	86,70			0,73	9,18	35,87	0,09	3,35	0,11	31,12	3,66	0,18	0,00	0,00	0,27	12,70	1	35	259	1670	535	77
64521	86,70	87,50			8,77	15,37	29,14	0,16	5,67	0,20	27,80	0,81	0,16	0,02	0,00	0,12	9,05	0	27	173	1719	150	115
64522	87,50	88,40			11,16	15,06	24,68	0,19	6,45	0,20	25,23	3,65	0,12	0,03	0,00	0,09	11,02	5	18	246	3039	108	127
64523	88,40	89,10			17,46	17,69	22,82	0,30	9,68	0,25	20,91	2,58	0,02	0,00	0,00	0,12	5,97	3	104	527	1492	374	188
64524	89,10	89,60			6,45	13,43	29,56	0,18	5,28	0,15	30,19	1,37	0,02	0,00	0,00	0,15	10,35	0	0	105	1262	372	131
64525	89,60	90,60			3,73	12,53	34,15	0,15	4,13	0,17	30,60	2,16	0,17	0,00	0,00	0,17	11,17	0	0	94	1159	49	135
64526	90,60	91,60			5,20	13,06	32,50	0,15	4,87	0,18	30,11	1,73	0,13	0,00	0,00	0,15	10,83	4	42	120	1131	1811	127
64527	91,60	92,60			2,46	11,42	35,20	0,10	3,82	0,12	31,91	1,52	0,15	0,02	0,00	0,18	11,57	0	7	33	1156	50	113
64528	92,60	92,90			3,45	11,93	34,23	0,11	3,77	0,10	31,26	2,43	0,15	0,00	0,00	0,16	12,59	1	20	83	1194	205	120
64529	92,90	94,10			15,19	17,50	22,49	0,27	8,33	0,23	23,22	1,42	0,17	0,03	0,00	0,16	7,67	4	179	679	1925	697	164
64530	94,10	95,10			3,22	12,00	35,23	0,12	4,09	0,12	30,62	2,64	0,12	0,00	0,00	0,21	11,56	0	40	248	1447	525	114
64531	95,10	95,55			23,33	22,37	17,24	0,37	11,37	0,38	17,22	1,68	0,14	0,00	0,00	0,18	4,96	23	480	1760	2621	765	210
64532	95,55	96,35			2,83	13,04	32,29	0,11	3,85	0,12	30,74	2,22	0,14	0,00	0,00	0,20	11,68	0	36	213	1336	680	83
64533	96,35	97,25			3,94	12,30	31,45	0,13	8,12	0,12	29,58	0,50	0,11	0,00	0,00	0,17	10,45	1	138	688	1683	229	107
64534	97,25	97,80			16,86	21,34	20,31	0,26	11,85	0,44	19,75	0,58	0,13	0,00	0,00	0,11	6,44	19	474	1965	2415	31	193
64535	97,80	98,80			1,67	12,53	37,79	0,11	3,31	0,14	30,80	1,05	0,19	0,00	0,00	0,16	9,88	1	39	191	1366	334	134
64536	98,80	99,80			0,29	7,79	44,83	0,28	5,48	0,14	27,54	5,19	0,42	0,11	0,24	0,12	7,20	0	0	9	1132	76	94

Forage:		Profond. (m):		UTM-N:		Cible(s):		Acid		prof. (m)	angle (o)
Date:		Plongée:		UTM-E:		Diamètre:		Test:		0	45
Ing. Géol.:		Azimuth:		Altitude:		Contracteur:				80	47,5
		Mort-terrain (m):									
		Tubage présent:									
		Cimentation:									
		Coins-biseaux									
		Unité de mesure									
Début de la zone descriptive											
De:	à:	Lithologie	Descriptif	Altération	Sulfures	Couleur	Structure	A/C (o)			
0	1	MT	Mort terrain								
1	25,2	PER-CUM	Périd. cumulative	TALC, 10% v.q-c-t		Bleu					
25,2	37,5	GAB	Gabbro			Vert					
25,2	30,3	GAB cis.	zone cisailée				cisaillement	15			
35,3	37,5	PER	Brèche de faille								
37,5	40,6	PER	Péridotite	TALC, 10% v.q-c-t		Bleu					
37,5	38,8	PER	Brèche de faille								
40,6	45,6	GAB	Gabbro fin	5% v.q-c		Vert foncé					
45,6	62,4	PER-CUM	Périd. cumulative	5% v.q-c-t		Bleu foncé					
62,4	72,9	PER-CUM	Périd. cumulative	5% v.q-c-t		Bleu foncé					
62,4	72,9	Chromitite Cr-31	Indice Cr-17								
62,4	62,5	CHR.-MAS	100% chrom.				contact	75			
62,5	64,1	CHR.-DISS	2% chrom.								
64,1	64,6	CHR.-MAS	100% chrom.				contact	50			
64,6	66,1	CHR.-DISS	1% chrom.								
66,1	66,4	CHR.-DISS	30% chrom.								
66,4	67,9	PER-CUM	Péridotite								
67,9	69,4	CHR.-DISS	20% chrom.								
69,4	70,5	PER-CUM	Péridotite								
70,5	71,2	CHR.-MAS	100% chrom.				contact	55			
71,2	72,6	PER-CUM	Péridotite								
72,6	72,9	CHR.-MAS	100% chrom.				contact	80			
72,9	78,5	PER-CUM	5% v.q-c-t			Bleu					

ÉCHANTILLONS				Analyses chimiques																			
			intervalle		Cr2O3	Fe2O3	SiO2	TiO2	Al2O3	MnO	MgO	CaO	Na2O	K2O	P2O5	S	PAF	Au	Pt	Pd	Ni	Cu	Co
no	de:	à:	cont.	disc.	%	%	%	%	%	%	%	%	%	%	%	%	%	ppb	ppb	ppb	ppm	ppm	ppm
64555	60,40	61,40			0,67	10,81	39,18	0,12	2,89	0,13	31,25	2,22	0,17	0,00	0,00	0,20	11,24	0	9	58	1347	71	114
64556	61,40	62,40			0,85	10,20	39,10	0,08	3,20	0,11	32,15	1,87	0,17	0,00	0,00	0,21	11,27	0	22	116	1426	237	107
64557	62,40	63,40			9,40	15,15	31,47	0,19	6,11	0,23	27,82	0,85	0,16	0,00	0,00	0,10	8,25	0	46	212	1523	25	175
64558	63,40	64,10			10,42	15,84	28,11	0,19	6,30	0,22	28,03	0,44	0,00	0,00	0,00	0,10	7,90	0	21	108	1563	61	148
64559	64,10	64,60			16,41	17,13	25,52	0,27	9,29	0,30	21,49	2,65	0,01	0,00	0,00	0,09	4,98	8	122	532	1506	275	186
64560	64,60	65,10			6,69	12,15	34,15	0,16	5,40	0,14	29,96	0,86	0,17	0,00	0,00	0,10	9,13	0	25	107	1377	78	134
64561	65,10	66,10			3,99	11,24	36,07	0,13	4,56	0,11	31,46	0,65	0,21	0,02	0,00	0,11	9,74	0	23	78	1243	68	137
64562	66,10	66,40			11,97	17,26	30,97	0,27	7,06	0,29	25,05	1,53	0,16	0,03	0,00	0,09	6,67	1	81	275	1406	29	199
64563	66,40	66,90			2,48	11,95	35,21	0,10	3,96	0,11	32,36	0,85	0,11	0,00	0,00	0,13	10,19	1	13	49	1348	211	102
64564	66,90	67,90			2,52	11,73	35,15	0,16	3,56	0,10	32,78	0,62	0,22	0,00	0,00	0,17	10,13	0	7	38	1337	593	84
64565	67,90	69,40			12,79	16,94	29,36	0,22	7,63	0,27	24,33	1,36	0,17	0,03	0,00	0,10	6,73	0	130	400	1440	205	191
64566	69,40	70,50			16,77	19,00	20,62	0,31	10,41	0,39	18,40	1,80	0,07	0,00	0,00	0,14	9,58	0	79	225	2077	99	207
64567	70,50	71,20			19,45	22,19	23,40	0,34	10,45	0,45	18,20	2,21	0,20	0,00	0,00	0,12	4,22	9	303	1245	2240	72	285
64568	71,20	72,60			4,18	14,66	34,14	0,13	4,29	0,17	30,11	0,64	0,19	0,00	0,00	0,22	9,41	6	183	789	2104	882	139
64569	72,60	72,90			21,43	24,89	17,54	0,37	11,48	0,60	15,88	0,88	0,14	0,00	0,00	0,12	4,08	40	458	1765	1935	68	251
64570	72,90	73,90			0,41	10,04	41,01	0,40	5,31	0,14	26,02	6,60	0,30	0,03	0,19	0,32	6,40	2	0	17	966	419	77
64571	73,90	74,90			0,63	13,19	35,98	0,12	3,26	0,17	32,16	0,99	0,18	0,00	0,00	0,27	10,29	0	0	25	1257	149	142
64572	107,00	108,00			0,71	11,91	34,59	0,12	3,12	0,15	33,51	1,53	0,16	0,02	0,00	0,16	11,46	13	8	20	1493	91	104
64573	108,00	109,00			0,64	10,00	37,34	0,08	3,34	0,11	32,72	1,14	0,13	0,00	0,00	0,20	11,59	3	0	37	1297	100	134
64574	109,00	110,25			8,73	14,24	29,57	0,16	5,82	0,20	29,52	1,76	0,16	0,04	0,00	0,19	10,09	0	29	138	1845	954	129
64575	110,25	111,30			11,76	14,69	24,11	0,22	6,74	0,20	25,53	4,24	0,20	0,03	0,00	0,11	11,33	0	56	244	1512	293	140
64576	111,30	111,85			22,89	19,36	16,80	0,29	12,25	0,28	18,89	1,78	0,35	0,08	0,00	0,12	5,77	3	162	540	1394	469	169
64577	111,85	112,80			5,45	12,87	31,09	0,15	4,77	0,14	31,01	1,37	0,34	0,08	0,00	0,13	10,61	1	33	115	1642	201	93
64578	112,80	113,50			11,48	16,52	26,33	0,21	6,69	0,23	26,00	1,70	0,36	0,09	0,00	0,12	8,52	0	116	480	1675	< 19.1	141
64579	113,50	114,60			11,31	17,72	26,62	0,21	6,55	0,21	25,97	0,87	0,31	0,08	0,00	0,13	7,86	1	206	921	1822	< 18.4	149
64580	114,60	115,40			4,83	11,73	32,17	0,17	5,21	0,12	30,24	2,72	0,30	0,07	0,00	0,26	10,55	0	164	715	1956	1020	111
64581	115,40	115,85			25,27	24,24	14,42	0,37	11,67	0,50	16,34	0,55	0,32	0,06	0,00	0,12	5,05	4	338	1230	2161	< 19.1	194
64582	115,85	116,65			7,57	14,93	29,50	0,18	5,47	0,22	26,34	3,41	0,26	0,07	0,00	0,32	9,95	1	208	1010	1718	419	129
64583	116,65	116,90			19,36	25,78	17,95	0,33	9,77	0,55	17,61	0,74	0,33	0,07	0,00	0,20	5,15	8	757	2350	1871	< 19.3	227
64584	116,90	117,90			1,82	10,37	41,20	0,13	3,13	0,12	28,31	3,00	0,19	0,03	0,00	0,32	8,48	0	15	79	1065	832	116
64585	117,90	118,90			0,92	13,07	36,76	0,14	3,05	0,11	32,95	0,45	0,31	0,05	0,00	0,43	10,17	0	13	85	1219	53	104

ÉCHANTILLONS				Analyses chimiques																			
no	de:	à:	intervalle		Cr2O3	Fe2O3	SiO2	TiO2	Al2O3	MnO	MgO	CaO	Na2O	K2O	P2O5	S	PAF	Au	Pt	Pd	Ni	Cu	Co
			cont.	disc.	%	%	%	%	%	%	%	%	%	%	%	%	%	%	ppb	ppb	ppb	ppm	ppm
64537	105,60	106,60			0,69	11,40	35,13	0,11	3,09	0,15	33,24	2,39	0,27	0,06	0,00	0,36	11,09	0	26	152	1400	78	87
64538	106,60	107,60			0,73	10,79	34,46	0,09	3,06	0,11	33,34	2,49	0,28	0,05	0,00	0,35	11,61	0	24	61	1460	292	100
64539	107,60	108,60			9,14	14,89	28,78	0,17	5,87	0,21	28,70	1,43	0,31	0,06	0,00	0,18	8,84	0	39	132	1559	99	129
64540	108,60	109,60			11,01	15,17	27,32	0,16	6,57	0,18	28,51	0,91	0,32	0,06	0,00	0,11	8,62	0	0	59	1450	< 18.8	126
64541	109,60	110,25			10,85	14,87	26,82	0,16	6,60	0,16	27,91	1,48	0,27	0,05	0,00	0,19	9,05	0	76	386	1680	699	122
64542	110,25	111,00			21,79	18,15	17,84	0,32	11,54	0,23	20,14	2,12	0,29	0,04	0,00	0,14	6,52	3	130	493	1566	555	163
64543	111,00	111,40			7,75	13,68	30,35	0,16	5,72	0,16	30,22	1,27	0,26	0,04	0,00	0,18	9,77	0	63	231	1454	569	111
64544	111,40	111,90			3,20	12,06	33,54	0,13	3,85	0,12	32,86	0,98	0,32	0,03	0,00	0,29	10,67	0	30	76	1220	81	97
64545	111,90	112,90			4,72	13,00	31,51	0,13	4,40	0,16	31,13	2,30	0,29	0,03	0,00	0,26	10,11	0	39	84	1253	65	100
64546	112,90	113,25			13,07	17,28	24,97	0,27	7,57	0,31	25,84	1,39	0,23	0,03	0,00	0,10	8,35	0	89	241	1426	< L.D.	135
64547	113,25	114,20			2,87	12,48	32,90	0,16	3,71	0,14	32,09	2,34	0,25	0,03	0,00	0,35	11,42	0	15	61	1262	127	97
64548	114,20	114,60			3,22	11,13	32,01	0,13	3,80	0,11	31,88	2,96	0,28	0,04	0,00	0,36	11,96	0	27	63	1224	756	96
64549	114,60	115,60			18,46	20,03	21,22	0,27	9,91	0,30	20,80	2,10	0,25	0,04	0,00	0,09	5,87	0	121	424	1437	< L.D.	158
64550	115,60	116,70			9,70	15,12	29,04	0,18	6,28	0,21	26,77	2,21	0,17	0,03	0,00	0,19	9,37	0	145	529	1564	316	180
64551	116,70	117,40			2,81	11,80	33,36	0,11	3,75	0,09	32,59	1,51	0,29	0,04	0,00	0,71	11,11	1	250	1200	2409	1978	113
64552	117,40	117,90			25,00	23,94	14,85	0,32	12,09	0,41	16,74	1,52	0,24	0,00	0,00	0,14	5,43				2153	< L.D.	196
64553	117,90	118,90			3,13	11,27	33,10	0,15	3,67	0,11	31,84	2,64	0,26	0,00	0,00	0,38	11,44	0	217	1025	1967	911	98
64554	118,90	119,90			1,02	13,46	33,87	0,10	2,88	0,14	32,01	3,39	0,25	0,00	0,00	0,38	11,47	1	39	95	1135	334	89

ÉCHANTILLONS					Analyses chimiques																		
		intervalle		Cr2O3	Fe2O3	SiO2	TiO2	Al2O3	MnO	MgO	CaO	Na2O	K2O	P2O5	S	PAF	Au	Pt	Pd	Ni	Cu	Co	
no	de:	à:	cont.	disc.	%	%	%	%	%	%	%	%	%	%	%	%	ppb	ppb	ppb	ppm	ppm	ppm	
64586	127,40	128,40			0,83	10,25	35,83	0,08	3,46	0,11	31,84	2,50	0,29	0,02	0,00	0,28	11,51	0	28	45	1330	340	93
64587	128,40	129,40			2,95	12,29	33,91	0,13	4,00	0,15	31,17	2,05	0,26	0,00	0,00	0,31	11,19	2	55	111	1451	103	102
64588	129,40	129,70			7,59	14,61	27,73	0,18	5,71	0,26	26,55	3,10	0,37	0,00	0,00	0,28	10,53	0	165	332	1685	288	120
64589	129,70	130,30			7,15	13,47	29,51	0,16	5,45	0,23	28,69	2,57	0,29	0,00	0,00	0,14	10,96	0	56	177	1467	226	116
64590	130,30	131,30			0,82	11,15	34,79	0,10	3,33	0,12	32,87	1,95	0,26	0,00	0,00	0,32	12,17	0	0	17	1323	104	92
64591	131,30	132,30			0,78	11,62	35,14	0,11	3,42	0,13	33,44	1,26	0,31	0,02	0,00	0,29	11,72	0	13	8	1314	< L.D.	97

ÉCHANTILLONS					Analyses chimiques																		
			intervalle		Cr2O3	Fe2O3	SiO2	TiO2	Al2O3	MnO	MgO	CaO	Na2O	K2O	P2O5	S	PAF	Au	Pt	Pd	Ni	Cu	Co
no	de:	à:	cont.	disc.	%	%	%	%	%	%	%	%	%	%	%	%	%	ppb	ppb	ppb	ppm	ppm	ppm
64592	44,80	46,60																					
64593	93,80	94,80			0,65	10,94	34,24	0,11	3,21	0,16	33,19	2,81	0,37	0,00	0,00	0,30	11,93	0	16	49	1316	< L.D.	92
64594	94,80	95,80			0,73	11,27	35,51	0,15	2,86	0,14	34,22	2,95	0,25	0,02	0,00	0,44	12,33	0	49	92	1471	131	102
64595	95,80	96,80			8,16	13,61	29,88	0,17	5,49	0,19	28,83	3,07	0,21	0,00	0,00	0,22	10,36	0	62	252	1564	885	121
64596	96,80	97,80			11,89	14,76	27,02	0,19	6,85	0,19	27,56	2,12	0,23	0,00	0,00	0,10	9,04	0	75	219	1413	< L.D.	127
64597	97,80	98,25			12,24	14,92	26,49	0,20	7,16	0,18	27,35	1,75	0,35	0,02	0,00	0,25	9,04	0	102	374	1985	1092	144
64598	98,25	98,90			25,96	20,30	15,56	0,36	13,14	0,28	17,42	2,86	0,26	0,00	0,00	0,09	5,23				1507	167	175
64599	98,90	99,80			5,53	12,94	31,59	0,16	4,57	0,14	31,26	1,52	0,21	0,00	0,00	0,23	10,67	0	24	105	1260	235	105
64600	99,80	100,65			5,13	12,85	31,61	0,15	4,54	0,15	31,30	1,91	0,28	0,00	0,00	0,22	10,80	0	44	94	1247	85	97
64601	100,65	101,10			11,70	17,53	28,43	0,20	7,27	0,27	27,40	1,26	0,27	0,00	0,00	0,17	8,13	0	104	274	1541	< L.D.	151
64602	101,10	101,80			2,47	10,38	34,16	0,32	4,31	0,10	32,75	2,24	0,27	0,00	0,00	0,42	11,55	12	17	130	1303	612	88
64603	101,80	102,80			9,06	15,39	29,98	0,21	7,52	0,19	25,47	2,96	0,34	0,00	0,00	0,21	7,53	0	131	601	1722	44	123
64604	102,80	103,35			3,71	12,84	34,72	0,19	4,74	0,10	30,92	2,32	0,28	0,00	0,00	0,58	9,51	2	244	1025	2207	1123	121
64605	103,35	104,10			26,57	23,94	13,44	0,41	13,22	0,43	15,51	2,24	0,25	0,00	0,00	0,16	4,80				2183	167	196
64606	104,10	104,75			7,65	15,38	27,92	0,22	5,40	0,23	26,64	5,43	0,23	0,00	0,00	0,29	11,35				1749	842	132
64607	104,75	105,70			1,83	12,15	33,68	0,10	3,21	0,14	32,60	2,74	0,24	0,00	0,00	0,43	12,41	0	91	287	1244	367	97
64608	105,70	106,70			0,82	13,51	36,28	0,12	2,80	0,13	34,52	0,63	0,21	0,00	0,00	0,37	10,95	0	41	67	1227	< L.D.	118

ÉCHANTILLONS					Analyses chimiques																		
		intervalle		Cr2O3	Fe2O3	SiO2	TiO2	Al2O3	MnO	MgO	CaO	Na2O	K2O	P2O5	S	PAF	Au	Pt	Pd	Ni	Cu	Co	
no	de:	à:	cont.	disc.													ppb	ppb	ppb	ppm	ppm	ppm	
64648	88,10	89,30			0,67	11,93	35,69	0,11	3,15	0,16	32,75	3,56	0,28	0,00	0,00	0,52	11,29	0	28	96	1322	22	100
64649	89,30	90,25			1,33	13,41	34,60	0,14	3,18	0,13	32,66	2,61	0,24	0,00	0,00	0,60	11,14	0	55	166	1512	266	98
64650	90,25	91,00			7,76	13,76	30,00	0,16	5,64	0,17	29,94	1,57	0,27	0,00	0,00	0,18	9,76	0	90	195	1474	341	119
64651	91,00	92,00			11,86	15,92	27,99	0,20	7,00	0,19	27,94	1,21	0,29	0,00	0,00	0,12	8,26	0	71	207	1458	< L.D.	125
64652	92,00	92,95			21,97	19,19	17,93	0,33	11,03	0,30	20,18	2,43	0,21	0,00	0,00	0,16	6,85				1618	780	173
64653	92,95	93,80			5,48	12,85	32,53	0,15	4,88	0,16	31,68	1,74	0,21	0,00	0,00	0,22	10,12	0	38	86	1342	198	111
64654	93,80	94,60			4,82	12,46	34,77	0,15	4,27	0,17	31,15	2,06	0,16	0,00	0,00	0,22	10,62	0	41	93	1316	74	157
64655	94,60	94,90			12,23	17,92	26,61	0,22	7,13	0,31	23,96	2,71	0,16	0,00	0,00	0,11	8,32	0	75	242	1314	53	190
64656	94,90	96,20			4,79	12,88	33,04	0,14	4,80	0,16	32,72	2,19	0,26	0,00	0,00	0,36	10,48	0	28	113	1330	74	109
64657	96,20	97,40			15,62	19,78	24,99	0,29	7,90	0,37	22,43	2,00	0,22	0,03	0,00	0,14	7,25	386	203	628	1613	65	216
64658	97,40	98,10			2,47	12,23	36,27	0,14	3,98	0,13	31,08	2,29	0,28	0,00	0,00	0,88	9,40	0	163	693	1748	810	141
64659	98,10	99,10			1,40	13,41	35,13	0,12	3,21	0,14	32,81	1,51	0,24	0,00	0,00	0,92	10,61	5	46	120	1157	465	103

ÉCHANTILLONS					Analyses chimiques																		
		intervalle			Cr2O3	Fe2O3	SiO2	TiO2	Al2O3	MnO	MgO	CaO	Na2O	K2O	P2O5	S	PAF	Au	Pt	Pd	Ni	Cu	Co
no	de:	à:	cont.	disc.	%	%	%	%	%	%	%	%	%	%	%	%	%	ppb	ppb	ppb	ppm	ppm	ppm
64609	80,30	81,30			0,70	11,48	35,64	0,09	3,28	0,15	33,64	2,39	0,22	0,00	0,00	0,21	11,49	0	22	32	1352	< L.D.	94
64610	81,30	82,30			1,14	11,63	36,25	0,13	3,05	0,14	33,71	2,16	0,21	0,00	0,00	0,26	11,56				1474	67	108
64611	82,30	83,30			8,97	14,04	28,52	0,16	5,70	0,19	28,06	3,33	0,20	0,00	0,00	0,14	10,38	0	71	217	1522	279	131
64612	83,30	84,30			11,93	15,76	28,19	0,21	7,33	0,21	26,91	1,88	0,28	0,00	0,00	0,10	7,86	0	61	230	1475	< L.D.	135
64613	84,30	84,70			11,71	14,90	27,79	0,21	7,07	0,19	27,00	1,24	0,20	0,00	0,00	0,10	8,07	0	58	298	1894	< L.D.	148
64614	84,70	85,30			25,00	20,96	16,67	0,35	12,47	0,31	17,66	1,49	0,24	0,02	0,00	0,08	4,44				1630	< L.D.	196
64615	85,30	86,10			5,32	12,56	33,18	0,20	4,33	0,13	31,06	1,79	0,25	0,00	0,00	0,15	9,97	0	39	97	1322	125	113
64616	86,10	86,90			4,54	12,40	34,25	0,16	4,24	0,14	31,05	2,14	0,25	0,00	0,00	0,18	9,91	0	37	116	1272	44	102
64617	86,90	87,10			7,65	14,04	32,27	0,17	5,72	0,19	28,22	3,02	0,28	0,00	0,00	0,13	8,72	0	63	119	1282	< L.D.	113
64618	87,10	88,00			2,46	10,72	37,35	0,12	3,93	0,10	31,30	2,98	0,33	0,00	0,00	0,24	9,92	0	39	45	1245	262	93
64619	88,00	88,20			11,01	16,21	30,81	0,21	7,64	0,23	20,98	6,20	0,24	0,06	0,19	0,14	6,70	0	65	288	1955	102	194
64620	88,20	88,90			3,96	9,45	36,98	0,14	4,31	0,11	28,31	6,30	0,38	0,00	0,00	0,12	9,07	1	15	58	1232	139	82
64621	88,90	89,70			16,82	19,72	22,65	0,30	9,65	0,28	22,05	1,73	0,31	0,00	0,00	0,13	6,47	0	214	908	2089	< L.D.	192
64622	89,70	90,60			1,82	7,17	43,99	0,21	5,00	0,09	27,69	7,51	0,50	0,04	0,19	0,17	6,17	0	28	116	957	871	62
64623	90,60	91,55			2,67	10,28	37,82	0,13	3,96	0,09	31,68	2,54	0,32	0,02	0,00	0,33	9,56	0	124	450	1688	1638	107
64624	91,55	92,15			21,90	22,55	19,12	0,37	11,60	0,36	17,29	1,43	0,24	0,02	0,00	0,22	4,13	25	429	1575	2493	939	276
64625	92,15	92,90			1,72	6,94	43,89	0,21	4,98	0,09	27,54	7,63	0,57	0,05	0,22	0,18	7,97	0	289	1185	964	942	65
64626	92,90	93,90			2,71	10,27	37,46	0,13	3,94	0,09	31,44	2,53	0,33	0,00	0,00	0,33	8,07	2	186	672	1672	1648	108
64627	93,90	94,90			1,59	11,57	39,62	0,21	4,18	0,13	30,98	1,71	0,25	0,00	0,11	0,56	9,16	2	74	194	1228	61	81
64628	94,90	96,30			0,24	9,21	43,86	0,44	6,39	0,14	24,62	6,37	0,50	2,75	0,27	0,24	4,91	0	13	3	975	24	57

ÉCHANTILLONS					Analyses chimiques																		
			intervalle		Cr2O3	Fe2O3	SiO2	TiO2	Al2O3	MnO	MgO	CaO	Na2O	K2O	P2O5	S	PAF	Au	Pt	Pd	Ni	Cu	Co
no	de:	à:	cont.	disc.														ppb	ppb	ppb	ppm	ppm	ppm
64665	80,40	81,40			0,76	11,37	38,90	0,11	3,46	0,15	32,26	2,24	0,30	0,00	0,00	0,28	9,59	3	22	15	1278	< L.D.	94
64666	81,40	82,40			0,60	10,36	39,73	0,15	4,32	0,12	31,75	2,81	0,30	0,00	0,00	0,25	9,23	0	28	33	1316	36	96
64667	82,40	83,70			11,13	16,29	28,59	0,15	7,83	0,23	25,51	2,09	0,27	0,00	0,00	0,11	9,12	0	71	251	1314	< L.D.	135
64668	83,70	84,80			25,40	21,87	17,20	0,36	12,60	0,40	17,81	1,34	0,30	0,00	0,00	0,10	4,16	0	172	565	1610	< L.D.	184
64669	84,80	85,10			9,86	14,43	32,57	0,20	6,34	0,22	25,67	3,25	0,29	0,00	0,00	0,09	6,46	0	72	240	1226	< L.D.	130
64670	85,10	86,00			3,86	12,31	35,14	0,14	4,72	0,13	31,54	1,10	0,26	0,00	0,00	0,14	9,52	0	16	64	1308	< L.D.	108
64671	86,00	87,30			5,58	14,46	33,45	0,15	4,98	0,17	30,58	0,82	0,23	0,00	0,00	0,12	9,11	0	34	109	1256	< L.D.	129
64672	87,30	87,70			6,04	14,11	33,45	0,15	5,02	0,18	29,55	1,46	0,25	0,00	0,00	0,17	8,69	0	51	155	1481	< L.D.	125
64673	87,70	88,00			0,69	5,44	45,56	0,30	4,87	0,09	26,70	8,68	0,58	0,05	0,17	0,08	5,31	0	17	21	938	< L.D.	46
64674	88,00	88,50			11,29	18,12	28,74	0,24	7,42	0,30	24,63	1,75	0,26	0,00	0,00	0,12	6,57	0	86	192	1240	< L.D.	152
64675	88,50	89,30			0,81	8,88	39,09	0,62	7,77	0,11	26,88	6,01	0,53	0,07	0,28	0,47	7,12	0	21	20	1059	636	71
64676	89,30	90,30			2,66	11,67	37,53	0,13	4,17	0,11	31,31	1,88	0,22	0,00	0,00	0,16	9,10	0	27	44	1179	25	96
64677	90,30	91,10			3,55	11,22	35,54	0,13	4,09	0,10	32,78	0,75	0,22	0,00	0,00	0,14	9,80	0	19	80	1327	37	102
64678	91,10	92,65			10,02	14,70	31,40	0,21	8,12	0,23	24,29	3,51	0,19	0,02	0,00	0,10	6,35	0	94	338	1290	< L.D.	115
64679	92,65	93,60			4,48	12,07	35,53	0,15	4,72	0,12	29,74	2,36	0,27	0,00	0,00	0,24	8,42	0	112	438	1600	869	113
64680	93,60	94,20			23,74	23,71	18,09	0,36	11,18	0,38	17,87	1,08	0,23	0,00	0,00	0,13	4,61	0	318	1130	2236	< L.D.	213
64681	94,20	94,90			5,40	13,31	34,86	0,19	4,36	0,14	30,42	1,44	0,24	0,00	0,00	0,26	8,92	0	146	654	1712	383	118
64682	94,90	95,45			6,20	14,68	32,38	0,17	5,22	0,18	29,47	0,91	0,21	0,00	0,00	0,25	8,83	1	233	1035	2097	113	147
64683	95,45	95,90			11,54	18,63	27,68	0,22	7,67	0,26	25,33	1,33	0,23	0,00	0,00	0,27	9,31	1	285	1270	2404	< L.D.	184
64684	95,90	96,20			0,25	9,64	32,73	0,81	11,70	0,08	27,92	3,07	0,13	0,00	0,61	0,57	9,24	0	12	16	810	3166	80
64685	96,20	96,60			14,05	22,72	24,69	0,28	8,50	0,40	20,77	2,08	0,08	0,00	0,00	0,28	5,23	1	250	1040	2251	89	265
64686	96,60	97,60			2,61	13,24	37,72	0,15	3,63	0,15	31,56	1,75	0,02	0,00	0,00	0,31	9,75	2	103	322	1300	188	146
64687	97,60	98,60			1,00	12,01	39,17	0,12	2,84	0,14	31,71	1,92	0,17	0,02	0,00	0,35	10,02	0	39	120	1118	169	141

Forage:	MK-05-37	Profond. (m):	160,7	UTM-N:	5918934,058	Cible(s):	Cr-17	Acid	0	45				
Date:	27 Avr. 2005	Plongée:	45	UTM-E:	346875,842	Diamètre:	BQ	Test:	100	45				
Ing. Géol.:	Y. Bussières	Azimuth:	181	Altitude:	175,455	Contracteur:	For. Mercier							
		Mort-terrain (m):	1,5											
		Tubage présent:	oui											
		Cimentation:	non											
		Coins-biseaux	non											
		Unité de mesure	mètre											
Début de la zone descriptive														
De:	à:	Lithologie	Description	Altération	Sulfures	Couleur	Structure	A/C (o)						
0	1,5	MT	Mort terrain et tubage											
1,5	79,7	PER-CUM	Périd. cumulative	5% v.q-c-t		bleu								
79,7	95,45	PER-CUM	Périd. cumulative	5% v.q-c-t		bleu								
79,7	95,45	Chromitite Cr-17	Indice Cr-17											
79,7	82,3	CHR.-DISS	20% chrom.				contact	55						
82,3	83,85	CHR.-MAS	100% chrom.				contact	55						
83,85	84,6	CHR.-DISS	2% chrom.											
84,6	85,3	CHR.-DISS	20% chrom.											
85,3	86	CHR.-MAS	100% chrom.				contact	70						
86	86,85	CHR.-DISS	2% chrom.											
86,85	87,1	CHR.-SEMI-MASS	50% chrom.											
87,1	88,35	PER-CUM	Périd. cumulative											
88,35	89,75	CHR.-MAS	100% chrom. Diminuant à 10%				contact	60						
89,75	90,3	PER-CUM	Périd. cumulative											
90,3	90,75	CHR.-SEMI-MASS	50% chrom.				contact	45						
90,74	91,55	PER-CUM	Périd. cumulative											
91,55	92,1	CHR.-MAS	100% chrom.				contact	50						
92,1	94	PER-CUM	Périd. cumulative											
94	94,5	CHR.-MAS	100% chrom.				contact	30						
94,5	95	PER-CUM	Périd. cumulative											
95	95,45	CHR.-MAS	100% chrom.				contact	50						
95,45	155,8	PER-CUM	Périd. cumulative	5% v.q-c-t		bleu								

ÉCHANTILLONS					Analyses chimiques																		
		intervalle			Cr2O3	Fe2O3	SiO2	TiO2	Al2O3	MnO	MgO	CaO	Na2O	K2O	P2O5	S	PAF	Au	Pt	Pd	Ni	Cu	Co
no	de:	à:	cont.	disc.	%	%	%	%	%	%	%	%	%	%	%	%	ppb	ppb	ppb	ppm	ppm	ppm	
64688	77,70	78,70			0,73	12,61	37,17	0,1	3,014	0,183	33,54	2,724	0	0	0	0,232	11,75	4	43	225	1436	54	147
64689	78,70	79,70			1,171	11,86	35,49	0,1	3,473	0,155	32,61	2,179	0,015	0	0	0,33	11,55	2	31	125	1593	404	153
64690	79,70	80,70			7,484	13,62	30,45	0,2	5,334	0,176	29,5	2,332	0,04	0	0	0,23	9,938	4	74	253	1690	541	168
64691	80,70	81,70			11,7	15,93	28,15	0,2	6,912	0,194	27,96	1,017	0,053	0	0	0,137	8,169	0	46	138	1532	144	189
64692	81,70	82,30			14,32	16,25	24,53	0,2	8,289	0,209	24,56	2,014	0,091	0	0	0,114	7,69	88	112	381	1672	114	169
64693	82,30	83,85			20,09	19,49	20,32	0,4	10,94	0,292	19,62	2,133	0,024	0	0	0,078	5,364	67	128	458	1405	53	229
64694	83,85	84,60			6,486	11,58	32,87	0,2	5,653	0,123	30,29	1,141	0,024	0	0	0,105	9,277	0	28	78	1285	139	150
64695	84,60	85,30			9,731	13,47	29,9	0,2	6,879	0,157	26,84	1,602	0,185	0	0	0,113	8,759	17	97	289	1390	142	166
64696	85,30	86,00			20,28	18,8	21,35	0,3	10,77	0,273	20,18	2,053	0,09	0	0	0,084	4,788	99	175	664	1625	105	212
64697	86,00	86,85			5,117	12,21	31,97	0,2	4,712	0,139	29,26	3,518	0,025	0	0	0,167	10,56	2	41	88	1158	371	143
64698	86,85	87,10			13,13	16,77	25,02	0,3	7,725	0,282	24,24	2,592	0,043	0	0	0,103	8,027	4	103	347	1334	86	197
64699	87,10	88,35			3,238	12,3	33,04	0,1	4,137	0,145	31,35	2,446	0,032	0	0	0,251	10,85	2	34	103	1239	367	155
64700	88,35	89,75			12,14	15,06	22,46	0,2	7,472	0,209	22,48	6,776	0,07	0	0	0,081	10,91	97	132	445	1302	75	152
64701	89,75	90,30			3,567	11,6	32,21	0,1	4,336	0,118	30,56	2,558	0	0	0	0,222	11,37	11	67	223	1280	945	123
64702	90,30	90,65			7,353	15,42	30,24	0,2	5,105	0,213	26,22	4,131	0,088	0,021	0	0,245	10,33	11	143	508	1536	705	146
64703	90,65	91,55			3,564	13,03	34,36	0,1	4,204	0,124	30,41	2,485	0,088	0	0	0,407	11,17	19	293	907	2064	1158	151
64704	91,55	92,10			19,55	19,6	19,52	0,4	11,54	0,292	19,32	1,914	0,078	0	0	0,135	5,366	171	389	1290	1959	866	197
64705	92,10	93,00			2,75	12,23	34,18	0,1	3,76	0,14	30,8	2,485	0,071	0	0	0,334	10,98	14	124	669	1419	579	123
64706	93,00	94,00			4,228	12,85	32,79	0,1	4,48	0,156	30,18	1,706	0,128	0,021	0	0,359	10,46	16	174	885	1750	1440	141
64707	94,00	94,50			15,82	20,26	22,17	0,3	9,692	0,306	20,5	1,93	0,117	0	0	0,146	6,119	23	359	1480	1991	75	193
64708	94,50	95,00			6,52	13,43	34,63	0,2	5,243	0,175	30,26	1,448	0,172	0	0	0,146	9,897	9	193	908	1824	43	150
64709	95,00	95,45			14,53	20,17	22,71	0,3	8,909	0,324	21,67	1,423	0,134	0	0	0,157	6,731	31	511	2130	2008	27	177
64710	95,45	96,40			3,056	13,62	32,7	0,2	3,878	0,151	31,14	1,503	0,063	0	0	0,308	10,78	12	202	626	1307	656	186
64711	96,40	97,40			1,014	12,7	34,19	0,2	2,951	0,149	32,01	1,938	0,049	0	0	0,359	11,32	3	30	72	1076	525	141

**ANNEXE II RÉSULTATS ANALYTIQUES ET CERTIFICATS D'ANALYSE
(INRS-ETE)**

Laboratoire INRS-ETE

Nom du client	Marc Lafflèche
Projet	Pro-Or
	05-1661 à
Numéro laboratoire	2125
Type échantillons	Chromites
Date remise	28-juil-05
Remarques	

Service des laboratoires
 Préparations : O. Ndzangou
 Analyses : R. Gosselin
 Rapport : R. Gosselin 654-2643
 Appareillage pour préparation : Fluxeur
 Caisse
 analyse : ICP-AES -
 Optima 3000

Responsable des laboratoires:

Stéfane Prémont, M.Sc., Chimiste :



Hole Name	Sample	SiO2	TiO2	Al2O3	Fe2O3T	Cr2O3	MnO	MgO	CaO	Na2O	K2O	P2O5	S	LOI	Co	Cu	Ni	Zn	Sc	V	Ba	
Numéro client	Numéro labo																					
MK05-14 - 64202	05-1661	37,25	0,10	4,02	10,75	0,45	0,13	30,91	2,95	0,17	< 0.018	< 0.092	0,24	11,86	92	6793	1181	59	14	48	16	29
MK05-14 - 64203	05-1662	34,57	0,15	5,99	13,81	5,80	0,17	30,01	1,16	0,14	0,03	< 0.1	0,17	9,59	120	636	1448	164	15	222	55	18
MK05-14 - 64204	05-1663	31,20	0,20	6,42	15,12	9,01	0,19	28,59	1,16	0,12	0,02	< 0.1	0,11	9,39	113	1922	1364	226	14	314	52	18
MK05-14 - 64205	05-1664	29,70	0,22	7,50	15,83	10,66	0,20	27,29	0,84	0,13	0,03	< 0.096	0,13	8,55	131	733	1689	252	15	373	49	17
MK05-14 - 64206	05-1665	27,17	0,23	9,45	14,71	11,95	0,19	24,95	2,51	0,14	0,03	< 0.099	0,12	9,44	108	599	1084	240	17	418	51	32
MK05-14 - 64207	05-1666	34,28	0,17	5,28	12,28	4,16	0,13	30,76	1,29	0,15	0,04	< 0.1	< 0.02	9,93	98	184	1138	122	14	183	49	17
MK05-14 - 64208	05-1667	25,53	0,26	8,66	18,88	13,39	0,31	23,38	0,99	0,10	0,03	< 0.1	0,08	7,44	143	188	1316	322	15	493	45	11
MK05-14 - 64209	05-1668	37,34	0,15	4,06	11,00	1,73	0,12	28,64	4,03	0,18	< 0.02	< 0.1	0,25	12,34	104	82	1065	65	14	96	134	41
MK05-14 - 64210	05-1669	35,74	0,17	4,22	12,82	2,65	0,13	30,52	2,76	0,16	0,04	< 0.097	0,23	11,82	125	2833	3363	95	15	127	53	31
MK05-14 - 64211	05-1670	22,56	0,34	10,82	20,43	18,86	0,31	20,72	0,91	0,15	0,03	< 0.098	0,09	6,22	191	234	1357	384	16	670	51	19
MK05-14 - 64212	05-1671	29,78	0,30	8,53	16,47	12,08	0,24	26,01	1,11	0,13	0,02	< 0.097	0,09	7,64	156	276	1348	269	18	462	47	14
MK05-14 - 64213	05-1672	34,80	0,19	5,16	12,91	3,22	0,12	28,08	3,45	0,12	< 0.019	< 0.097	0,29	11,16	87	724	1511	92	17	168	46	25
MK05-14 - 64214	05-1673	14,45	0,55	11,65	22,98	19,26	0,40	16,86	3,76	0,15	< 0.018	0,10	0,10	11,12	205	184	1829	484	16	769	46	35
MK05-14 - 64215	05-1674	34,34	0,22	5,05	12,99	3,27	0,12	29,06	2,03	0,14	0,07	< 0.1	0,30	10,47	108	1146	1733	108	18	189	48	20
MK05-14 - 64216	05-1675	22,01	0,38	10,02	22,71	16,77	0,36	20,13	1,73	0,09	< 0.017	< 0.083	0,15	7,07	205	463	2233	380	17	702	40	18
MK05-14 - 64217	05-1676	34,22	0,20	4,47	12,04	2,26	0,14	29,51	3,78	0,12	0,03	< 0.092	0,13	12,57	67	599	1129	89	16	147	48	28
MK05-14 - 64218	05-1677	33,57	0,15	3,79	12,26	0,79	0,17	29,59	3,35	0,14	0,04	< 0.093	0,15	12,99	71	3626	994	50	14	90	44	26
MK05-15 - 64220	05-1678	46,20	1,05	15,15	14,05	0,03	0,18	6,63	6,65	2,21	1,86	< 0.094	0,28	4,78	58	2032	1448	86	44	292	270	219
MK05-15 - 64221	05-1679	35,33	0,16	4,47	12,08	1,61	0,12	31,33	2,14	0,26	0,16	< 0.086	0,29	10,80	105	101	1127	67	15	102	49	25
MK05-15 - 64222	05-1680	35,14	0,16	4,87	12,17	3,16	0,13	30,99	1,78	0,12	0,03	< 0.093	0,14	10,22	109	320	1174	95	15	139	47	15
MK05-15 - 64223	05-1681	25,57	0,24	7,96	15,91	13,44	0,25	21,83	4,53	0,13	0,06	< 0.095	0,04	8,47	147	106	1033	332	15	468	48	34
MK05-15 - 64224	05-1682	31,70	0,30	5,76	14,81	8,65	0,19	25,65	1,93	0,13	0,04	< 0.096	0,08	8,74	154	263	1356	241	14	335	48	22
MK05-15 - 64225	05-1683	36,29	0,20	4,73	10,24	2,64	0,11	28,29	4,43	0,13	0,04	< 0.094	0,23	10,38	112	939	1956	84	17	142	46	25
MK05-15 - 64226	05-1684	20,00	0,43	11,36	21,99	16,75	0,33	19,66	1,49	0,16	0,03	< 0.096	0,17	5,92	167	809	1925	402	16	686	51	20
MK05-15 - 64227	05-1685	34,70	0,18	5,13	12,47	3,25	0,11	30,41	1,93	0,18	0,03	< 0.097	0,20	10,00	122	553	1469	109	16	179	53	22
MK05-15 - 64228	05-1686	19,97	0,38	10,71	21,17	18,04	0,37	19,24	1,24	0,17	0,06	< 0.092	0,18	5,49	205	915	2014	432	15	715	49	18

Laboratoire INRS-ETE

Hole Name	Sample	SiO2	TiO2	Al2O3	Fe2O3T	Cr2O3	MnO	MgO	CaO	Na2O	K2O	P2O5	S	LOI	Co	Cu	Ni	Zn	Sc	V	Ba	Sr
Numéro client	Numéro labo																					
MK05-15 - 64229	05-1687	34,99	0,18	4,48	12,08	1,88	0,12	31,77	2,29	0,15	0,03	< 0.097	< 0.019	10,70	119	452	1090	1060	16	139	50	23
MK05-15 - 64230	05-1688	36,00	0,18	3,74	12,58	0,52	0,15	33,04	1,37	0,12	0,03	< 0.084	< 0.017	10,46	111	557	1103	47	16	98	42	16
MK05-15 - 64232	05-1689	41,25	0,13	4,07	10,95	1,65	0,15	26,60	4,25	0,15	0,04	< 0.086	< 0.017	8,37	89	120	961	111	13	115	46	44
MK05-15 - 64233	05-1690	41,79	0,10	3,75	11,88	0,51	0,14	29,65	2,97	0,18	0,04	< 0.1	0,10	10,80	133	200	998	87	13	77	55	93
MK05-15 - 64234	05-1691	35,85	0,14	3,96	12,71	0,49	0,17	30,41	4,35	0,18	0,04	< 0.096	0,15	12,43	130	854	1047	91	15	78	54	102
MK05-15 - 64235	05-1692	34,54	0,12	3,47	11,85	0,42	0,15	32,26	2,04	0,14	0,04	< 0.089	0,07	11,75	122	104	1026	79	13	71	44	61
MK05-15 - 64236	05-1693	35,82	0,20	2,84	12,08	0,41	0,20	33,47	2,75	0,14	0,03	< 0.1	0,12	12,05	137	76	1094	72	14	71	51	109
MK05-15 - 64237	05-1694	35,96	0,19	3,02	12,47	0,42	0,20	32,80	2,63	0,16	0,04	< 0.095	0,12	12,96	133	196	1105	74	13	71	51	112
MK05-15 - 64238	05-1695	35,53	0,10	3,26	12,64	0,43	0,18	32,80	2,44	0,14	0,03	< 0.097	0,11	12,69	125	1763	1085	82	13	71	50	108
MK05-15 - 64239	05-1696	34,98	0,12	3,05	12,00	0,45	0,18	32,03	2,61	0,14	0,02	< 0.1	0,13	12,78	124	151	1106	84	13	62	51	132
MK05-15 - 64240	05-1697	32,29	0,10	2,77	10,92	0,37	0,22	30,73	5,47	0,19	0,02	< 0.094	0,14	14,48	108	259	988	85	12	62	56	286
MK05-15 - 64241	05-1698	35,12	0,09	3,24	11,78	0,39	0,16	32,35	1,59	0,13	< 0.02	< 0.099	0,12	11,85	125	134	1070	66	13	62	48	105
MK05-15 - 64242	05-1699	36,29	0,11	3,15	12,00	0,43	0,17	32,54	1,34	0,10	0,02	< 0.095	0,16	10,55	123	99	1061	540	13	70	43	53
MK05-15 - 64243	05-1700	39,76	0,10	2,91	11,75	0,41	0,17	30,69	1,93	0,17	< 0.019	< 0.094	0,13	9,89	112	64	1029	66	11	64	16	49
MK05-15 - 64244	05-1701	39,99	0,11	3,08	11,63	0,44	0,17	30,88	2,14	0,12	0,02	< 0.094	0,11	8,47	113	105	1028	79	12	75	44	22
MK05-15 - 64245	05-1702	46,21	0,08	3,76	10,03	0,37	0,11	26,43	4,75	0,18	0,05	< 0.097	< 0.019	5,41	78	144	893	70	11	70	54	38
MK05-16 - 64337	05-1703	41,78	0,59	9,89	9,65	0,21	0,14	22,65	7,08	0,28	0,03	0,40	0,06	6,20	61	145	838	81	21	130	20	80
MK05-16 - 64338	05-1704	44,85	0,28	6,37	8,23	0,29	0,12	23,17	8,66	0,20	0,07	0,19	0,06	4,81	105	93	1121	60	13	88	51	46
MK05-16 - 64339	05-1705	44,88	0,12	5,15	10,15	4,37	0,24	21,43	8,52	0,19	0,06	< 0.093	0,05	3,79	111	202	1025	232	13	192	50	39
MK05-16 - 64340	05-1706	30,44	0,45	19,83	11,04	0,24	0,13	25,25	0,93	0,19	1,26	< 0.094	0,07	9,77	49	46	276	298	27	119	928	24
MK05-16 - 64341	05-1707	33,53	0,14	5,33	11,33	3,25	0,19	24,79	5,97	0,14	0,03	< 0.092	0,17	13,94	98	127	863	119	15	173	48	94
MK05-16 - 64342	05-1708	36,54	0,23	8,63	14,11	10,41	0,32	20,63	6,16	0,15	0,03	< 0.099	0,06	4,33	151	664	974	373	16	381	51	30
MK05-16 - 64343	05-1709	21,80	0,36	13,16	20,46	18,17	0,47	17,04	2,15	0,14	0,03	< 0.078	0,05	4,35	196	87	1003	492	21	648	40	15
MK05-16 - 64344	05-1710	19,10	0,39	13,62	21,95	19,62	0,51	16,26	1,59	0,21	0,03	< 0.094	0,05	4,11	196	239	1202	505	19	742	53	22
MK05-16 - 64345	05-1711	26,50	0,32	11,41	19,39	14,95	0,41	18,90	3,05	0,19	0,05	< 0.094	< 0.019	4,77	141	80	942	532	16	619	51	22
MK05-16 - 64346	05-1712	37,10	0,21	7,31	12,17	5,71	0,21	22,46	6,63	0,18	0,04	< 0.092	< 0.018	5,35	84	67	832	299	14	250	51	34
MK05-16 - 64347	05-1713	45,11	0,19	4,47	7,67	1,34	0,13	23,73	9,69	0,21	0,05	0,24	< 0.019	4,07	58	83	736	95	24	86	52	41
MK05-16 - 64348	05-1714	33,09	0,22	9,24	14,46	8,95	0,28	22,58	3,94	0,18	0,06	< 0.097	0,06	6,21	152	65	1043	310	15	391	53	26
MK05-16 - 64349	05-1715	41,43	0,39	6,83	8,66	2,50	0,14	23,85	7,37	0,23	0,06	0,23	0,05	5,14	95	72	797	106	19	155	49	50
MK05-16 - 64350	05-1716	35,77	0,24	7,72	13,46	8,37	0,29	21,22	5,46	0,26	0,06	< 0.095	0,06	4,83	138	51	872	529	17	374	51	28
MK05-16 - 64351	05-1717	46,95	0,19	5,48	8,21	0,55	0,15	24,90	8,16	0,22	0,05	< 0.096	< 0.019	4,89	68	374	476	59	28	99	51	30
MK05-16 - 64352	05-1718	45,84	0,12	5,79	7,49	0,47	0,12	26,05	5,09	0,23	0,08	< 0.098	0,07	5,96	84	820	1243	45	24	75	53	25

Laboratoire INRS-ETE

Hole Name	Sample	SiO2	TiO2	Al2O3	Fe2O3T	Cr2O3	MnO	MgO	CaO	Na2O	K2O	P2O5	S	LOI	Co	Cu	Ni	Zn	Sc	V	Ba	Sr
Numéro client	Numéro labo																					
MK05-17 - 64252	05-1719	37,71	0,17	5,92	11,58	3,11	0,13	25,57	3,04	0,14	0,05	< 0.098	0,17	9,96	102	106	814	113	16	160	51	67
MK05-17 - 64253	05-1720	36,04	0,12	4,64	10,88	3,08	0,15	25,44	6,42	0,16	0,06	< 0.093	0,31	12,74	136	259	916	122	15	148	55	108
MK05-17 - 64254	05-1721	39,03	0,24	7,37	13,67	7,27	0,20	24,48	1,67	0,17	0,06	< 0.095	0,10	5,36	152	407	1123	152	18	319	56	17
MK05-17 - 64255	05-1722	38,46	0,21	8,38	11,87	4,89	0,18	24,37	4,31	0,17	0,05	< 0.085	0,06	6,11	127	272	1070	191	19	239	48	21
MK05-17 - 64256	05-1723	37,02	0,65	12,39	10,75	0,51	0,11	25,28	5,31	0,19	0,05	0,39	0,06	7,53	77	206	657	66	27	152	59	34
MK05-17 - 64257	05-1724	37,19	0,28	10,22	12,05	4,13	0,21	22,53	5,37	0,17	0,05	< 0.098	0,08	6,17	125	757	997	213	25	238	14	26
MK05-17 - 64258	05-1725	44,45	0,09	6,13	9,17	1,06	0,14	23,85	7,27	0,20	0,05	< 0.095	0,06	4,80	109	134	959	86	15	94	18	23
MK05-17 - 64259	05-1726	42,37	0,19	7,33	11,77	1,88	0,19	23,65	6,46	0,18	0,04	< 0.094	0,07	5,16	122	475	1482	114	16	125	14	21
MK05-17 - 64260	05-1727	46,14	0,14	5,86	8,26	0,38	0,16	24,12	7,35	0,25	0,06	< 0.1	0,06	4,77	78	54	573	72	33	87	16	22
MK05-17 - 64261	05-1728	44,52	0,33	7,91	9,38	0,76	0,16	24,44	6,00	0,15	0,05	0,14	0,04	5,68	91	104	672	95	25	116	6	18
MK05-17 - 64262	05-1729	39,80	0,12	5,56	9,76	3,38	0,14	27,58	2,76	0,07	0,04	< 0.094	0,12	10,32	107	114	1063	157	15	148	31	48
MK05-17 - 64263	05-1730	33,83	0,15	5,67	12,73	5,93	0,18	28,65	1,88	0,11	0,04	< 0.087	0,07	10,49	119	63	1134	187	15	233	10	51
MK05-17 - 64264	05-1731	31,93	0,18	5,88	14,11	7,37	0,19	27,24	2,17	0,10	< 0.021	< 0.1	< 0.021	10,43	140	82	1272	203	15	281	10	44
MK05-17 - 64265	05-1732	34,42	0,18	5,73	14,11	6,36	0,17	28,41	2,20	0,10	< 0.017	< 0.086	0,17	10,57	104	263	1177	176	15	250	7	48
MK05-17 - 64266	05-1733	31,14	0,14	4,69	9,95	4,46	0,19	25,61	8,18	0,11	< 0.018	< 0.092	0,20	17,09	80	885	1381	148	10	173	8	181
MK05-17 - 64267	05-1734	32,81	0,16	4,92	12,30	5,58	0,16	26,28	3,97	0,16	< 0.021	< 0.11	< 0.021	12,17	124	361	1179	155	15	218	16	73
MK05-17 - 64268	05-1735	27,12	0,30	9,77	15,82	12,15	0,27	21,87	1,56	0,09	0,02	< 0.1	< 0.02	8,63	130	639	1381	206	18	473	7	28
MK05-17 - 64269	05-1736	36,63	0,18	4,82	10,28	3,80	0,16	24,98	4,44	0,10	< 0.02	< 0.1	< 0.02	11,60	85	416	958	136	14	177	10	69
MK05-17 - 64270	05-1737	41,46	0,34	9,44	11,93	0,34	0,15	25,35	5,07	0,19	0,02	< 0.11	0,18	7,14	63	56	473	57	35	165	10	19
MK05-17 - 64271	05-1738	43,97	0,22	5,88	9,57	0,42	0,22	24,42	8,02	0,21	0,02	< 0.11	< 0.021	5,72	70	43	421	86	32	142	15	25
MK05-17 - 64271 r	05-1738	45,64	0,22	6,02	9,64	0,43	0,22	24,59	8,07	0,21	0,04	< 0.11	0,15	5,72	56	41	416	74	32	144	11	25
MK05-17 - 64272	05-1739	39,30	0,19	4,63	9,63	0,31	0,12	27,79	4,81	0,17	0,02	< 0.092	0,39	11,27	68	240	1033	62	18	79	13	64
MK05-17 - 64273	05-1740	36,71	0,10	4,02	10,73	0,49	0,14	29,83	3,83	0,13	0,02	< 0.098	0,21	13,65	83	116	1106	56	14	63	8	56
MK05-17 - 64274	05-1741	35,93	0,12	4,69	10,59	1,73	0,15	28,79	3,63	0,13	< 0.019	< 0.095	< 0.019	12,63	104	441	1281	89	16	98	12	53
MK05-17 - 64274 r	05-1741	36,51	0,12	4,71	10,93	1,76	0,16	28,66	3,72	0,13	0,03	< 0.095	0,18	12,63	89	436	1256	89	16	93	10	53
MK05-17 - 64275	05-1742	33,56	0,17	5,54	13,78	6,20	0,25	25,80	3,61	0,15	< 0.019	< 0.097	< 0.019	11,63	115	153	1188	336	16	241	14	52
MK05-17 - 64275 r	05-1742	33,74	0,17	5,75	13,62	6,16	0,25	25,91	3,56	0,15	0,02	< 0.097	0,07	11,63	112	156	1159	335	15	246	10	53
MK05-17 - 64276	05-1743	39,29	0,16	4,95	9,00	1,51	0,16	25,27	5,72	0,16	< 0.021	< 0.1	0,20	11,83	71	458	653	78	19	106	14	55
MK05-17 - 64277	05-1744	46,36	0,19	5,41	9,96	0,43	0,18	24,02	5,74	0,26	< 0.02	< 0.099	0,16	5,47	81	60	523	65	27	104	22	27
MK05-17 - 64278	05-1745	35,79	0,11	4,22	10,83	0,65	0,12	30,75	2,56	0,15	0,02	< 0.098	0,04	11,76	103	105	1223	72	15	66	16	28
MK05-17 - 64279	05-1746	38,67	0,19	3,83	10,30	0,45	0,11	32,03	2,59	0,33	0,02	< 0.099	< 0.02	11,64	78	141	1138	46	17	65	35	44
MK05-17 - 64280	05-1747	33,52	0,14	5,97	14,04	5,47	0,19	28,92	2,07	0,17	0,04	< 0.09	< 0.018	9,90	133	47	1362	293	15	223	20	26
MK05-17 - 64281	05-1748	33,03	0,16	5,71	14,23	6,76	0,19	28,19	2,12	0,14	0,03	< 0.092	< 0.018	9,70	95	295	908	336	12	262	15	27

Laboratoire INRS-ETE

Hole Name	Sample	SiO2	TiO2	Al2O3	Fe2O3T	Cr2O3	MnO	MgO	CaO	Na2O	K2O	P2O5	S	LOI	Co	Cu	Ni	Zn	Sc	V	Ba	Sr
Numéro client	Numéro labo																					
MK05-17 - 64282	05-1749	30,73	0,20	6,95	17,00	9,43	0,24	27,49	0,75	0,14	0,04	< 0.09	< 0.018	8,75	119	76	1013	450	15	350	16	18
MK05-17 - 64283	05-1750	29,26	0,20	6,84	15,13	9,01	0,24	25,36	2,91	0,25	0,04	< 0.097	< 0.019	10,01	110	155	766	431	14	333	28	41
MK05-17 - 64283	r 05-1750	29,50	0,21	7,27	14,94	8,84	0,24	26,00	2,88	0,26	0,03	< 0.097	< 0.019	10,01	93	161	754	412	14	322	28	42
MK05-17 - 64284	05-1751	19,25	0,33	12,42	22,93	19,50	0,41	17,37	0,71	0,15	0,02	< 0.092	< 0.018	5,05	195	97	843	686	14	658	15	15
MK05-17 - 64284	r 05-1751	20,18	0,34	13,34	22,54	19,90	0,42	18,16	0,75	0,25	0,10	< 0.092	< 0.018	5,05	204	111	895	698	15	698	16	16
MK05-17 - 64285	05-1752	38,55	0,18	4,49	10,98	1,87	0,13	29,97	4,25	0,15	0,03	< 0.094	0,13	11,75	74	279	1078	80	18	123	14	36
MK05-17 - 64286	05-1753	38,18	0,17	4,67	11,18	1,89	0,10	31,43	2,83	0,18	0,04	< 0.093	0,11	11,14	91	97	1171	94	17	121	17	34
MK05-17 - 64287	05-1754	25,13	0,30	9,51	18,08	14,29	0,30	21,96	1,72	0,14	0,04	< 0.082	< 0.016	6,81	168	52	1289	444	15	545	15	22
MK05-17 - 64288	05-1755	34,08	0,19	5,46	11,91	3,67	0,12	28,80	2,95	0,19	0,03	< 0.098	< 0.02	10,27	88	219	1085	129	16	192	15	29
MK05-17 - 64288	r 05-1755	35,46	0,19	5,69	11,92	3,64	0,11	30,30	2,85	0,21	0,05	< 0.098	0,11	10,27	97	229	1076	125	16	192	12	30
MK05-17 - 64289	05-1756	37,66	0,13	5,62	8,18	2,02	0,09	28,08	6,46	0,23	0,05	< 0.094	0,25	10,67	90	1083	1138	83	16	114	12	42
MK05-17 - 64289	r 05-1756	37,70	0,13	5,56	9,13	2,19	0,10	27,10	7,34	0,20	0,03	< 0.094	0,08	10,67	96	1015	1214	80	17	122	15	43
MK05-17 - 64290	05-1757	20,11	0,46	12,22	21,45	17,93	0,36	18,52	1,60	0,15	0,04	< 0.094	0,16	5,40	244	274	2144	406	16	744	11	15
MK05-17 - 64290	r 05-1757	20,38	0,48	12,28	23,47	18,84	0,38	18,08	1,73	0,13	0,02	< 0.094	< 0.019	5,40	278	266	2183	422	17	759	13	15
MK05-17 - 64291	05-1758	34,63	0,20	5,14	12,50	3,22	0,14	27,87	4,97	0,13	0,02	< 0.083	< 0.017	10,74	101	520	1456	160	16	190	12	29
MK05-17 - 64291	r 05-1758	34,65	0,20	5,22	12,21	3,27	0,14	28,16	4,87	0,14	0,02	< 0.083	< 0.017	10,74	103	544	1463	161	16	200	11	29
MK05-17 - 64292	05-1759	37,47	0,17	4,51	12,52	0,89	0,13	31,67	3,09	0,14	0,02	< 0.086	0,07	10,81	100	73	1008	80	17	115	11	22
MK05-17 - 64296	05-1760	37,74	0,11	4,02	12,07	0,51	0,16	31,95	2,98	0,19	0,04	< 0.099	0,05	11,64	95	104	1205	183	14	66	17	45
MK05-17 - 64297	05-1761	37,69	0,13	4,24	10,36	1,16	0,12	31,03	2,91	0,15	0,03	< 0.094	< 0.019	10,62	99	259	1224	64	15	86	13	29
MK05-17 - 64298	05-1762	32,75	0,17	6,02	14,89	7,06	0,22	28,77	1,59	0,15	0,04	< 0.096	< 0.019	9,15	148	71	1624	305	14	264	13	23
MK05-17 - 64299	05-1763	31,34	0,14	5,52	13,43	5,63	0,19	27,07	4,48	0,17	0,04	< 0.093	< 0.019	11,36	122	117	1451	400	14	210	15	49
MK05-17 - 64300	05-1764	32,03	0,16	5,78	15,70	7,24	0,20	27,64	1,33	0,14	0,04	< 0.091	< 0.018	8,47	119	272	1086	396	14	275	14	19
MK05-17 - 64301	05-1765	36,64	0,11	4,33	9,12	1,43	0,10	27,68	6,73	0,17	0,04	< 0.097	< 0.019	11,79	80	552	1070	95	15	101	19	87
MK05-17 - 64301	r 05-1765	37,22	0,11	4,34	9,51	1,48	0,10	28,18	7,04	0,17	0,03	< 0.097	0,03	11,79	87	557	1078	107	16	99	23	90
MK05-17 - 64302	05-1766	37,23	0,14	4,96	11,79	2,85	0,12	30,35	2,99	0,20	< 0.02	< 0.1	< 0.02	10,44	111	463	1229	109	15	146	22	38
MK05-17 - 64303	05-1767	31,30	0,20	6,15	14,75	8,79	0,18	28,93	1,14	0,11	0,03	< 0.084	< 0.017	9,57	135	242	1446	269	14	315	12	21
MK05-17 - 64303	r 05-1767	31,41	0,20	6,33	15,00	8,80	0,18	29,31	1,15	0,11	0,03	< 0.084	< 0.017	9,57	133	243	1407	268	14	320	13	21
MK05-17 - 64304	05-1768	29,84	0,21	7,06	14,29	10,31	0,17	26,98	3,04	0,16	0,03	< 0.085	< 0.017	9,23	147	758	1592	272	14	372	16	38
MK05-17 - 64305	05-1769	21,33	0,35	11,24	18,54	18,47	0,33	19,95	1,92	0,14	< 0.018	< 0.091	< 0.018	6,35	164	585	1684	321	19	667	14	23
MK05-17 - 64306	05-1770	34,58	0,18	4,79	11,92	3,45	0,12	29,30	3,38	0,15	< 0.019	< 0.096	< 0.019	11,23	91	236	1137	107	15	174	11	41
MK05-17 - 64307	05-1771	36,73	0,18	4,97	12,83	3,79	0,13	30,80	2,08	0,17	0,02	< 0.1	< 0.02	9,99	115	252	1341	115	15	184	13	25
MK05-17 - 64308	05-1772	30,77	0,21	6,62	14,96	8,20	0,20	26,23	2,42	0,22	0,04	< 0.092	< 0.018	9,03	130	65	1143	223	15	333	21	36
MK05-17 - 64309	05-1773	36,13	0,17	4,33	11,18	1,93	0,11	30,54	2,07	0,10	0,03	< 0.083	0,04	10,45	90	132	1156	81	15	122	7	23

Laboratoire INRS-ETE

Hole Name	Sample	SiO2	TiO2	Al2O3	Fe2O3T	Cr2O3	MnO	MgO	CaO	Na2O	K2O	P2O5	S	LOI	Co	Cu	Ni	Zn	Sc	V	Ba	Sr
Numéro client	Numéro labo																					
MK05-17 - 64310	05-1774	36,39	0,15	4,29	11,47	1,88	0,11	30,12	3,26	0,11	0,03	< 0.098	< 0.02	10,94	98	144	1263	81	15	112	9	49
MK05-17 - 64311	05-1775	36,23	0,15	4,68	10,72	2,83	0,09	30,31	2,22	0,16	0,04	< 0.087	< 0.017	9,73	98	90	1225	98	15	143	13	31
MK05-17 - 64312	05-1776	31,07	0,25	7,85	15,72	10,24	0,21	24,52	2,35	0,15	0,05	< 0.096	< 0.019	7,27	119	42	1131	321	16	409	14	26
MK05-17 - 64313	05-1777	37,50	0,22	5,39	12,53	3,81	0,12	26,87	3,65	0,16	0,04	< 0.094	< 0.019	7,74	90	612	1285	126	16	195	11	22
MK05-17 - 64314	05-1778	17,14	0,54	11,22	24,56	18,35	0,51	17,63	0,52	0,15	0,03	< 0.1	< 0.02	6,13	189	131	2155	640	16	729	17	18
MK05-17 - 64315	05-1779	38,84	0,22	5,05	13,07	2,86	0,18	28,94	3,67	0,14	0,04	< 0.095	< 0.019	8,64	113	192	1038	5674	16	175	14	40
MK05-17 - 64316	05-1780	36,81	0,17	3,89	12,68	0,62	0,19	31,56	4,21	0,12	0,03	< 0.091	< 0.018	11,43	100	160	1096	66	16	99	14	63
MK05-19 - 64318	05-1781	37,62	0,12	4,09	11,82	0,62	0,16	33,19	2,76	0,16	0,03	< 0.089	0,03	10,57	92	47	1328	72	16	73	18	22
MK05-19 - 64319	05-1782	38,38	0,13	4,33	11,42	0,48	0,12	34,22	2,83	0,17	0,03	< 0.089	< 0.018	10,60	91	165	1260	49	15	68	17	23
MK05-19 - 64320	05-1783	30,91	0,19	6,04	13,38	6,94	0,17	29,16	1,40	< 0.009	< 0.02	< 0.099	0,13	8,90	139	177	1396	183	13	245	12	17
MK05-19 - 64321	05-1784	31,53	0,19	6,03	15,37	8,35	0,17	29,91	0,24	0,11	0,03	< 0.081	< 0.016	8,69	125	102	1312	263	13	303	15	11
MK05-19 - 64322	05-1785	30,27	0,20	6,96	15,27	10,16	0,18	27,81	1,00	0,14	0,04	< 0.094	< 0.019	7,84	156	268	1536	293	14	349	15	13
MK05-19 - 64322 r	05-1785	30,81	0,20	6,89	16,27	10,64	0,18	27,89	1,08	0,13	0,03	< 0.094	< 0.019	7,84	149	259	1643	294	14	378	15	13
MK05-19 - 64323	05-1786	19,46	0,38	11,93	18,76	19,71	0,29	18,80	3,73	0,12	0,02	< 0.077	< 0.015	6,42	152	915	1371	341	18	663	12	20
MK05-19 - 64323 r	05-1786	19,88	0,39	12,05	19,00	20,06	0,30	19,07	3,85	0,12	< 0.015	< 0.077	< 0.015	6,42	171	918	1397	340	19	689	12	21
MK05-19 - 64324	05-1787	33,22	0,26	5,79	13,93	6,86	0,15	29,25	2,49	0,13	0,02	< 0.082	< 0.016	9,26	134	1976	1190	181	15	310	14	18
MK05-19 - 64324 r	05-1787	33,08	0,26	5,86	14,04	6,94	0,15	29,35	2,49	0,14	0,03	< 0.082	< 0.016	9,26	129	1994	1173	190	16	311	15	18
MK05-19 - 64325	05-1788	34,61	0,18	4,78	12,74	3,07	0,12	30,87	2,13	0,12	0,02	< 0.081	< 0.016	9,85	106	209	1257	173	16	154	13	15
MK05-19 - 64325 r	05-1788	35,43	0,17	4,89	12,61	3,00	0,12	31,33	2,09	0,12	0,02	< 0.081	< 0.016	9,85	106	214	1268	171	15	159	12	15
MK05-19 - 64326	05-1789	35,24	0,16	5,12	12,88	3,57	0,14	30,58	3,26	0,16	0,03	< 0.09	< 0.018	10,31	101	84	1155	125	15	161	17	23
MK05-19 - 64326 r	05-1789	35,57	0,17	5,15	12,70	3,57	0,14	30,78	3,31	0,16	0,02	< 0.09	< 0.018	10,31	99	82	1172	119	15	176	16	24
MK05-19 - 64327	05-1790	28,85	0,26	7,25	16,34	10,00	0,23	27,06	1,63	0,18	0,04	< 0.077	< 0.015	8,26	150	130	1147	259	16	395	20	20
MK05-19 - 64328	05-1791	37,25	0,17	4,26	12,32	1,84	0,13	30,88	3,20	0,14	0,03	< 0.094	< 0.019	10,42	105	237	1305	73	16	125	15	20
MK05-19 - 64329	05-1792	36,19	0,14	4,22	11,35	2,28	0,11	30,12	2,97	0,14	0,03	< 0.09	< 0.018	9,93	99	114	1101	88	14	123	15	19
MK05-19 - 64330	05-1793	23,59	0,26	8,90	20,83	14,76	0,31	22,55	0,68	0,12	0,04	< 0.081	< 0.016	6,09	158	24	1146	415	15	542	14	11
MK05-19 - 64331	05-1794	38,44	0,17	5,04	10,92	3,09	0,10	30,20	2,82	0,17	0,03	< 0.094	< 0.019	9,13	95	1237	1164	611	16	164	17	21
MK05-19 - 64332	05-1795	18,71	0,42	10,95	23,80	19,50	0,43	18,41	2,69	0,14	0,02	< 0.091	< 0.018	7,14	207	312	2128	442	16	738	16	21
MK05-19 - 64333	05-1796	35,14	0,17	4,49	13,04	3,36	0,13	30,56	2,51	0,11	< 0.016	< 0.079	< 0.016	10,51	118	766	1497	121	14	185	16	18
MK05-19 - 64334	05-1797	21,94	0,44	10,89	22,26	17,62	0,44	20,44	1,59	0,14	0,03	< 0.091	0,05	5,83	190	1171	2508	459	19	754	18	15
MK05-19 - 64335	05-1798	35,82	0,18	3,96	13,68	1,66	0,15	30,90	2,94	0,17	0,03	< 0.098	< 0.02	10,85	108	218	1109	92	15	135	19	24
MK05-19 - 64336	05-1799	36,83	0,14	3,97	12,12	0,67	0,14	33,15	1,79	0,13	0,02	< 0.092	< 0.018	10,09	104	59	1043	126	15	95	11	13

Laboratoire INRS-ETE

Hole Name	Sample	SiO2	TiO2	Al2O3	Fe2O3T	Cr2O3	MnO	MgO	CaO	Na2O	K2O	P2O5	S	LOI	Co	Cu	Ni	Zn	Sc	V	Ba	Sr
Numéro client	Numéro labo																					
MK05-20 - 64353	05-1800	36,80	0,11	3,91	9,84	0,62	0,16	34,65	2,31	0,19	0,02	< 0.095	< 0.019	11,65	72	204	1370	65	12	81	16	24
MK05-20 - 64354	05-1801	36,55	0,10	3,80	10,02	0,62	0,14	33,40	2,98	0,11	< 0.018	< 0.089	0,21	12,45	73	514	1333	63	13	64	10	24
MK05-20 - 64355	05-1802	31,63	0,18	6,72	14,08	8,71	0,19	27,95	1,64	0,14	0,02	< 0.091	0,15	8,83	97	426	1372	316	12	296	15	16
MK05-20 - 64356	05-1803	29,60	0,18	7,32	14,47	10,60	0,17	27,80	1,51	0,13	< 0.017	< 0.083	0,13	8,74	120	313	1785	321	13	363	13	17
MK05-20 - 64357	05-1804	15,43	0,33	13,12	19,82	22,84	0,30	17,53	1,72	0,16	< 0.018	< 0.089	0,07	6,04	157	354	1405	430	15	765	20	22
MK05-20 - 64358	05-1805	34,00	0,15	5,33	11,81	4,61	0,15	30,75	2,00	0,13	< 0.017	< 0.087	0,17	10,53	77	167	1185	142	13	198	58	28
MK05-20 - 64359	05-1806	34,47	0,14	4,93	11,69	3,67	0,17	30,98	2,17	0,17	< 0.019	< 0.095	0,17	10,90	92	61	1229	135	13	155	13	23
MK05-20 - 64360	05-1807	25,42	0,26	8,67	17,22	12,96	0,32	23,81	1,90	0,16	< 0.018	< 0.092	0,06	7,63	133	50	1162	300	15	486	15	20
MK05-20 - 64361	05-1808	35,37	0,12	4,29	11,82	2,34	0,17	30,92	2,28	0,13	< 0.019	< 0.095	0,20	11,34	110	167	1161	103	13	122	14	23
MK05-20 - 64362	05-1809	34,68	0,16	3,99	11,14	2,37	0,15	31,84	1,70	0,20	< 0.019	< 0.093	0,17	11,28	62	103	1144	155	13	117	16	24
MK05-20 - 64363	05-1810	23,56	0,25	9,96	17,06	15,62	0,23	23,06	1,06	0,13	< 0.019	< 0.095	0,11	6,78	129	114	2060	344	13	574	12	15
MK05-20 - 64364	05-1811	26,18	0,24	7,79	14,97	10,99	0,19	25,66	2,41	0,14	< 0.018	< 0.088	0,16	9,66	117	138	1560	895	11	428	21	31
MK05-20 - 64365	05-1812	33,88	0,16	4,24	10,97	2,72	0,11	31,81	2,09	0,16	< 0.019	< 0.096	0,29	11,69	87	1048	1659	114	13	148	11	21
MK05-20 - 64366	05-1813	15,12	0,37	13,38	25,70	24,48	0,47	15,38	0,71	0,15	< 0.019	< 0.093	0,09	4,42	209	85	2366	478	12	890	14	15
MK05-20 - 64367	05-1814	35,72	0,16	4,59	12,13	3,46	0,12	31,93	1,94	0,16	< 0.019	< 0.096	0,21	10,80	100	746	1595	171	13	181	14	24
MK05-20 - 64368	05-1815	21,83	0,28	10,00	21,05	15,29	0,33	19,88	2,85	0,16	< 0.018	< 0.09	0,16	7,81	226	59	1636	458	10	557	18	41
MK05-20 - 64368	05-1815	19,45	0,30	10,05	21,67	15,71	0,34	19,94	3,00	0,21	< 0.02	< 0.1	0,27	7,93	252	59	1726	483	11	571	42	61
MK05-20 - 64369	05-1816	38,41	0,15	3,89	11,63	1,84	0,09	31,66	0,91	0,18	< 0.02	< 0.1	0,24	10,07	102	1238	1239	58	13	140	25	22
MK05-20 - 64370	05-1817	41,21	0,14	1,88	7,07	0,44	0,09	27,84	7,83	0,13	< 0.019	< 0.095	0,40	12,07	54	1975	694	49	14	< 38	12	54
MK05-21 - 64378	05-1818	39,05	0,15	3,32	11,38	1,52	0,15	29,28	4,07	0,14	< 0.02	< 0.098	0,18	12,14	82	243	1201	117	10	88	11	58
MK05-21 - 64379	05-1819	33,63	0,53	8,59	11,20	0,47	0,10	29,90	2,20	< 0.009	< 0.019	0,34	0,14	11,11	99	142	872	40	20	93	11	40
MK05-21 - 64380	05-1820	36,53	0,17	5,77	12,98	7,27	0,22	25,76	2,77	0,13	< 0.018	< 0.089	0,12	9,43	122	165	1285	362	11	271	11	57
MK05-21 - 64381	05-1821	34,84	0,16	5,82	13,67	8,06	0,20	25,38	2,35	0,16	< 0.02	< 0.099	0,13	9,28	118	135	1203	597	12	281	16	60
MK05-21 - 64382	05-1822	30,35	0,17	5,82	14,49	8,57	0,21	28,43	1,35	< 0.009	< 0.019	< 0.095	0,10	9,89	137	50	1359	305	11	295	13	29
MK05-21 - 64382	05-1822	29,37	0,16	5,71	14,39	8,46	0,20	28,39	1,42	0,05	< 0.02	< 0.098	0,11	9,89	161	64	1404	300	12	296	20	35
MK05-21 - 64383	05-1823	27,90	0,17	8,62	17,16	11,89	0,29	23,77	1,65	0,15	< 0.019	< 0.097	0,13	8,56	144	43	1243	598	12	401	15	35
MK05-21 - 64384	05-1824	41,07	0,12	5,31	10,31	0,36	0,10	29,49	2,64	0,15	< 0.018	< 0.091	0,16	10,27	61	296	885	54	11	82	12	51
MK05-21 - 64385	05-1825	40,33	0,13	2,87	11,18	0,37	0,14	30,65	2,94	0,15	< 0.02	< 0.1	0,12	11,56	72	119	956	75	12	63	12	87
MK05-21 - 64386	05-1826	40,24	0,14	5,56	9,58	1,77	0,11	29,76	3,10	0,16	< 0.019	< 0.094	0,12	10,96	76	372	1157	109	13	102	14	51
MK05-21 - 64387	05-1827	20,43	0,29	11,72	20,74	19,60	0,52	20,41	0,57	0,14	< 0.017	< 0.083	0,07	7,14	164	162	1511	612	14	635	17	19
MK05-21 - 64388	05-1828	34,42	0,15	6,86	10,48	3,41	0,15	29,96	3,30	0,14	< 0.019	< 0.095	0,17	12,61	88	398	1255	146	16	163	13	51
MK05-21 - 64389	05-1829	35,39	0,16	5,61	11,58	3,53	0,17	30,03	3,43	0,21	< 0.019	< 0.095	0,20	12,39	80	126	1168	173	15	156	18	52
MK05-21 - 64390	05-1830	35,39	0,15	5,52	11,01	3,23	0,15	30,28	2,71	0,13	< 0.019	< 0.095	0,16	12,23	77	502	1173	143	15	150	12	36

Laboratoire INRS-ETE

Hole Name	Sample	SiO2	TiO2	Al2O3	Fe2O3T	Cr2O3	MnO	MgO	CaO	Na2O	K2O	P2O5	S	LOI	Co	Cu	Ni	Zn	Sc	V	Ba	Sr
Numéro client	Numéro labo																					
MK05-21 - 64391	05-1831	26,20	0,26	8,41	19,14	13,20	0,38	22,34	2,23	0,15	< 0.017	< 0.083	0,06	8,58	143	58	1257	289	14	483	14	30
MK05-21 - 64392	05-1832	35,52	0,14	4,01	11,00	2,09	0,12	30,82	2,47	0,16	< 0.019	< 0.093	0,16	11,83	89	140	1136	213	14	112	16	35
MK05-21 - 64392	r 05-1832	35,89	0,13	4,13	10,66	2,02	0,11	30,82	2,41	0,17	< 0.019	< 0.093	0,16	11,83	73	146	1119	214	15	116	15	35
MK05-21 - 64393	05-1833	34,09	0,14	5,46	12,66	4,67	0,16	29,17	2,03	0,19	< 0.019	< 0.094	0,13	10,99	88	56	1185	166	14	194	18	39
MK05-21 - 64394	05-1834	26,74	0,18	8,51	19,20	12,00	0,30	23,01	1,35	0,12	< 0.018	< 0.09	0,10	8,08	132	41	1295	356	12	419	11	24
MK05-21 - 64394	r 05-1834	27,73	0,19	8,28	19,55	12,58	0,31	23,77	1,41	0,11	< 0.018	< 0.09	0,12	8,08	162	38	1346	365	12	432	12	25
MK05-21 - 64395	05-1835	37,61	0,13	4,27	10,50	1,87	0,10	31,39	1,59	0,21	< 0.02	< 0.098	0,10	11,16	40	130	1031	86	16	120	23	38
MK05-21 - 64395	r 05-1835	38,80	0,13	4,05	11,09	2,02	0,11	32,69	1,73	0,19	< 0.02	< 0.098	0,16	11,16	81	122	1044	85	17	128	24	38
MK05-21 - 64396	05-1836	38,20	0,19	4,56	11,24	2,19	0,10	32,44	1,72	0,15	< 0.019	< 0.097	0,14	11,53	91	363	1261	90	15	128	14	35
MK05-21 - 64397	05-1837	27,00	0,27	8,56	18,61	14,20	0,32	23,33	1,01	0,13	< 0.018	< 0.088	0,09	7,86	140	92	1750	300	15	532	16	21
MK05-21 - 64397	r 05-1837	27,33	0,26	8,69	18,17	13,90	0,31	24,87	0,98	0,13	< 0.018	< 0.088	0,10	7,86	147	90	1698	301	15	511	16	20
MK05-21 - 64398	05-1838	35,99	0,24	4,83	14,33	5,23	0,15	30,01	0,85	0,16	< 0.02	< 0.099	0,46	9,42	120	2258	2750	148	16	240	16	22
MK05-21 - 64399	05-1839	24,23	0,24	9,97	20,92	15,90	0,38	21,90	0,76	0,16	< 0.018	< 0.092	0,11	6,69	143	36	1812	460	14	572	18	20
MK05-21 - 64399	r 05-1839	24,36	0,24	9,04	21,65	16,79	0,39	21,86	0,81	0,14	< 0.018	< 0.092	0,13	6,69	163	30	1788	472	13	585	19	19
MK05-21 - 64400	05-1840	29,69	0,09	6,61	7,94	3,70	0,16	27,81	8,09	0,16	< 0.019	< 0.094	0,06	18,09	< 37.7	71	940	135	10	143	18	97
MK05-21 - 64401	05-1841	22,70	0,19	9,58	18,61	13,77	0,35	22,56	2,38	0,14	< 0.02	< 0.099	0,09	8,99	133	38	1368	674	9	482	78	38
MK05-21 - 64401	r 05-1841	22,83	0,20	9,04	19,94	14,94	0,38	21,18	2,60	0,13	< 0.02	< 0.099	0,09	8,99	158	34	1357	682	10	511	84	39
MK05-21 - 64402	05-1842	28,67	0,19	6,90	16,92	10,52	0,30	26,39	1,37	0,17	0,03	< 0.096	0,11	8,25	115	148	1481	396	13	405	14	20
MK05-21 - 64402	r 05-1842	29,09	0,21	6,79	18,34	11,44	0,32	24,82	1,49	0,13	< 0.019	< 0.096	0,11	8,25	125	132	1520	380	15	434	15	21
MK05-21 - 64403	05-1843	33,68	0,22	4,74	13,45	5,65	0,19	28,74	1,58	0,15	< 0.018	< 0.089	0,20	10,20	157	308	1875	166	13	241	91	27
MK05-21 - 64403	r 05-1843	32,30	0,24	5,00	14,00	5,78	0,20	30,49	1,68	0,10	< 0.019	< 0.095	0,24	10,20	164	388	1937	185	14	255	31	36
MK05-21 - 64404	05-1844	22,99	0,26	9,22	21,13	15,62	0,44	21,62	1,66	0,17	< 0.02	< 0.098	0,15	8,14	152	108	1666	637	12	559	18	31
MK05-21 - 64404	r 05-1844	23,00	0,26	9,36	21,35	15,60	0,44	21,38	1,67	0,18	< 0.02	< 0.098	0,15	8,14	165	112	1743	644	12	561	16	31
MK05-21 - 64405	05-1845	33,59	0,35	6,93	14,10	7,56	0,25	27,44	1,86	0,16	0,04	< 0.1	0,29	9,48	121	1214	2163	301	15	294	8	27
MK05-21 - 64406	05-1846	35,67	0,15	4,10	12,41	2,75	0,14	31,39	1,82	0,09	< 0.017	< 0.087	0,30	11,26	100	487	2257	107	15	147	5	23
MK05-21 - 64407	05-1847	31,31	0,20	4,74	14,53	5,59	0,24	29,62	1,79	0,14	< 0.019	< 0.095	0,23	10,61	167	339	1935	224	14	259	14	27
MK05-21 - 64407	r 05-1847	32,34	0,21	4,84	14,73	5,69	0,24	28,76	1,83	0,15	< 0.019	< 0.095	0,25	10,61	147	357	1973	233	15	257	14	29
MK05-21 - 64408	05-1848	16,01	0,47	10,44	27,02	22,31	0,74	16,90	0,80	0,16	< 0.02	< 0.099	0,16	5,22	199	256	2088	857	11	842	18	23
MK05-21 - 64408	r 05-1848	16,15	0,48	11,02	27,27	22,40	0,74	16,52	0,80	0,18	< 0.02	< 0.099	0,15	5,22	156	283	2173	876	12	868	17	24
MK05-21 - 64409	05-1849	35,32	0,19	3,68	13,54	2,84	0,19	30,24	1,89	0,15	< 0.02	< 0.1	0,21	11,19	125	700	1195	117	13	161	30	41
MK05-21 - 64410	05-1850	35,85	0,23	3,19	12,52	0,90	0,16	32,36	2,10	0,17	< 0.019	< 0.097	0,12	12,08	95	222	1931	74	15	115	15	34
MK05-23 - 64411	05-1851	35,97	0,15	3,77	11,79	0,76	0,16	30,82	4,16	0,14	< 0.019	< 0.097	0,13	11,44	68	154	1278	123	16	82	16	20

Laboratoire INRS-ETE

Hole Name	Sample	SiO2	TiO2	Al2O3	Fe2O3T	Cr2O3	MnO	MgO	CaO	Na2O	K2O	P2O5	S	LOI	Co	Cu	Ni	Zn	Sc	V	Ba	Sr
Numéro client	Numéro labo																					
MK05-23 - 64412	05-1852	37,72	0,11	3,95	10,18	0,58	0,13	31,91	2,85	0,11	< 0.018	< 0.091	0,19	10,54	57	72	1310	54	15	55	9	12
MK05-23 - 64413	05-1853	33,57	0,17	5,39	14,27	6,79	0,21	28,57	1,91	0,11	0,03	< 0.099	0,24	9,48	101	627	1669	264	14	249	11	11
MK05-23 - 64414	05-1854	31,56	0,18	5,55	17,24	8,77	0,20	27,41	0,97	0,10	0,04	< 0.094	0,18	9,03	137	147	1350	283	13	303	14	10
MK05-23 - 64415	05-1855	32,08	0,18	6,26	14,06	9,35	0,18	26,96	3,25	0,16	0,04	< 0.099	0,15	9,20	90	395	1260	261	14	315	20	21
MK05-23 - 64416	05-1856	18,16	0,40	11,87	18,48	20,08	0,30	18,58	3,54	< 0.009	< 0.019	< 0.095	0,08	6,58	212	214	1368	336	17	679	9	14
MK05-23 - 64416	05-1856	17,24	0,40	11,57	18,79	20,28	0,31	18,08	3,57	0,08	< 0.019	< 0.097	0,11	11,26	226	160	1366	339	17	683	24	30
MK05-23 - 64417	05-1857	33,23	0,21	5,97	12,11	6,60	0,15	28,52	3,11	0,14	< 0.021	< 0.1	0,10	8,97	84	318	1151	187	14	276	16	17
MK05-23 - 64418	05-1858	34,37	0,15	4,97	11,49	3,15	0,13	31,64	2,12	0,11	< 0.018	< 0.09	0,19	9,70	82	71	1252	138	15	149	9	12
MK05-23 - 64419	05-1859	26,91	0,32	9,03	18,67	13,82	0,36	23,14	2,17	0,09	< 0.019	< 0.093	0,07	6,48	145	41	1213	362	17	517	7	9
MK05-23 - 64420	05-1860	36,70	0,16	4,40	11,74	2,47	0,12	30,95	2,71	0,07	< 0.017	< 0.085	0,17	10,24	88	218	1187	82	15	130	6	9
MK05-23 - 64423	05-1863	32,97	0,20	4,81	12,50	4,06	0,13	27,10	5,64	0,20	< 0.02	< 0.1	0,66	10,05	103	2864	2252	120	15	189	19	29
MK05-23 - 64424	05-1864	34,20	0,16	4,50	12,81	3,30	0,12	29,68	1,75	0,17	< 0.02	< 0.099	0,30	9,87	90	969	1640	116	15	164	18	19
MK05-23 - 64425	05-1865	16,76	0,33	10,50	20,10	17,71	0,45	16,22	6,37	0,15	< 0.02	< 0.098	0,16	8,11	151	906	2092	486	14	721	14	28
MK05-23 - 64425	05-1865	17,12	0,33	9,94	21,05	18,17	0,47	17,04	6,60	0,13	< 0.02	< 0.098	0,21	8,11	182	821	2086	507	14	711	14	27
MK05-23 - 64426	05-1866	35,32	0,15	3,97	12,28	1,75	0,13	31,27	2,10	0,12	< 0.02	< 0.1	0,19	10,27	81	374	1172	84	14	110	22	13
MK05-23 - 64427	05-1867	36,85	0,15	3,83	11,89	0,56	0,15	31,87	2,14	0,06	< 0.019	< 0.096	0,10	10,54	72	110	1167	65	14	71	4	8
MK05-24 - 64428	05-1868	36,99	0,14	3,93	10,65	0,53	0,13	30,87	2,75	0,05	< 0.02	< 0.099	0,12	10,95	64	40	1170	60	15	69	< 3.9	10
MK05-24 - 64429	05-1869	38,94	0,11	3,90	10,71	0,58	0,10	32,12	2,28	0,15	< 0.019	< 0.097	0,16	10,90	92	1569	1234	33	14	62	15	20
MK05-24 - 64430	05-1870	32,19	0,17	6,04	14,51	7,80	0,21	29,09	0,98	0,11	< 0.019	< 0.095	0,09	9,21	115	272	1350	222	13	272	8	13
MK05-24 - 64431	05-1871	30,57	0,19	6,48	14,20	9,47	0,18	27,88	1,36	0,06	< 0.02	< 0.098	0,11	8,93	116	658	1454	239	13	327	< 3.9	8
MK05-24 - 64432	05-1872	17,99	0,39	13,10	20,15	21,72	0,37	17,77	1,48	0,15	< 0.019	< 0.094	0,06	4,41	157	212	1368	397	17	741	13	14
MK05-24 - 64432	05-1872	18,36	0,40	12,32	21,89	23,38	0,40	17,65	1,64	0,14	< 0.019	< 0.094	0,07	4,41	169	196	1366	409	17	766	17	13
MK05-24 - 64433	05-1873	35,08	0,23	4,68	13,05	4,64	0,14	29,11	3,32	0,17	< 0.019	< 0.095	0,14	10,51	90	262	1237	141	15	205	20	28
MK05-24 - 64434	05-1874	35,58	0,17	5,00	12,70	3,83	0,15	30,87	1,89	0,15	< 0.02	< 0.098	0,13	9,93	88	251	1227	115	15	162	13	18
MK05-24 - 64435	05-1875	28,34	0,27	6,96	17,09	10,77	0,31	24,81	2,56	0,13	< 0.02	< 0.1	0,10	8,95	176	47	1262	228	14	383	13	18
MK05-24 - 64435	05-1875	25,39	0,29	7,32	16,86	10,60	0,31	25,51	2,40	0,07	< 0.02	< 0.098	0,11	9,02	199	23	1260	250	15	388	21	25
MK05-24 - 64436	05-1876	37,52	0,15	4,73	11,57	2,11	0,12	31,83	2,48	0,24	0,08	< 0.097	0,21	10,36	75	183	1184	97	17	133	19	22
MK05-24 - 64437	05-1877	27,73	0,27	8,20	16,40	12,25	0,28	24,72	1,60	0,16	< 0.018	< 0.09	0,09	7,40	124	297	1222	291	16	455	16	15
MK05-24 - 64438	05-1878	36,65	0,17	4,96	11,12	2,81	0,10	30,36	3,35	0,17	< 0.019	< 0.096	0,41	9,74	86	1672	1952	103	16	144	17	22
MK05-24 - 64439	05-1879	19,80	0,38	10,65	21,73	17,25	0,39	17,99	3,20	0,20	< 0.019	< 0.097	0,18	6,50	170	743	2077	407	16	674	21	27
MK05-24 - 64440	05-1880	34,93	0,14	4,80	10,78	3,11	0,11	30,93	2,60	0,18	< 0.019	< 0.093	0,27	10,34	80	1082	1473	116	15	162	17	21
MK05-24 - 64441	05-1881	20,01	0,35	10,31	23,09	18,74	0,46	19,20	2,29	0,17	< 0.018	< 0.088	0,20	5,88	212	509	2183	481	16	690	22	20

Laboratoire INRS-ETE

Hole Name	Sample	SiO2	TiO2	Al2O3	Fe2O3T	Cr2O3	MnO	MgO	CaO	Na2O	K2O	P2O5	S	LOI	Co	Cu	Ni	Zn	Sc	V	Ba	Sr
Numéro client	Numéro labo																					
MK05-24 - 64442	05-1882	34,75	0,16	4,08	12,61	1,85	0,12	31,93	2,37	0,13	< 0.018	< 0.092	0,16	10,46	86	286	1220	97	14	121	15	16
MK05-24 - 64443	05-1883	34,98	0,16	5,19	13,24	4,28	0,14	29,34	2,10	0,22	0,05	< 0.097	0,20	10,03	77	114	1178	126	16	166	23	22
MK05-26 - 64445	05-1884	35,57	0,14	4,03	11,23	0,74	0,13	33,23	2,45	0,22	0,03	< 0.096	0,22	11,12	76	86	5105	70	14	74	24	31
MK05-26 - 64446	05-1885	36,74	0,14	3,83	11,04	0,64	0,12	32,33	3,38	0,20	0,04	< 0.096	0,22	10,58	98	403	1275	72	12	66	23	31
MK05-26 - 64447	05-1886	34,10	0,16	6,24	13,22	6,49	0,19	23,54	5,71	0,16	< 0.02	< 0.1	0,19	8,18	133	388	1151	232	11	221	17	28
MK05-26 - 64448	05-1887	23,19	0,12	7,21	5,25	0,13	0,09	16,72	22,51	0,16	< 0.018	< 0.092	0,12	22,12	< 36.7	1082	111	67	4	< 36.7	15	100
MK05-26 - 64449	05-1888	24,51	0,23	8,88	13,29	10,59	0,25	16,61	11,51	0,26	0,12	< 0.089	0,10	10,57	79	267	672	386	11	340	20	50
MK05-26 - 64450	05-1889	33,54	0,14	7,50	9,00	1,77	0,11	21,56	11,81	0,30	0,13	< 0.087	0,14	10,90	53	140	462	112	9	64	22	50
MK05-26 - 64451	05-1890	18,04	0,15	8,74	8,40	0,64	0,17	13,97	23,11	0,45	0,18	< 0.089	0,24	24,01	< 35.7	88	167	119	5	< 35.7	29	129
MK05-26 - 64452	05-1891	23,84	0,07	5,67	7,25	0,33	0,18	14,72	24,24	0,43	0,22	< 0.096	0,24	21,50	< 38.3	199	209	109	7	< 38.3	22	110
MK05-26 - 64453	05-1892	42,62	0,11	4,10	8,65	1,97	0,12	23,06	10,13	0,48	0,22	< 0.092	0,43	5,24	44	103	889	106	12	68	19	19
MK05-26 - 64454	05-1893	23,44	0,13	8,05	10,66	2,26	0,18	15,83	20,04	0,18	< 0.018	< 0.09	0,06	18,46	53	69	300	161	5	82	20	84
MK05-26 - 64455	05-1894	33,83	0,25	7,10	14,88	11,03	0,26	20,48	6,99	0,17	0,03	< 0.094	0,12	4,71	102	175	1225	411	14	392	84	57
MK05-26 - 64456	05-1895	31,14	0,21	6,80	10,53	2,03	0,13	19,13	14,87	0,18	< 0.019	< 0.094	0,13	13,13	44	205	545	129	10	86	19	56
MK05-26 - 64457	05-1896	19,63	0,38	10,06	24,53	16,25	0,37	16,90	4,67	0,16	< 0.02	< 0.099	0,12	7,19	133	111	1196	513	12	581	21	26
MK05-26 - 64458	05-1897	37,31	0,17	4,78	11,61	3,22	0,14	24,72	7,25	0,20	< 0.019	< 0.095	0,39	7,35	106	989	1583	191	14	149	19	27
MK05-26 - 64459	05-1898	20,83	0,40	11,21	23,80	19,16	0,47	18,05	2,30	0,15	< 0.019	< 0.097	0,21	5,09	212	577	2248	525	15	728	16	15
MK05-26 - 64460	05-1899	41,16	0,16	3,50	9,40	0,99	0,15	24,05	9,39	0,18	< 0.02	< 0.1	0,25	7,95	81	195	946	74	13	83	16	31
MK05-26 - 64461	05-1900	33,70	0,18	5,65	10,24	0,41	0,15	23,78	10,48	0,19	< 0.019	< 0.095	0,15	12,10	55	134	743	83	11	55	21	42
MK05-26 - 64462	05-1901	38,90	0,16	3,98	11,63	0,59	0,16	29,16	3,29	0,23	< 0.018	< 0.089	0,14	9,96	114	98	1001	68	15	83	15	26
MK05-27 - 64463	05-1902	35,83	0,13	4,20	8,06	0,52	0,17	28,22	6,11	0,24	< 0.019	0,10	0,16	15,11	56	234	1106	75	13	59	27	278
MK05-27 - 64464	05-1903	34,28	0,16	4,31	5,74	0,23	0,15	26,89	9,31	0,20	0,03	0,18	0,32	17,04	< 37.6	593	783	68	12	52	25	336
MK05-27 - 64465	05-1904	32,04	0,19	7,01	14,81	7,61	0,26	25,10	3,21	0,14	< 0.018	< 0.092	0,16	10,25	151	122	1832	428	14	241	16	137
MK05-27 - 64466	05-1905	35,45	0,15	5,32	14,54	8,01	0,21	24,22	3,09	0,18	< 0.018	< 0.088	0,11	9,48	95	49	1128	384	10	242	28	186
MK05-27 - 64467	05-1906	33,35	0,22	7,02	16,92	12,32	0,25	22,78	1,71	0,17	0,02	< 0.093	0,09	6,80	101	24	1252	524	10	378	20	114
MK05-27 - 64468	05-1907	29,33	0,19	5,98	14,72	9,15	0,20	25,52	2,72	0,19	0,02	< 0.097	0,11	10,41	83	33	1248	369	13	293	26	105
MK05-27 - 64469	05-1908	25,86	0,30	8,47	16,13	14,38	0,26	20,75	3,80	0,07	< 0.02	< 0.098	0,05	8,30	131	< 19.6	857	337	12	479	23	98
MK05-27 - 64470	05-1909	35,15	0,15	4,89	12,61	5,47	0,13	30,18	0,97	0,16	0,02	< 0.095	0,15	9,76	81	276	1338	177	14	187	18	36
MK05-27 - 64471	05-1910	33,79	0,16	5,21	14,43	5,77	0,18	29,22	1,72	0,16	0,02	< 0.096	0,14	10,46	82	113	1246	214	14	210	21	53
MK05-27 - 64472	05-1911	27,96	0,25	7,52	18,07	12,02	0,32	24,72	0,84	0,19	< 0.019	< 0.094	0,12	7,63	128	85	1346	340	14	392	21	31
MK05-27 - 64473	05-1912	39,06	0,12	3,98	11,73	2,75	0,11	30,33	1,49	0,12	< 0.02	< 0.098	0,18	9,82	95	543	1256	106	13	116	15	87
MK05-27 - 64474	05-1913	39,76	0,12	4,48	11,21	2,86	0,11	27,63	2,60	0,18	0,03	< 0.096	0,13	9,72	80	201	1221	118	11	119	22	137

Laboratoire INRS-ETE

Hole Name	Sample	SiO2	TiO2	Al2O3	Fe2O3T	Cr2O3	MnO	MgO	CaO	Na2O	K2O	P2O5	S	LOI	Co	Cu	Ni	Zn	Sc	V	Ba	Sr
Numéro client	Numéro labo																					
MK05-27 - 64476	05-1915	37,09	0,13	4,24	10,06	3,09	0,12	26,89	4,18	0,17	0,04	< 0.093	0,20	11,68	56	114	1571	138	14	129	22	160
MK05-27 - 64477	05-1916	17,53	0,39	11,12	27,33	23,19	0,47	15,92	1,37	0,27	0,13	< 0.098	0,22	4,50	179	160	1991	488	13	754	24	51
MK05-27 - 64478	05-1917	36,79	0,14	3,77	13,62	3,25	0,14	32,28	0,68	0,16	0,03	< 0.098	0,30	10,37	94	547	1665	120	13	146	18	34
MK05-27 - 64479	05-1918	37,38	0,16	2,86	13,91	1,12	0,16	33,55	1,08	0,18	0,02	< 0.095	0,18	11,18	89	56	1245	79	14	72	21	48
MK05-27 - 64480	05-1919	44,55	0,52	10,90	10,04	0,19	0,12	17,07	2,57	1,82	4,95	0,24	0,07	3,97	66	84	405	77	18	128	904	103
MK05-27 - 64481	05-1920	35,58	0,27	7,06	8,12	0,34	0,11	26,15	6,12	0,31	1,00	0,21	0,23	14,07	62	490	864	79	17	85	93	164
MK05-27 - 64481 r	05-1920	35,40	0,27	6,96	8,14	0,34	0,11	25,87	6,14	0,31	0,98	0,21	0,23	14,07	62	457	854	79	17	86	93	164
MK05-27 - 64482	05-1921	17,84	0,31	11,35	20,82	22,13	0,41	18,36	1,25	0,18	< 0.018	< 0.089	0,09	5,94	174	39	1534	385	14	700	21	42
MK05-27 - 64483	05-1922	35,90	0,13	4,14	10,28	4,56	0,14	25,83	4,45	0,20	< 0.019	< 0.094	0,16	11,46	104	346	1208	107	10	189	24	167
MK05-27 - 64484	05-1923	35,14	0,14	5,07	11,89	5,91	0,17	25,26	3,84	0,18	< 0.02	< 0.1	0,19	11,13	114	453	1031	125	11	222	21	160
MK05-27 - 64485	05-1924	32,65	0,14	3,20	10,39	2,48	0,16	27,42	4,51	0,17	< 0.018	< 0.089	0,27	15,67	93	152	1209	82	11	117	20	105
MK05-27 - 64486	05-1925	33,72	0,12	3,91	9,29	3,83	0,13	27,56	4,47	0,16	< 0.018	< 0.092	0,24	15,50	101	554	1092	84	10	154	43	115
MK05-27 - 64487	05-1926	29,13	0,25	7,85	16,64	13,83	0,23	22,11	2,52	0,15	< 0.02	< 0.1	0,18	8,17	178	457	1565	217	11	468	19	66
MK05-27 - 64488	05-1927	33,74	0,14	3,57	11,24	2,97	0,12	27,73	3,76	0,22	< 0.02	< 0.099	0,59	13,71	104	1334	2132	86	11	144	30	106
MK05-27 - 64489	05-1928	16,24	0,29	11,05	22,23	20,88	0,35	17,84	1,44	0,13	< 0.018	< 0.089	0,14	6,90	174	40	2021	358	13	715	17	84
MK05-27 - 64490	05-1929	32,67	0,12	3,84	11,96	3,60	0,14	28,17	2,67	0,13	< 0.017	< 0.083	0,40	14,45	116	809	1824	92	11	161	15	78
MK05-27 - 64491	05-1930	19,76	0,32	9,37	20,78	16,59	0,35	19,46	3,12	0,18	< 0.019	< 0.094	0,17	8,83	191	38	2000	466	11	622	22	83
MK05-27 - 64492	05-1931	34,58	0,13	3,54	11,25	2,00	0,15	27,64	4,73	0,15	< 0.019	< 0.093	0,26	14,59	86	371	1140	107	12	112	17	132
MK05-27 - 64493	05-1932	30,55	0,10	2,67	11,62	0,67	0,19	28,49	4,87	0,21	0,02	< 0.098	0,27	18,90	96	100	1067	74	12	69	21	135
MK05-28 - 64496	05-1933	38,49	0,12	3,01	10,80	0,74	0,16	29,65	5,24	0,26	< 0.019	< 0.096	0,22	13,01	95	44	1400	63	13	64	25	145
MK05-28 - 64497	05-1934	34,26	0,11	3,57	11,36	1,89	0,15	31,47	2,40	0,16	< 0.02	< 0.098	0,21	12,39	117	168	1753	72	13	90	17	43
MK05-28 - 64498	05-1935	30,45	0,18	5,71	15,17	8,77	0,22	28,23	0,58	0,12	< 0.017	< 0.086	0,13	9,05	150	326	1752	184	13	295	15	15
MK05-28 - 64499	05-1936	29,26	0,17	5,83	14,78	9,12	0,17	28,08	1,28	0,15	< 0.019	< 0.094	0,11	10,04	123	146	1501	176	13	307	20	29
MK05-28 - 64500	05-1937	27,85	0,20	6,60	15,58	10,77	0,17	26,88	0,71	0,16	0,02	< 0.096	0,13	8,86	147	440	1831	190	13	370	20	22
MK05-28 - 64501	05-1938	20,31	0,31	10,66	18,16	17,91	0,27	20,65	1,88	0,17	< 0.018	< 0.088	0,08	7,80	153	165	2420	276	16	589	19	39
MK05-28 - 64502	05-1939	32,00	0,16	4,58	12,60	4,88	0,12	30,62	2,40	0,16	< 0.018	< 0.091	0,12	12,08	92	274	1399	115	13	200	17	47
MK05-28 - 64503	05-1940	33,15	0,13	4,66	12,30	3,99	0,11	31,14	1,50	0,12	< 0.018	< 0.092	0,11	11,28	96	386	1315	96	13	164	10	42
MK05-28 - 64504	05-1941	32,15	0,12	4,74	12,32	3,99	0,14	30,39	2,02	0,15	< 0.02	< 0.099	0,17	11,69	100	211	1298	96	13	146	62	62
MK05-28 - 64505	05-1942	23,66	0,29	8,70	18,69	13,87	0,33	23,56	1,00	0,17	< 0.017	< 0.087	0,08	7,91	165	95	1597	249	15	499	18	27
MK05-28 - 64506	05-1943	31,34	0,14	4,70	10,65	3,76	0,14	30,35	3,89	0,17	< 0.019	< 0.097	0,17	13,84	87	937	1352	107	13	169	17	95
MK05-28 - 64507	05-1944	27,44	0,25	7,58	17,56	11,70	0,25	26,64	0,85	0,20	< 0.019	< 0.094	0,10	8,71	130	60	1455	228	14	439	26	33
MK05-28 - 64508	05-1945	35,24	0,12	4,66	10,17	3,64	0,10	32,80	1,15	0,17	< 0.018	< 0.09	0,27	11,20	99	2798	1695	87	15	186	63	39

Laboratoire INRS-ETE

Hole Name	Sample	SiO2	TiO2	Al2O3	Fe2O3T	Cr2O3	MnO	MgO	CaO	Na2O	K2O	P2O5	S	LOI	Co	Cu	Ni	Zn	Sc	V	Ba	Sr
Numéro client	Numéro labo																					
MK05-28 - 64509	05-1946	17,76	0,37	11,12	22,47	20,41	0,43	18,24	1,21	0,13	< 0.018	< 0.088	0,22	5,82	191	528	3218	373	14	723	13	29
MK05-28 - 64510	05-1947	28,93	0,18	5,40	14,78	7,20	0,19	28,00	1,58	0,16	0,02	< 0.088	0,17	10,07	115	577	1665	155	13	270	19	39
MK05-28 - 64511	05-1948	20,95	0,28	8,67	19,72	15,09	0,33	21,97	1,96	0,16	< 0.018	< 0.088	0,21	8,24	171	527	2599	280	14	538	18	46
MK05-28 - 64512	05-1949	31,31	0,15	3,90	11,03	2,84	0,12	31,43	2,91	0,15	< 0.019	< 0.097	0,31	12,96	97	1186	1578	81	12	140	15	61
MK05-28 - 64513	05-1950	34,03	0,15	4,53	15,56	5,16	0,14	30,70	1,02	0,12	< 0.018	< 0.092	0,33	9,96	133	1336	2132	129	13	225	15	27
MK05-28 - 64514	05-1951	22,92	0,19	8,04	21,27	13,36	0,35	24,56	2,37	< 0.0096	< 0.019	< 0.096	0,17	9,38	253	30	2170	321	12	465	14	47
MK05-28 - 64515	05-1952	33,41	0,17	4,59	14,03	4,51	0,16	31,23	1,41	0,13	< 0.018	< 0.092	0,17	11,15	139	190	2287	114	14	188	15	31
MK05-28 - 64516	05-1953	32,48	0,18	4,72	16,24	5,53	0,22	29,45	1,94	0,11	< 0.019	< 0.093	0,21	10,49	138	248	1672	196	12	224	12	40
MK05-28 - 64517	05-1954	34,31	0,12	3,15	13,27	0,88	0,17	32,11	1,86	0,13	< 0.017	< 0.085	0,19	12,12	99	134	1235	73	13	91	19	42
MK05-28 - 64518	05-1955	35,29	0,13	3,00	12,55	0,65	0,18	32,50	2,18	0,11	< 0.017	< 0.086	0,16	12,13	106	59	1179	62	14	79	12	45
MK05-29 - 64519	05-1956	36,76	0,09	3,26	10,90	0,61	0,14	31,80	2,55	0,18	< 0.019	< 0.096	0,22	11,78	91	89	1439	60	13	73	19	54
MK05-29 - 64520	05-1957	35,87	0,09	3,35	9,18	0,73	0,11	31,12	3,66	0,18	< 0.019	< 0.095	0,27	12,70	77	535	1670	54	13	67	19	70
MK05-29 - 64521	05-1958	29,14	0,16	5,67	15,37	8,77	0,20	27,80	0,81	0,16	0,02	< 0.097	0,12	9,05	115	150	1719	319	12	295	21	28
MK05-29 - 64522	05-1959	24,68	0,19	6,45	15,06	11,16	0,20	25,23	3,65	0,12	0,03	< 0.092	0,09	11,02	127	108	3039	327	13	369	17	83
MK05-29 - 64523	05-1960	22,82	0,30	9,68	17,69	17,46	0,25	20,91	2,58	0,02	< 0.018	< 0.089	0,12	5,97	188	374	1492	246	18	579	12	29
MK05-29 - 64524	05-1961	29,56	0,18	5,28	13,43	6,45	0,15	30,19	1,37	0,02	< 0.018	< 0.092	0,15	10,35	131	372	1262	131	13	243	15	36
MK05-29 - 64525	05-1962	34,15	0,15	4,13	12,53	3,73	0,17	30,60	2,16	0,17	< 0.02	< 0.099	0,17	11,17	135	49	1159	101	13	149	17	50
MK05-29 - 64526	05-1963	32,50	0,15	4,87	13,06	5,20	0,18	30,11	1,73	0,13	< 0.018	< 0.09	0,15	10,83	127	1811	1131	141	11	203	17	45
MK05-29 - 64527	05-1964	35,20	0,10	3,82	11,42	2,46	0,12	31,91	1,52	0,15	0,02	< 0.097	0,18	11,57	113	50	1156	81	11	110	18	48
MK05-29 - 64528	05-1965	34,23	0,11	3,77	11,93	3,45	0,10	31,26	2,43	0,15	< 0.02	< 0.099	0,16	12,59	120	205	1194	94	11	136	18	78
MK05-29 - 64529	05-1966	22,49	0,27	8,33	17,50	15,19	0,23	23,22	1,42	0,17	0,03	< 0.099	0,16	7,67	164	697	1925	241	14	533	21	40
MK05-29 - 64530	05-1967	35,23	0,12	4,09	12,00	3,22	0,12	30,62	2,64	0,12	< 0.019	< 0.094	0,21	11,56	114	525	1447	86	12	148	13	67
MK05-29 - 64531	05-1968	17,24	0,37	11,37	22,37	23,33	0,38	17,22	1,68	0,14	< 0.019	< 0.097	0,18	4,96	210	765	2621	337	14	805	19	32
MK05-29 - 64532	05-1969	32,29	0,11	3,85	13,04	2,83	0,12	30,74	2,22	0,14	< 0.02	< 0.098	0,20	11,68	83	680	1336	87	13	147	17	67
MK05-29 - 64533	05-1970	31,45	0,13	8,12	12,30	3,94	0,12	29,58	0,50	0,11	< 0.019	< 0.095	0,17	10,45	107	229	1683	105	13	189	15	24
MK05-29 - 64534	05-1971	20,31	0,26	11,85	21,34	16,86	0,44	19,75	0,58	0,13	< 0.02	< 0.1	0,11	6,44	193	31	2415	448	12	645	17	16
MK05-29 - 64535	05-1972	37,79	0,11	3,31	12,53	1,67	0,14	30,80	1,05	0,19	< 0.02	< 0.1	0,16	9,88	134	334	1366	88	12	102	19	38
MK05-29 - 64536	05-1973	44,83	0,28	5,48	7,79	0,29	0,14	27,54	5,19	0,42	0,11	0,24	0,12	7,20	94	76	1132	53	14	70	25	126
MK05-30 - 64555	05-1974	39,18	0,12	2,89	10,81	0,67	0,13	31,25	2,22	0,17	< 0.018	< 0.092	0,20	11,24	114	71	1347	50	13	64	21	69
MK05-30 - 64556	05-1975	39,10	0,08	3,20	10,20	0,85	0,11	32,15	1,87	0,17	< 0.02	< 0.098	0,21	11,27	107	237	1426	43	13	57	23	75
MK05-30 - 64557	05-1976	31,47	0,19	6,11	15,15	9,40	0,23	27,82	0,85	0,16	< 0.018	< 0.091	0,10	8,25	175	25	1523	222	11	321	18	30

Laboratoire INRS-ETE

Hole Name	Sample	SiO2	TiO2	Al2O3	Fe2O3T	Cr2O3	MnO	MgO	CaO	Na2O	K2O	P2O5	S	LOI	Co	Cu	Ni	Zn	Sc	V	Ba	Sr
Numéro client	Numéro labo																					
MK05-31 - 64538	05-2006	34,46	0,09	3,06	10,79	0,73	0,11	33,34	2,49	0,28	0,05	< 0.097	0,35	11,61	100	292	1460	54	13	71	15	40
MK05-31 - 64539	05-2007	28,78	0,17	5,87	14,89	9,14	0,21	28,70	1,43	0,31	0,06	< 0.092	0,18	8,84	129	99	1559	243	12	302	21	34
MK05-31 - 64540	05-2008	27,32	0,16	6,57	15,17	11,01	0,18	28,51	0,91	0,32	0,06	< 0.094	0,11	8,62	126	< 18.8	1450	260	13	368	33	34
MK05-31 - 64541	05-2009	26,82	0,16	6,60	14,87	10,85	0,16	27,91	1,48	0,27	0,05	< 0.095	0,19	9,05	122	699	1680	229	12	368	22	41
MK05-31 - 64542	05-2010	17,84	0,32	11,54	18,15	21,79	0,23	20,14	2,12	0,29	0,04	< 0.09	0,14	6,52	163	555	1566	279	13	693	23	36
MK05-31 - 64543	05-2011	30,35	0,16	5,72	13,68	7,75	0,16	30,22	1,27	0,26	0,04	< 0.093	0,18	9,77	111	569	1454	162	12	291	19	30
MK05-31 - 64544	05-2012	33,54	0,13	3,85	12,06	3,20	0,12	32,86	0,98	0,32	0,03	< 0.1	0,29	10,67	97	81	1220	87	12	144	23	32
MK05-31 - 64545	05-2013	31,51	0,13	4,40	13,00	4,72	0,16	31,13	2,30	0,29	0,03	< 0.096	0,26	10,11	100	65	1253	115	13	182	22	44
MK05-31 - 64546	05-2014	24,97	0,27	7,57	17,28	13,07	0,31	25,84	1,39	0,23	0,03	< 0.091	0,10	8,35	135	< 18.2	1426	244	14	448	26	37
MK05-31 - 64547	05-2015	32,90	0,16	3,71	12,48	2,87	0,14	32,09	2,34	0,25	0,03	< 0.091	0,35	11,42	97	127	1262	85	12	140	21	58
MK05-31 - 64548	05-2016	32,01	0,13	3,80	11,13	3,22	0,11	31,88	2,96	0,28	0,04	< 0.092	0,36	11,96	96	756	1224	91	11	141	35	68
MK05-31 - 64549	05-2017	21,22	0,27	9,91	20,03	18,46	0,30	20,80	2,10	0,25	0,04	< 0.091	0,09	5,87	158	< 18.3	1437	363	12	614	36	31
MK05-31 - 64550	05-2018	29,04	0,18	6,28	15,12	9,70	0,21	26,77	2,21	0,17	0,03	< 0.093	0,19	9,37	180	316	1564	182	12	348	22	43
MK05-31 - 64551	05-2019	33,36	0,11	3,75	11,80	2,81	0,09	32,59	1,51	0,29	0,04	< 0.098	0,71	11,11	113	1978	2409	71	12	149	22	46
MK05-31 - 64552	05-2020	14,85	0,32	12,09	23,94	25,00	0,41	16,74	1,52	0,24	< 0.017	< 0.085	0,14	5,43	196	< 17	2153	371	11	822	21	35
MK05-31 - 64553	05-2021	33,10	0,15	3,67	11,27	3,13	0,11	31,84	2,64	0,26	< 0.02	< 0.099	0,38	11,44	98	911	1967	94	11	156	22	60
MK05-31 - 64554	05-2022	33,87	0,10	2,88	13,46	1,02	0,14	32,01	3,39	0,25	< 0.019	< 0.097	0,38	11,47	89	334	1135	71	11	100	19	59
MK05-32 - 64586	05-2023	35,83	0,08	3,46	10,25	0,83	0,11	31,84	2,50	0,29	0,02	< 0.098	0,28	11,51	93	340	1330	48	12	71	25	105
MK05-32 - 64587	05-2024	33,91	0,13	4,00	12,29	2,95	0,15	31,17	2,05	0,26	< 0.02	< 0.098	0,31	11,19	102	103	1451	106	13	125	21	99
MK05-32 - 64588	05-2025	27,73	0,18	5,71	14,61	7,59	0,26	26,55	3,10	0,37	< 0.02	< 0.1	0,28	10,53	120	288	1685	172	13	260	34	152
MK05-32 - 64589	05-2026	29,51	0,16	5,45	13,47	7,15	0,23	28,69	2,57	0,29	< 0.018	< 0.089	0,14	10,96	116	226	1467	147	12	243	26	121
MK05-32 - 64590	05-2027	34,79	0,10	3,33	11,15	0,82	0,12	32,87	1,95	0,26	< 0.019	< 0.097	0,32	12,17	92	104	1323	64	13	73	19	115
MK05-32 - 64591	05-2028	35,14	0,11	3,42	11,62	0,78	0,13	33,44	1,26	0,31	0,02	< 0.087	0,29	11,72	97	< 17.4	1314	74	13	76	24	85
MK05-33 - 64594	05-2030	35,51	0,15	2,86	11,27	0,73	0,14	34,22	2,95	0,25	0,02	< 0.09	0,44	12,33	102	131	1471	54	13	71	24	134
MK05-33 - 64593	05-2029	34,24	0,11	3,21	10,94	0,65	0,16	33,19	2,81	0,37	< 0.019	< 0.094	0,30	11,93	92	< 18.9	1316	66	13	59	30	121
MK05-33 - 64595	05-2031	29,88	0,17	5,49	13,61	8,16	0,19	28,83	3,07	0,21	< 0.018	< 0.091	0,22	10,36	121	885	1564	180	11	267	26	99
MK05-33 - 64596	05-2032	27,02	0,19	6,85	14,76	11,89	0,19	27,56	2,12	0,23	< 0.019	< 0.094	0,10	9,04	127	< 18.7	1413	201	12	389	22	132
MK05-33 - 64597	05-2033	26,49	0,20	7,16	14,92	12,24	0,18	27,35	1,75	0,35	0,02	< 0.098	0,25	9,04	144	1092	1985	198	12	412	35	96
MK05-33 - 64598	05-2034	15,56	0,36	13,14	20,30	25,96	0,28	17,42	2,86	0,26	< 0.018	< 0.089	0,09	5,23	175	167	1507	327	13	823	22	75
MK05-33 - 64599	05-2035	31,59	0,16	4,57	12,94	5,53	0,14	31,26	1,52	0,21	< 0.019	< 0.094	0,23	10,67	105	235	1260	119	12	228	18	98
MK05-33 - 64600	05-2036	31,61	0,15	4,54	12,85	5,13	0,15	31,30	1,91	0,28	< 0.019	< 0.094	0,22	10,80	97	85	1247	118	12	210	23	102
MK05-33 - 64601	05-2037	28,43	0,20	7,27	17,53	11,70	0,27	27,40	1,26	0,27	< 0.018	< 0.092	0,17	8,13	151	< 18.4	1541	202	14	426	24	49
MK05-33 - 64602	05-2038	34,16	0,32	4,31	10,38	2,47	0,10	32,75	2,24	0,27	< 0.02	< 0.1	0,42	11,55	88	612	1303	54	12	134	23	125

Laboratoire INRS-ETE

Hole Name	Sample	SiO2	TiO2	Al2O3	Fe2O3T	Cr2O3	MnO	MgO	CaO	Na2O	K2O	P2O5	S	LOI	Co	Cu	Ni	Zn	Sc	V	Ba	Sr
Numéro client	Numéro labo																					
MK05-33 - 64603	05-2039	29,98	0,21	7,52	15,39	9,06	0,19	25,47	2,96	0,34	< 0.018	< 0.089	0,21	7,53	123	44	1722	190	14	321	24	62
MK05-33 - 64604	05-2040	34,72	0,19	4,74	12,84	3,71	0,10	30,92	2,32	0,28	< 0.018	< 0.091	0,58	9,51	121	1123	2207	104	13	163	22	57
MK05-33 - 64605	05-2041	13,44	0,41	13,22	23,94	26,57	0,43	15,51	2,24	0,25	< 0.019	< 0.094	0,16	4,80	196	167	2183	400	12	899	28	99
MK05-33 - 64606	05-2042	27,92	0,22	5,40	15,38	7,65	0,23	26,64	5,43	0,23	< 0.018	< 0.092	0,29	11,35	132	842	1749	279	11	272	38	199
MK05-33 - 64607	05-2043	33,68	0,10	3,21	12,15	1,83	0,14	32,60	2,74	0,24	< 0.02	< 0.099	0,43	12,41	97	367	1244	94	11	113	21	162
MK05-33 - 64608	05-2044	36,28	0,12	2,80	13,51	0,82	0,13	34,52	0,63	0,21	< 0.019	< 0.095	0,37	10,95	118	< 19.1	1227	53	12	86	18	37
MK05-34 - 64648	05-2045	35,69	0,11	3,15	11,93	0,67	0,16	32,75	3,56	0,28	< 0.02	< 0.1	0,52	11,29	100	22	1322	55	13	66	25	80
MK05-34 - 64649	05-2046	34,60	0,14	3,18	13,41	1,33	0,13	32,66	2,61	0,24	< 0.02	< 0.1	0,60	11,14	98	266	1512	76	12	84	22	83
MK05-34 - 64650	05-2047	30,00	0,16	5,64	13,76	7,76	0,17	29,94	1,57	0,27	< 0.019	< 0.096	0,18	9,76	119	341	1474	143	12	259	27	56
MK05-34 - 64651	05-2048	27,99	0,20	7,00	15,92	11,86	0,19	27,94	1,21	0,29	< 0.018	< 0.091	0,12	8,26	125	< 18.3	1458	216	12	403	26	32
MK05-34 - 64652	05-2049	17,93	0,33	11,03	19,19	21,97	0,30	20,18	2,43	0,21	< 0.017	< 0.083	0,16	6,85	173	780	1618	324	14	703	26	66
MK05-34 - 64653	05-2050	32,53	0,15	4,88	12,85	5,48	0,16	31,68	1,74	0,21	< 0.018	< 0.089	0,22	10,12	111	198	1342	133	13	224	21	51
MK05-34 - 64654	05-2051	34,77	0,15	4,27	12,46	4,82	0,17	31,15	2,06	0,16	< 0.019	< 0.095	0,22	10,62	157	74	1316	132	13	186	22	61
MK05-34 - 64655	05-2052	26,61	0,22	7,13	17,92	12,23	0,31	23,96	2,71	0,16	< 0.019	< 0.096	0,11	8,32	190	53	1314	240	13	415	20	63
MK05-34 - 64656	05-2053	33,04	0,14	4,80	12,88	4,79	0,16	32,72	2,19	0,26	< 0.019	< 0.093	0,36	10,48	109	74	1330	133	12	198	25	78
MK05-34 - 64657	05-2054	24,99	0,29	7,90	19,78	15,62	0,37	22,43	2,00	0,22	0,03	< 0.1	0,14	7,25	216	65	1613	416	13	542	31	59
MK05-34 - 64658	05-2055	36,27	0,14	3,98	12,23	2,47	0,13	31,08	2,29	0,28	< 0.019	< 0.094	0,88	9,40	141	810	1748	79	11	150	18	34
MK05-34 - 64659	05-2056	35,13	0,12	3,21	13,41	1,40	0,14	32,81	1,51	0,24	< 0.02	< 0.098	0,92	10,61	103	465	1157	65	11	105	19	48
MK05-35 - 64609	05-2057	35,64	0,09	3,28	11,48	0,70	0,15	33,64	2,39	0,22	< 0.018	< 0.09	0,21	11,49	94	< 17.9	1352	73	13	63	20	114
MK05-35 - 64610	05-2058	36,25	0,13	3,05	11,63	1,14	0,14	33,71	2,16	0,21	< 0.019	< 0.096	0,26	11,56	108	67	1474	64	13	76	18	140
MK05-35 - 64611	05-2059	28,52	0,16	5,70	14,04	8,97	0,19	28,06	3,33	0,20	< 0.019	< 0.093	0,14	10,38	131	279	1522	218	12	291	19	120
MK05-35 - 64612	05-2060	28,19	0,21	7,33	15,76	11,93	0,21	26,91	1,88	0,28	< 0.019	< 0.093	0,10	7,86	135	< 18.6	1475	291	12	403	22	39
MK05-35 - 64613	05-2061	27,79	0,21	7,07	14,90	11,71	0,19	27,00	1,24	0,20	< 0.018	< 0.089	0,10	8,07	148	< 17.8	1894	266	11	396	89	31
MK05-35 - 64614	05-2062	16,67	0,35	12,47	20,96	25,00	0,31	17,66	1,49	0,24	0,02	< 0.093	0,08	4,44	196	< 18.6	1630	381	15	791	28	34
MK05-35 - 64615	05-2063	33,18	0,20	4,33	12,56	5,32	0,13	31,06	1,79	0,25	< 0.018	< 0.089	0,15	9,97	113	125	1322	133	13	222	28	77
MK05-35 - 64616	05-2064	34,25	0,16	4,24	12,40	4,54	0,14	31,05	2,14	0,25	< 0.018	< 0.09	0,18	9,91	102	44	1272	115	13	183	20	66
MK05-35 - 64617	05-2065	32,27	0,17	5,72	14,04	7,65	0,19	28,22	3,02	0,28	< 0.018	< 0.092	0,13	8,72	113	< 18.4	1282	158	13	285	19	60
MK05-35 - 64618	05-2066	37,35	0,12	3,93	10,72	2,46	0,10	31,30	2,98	0,33	< 0.02	< 0.098	0,24	9,92	93	262	1245	67	12	123	23	62
MK05-35 - 64619	05-2067	30,81	0,21	7,64	16,21	11,01	0,23	20,98	6,20	0,24	0,06	0,19	0,14	6,70	194	102	1955	283	13	378	21	104
MK05-35 - 64620	05-2068	36,98	0,14	4,31	9,45	3,96	0,11	28,31	6,30	0,38	< 0.019	< 0.094	0,12	9,07	82	139	1232	136	12	164	22	96
MK05-35 - 64621	05-2069	22,65	0,30	9,65	19,72	16,82	0,28	22,05	1,73	0,31	< 0.019	< 0.096	0,13	6,47	192	< 19.3	2089	338	12	580	34	52

Laboratoire INRS-ETE

Hole Name	Sample	SiO2	TiO2	Al2O3	Fe2O3T	Cr2O3	MnO	MgO	CaO	Na2O	K2O	P2O5	S	LOI	Co	Cu	Ni	Zn	Sc	V	Ba	Sr
Numéro client	Numéro labo																					
MK05-35 - 64622	05-2070	43,99	0,21	5,00	7,17	1,82	0,09	27,69	7,51	0,50	0,04	0,19	0,17	6,17	62	871	957	58	16	127	24	114
MK05-35 - 64623	05-2071	37,82	0,13	3,96	10,28	2,67	0,09	31,68	2,54	0,32	0,02	< 0.099	0,33	9,56	107	1638	1688	76	12	140	20	40
MK05-35 - 64624	05-2072	19,12	0,37	11,60	22,55	21,90	0,36	17,29	1,43	0,24	0,02	< 0.088	0,22	4,13	276	939	2493	339	13	787	29	30
MK05-35 - 64625	05-2073	43,89	0,21	4,98	6,94	1,72	0,09	27,54	7,63	0,57	0,05	0,22	0,18	7,97	65	942	964	63	16	118	28	122
MK05-35 - 64626	05-2074	37,46	0,13	3,94	10,27	2,71	0,09	31,44	2,53	0,33	< 0.02	< 0.099	0,33	8,07	108	1648	1672	79	12	143	21	43
MK05-35 - 64627	05-2075	39,62	0,21	4,18	11,57	1,59	0,13	30,98	1,71	0,25	< 0.019	0,11	0,56	9,16	81	61	1228	124	12	132	20	67
MK05-35 - 64628	05-2076	43,86	0,44	6,39	9,21	0,24	0,14	24,62	6,37	0,50	2,75	0,27	0,24	4,91	57	24	975	68	16	91	272	183
MK05-36 - 64665	05-2077	38,90	0,11	3,46	11,37	0,76	0,15	32,26	2,24	0,30	< 0.019	< 0.094	0,28	9,59	94	< 18.9	1278	64	12	80	22	39
MK05-36 - 64666	05-2078	39,73	0,15	4,32	10,36	0,60	0,12	31,75	2,81	0,30	< 0.019	< 0.097	0,25	9,23	96	36	1316	45	14	77	23	39
MK05-36 - 64667	05-2079	28,59	0,15	7,83	16,29	11,13	0,23	25,51	2,09	0,27	< 0.018	< 0.088	0,11	9,12	135	< 17.5	1314	389	11	375	27	44
MK05-36 - 64668	05-2080	17,20	0,36	12,60	21,87	25,40	0,40	17,81	1,34	0,30	< 0.018	< 0.091	0,10	4,16	184	< 18.2	1610	337	14	744	37	30
MK05-36 - 64669	05-2081	32,57	0,20	6,34	14,43	9,86	0,22	25,67	3,25	0,29	< 0.019	< 0.097	0,09	6,46	130	< 19.5	1226	220	14	354	22	38
MK05-36 - 64670	05-2082	35,14	0,14	4,72	12,31	3,86	0,13	31,54	1,10	0,26	< 0.02	< 0.1	0,14	9,52	108	< 20	1308	112	13	169	22	27
MK05-36 - 64671	05-2083	33,45	0,15	4,98	14,46	5,58	0,17	30,58	0,82	0,23	< 0.018	< 0.091	0,12	9,11	129	< 18.3	1256	172	12	225	19	26
MK05-36 - 64672	05-2084	33,45	0,15	5,02	14,11	6,04	0,18	29,55	1,46	0,25	< 0.019	< 0.096	0,17	8,69	125	< 19.2	1481	198	13	233	22	36
MK05-36 - 64673	05-2085	45,56	0,30	4,87	5,44	0,69	0,09	26,70	8,68	0,58	0,05	0,17	0,08	5,31	46	< 17.3	938	48	17	71	25	120
MK05-36 - 64674	05-2086	28,74	0,24	7,42	18,12	11,29	0,30	24,63	1,75	0,26	< 0.018	< 0.092	0,12	6,57	152	< 18.4	1240	357	13	401	22	33
MK05-36 - 64675	05-2087	39,09	0,62	7,77	8,88	0,81	0,11	26,88	6,01	0,53	0,07	0,28	0,47	7,12	71	636	1059	39	22	143	27	106
MK05-36 - 64676	05-2088	37,53	0,13	4,17	11,67	2,66	0,11	31,31	1,88	0,22	< 0.018	< 0.09	0,16	9,10	96	25	1179	96	13	137	15	27
MK05-36 - 64677	05-2089	35,54	0,13	4,09	11,22	3,55	0,10	32,78	0,75	0,22	< 0.02	< 0.098	0,14	9,80	102	37	1327	169	12	158	21	26
MK05-36 - 64678	05-2090	31,40	0,21	8,12	14,70	10,02	0,23	24,29	3,51	0,19	0,02	< 0.085	0,10	6,35	115	< 17	1290	263	13	363	28	38
MK05-36 - 64679	05-2091	35,53	0,15	4,72	12,07	4,48	0,12	29,74	2,36	0,27	< 0.018	< 0.092	0,24	8,42	113	869	1600	102	12	202	22	33
MK05-36 - 64680	05-2092	18,09	0,36	11,18	23,71	23,74	0,38	17,87	1,08	0,23	< 0.017	< 0.084	0,13	4,61	213	< 16.7	2236	378	12	776	47	24
MK05-36 - 64681	05-2093	34,86	0,19	4,36	13,31	5,40	0,14	30,42	1,44	0,24	< 0.019	< 0.093	0,26	8,92	118	383	1712	115	13	228	21	28
MK05-36 - 64682	05-2094	32,38	0,17	5,22	14,68	6,20	0,18	29,47	0,91	0,21	< 0.019	< 0.097	0,25	8,83	147	113	2097	146	12	276	19	23
MK05-36 - 64683	05-2095	27,68	0,22	7,67	18,63	11,54	0,26	25,33	1,33	0,23	< 0.019	< 0.097	0,27	9,31	184	< 19.3	2404	276	11	442	23	28
MK05-36 - 64684	05-2096	32,73	0,81	11,70	9,64	0,25	0,08	27,92	3,07	0,13	< 0.02	0,61	0,57	9,24	80	3166	810	34	29	153	22	87
MK05-36 - 64685	05-2097	24,69	0,28	8,50	22,72	14,05	0,40	20,77	2,08	0,08	< 0.018	< 0.091	0,28	5,23	265	89	2251	473	10	529	17	32
MK05-36 - 64686	05-2098	37,72	0,15	3,63	13,24	2,61	0,15	31,56	1,75	0,02	< 0.019	< 0.094	0,31	9,75	146	188	1300	98	12	145	40	35
MK05-36 - 64687	05-2099	39,17	0,12	2,84	12,01	1,00	0,14	31,71	1,92	0,17	0,02	< 0.097	0,35	10,02	141	169	1118	62	12	82	23	66
MK05-37 - 64688	05-2100	37,17	0,14	3,01	12,61	0,73	0,18	33,54	2,72	< 0.009	< 0.019	< 0.095	0,23	11,75	147	54	1436	78	15	67	13	37
MK05-37 - 64689	05-2101	35,49	0,10	3,47	11,86	1,17	0,15	32,61	2,18	0,01	< 0.018	< 0.089	0,33	11,55	153	404	1593	70	13	60	29	45

Laboratoire INRS-ETE

Hole Name	Sample	SiO2	TiO2	Al2O3	Fe2O3T	Cr2O3	MnO	MgO	CaO	Na2O	K2O	P2O5	S	LOI	Co	Cu	Ni	Zn	Sc	V	Ba	Sr
Numéro client	Numéro labo																					
MK05-37 - 64690	05-2102	30,45	0,16	5,33	13,62	7,48	0,18	29,50	2,33	0,04	< 0.02	< 0.099	0,23	9,94	168	541	1690	159	13	259	21	39
MK05-37 - 64691	05-2103	28,15	0,21	6,91	15,93	11,70	0,19	27,96	1,02	0,05	< 0.017	< 0.086	0,14	8,17	189	144	1532	233	13	389	21	28
MK05-37 - 64692	05-2104	24,53	0,23	8,29	16,25	14,32	0,21	24,56	2,01	0,09	< 0.018	< 0.092	0,11	7,69	169	114	1672	235	13	460	22	33
MK05-37 - 64693	05-2105	20,32	0,37	10,94	19,49	20,09	0,29	19,62	2,13	0,02	< 0.019	< 0.093	0,08	5,36	229	53	1405	252	16	671	15	24
MK05-37 - 64694	05-2106	32,87	0,20	5,65	11,58	6,49	0,12	30,29	1,14	0,02	< 0.02	< 0.098	0,11	9,28	150	139	1285	108	15	264	16	22
MK05-37 - 64695	05-2107	29,90	0,21	6,88	13,47	9,73	0,16	26,84	1,60	0,19	< 0.019	< 0.095	0,11	8,76	166	142	1390	184	12	336	19	24
MK05-37 - 64696	05-2108	21,35	0,33	10,77	18,80	20,28	0,27	20,18	2,05	0,09	< 0.018	< 0.089	0,08	4,79	212	105	1625	263	16	652	26	25
MK05-37 - 64697	05-2109	31,97	0,17	4,71	12,21	5,12	0,14	29,26	3,52	0,03	< 0.02	< 0.1	0,17	10,56	143	371	1158	108	13	209	18	43
MK05-37 - 64698	05-2110	25,02	0,29	7,73	16,77	13,13	0,28	24,24	2,59	0,04	< 0.018	< 0.088	0,10	8,03	197	86	1334	219	14	466	20	28
MK05-37 - 64699	05-2111	33,04	0,14	4,14	12,30	3,24	0,14	31,35	2,45	0,03	< 0.019	< 0.097	0,25	10,85	155	367	1239	106	13	144	17	42
MK05-37 - 64700	05-2112	22,46	0,24	7,47	15,06	12,14	0,21	22,48	6,78	0,07	< 0.02	< 0.099	0,08	10,91	152	75	1302	189	12	426	34	57
MK05-37 - 64701	05-2113	32,21	0,13	4,34	11,60	3,57	0,12	30,56	2,56	< 0.01	< 0.02	< 0.1	0,22	11,37	123	945	1280	90	13	167	24	37
MK05-37 - 64702	05-2114	31,13	0,22	5,05	14,54	6,91	0,20	26,61	3,87	0,20	0,02	< 0.099	0,25	10,33	159	762	1520	145	13	280	26	60
MK05-37 - 64702 r	05-2114	30,24	0,23	5,11	15,42	7,35	0,21	26,22	4,13	0,09	0,02	< 0.09	0,25	10,33	146	705	1536	152	12	299	15	61
MK05-37 - 64703	05-2115	35,52	0,13	4,01	12,26	3,31	0,12	30,18	2,36	0,14	< 0.019	< 0.097	0,41	11,17	165	1175	1966	82	13	152	18	49
MK05-37 - 64703 r	05-2115	34,36	0,14	4,20	13,03	3,56	0,12	30,41	2,49	0,09	< 0.018	< 0.092	0,41	11,17	151	1158	2064	89	12	170	16	55
MK05-37 - 64704	05-2116	19,83	0,37	11,11	20,86	20,75	0,32	19,16	1,95	0,16	0,02	< 0.084	0,15	5,37	224	779	1968	257	14	741	17	28
MK05-37 - 64704 r	05-2116	19,52	0,35	11,54	19,60	19,55	0,29	19,32	1,91	0,08	< 0.02	< 0.099	0,14	5,37	197	866	1959	259	13	741	17	29
MK05-37 - 64705	05-2117	36,57	0,14	3,60	12,98	2,88	0,15	31,21	2,72	0,16	< 0.02	< 0.099	0,33	10,98	153	564	1511	82	13	141	20	65
MK05-37 - 64705 r	05-2117	34,18	0,14	3,76	12,23	2,75	0,14	30,80	2,48	0,07	< 0.019	< 0.096	0,33	10,98	123	579	1419	79	11	142	14	65
MK05-37 - 64706	05-2118	35,92	0,13	4,27	13,55	4,36	0,16	30,67	1,69	0,15	< 0.02	< 0.099	0,34	10,46	173	1346	1790	98	11	206	19	51
MK05-37 - 64706 r	05-2118	32,79	0,14	4,48	12,85	4,23	0,16	30,18	1,71	0,13	0,02	< 0.1	0,36	10,46	141	1440	1750	102	11	208	17	57
MK05-37 - 64707	05-2119	24,30	0,32	9,55	21,28	16,81	0,32	20,99	1,99	0,15	< 0.019	< 0.094	0,13	6,12	232	89	2015	276	13	664	16	20
MK05-37 - 64707 r	05-2119	22,17	0,31	9,69	20,26	15,82	0,31	20,50	1,93	0,12	< 0.017	< 0.085	0,15	6,12	193	75	1991	283	12	642	19	26
MK05-37 - 64708	05-2120	34,63	0,17	5,24	13,43	6,52	0,18	30,26	1,45	0,17	< 0.02	< 0.099	0,15	9,90	150	43	1824	123	14	314	20	38
MK05-37 - 64709	05-2121	25,59	0,29	8,74	20,38	14,47	0,33	22,71	1,51	0,19	< 0.02	< 0.1	0,15	6,73	231	40	2094	274	13	585	22	32
MK05-37 - 64709 r	05-2121	22,71	0,32	8,91	20,17	14,53	0,32	21,67	1,42	0,13	< 0.02	< 0.1	0,16	6,73	177	27	2008	285	12	588	22	37
MK05-37 - 64710	05-2122	32,70	0,18	3,88	13,62	3,06	0,15	31,14	1,50	0,06	< 0.02	< 0.1	0,31	10,78	186	656	1307	107	12	172	24	43
MK05-37 - 64711	05-2123	38,53	0,16	3,01	13,06	1,01	0,15	32,57	2,07	0,18	< 0.019	< 0.093	0,33	11,34	166	563	1119	63	13	80	20	46
MK05-37 - 64711 r	05-2123	34,19	0,15	2,95	12,70	1,01	0,15	32,01	1,94	0,05	< 0.018	< 0.089	0,36	11,32	141	525	1076	74	13	89	20	46

**ANNEXE III RÉSULTATS ANALYTIQUES ET CERTIFICATS D'ANALYSE
(CHIMITEC)**



ALS Chemex

EXCELLENCE EN ANALYSE CHIMIQUE

ALS Canada Ltd.

212 Brooksbank Avenue
North Vancouver BC V7J 2C1

Téléphone: 604 984 0221 Télécopieur: 604 984 0218 www.alschemex.com

À: RESSOURCES PRO-OR INC.
400 RUE ST-JACQUES OUEST
BUREAU 200
MONTREAL QC H2Y 1S1

Page: 1
Finalisée Date: 25-MAI-2005
Compte: RESPRO

CERTIFICAT VO05036781

Projet:

Bon de commande #:

Ce rapport s'applique aux 48 échantillons de carotte forage soumis à notre laboratoire le Val d'Or, QC, Canada de 10-MAI-2005.

Les résultats sont transmis à:

YVAN BUSSIERES

PIERRE GEVRY

MARC LAFLÈCHE

PRÉPARATION ÉCHANTILLONS

CODE ALS	DESCRIPTION
WEI-21	Poids échantillon reçu
PUL-31	Pulvérisé à 85 % <75 um
SPL-21	Échant. fractionné - div. riffles
CRU-31	Granulation - 70 % <2 mm
LOG-22	Entrée échantillon - Reçu sans code barre

PROCÉDURES ANALYTIQUES

CODE ALS	DESCRIPTION	INSTRUMENT
PGM-ICP23	Pt, Pd et Au 30 g FA ICP	ICP-AES

À: RESSOURCES PRO-OR INC.
ATTN: PIERRE GEVRY
400 RUE ST-JACQUES OUEST
BUREAU 200
MONTREAL QC H2Y 1S1

Ce rapport est final et remplace tout autre rapport préliminaire portant ce numéro de certificat. Les résultats s'appliquent aux échantillons soumis. Toutes les pages de ce rapport ont été vérifiées et approuvées avant publication.

Signature:



ALS Chemex

EXCELLENCE EN ANALYSE CHIMIQUE

ALS Canada Ltd.

212 Brooksbank Avenue
North Vancouver BC V7J 2C1

Téléphone: 604 984 0221 Télécopieur: 604 984 0218 www.alschemex.com

À: RESSOURCES PRO-OR INC.
400 RUE ST-JACQUES OUEST
BUREAU 200
MONTREAL QC H2Y 1S1

Page: 2 - A
Nombre Total de Pages: 3 (A)
Finalisée Date: 25-MAI-2005
Compte: RESPRO

CERTIFICAT D'ANALYSE VO05036781

Description échantillon	Méthode élément unités L.D.	WEI-21	PGM-ICP23	PGM-ICP23	PGM-ICP23
		Poids reçu kg 0.02	Au ppm 0.001	Pt ppm 0.005	Pd ppm 0.001
64201		1.83	0.051	<0.005	<0.001
64219		0.55	0.006	<0.005	<0.001
64220		Not Recvd			
64231		5.48	<0.001	<0.005	<0.001
64246		3.42	0.564	<0.005	<0.001
64247		2.04	0.038	<0.005	<0.001
64248		2.12	0.003	<0.005	<0.001
64249		2.09	0.001	<0.005	<0.001
64250		0.25	0.018	<0.005	<0.001
64251		1.91	0.009	<0.005	<0.001
64293		1.87	<0.001	0.005	0.012
64294		2.07	<0.001	0.007	0.013
64295		1.70	<0.001	0.010	0.011
64317		0.57	0.014	<0.005	<0.001
64371		1.60	0.001	0.014	0.048
64372		1.76	0.001	0.017	0.039
64373		1.70	0.002	0.015	0.044
64374		1.73	0.001	0.013	0.033
64375		1.89	0.001	0.018	0.042
64376		1.81	0.003	0.017	0.050
64377		2.31	0.001	0.014	0.032
64494		1.16	<0.001	<0.005	0.012
64495		1.10	<0.001	0.008	0.050
64592		1.95	<0.001	<0.005	0.007
64629		1.85	<0.001	<0.005	0.007
64630		1.56	<0.001	0.005	0.007
64631		1.79	<0.001	0.007	0.007
64632		1.64	<0.001	<0.005	0.002
64633		1.60	<0.001	<0.005	0.006
64634		1.90	<0.001	0.012	0.016
64635		1.57	0.002	0.012	0.013
64636		1.65	<0.001	0.007	0.010
64637		1.44	<0.001	0.008	0.014
64638		0.94	<0.001	<0.005	0.001
64639		1.97	<0.001	<0.005	0.001
64640		1.79	<0.001	<0.005	0.001
64641		1.62	<0.001	0.006	0.006
64642		1.93	<0.001	<0.005	0.005
64643		1.52	<0.001	<0.005	0.007
64644		1.76	<0.001	<0.005	0.005



ALS Chemex

EXCELLENCE EN ANALYSE CHIMIQUE

ALS Canada Ltd.

212 Brooksbank Avenue

North Vancouver BC V7J 2C1

Téléphone: 604 984 0221 Télécopieur: 604 984 0218 www.alschemex.com

À: RESSOURCES PRO-OR INC.

400 RUE ST-JACQUES OUEST

BUREAU 200

MONTREAL QC H2Y 1S1

Page: 3 - A

Nombre Total de Pages: 3 (A)

Finalisée Date: 25-MAI-2005

Compte: RESPRO

CERTIFICAT D'ANALYSE VO05036781

Description échantillon	Méthode élément unités L.D.	WEI-21	PGM-ICP23	PGM-ICP23	PGM-ICP23
		Poids reçu kg	Au ppm	Pt ppm	Pd ppm
		0.02	0.001	0.005	0.001
64645		1.59	<0.001	<0.005	0.004
64646		1.58	<0.001	<0.005	0.003
64647		1.49	<0.001	0.010	0.060
64660		1.08	<0.001	0.013	0.049
64661		1.55	0.001	0.010	0.043
64662		1.87	<0.001	0.009	0.026
64663		1.55	<0.001	0.010	0.029
64664		1.69	<0.001	0.010	0.031



ALS Chemex

EXCELLENCE EN ANALYSE CHIMIQUE

ALS Canada Ltd.

212 Brooksbank Avenue

North Vancouver BC V7J 2C1

Téléphone: 604 984 0221 Télécopieur: 604 984 0218 www.alschemex.com

À: RESSOURCES PRO-OR INC.
400 RUE ST-JACQUES OUEST
BUREAU 200
MONTREAL QC H2Y 1S1

Page: 1
Finalisée Date: 23-MAI-2005
Compte: RESPRO

CERTIFICAT VO05037856

Projet: MENARIK
 Bon de commande #:
 Ce rapport s'applique aux 54 échantillons de pulpe soumis à notre laboratoire le Val d'Or, QC, Canada de 13-MAI-2005.
 Les résultats sont transmis à:

YVAN BUSSIERES	PIERRE GEVRY	MARC LAFLECHE
----------------	--------------	---------------

PRÉPARATION ÉCHANTILLONS	
CODE ALS	DESCRIPTION
LOG-24	Entrée pulpe - Reçu sans code barre

PROCÉDURES ANALYTIQUES		
CODE ALS	DESCRIPTION	INSTRUMENT
PGM-ICP23	Pt, Pd et Au 30 g FA ICP	ICP-AES

À: RESSOURCES PRO-OR INC.
ATTN: PIERRE GEVRY
400 RUE ST-JACQUES OUEST
BUREAU 200
MONTREAL QC H2Y 1S1

Ce rapport est final et remplace tout autre rapport préliminaire portant ce numéro de certificat. Les résultats s'appliquent aux échantillons soumis. Toutes les pages de ce rapport ont été vérifiées et approuvées avant publication.

Signature:



ALS Chemex

EXCELLENCE EN ANALYSE CHIMIQUE

ALS Canada Ltd.

212 Brooksbank Avenue
North Vancouver BC V7J 2C1

Téléphone: 604 984 0221 Télécopieur: 604 984 0218 www.alschemex.com

A: RESSOURCES PRO-OR INC.
400 RUE ST-JACQUES OUEST
BUREAU 200
MONTREAL QC H2Y 1S1

Page: 2 - A
Nombre Total de Pages: 3 - (A)
Finalisée Date: 23-MAI-2005
Compte: RESPRO

Projet: MENARIK

CERTIFICAT D'ANALYSE VO05037856

Description échantillon	Méthode élément unités L.D.	PGM-ICP23	PGM-ICP23	PGM-ICP23
		Au ppm	Pt ppm	Pd ppm
		0.001	0.005	0.001
55522B		0.007	0.061	0.160
55523		<0.001	0.014	0.025
55524		<0.001	0.010	0.033
55526		0.045	0.091	0.205
55528		0.006	0.088	0.196
55529		0.002	0.017	0.052
55530		0.005	0.015	0.032
55531		0.004	0.011	0.016
55562		0.004	0.022	0.058
55563		0.010	0.097	0.283
55566		<0.001	0.132	0.366
55567		0.004	0.080	0.341
55569		0.006	0.435	1.730
55570		0.003	0.086	0.439
55571		0.008	0.294	1.205
55688		0.001	0.063	0.170
55689		0.004	0.072	0.233
55690		0.001	0.135	0.533
55692		0.004	0.062	0.230
55766		0.006	0.160	0.566
55767		0.004	0.055	0.181
55768		0.004	0.061	0.176
55769		0.007	0.073	0.223
55770		0.009	0.070	0.215
55771		0.010	0.142	0.554
55772		0.019	0.042	0.102
55775		0.001	0.095	0.227
55778		0.036	0.085	0.222
55779		0.015	0.087	0.357
55780		0.043	0.579	1.730
55781		0.021	0.164	0.794
55782		0.037	0.444	1.640
55869		0.009	0.097	0.316
55870		<0.001	0.060	0.122
55871		0.005	0.057	0.136
55872		0.003	0.070	0.176
55873		0.004	0.077	0.224
55874		0.008	0.194	0.578
55875		0.003	0.042	0.114
55877		0.003	0.036	0.089



ALS Chemex

EXCELLENCE EN ANALYSE CHIMIQUE

ALS Canada Ltd.

212 Brooksbank Avenue

North Vancouver BC V7J 2C1

Téléphone: 604 984 0221 Télécopieur: 604 984 0218 www.alschemex.com

A: RESSOURCES PRO-OR INC.
400 RUE ST-JACQUES OUEST
BUREAU 200
MONTREAL QC H2Y 1S1

Page: 3 - A

Nombre Total de Pages: 3 (A)

Finalisée Date: 23-MAI-2005

Compte: RESPRO

Projet: MENARIK

CERTIFICAT D'ANALYSE VO05037856

Description échantillon	Méthode élément unités L.D.	PGM-ICP23	PGM-ICP23	PGM-ICP23
		Au	Pt	Pd
		ppm	ppm	ppm
		0.001	0.005	0.001
55879		0.015	0.036	0.121
55881		0.006	0.173	0.738
55882		0.005	0.236	0.585
55883		0.019	0.293	1.245
55884		0.016	0.077	0.297
55885		0.011	0.133	0.517
55926		0.004	0.156	0.449
55927		0.003	0.074	0.176
55928		<0.001	0.069	0.217
55929		0.003	0.172	0.631
55933		0.001	0.104	0.243
56078		0.045	0.532	2.000
56256		0.003	0.031	0.074
64025		0.001	0.010	0.018



ALS Chemex

EXCELLENCE EN ANALYSE CHIMIQUE

ALS Canada Ltd.

212 Brooksbank Avenue

North Vancouver BC V7J 2C1

Téléphone: 604 984 0221 Télécopieur: 604 984 0218 www.alschemex.com

À: RESSOURCES MINIÈRES PRO-OR INC.

400 RUE ST-JACQUES OUEST

BUREAU 200

MONTREAL QC H2Y 1S1

Page: 1

Finalisée Date: 15-JUIL-2005

Compte: RESPRO

CERTIFICAT VO05048859

Projet:

Bon de commande #:

Ce rapport s'applique aux 144 échantillons de pulpe soumis à notre laboratoire le Val d'Or, QC, Canada de 21-JUIN-2005.

Les résultats sont transmis à:

YVAN BUSSIERES

PIERRE GEVRY

MARC LAFLECHE

PRÉPARATION ÉCHANTILLONS

CODE ALS

DESCRIPTION

LOG-24

Entrée pulpe - Reçu sans code barre

PUL-31

Pulvérisé à 85 % <75 um

PROCÉDURES ANALYTIQUES

CODE ALS

DESCRIPTION

INSTRUMENT

PGM-ICP23

Pt, Pd et Au 30 g FA ICP

ICP-AES

À: RESSOURCES MINIÈRES PRO-OR INC.

ATTN: PIERRE GEVRY

400 RUE ST-JACQUES OUEST

BUREAU 200

MONTREAL QC H2Y 1S1

Ce rapport est final et remplace tout autre rapport préliminaire portant ce numéro de certificat. Les résultats s'appliquent aux échantillons soumis. Toutes les pages de ce rapport ont été vérifiées et approuvées avant publication.

Signature:



ALS Chemex

EXCELLENCE EN ANALYSE CHIMIQUE

ALS Canada Ltd.

212 Brooksbank Avenue
North Vancouver BC V7J 2C1

Téléphone: 604 984 0221 Télécopieur: 604 984 0218 www.alschemex.com

À: RESSOURCES MINIÈRES PRO-OR INC.
400 RUE ST-JACQUES OUEST
BUREAU 200
MONTREAL QC H2Y 1S1

Page: 2 - A
Nombre Total de Pages: 5 (A)
Finalisée Date: 15-JUIL-2005
Compte: RESPRO

CERTIFICAT D'ANALYSE VO05048859

Description échantillon	Méthode élément unités L.D.	PGM-ICP23	PGM-ICP23	PGM-ICP23
		Au ppm	Pt ppm	Pd ppm
		0.001	0.005	0.001
05-1661		0.001	0.016	0.007
05-1662		0.007	0.077	0.187
05-1663		<0.001	0.060	0.160
05-1664		0.004	0.103	0.297
05-1665		0.004	0.094	0.303
05-1666		0.002	0.053	0.092
05-1667		<0.001	0.096	0.257
05-1668		<0.001	0.019	0.039
05-1669		0.001	0.036	0.090
05-1670		0.002	0.116	0.350
05-1671		0.005	0.093	0.288
05-1672		0.015	0.089	0.364
05-1673		0.010	0.446	1.560
05-1674		0.021	0.305	1.215
05-1675		0.045	0.523	2.18
05-1676		0.006	0.124	0.331
05-1677		0.001	0.023	0.085
05-1678		0.002	0.043	0.058
05-1679		<0.001	<0.005	0.001
05-1680		<0.001	0.011	0.021
05-1681		0.004	0.100	0.269
05-1682		<0.001	0.095	0.336
05-1683		0.008	0.098	0.313
05-1684		0.019	0.494	1.445
05-1685		0.013	0.125	0.606
05-1686		0.060	0.574	2.13
05-1687		0.005	0.109	0.196
05-1688		0.010	0.031	0.063
05-1689		0.006	0.097	0.346
05-1690		0.001	0.021	0.036
05-1691		0.002	0.016	0.048
05-1692		0.001	0.018	0.067
05-1693		<0.001	0.024	0.084
05-1694		0.002	0.024	0.091
05-1695		0.001	0.012	0.021
05-1696		<0.001	0.014	0.019
05-1697		<0.001	0.015	0.037
05-1698		<0.001	0.012	0.028
05-1699		<0.001	0.016	0.016
05-1700		<0.001	0.010	0.017

Commentaire: NSS is non-sufficient sample.



ALS Chemex

EXCELLENCE EN ANALYSE CHIMIQUE

ALS Canada Ltd.

212 Brooksbank Avenue

North Vancouver BC V7J 2C1

Téléphone: 604 984 0221 Télécopieur: 604 984 0218 www.alschemex.com

A: RESSOURCES MINIÈRES PRO-OR INC.

400 RUE ST-JACQUES OUEST

BUREAU 200

MONTREAL QC H2Y 1S1

Page: 3 - A

Nombre Total de Pages: 5, (A)

Finalisée Date: 15-JUIL-2005

Compte: RESPRO

CERTIFICAT D'ANALYSE VO05048859

Description échantillon	Méthode élément unités L.D.	PGM-ICP23	PGM-ICP23	PGM-ICP23
		Au	Pt	Pd
		ppm	ppm	ppm
		0.001	0.005	0.001
05-1701		0.001	0.035	0.018
05-1702		<0.001	0.018	0.022
05-1703		<0.001	0.017	0.002
05-1704		<0.001	<0.005	0.006
05-1705		0.004	0.039	0.078
05-1706		<0.001	0.014	0.001
05-1707		0.001	0.049	0.073
05-1707B		<0.001	<0.005	0.025
05-1708		0.003	0.069	0.213
05-1709		0.002	0.113	0.346
05-1710		<0.001	0.133	0.473
05-1711		<0.001	0.122	0.310
05-1712		<0.001	0.054	0.179
05-1713		<0.001	0.019	0.031
05-1714		<0.001	0.054	0.124
05-1715		<0.001	0.024	0.064
05-1716		<0.001	0.080	0.166
05-1717		<0.001	0.012	0.005
05-1718		<0.001	0.007	0.012
05-1719		<0.001	0.028	0.053
05-1720		0.003	0.033	0.077
05-1721		0.002	0.069	0.197
05-1722		<0.001	0.055	0.116
05-1723		0.002	0.016	0.013
05-1724		<0.001	0.060	0.174
05-1725		<0.001	0.018	0.039
05-1726		0.001	0.030	0.038
05-1727		0.005	0.049	0.192
05-1728		<0.001	0.021	0.035
05-1729		<0.001	0.037	0.065
05-1730		<0.001	0.043	0.095
05-1731		0.010	0.046	0.146
05-1732		0.001	0.046	0.120
05-1733		0.006	0.026	0.091
05-1734		0.005	0.030	0.147
05-1735		0.048	0.131	0.378
05-1736		0.001	0.033	0.095
05-1737		<0.001	0.017	0.012
05-1738		<0.001	0.014	0.007
05-1739		NSS	NSS	NSS

Commentaire: NSS is non-sufficient sample.



ALS Chemex

EXCELLENCE EN ANALYSE CHIMIQUE

ALS Canada Ltd.

212 Brooksbank Avenue
North Vancouver BC V7J 2C1

Téléphone: 604 984 0221 Télécopieur: 604 984 0218 www.alschemex.com

À: RESSOURCES MINIÈRES PRO-OR INC.

400 RUE ST-JACQUES OUEST

BUREAU 200

MONTREAL QC H2Y 1S1

Page: 4 - A

Nombre Total de Pages: 5 (A)

Finalisée Date: 15-JUIL-2005

Compte: RESPRO

CERTIFICAT D'ANALYSE VO05048859

Description échantillon	Méthode élément unités L.D.	PGM-ICP23	PGM-ICP23	PGM-ICP23
		Au	Pt	Pd
		ppm	ppm	ppm
		0.001	0.005	0.001
05-1740		<0.001	0.008	0.026
05-1741		0.001	0.053	0.152
05-1742		0.018	0.054	0.162
05-1743		<0.001	0.008	0.036
05-1744		<0.001	0.008	0.009
05-1745		<0.001	0.012	0.017
05-1746		<0.001	<0.005	0.006
05-1747		0.002	0.052	0.188
05-1748		<0.001	0.044	0.093
05-1749		0.001	0.070	0.207
05-1750		NSS	NSS	NSS
05-1751		0.002	0.089	0.402
05-1752		<0.001	0.014	0.038
05-1753		0.001	0.009	0.052
05-1754		<0.001	0.119	0.406
05-1755		0.002	0.045	0.144
05-1756		0.010	0.084	0.376
05-1757		0.044	0.424	2.13
05-1758		0.022	0.199	0.909
05-1759		<0.001	0.012	0.064
05-1760		<0.001	<0.005	0.015
05-1761		0.002	0.016	0.088
05-1762		<0.001	0.067	0.228
05-1763		<0.001	0.014	0.057
05-1764		<0.001	0.045	0.155
05-1765		0.003	0.020	0.101
05-1766		0.004	0.006	0.142
05-1767		0.003	0.029	0.192
05-1768		0.014	0.084	0.336
05-1769		0.013	0.087	0.432
05-1770		0.001	0.037	0.071
05-1771		<0.001	0.045	0.098
05-1772		<0.001	0.021	0.160
05-1773		0.001	0.017	0.044
05-1774		<0.001	0.023	0.057
05-1775		<0.001	0.047	0.100
05-1776		<0.001	0.182	0.351
05-1777		<0.001	0.054	0.325
05-1778		0.005	0.363	1.450
05-1779		<0.001	0.055	0.205

Commentaire: NSS is non-sufficient sample.



ALS Chemex

EXCELLENCE EN ANALYSE CHIMIQUE

ALS Canada Ltd.

212 Brooksbank Avenue

North Vancouver BC V7J 2C1

Téléphone: 604 984 0221 Télécopieur: 604 984 0218 www.alschemex.com

A: RESSOURCES MINIÈRES PRO-OR INC.

400 RUE ST-JACQUES OUEST

BUREAU 200

MONTREAL QC H2Y 1S1

Page: 5 - A

Nombre Total de Pages: 5. (A)

Finalisée Date: 15-JUIL-2005

Compte: RESPRO

CERTIFICAT D'ANALYSE VO05048859

Description échantillon	Méthode élément unités L.D.	PGM-ICP23	PGM-ICP23	PGM-ICP23
		Au ppm 0.001	Pt ppm 0.005	Pd ppm 0.001
05-1780		<0.001	0.039	0.098
05-1781		0.002	0.021	0.025
05-1782		<0.001	0.005	0.014
05-1783		<0.001	0.032	0.235
05-1784		<0.001	0.026	0.151
05-1785		<0.001	0.048	0.269
05-1786		0.003	0.118	0.484
05-1787		<0.001	0.012	0.119
05-1788		<0.001	0.028	0.049
05-1789		<0.001	0.027	0.079
05-1790		<0.001	<0.005	0.051
05-1791		0.001	0.055	0.185
05-1792		<0.001	<0.005	0.023
05-1793		<0.001	<0.005	0.037
05-1794		<0.001	0.155	0.485
05-1795		0.002	0.085	0.336
05-1796		0.004	0.110	0.674
05-1797		0.024	0.690	3.00
05-1798		0.002	0.019	0.136
05-1799		0.023	0.008	0.061
05-1800		<0.001	0.027	0.060
05-1801		<0.001	0.028	0.070
05-1802		0.011	0.076	0.239
05-1803		0.003	0.109	0.324

Commentaire: NSS is non-sufficient sample.



ALS Chemex

EXCELLENCE EN ANALYSE CHIMIQUE

ALS Canada Ltd.

212 Brooksbank Avenue
North Vancouver BC V7J 2C1

Téléphone: 604 984 0221 Télécopieur: 604 984 0218 www.alschemex.com

À: RESSOURCES MINIÈRES PRO-OR INC.

400 RUE ST-JACQUES OUEST

BUREAU 200

MONTREAL QC H2Y 1S1

Page: 1

Finalisée Date: 29-JUIL-2005

Compte: RESPRO

CERTIFICAT VO05055005

Projet:

Bon de commande #:

Ce rapport s'applique aux 72 échantillons de pulpe soumis à notre laboratoire le Val d'Or, QC, Canada de 8-JUIL-2005.

Les résultats sont transmis à:

YVAN BUSSIERES

PIERRE GEVRY

MARC LAFLÈCHE

PRÉPARATION ÉCHANTILLONS

CODE ALS	DESCRIPTION
LOG-24	Entrée pulpe - Reçu sans code barre
PUL-31	Pulvérisé à 85 % <75 um

PROCÉDURES ANALYTIQUES

CODE ALS	DESCRIPTION	INSTRUMENT
PGM-ICP23	Pt, Pd et Au 30 g FA ICP	ICP-AES

À: RESSOURCES MINIÈRES PRO-OR INC.

ATTN: PIERRE GEVRY

400 RUE ST-JACQUES OUEST

BUREAU 200

MONTREAL QC H2Y 1S1

Ce rapport est final et remplace tout autre rapport préliminaire portant ce numéro de certificat. Les résultats s'appliquent aux échantillons soumis. Toutes les pages de ce rapport ont été vérifiées et approuvées avant publication.

Signature:



ALS Chemex

EXCELLENCE EN ANALYSE CHIMIQUE

ALS Canada Ltd.

212 Brooksbank Avenue
North Vancouver BC V7J 2C1

Téléphone: 604 984 0221 Télécopieur: 604 984 0218 www.alschemex.com

À: RESSOURCES MINIÈRES PRO-OR INC.

400 RUE ST-JACQUES OUEST

BUREAU 200

MONTREAL QC H2Y 1S1

Page: 2 - A

Nombre Total de Pages: 3 (A)

Finalisée Date: 29-JUIL-2005

Compte: RESPRO

CERTIFICAT D'ANALYSE VO05055005

Description échantillon	Méthode élément unités L.D.	PGM-ICP23	PGM-ICP23	PGM-ICP23
		Au ppm 0.001	Pt ppm 0.005	Pd ppm 0.001
05-1804		NSS	NSS	NSS
05-1805		0.002	<0.005	0.114
05-1806		0.005	0.023	0.072
05-1807		0.004	0.072	0.226
05-1808		0.008	0.016	0.061
05-1809		0.002	0.016	0.056
05-1810		0.061	0.225	0.852 ✓
05-1811		0.010	0.130	0.546
05-1812		0.019	0.119	0.670
05-1813		0.046	0.355	1.565 ✓
05-1813B		0.010	0.140	0.851
05-1814		0.007	0.168	0.848
05-1814B		0.011	0.123	0.787
05-1815		0.008	0.340	1.870 ✓
05-1815B		0.010	0.345	1.885 ✓
05-1816		0.006	0.068	0.210
05-1816B		0.004	0.071	0.215
05-1817		0.013	0.014	0.048
05-1817B		0.015	0.015	0.046
05-1818		<0.001	0.033	0.172
05-1818B		0.001	0.044	0.175
05-1819		<0.001	0.009	0.041
05-1819B		0.001	<0.005	0.044
05-1820		0.002	0.106	0.427
05-1821		0.001	<0.005	0.043
05-1822		<0.001	0.043	0.150
05-1823		<0.001	0.062	0.205
05-1824		0.002	0.047	0.186
05-1825		0.001	0.012	0.031
05-1826		0.001	0.014	0.069
05-1827		0.007	0.112	0.517
05-1828		0.001	0.024	0.074
05-1829		0.001	0.026	0.090
05-1830		0.001	0.027	0.075
05-1831		0.001	0.077	0.251
05-1832		<0.001	0.010	0.048
05-1833		0.001	0.032	0.108
05-1834		0.003	0.085	0.310
05-1835		0.001	0.018	0.052
05-1836		<0.001	0.018	0.043

Commentaire: NSS is non-sufficient sample.



ALS Chemex

EXCELLENCE EN ANALYSE CHIMIQUE

ALS Canada Ltd.

212 Brooksbank Avenue
North Vancouver BC V7J 2C1

Téléphone: 604 984 0221 Télécopieur: 604 984 0218 www.alschemex.com

À: RESSOURCES MINIÈRES PRO-OR INC.

400 RUE ST-JACQUES OUEST

BUREAU 200

MONTREAL QC H2Y 1S1

Page: 3 - A

Nombre Total de Pages: 3 (A)

Finalisée Date: 29-JUIL-2005

Compte: RESPRO

CERTIFICAT D'ANALYSE VO05055005

Description échantillon	Méthode élément unités L.D.	PGM-ICP23	PGM-ICP23	PGM-ICP23
		Au ppm 0.001	Pt ppm 0.005	Pd ppm 0.001
05-1837		0.001	0.135	0.495
05-1838		0.017	0.230	1.110 ✓
05-1839		0.012	0.214	0.932
05-1840		0.003	0.028	0.118
05-1841		0.010	0.154	0.600
05-1842		0.016	0.120	0.492
05-1843		0.010	0.130	0.731
05-1844		0.012	0.264	1.125 ✓
05-1845		0.011	0.230	0.797
05-1846		0.013	0.178	1.215 ✓
05-1847		0.016	0.277	1.205 ✓
05-1848		0.045	0.744	2.56 ✓
05-1849		0.013	0.120	0.370
05-1850		<0.001	0.034	0.074
05-1851		<0.001	0.024	0.054
05-1852		0.008	0.016	0.059
05-1853		0.008	0.063	0.273
05-1854		0.001	0.061	0.153
05-1855		0.014	0.079	0.267
05-1856		0.007	0.186	0.499
05-1857		NSS	NSS	NSS
05-1858		0.003	0.028	0.089
05-1859		<0.001	0.087	0.204
05-1860		0.001	0.018	0.035
05-1861		0.032	0.119	0.397
05-1862		0.015	0.153	0.408
05-1863		0.063	0.275	1.295 ✓
05-1864		0.029	0.191	0.883
05-1865		0.082	0.562	2.38 ✓
05-1866		0.007	0.076	0.201
05-1867		0.001	0.014	0.031
05-1868		<0.001	0.008	0.005

Commentaire: NSS is non-sufficient sample.



ALS Chemex

EXCELLENCE EN ANALYSE CHIMIQUE

ALS Canada Ltd.

212 Brooksbank Avenue
North Vancouver BC V7J 2C1

Téléphone: 604 984 0221 Télécopieur: 604 984 0218 www.alschemex.com

À: RESSOURCES MINIÈRES PRO-OR INC.
400 RUE ST-JACQUES OUEST
BUREAU 200
MONTREAL QC H2Y 1S1

Page: 1
Finalisée Date: 12-AOUT-2005
Compte: RESPRO

CERTIFICAT VO05062241

Projet:

Bon de commande #:

Ce rapport s'applique aux 72 échantillons de pulpe soumis à notre laboratoire le Val d'Or, QC, Canada de 29-JUIL-2005.

Les résultats sont transmis à:

YVAN BUSSIERES
M. ST-JACQUES

PIERRE GEVRY

MARC LAFLÈCHE

PRÉPARATION ÉCHANTILLONS

CODE ALS	DESCRIPTION
LOG-24	Entrée pulpe - Reçu sans code barre
PUL-31	Pulvérisé à 85 % <75 um

PROCÉDURES ANALYTIQUES

CODE ALS	DESCRIPTION	INSTRUMENT
PGM-ICP23	Pt, Pd et Au 30 g FA ICP	ICP-AES

À: RESSOURCES MINIÈRES PRO-OR INC.
ATTN: PIERRE GEVRY
400 RUE ST-JACQUES OUEST
BUREAU 200
MONTREAL QC H2Y 1S1

Ce rapport est final et remplace tout autre rapport préliminaire portant ce numéro de certificat. Les résultats s'appliquent aux échantillons soumis. Toutes les pages de ce rapport ont été vérifiées et approuvées avant publication.

Signature:



ALS Chemex

EXCELLENCE EN ANALYSE CHIMIQUE

ALS Canada Ltd.

212 Brooksbank Avenue
North Vancouver BC V7J 2C1

Téléphone: 604 984 0221 Télécopieur: 604 984 0218 www.alschemex.com

À: RESSOURCES MINIÈRES PRO-OR INC.

400 RUE ST-JACQUES OUEST

BUREAU 200

MONTREAL QC H2Y 1S1

Page: 2 - A

Nombre Total de Pages: 3 (A)

Finalisée Date: 12-AOUT-2005

Compte: RESPRO

CERTIFICAT D'ANALYSE VO05062241

Description échantillon	Méthode élément unités L.D.	PGM-ICP23	PGM-ICP23	PGM-ICP23
		Au	Pt	Pd
		ppm	ppm	ppm
		0.001	0.005	0.001
05-1869		<0.001	0.027	0.008
05-1870		0.004	0.057	0.207
05-1871		0.004	0.059	0.200
05-1872		0.007	0.134	0.485
05-1873		0.003	0.039	0.066
05-1874		0.001	0.040	0.095
05-1875		0.006	0.070	0.156
05-1876		<0.001	0.019	0.029
05-1877		NSS	NSS	NSS
05-1878		0.032	0.105	0.643
05-1879		0.037	0.419	1.705
05-1880		0.020	0.165	0.763
05-1881		NSS	NSS	NSS
05-1882		0.007	0.078	0.232
05-1883		<0.001	0.027	0.055
05-1883B		<0.001	0.043	0.098
05-1884		<0.001	0.014	0.008
05-1885		<0.001	0.030	0.058
05-1886		0.003	0.067	0.183
05-1887		0.001	0.009	0.003
05-1888		0.013	0.071	0.225
05-1889		NSS	NSS	NSS
05-1890		<0.001	0.014	0.004
05-1891		<0.001	<0.005	0.004
05-1892		<0.001	0.013	0.038
05-1893		<0.001	0.020	0.049
05-1894		<0.001	0.103	0.284
05-1895		NSS	NSS	NSS
05-1896		0.003	0.267	0.962
05-1897		0.016	0.157	0.811
05-1898		0.039	0.621	2.35
05-1899		0.033	0.054	0.098
05-1900		0.005	0.017	0.030
05-1901		NSS	NSS	NSS
05-1902		<0.001	0.027	0.130
05-1903		<0.001	<0.005	0.005
05-1904		NSS	NSS	NSS
05-1905		<0.001	0.059	0.172
05-1906		<0.001	0.092	0.229
05-1907		0.002	0.056	0.160

Commentaire: NSS is non-sufficient sample.



ALS Chemex

EXCELLENCE EN ANALYSE CHIMIQUE

ALS Canada Ltd.

212 Brooksbank Avenue
North Vancouver BC V7J 2C1

Téléphone: 604 984 0221 Télécopieur: 604 984 0218 www.alschemex.com

À: RESSOURCES MINIÈRES PRO-OR INC.
400 RUE ST-JACQUES OUEST
BUREAU 200
MONTREAL QC H2Y 1S1

Page: 3 - A
Nombre Total de Pages: 3 (A)
Finalisée Date: 12-AOUT-2005
Compte: RESPRO

CERTIFICAT D'ANALYSE VO05062241

Description échantillon	Méthode élément unités L.D.	PGM-ICP23	PGM-ICP23	PGM-ICP23
		Au ppm 0.001	Pt ppm 0.005	Pd ppm 0.001
05-1908		<0.001	0.070	0.198
05-1909		<0.001	0.049	0.188
05-1910		<0.001	0.050	0.099
05-1911		<0.001	0.082	0.236
05-1912		<0.001	0.009	0.068
05-1913		<0.001	0.022	0.067
05-1915		<0.001	0.137	0.407
05-1916		NSS	NSS	NSS
05-1917		0.001	0.257	0.711
05-1918		<0.001	0.043	0.081
05-1919		<0.001	0.016	0.010
05-1920		<0.001	0.013	0.019
05-1921		<0.001	0.139	0.537
05-1922		NSS	NSS	NSS
05-1923		<0.001	0.019	0.093
05-1924		<0.001	0.009	0.044
05-1925		<0.001	0.026	0.088
05-1926		NSS	NSS	NSS
05-1927		NSS	NSS	NSS
05-1928		NSS	NSS	NSS
05-1929		0.002	0.188	0.931
05-1930		0.016	0.498	1.725
05-1931		<0.001	0.071	0.259
05-1932		<0.001	0.020	0.060
05-1933		0.001	<0.005	0.020
05-1934		0.001	0.089	0.302
05-1935		NSS	NSS	NSS
05-1936		NSS	NSS	NSS
05-1937		0.001	0.094	0.310
05-1938		<0.001	0.106	0.347
05-1939		0.001	0.033	0.113
05-1940		<0.001	0.021	0.087

Commentaire: NSS is non-sufficient sample.



ALS Chemex

EXCELLENCE EN ANALYSE CHIMIQUE

ALS Canada Ltd.

212 Brooksbank Avenue

North Vancouver BC V7J 2C1

Téléphone: 604 984 0221 Télécopieur: 604 984 0218 www.alschemex.com

À: RESSOURCES MINIÈRES PRO-OR INC.

400 RUE ST-JACQUES OUEST

BUREAU 200

MONTREAL QC H2Y 1S1

Page:

Finalisée Date: 16-AOUT-2005

Compte: RESPRO

CERTIFICAT VO05063547

Projet:

Bon de commande #:

Ce rapport s'applique aux 72 échantillons de pulpe soumis à notre laboratoire le Val d'Or, QC, Canada de 3-AOUT-2005.

Les résultats sont transmis à:

YVAN BUSSIERES

PIERRE GEVRY

MARC LAFLÈCHE

PRÉPARATION ÉCHANTILLONS

CODE ALS

DESCRIPTION

LOG-24

Entrée pulpe - Reçu sans code barre

PUL-31

Pulvérisé à 85 % <75 um

PROCÉDURES ANALYTIQUES

CODE ALS

DESCRIPTION

INSTRUMENT

PGM-ICP23

Pt, Pd et Au 30 g FA ICP

ICP-AES

À: RESSOURCES MINIÈRES PRO-OR INC.

ATTN: PIERRE GEVRY

400 RUE ST-JACQUES OUEST

BUREAU 200

MONTREAL QC H2Y 1S1

Ce rapport est final et remplace tout autre rapport préliminaire portant ce numéro de certificat. Les résultats s'appliquent aux échantillons soumis. Toutes les pages de ce rapport ont été vérifiées et approuvées avant publication.

Signature:



ALS Chemex

EXCELLENCE EN ANALYSE CHIMIQUE

ALS Canada Ltd.

212 Brooksbank Avenue
North Vancouver BC V7J 2C1

Téléphone: 604 984 0221 Télécopieur: 604 984 0218 www.alschemex.com

À: RESSOURCES MINIÈRES PRO-OR INC.

400 RUE ST-JACQUES OUEST

BUREAU 200

MONTREAL QC H2Y 1S1

Page: 2 - A

Nombre Total de Pages: 3 (A)

Finalisée Date: 16-AOUT-2005

Compte: RESPRO

CERTIFICAT D'ANALYSE VO05063547

Description échantillon	Méthode élément unités L.D.	PGM-ICP23	PGM-ICP23	PGM-ICP23
		Au ppm 0.001	Pt ppm 0.005	Pd ppm 0.001
05-1941		0.067	0.007	0.154
05-1942		<0.001	0.050	0.360
05-1943		NSS	NSS	NSS
05-1944		0.025	0.069	0.337
05-1945		0.005	0.057	0.325
05-1946		0.015	0.535	1.870
05-1947		0.016	0.106	0.666
05-1948		0.013	0.387	1.615
05-1949		<0.001	0.065	0.518
05-1950		0.058	0.154	0.943
05-1951		0.003	0.441	2.01
05-1952		0.010	0.323	1.430
05-1953		0.006	0.271	0.974
05-1954		0.004	0.034	0.075
05-1955		0.001	0.019	0.056
05-1956		<0.001	0.031	0.310
05-1957		0.001	0.035	0.259
05-1958		<0.001	0.027	0.173
05-1959		0.005	0.018	0.246
05-1960		0.003	0.104	0.527
05-1961		<0.001	<0.005	0.105
05-1962		<0.001	<0.005	0.094
05-1963		0.004	0.042	0.120
05-1964		<0.001	0.007	0.033
05-1965		0.001	0.020	0.083
05-1966		0.004	0.179	0.679
05-1967		<0.001	0.040	0.248
05-1968		0.023	0.480	1.760
05-1969		<0.001	0.036	0.213
05-1970		0.001	0.138	0.688
05-1971		0.019	0.474	1.965
05-1972		0.001	0.039	0.191
05-1973		<0.001	<0.005	0.009
05-1974		<0.001	0.009	0.058
05-1975		<0.001	0.022	0.116
05-1976		<0.001	0.046	0.212
05-1977		<0.001	0.021	0.108
05-1978		0.008	0.122	0.532
05-1979		<0.001	0.025	0.107
05-1980		<0.001	0.023	0.078

Commentaire: NSS is non-sufficient sample.



ALS Chemex

EXCELLENCE EN ANALYSE CHIMIQUE

ALS Canada Ltd.

212 Brooksbank Avenue
North Vancouver BC V7J 2C1

Téléphone: 604 984 0221 Télécopieur: 604 984 0218 www.alschemex.com

À: RESSOURCES MINIÈRES PRO-OR INC.
400 RUE ST-JACQUES OUEST
BUREAU 200
MONTREAL QC H2Y 1S1

Page: 3 - A
Nombre Total de Pages: 3 - (A)
Finalisée Date: 16-AOUT-2005
Compte: RESPRO

CERTIFICAT D'ANALYSE VO05063547

Description échantillon	Méthode élément unités L.D.	PGM-ICP23	PGM-ICP23	PGM-ICP23
		Au ppm	Pt ppm	Pd ppm
		0.001	0.005	0.001
05-1981		0.001	0.081	0.275
05-1982		0.001	0.013	0.049
05-1983		<0.001	0.007	0.038
05-1984		0.011	0.130	0.400
05-1985		<0.001	0.079	0.225
05-1986		0.009	0.303	1.245
05-1987		0.006	0.183	0.789
05-1988		0.040	0.458	1.765
05-1989		0.002	<0.005	0.017
05-1990		<0.001	<0.005	0.025
05-1991		0.013	0.008	0.020
05-1992		0.003	<0.005	0.037
05-1993		<0.001	0.029	0.138
05-1994		<0.001	0.056	0.244
05-1995		NSS	NSS	NSS
05-1996		0.001	0.033	0.115
05-1997		<0.001	0.116	0.480
05-1998		0.001	0.206	0.921
05-1999		<0.001	0.164	0.715
05-2000		0.004	0.338	1.230
05-2001		0.001	0.208	1.010
05-2002		0.008	0.757	2.35
05-2003		<0.001	0.015	0.079
05-2004		<0.001	0.013	0.085
05-2005		<0.001	0.026	0.152
05-2006		<0.001	0.024	0.061
05-2007		<0.001	0.039	0.132
05-2008		<0.001	<0.005	0.059
05-2009		<0.001	0.076	0.386
05-2010		0.003	0.130	0.493
05-2011		<0.001	0.063	0.231
05-2012		<0.001	0.030	0.076

Commentaire: NSS is non-sufficient sample.



ALS Chemex

EXCELLENCE EN ANALYSE CHIMIQUE

ALS Canada Ltd.

212 Brooksbank Avenue

North Vancouver BC V7J 2C1

Téléphone: 604 984 0221 Télécopieur: 604 984 0218 www.alschemex.com

À: RESSOURCES MINIÈRES PRO-OR INC.

400 RUE ST-JACQUES OUEST

BUREAU 200

MONTREAL QC H2Y 1S1

Page: 1

Finalisée Date: 19-SEPT-2005

Compte: RESPRO

CERTIFICAT VO05075198

Projet:

Bon de commande #:

Ce rapport s'applique aux 10 échantillons de pulpe soumis à notre laboratoire le Val d'Or, QC, Canada de 7-SEPT-2005.

Les résultats sont transmis à:

YVAN BUSSIERES
M. ST-JACQUES

PIERRE GEVRY

MARC LAFLÈCHE

PRÉPARATION ÉCHANTILLONS

CODE ALS	DESCRIPTION
PUL-31	Pulvérisé à 85 % <75 um
LOG-24	Entrée pulpe - Reçu sans code barre

PROCÉDURES ANALYTIQUES

CODE ALS	DESCRIPTION	INSTRUMENT
PGM-ICP23	Pt, Pd et Au 30 g FA ICP	ICP-AES

À: RESSOURCES MINIÈRES PRO-OR INC.

ATTN: PIERRE GEVRY

400 RUE ST-JACQUES OUEST

BUREAU 200

MONTREAL QC H2Y 1S1

Ce rapport est final et remplace tout autre rapport préliminaire portant ce numéro de certificat. Les résultats s'appliquent aux échantillons soumis. Toutes les pages de ce rapport ont été vérifiées et approuvées avant publication.

Signature:



ALS Chemex

EXCELLENCE EN ANALYSE CHIMIQUE

ALS Canada Ltd.

212 Brooksbank Avenue
North Vancouver BC V7J 2C1

Téléphone: 604 984 0221 Télécopieur: 604 984 0218 www.alschemex.com

À: RESSOURCES MINIÈRES PRO-OR INC.
400 RUE ST-JACQUES OUEST
BUREAU 200
MONTREAL QC H2Y 1S1

Page: 2 - A
Nombre Total de Pages: 2 (A)
Finalisée Date: 19-SEPT-2005
Compte: RESPRO

CERTIFICAT D'ANALYSE VO05075198

Description échantillon	Méthode élément unités L.D.	PGM-ICP23	PGM-ICP23	PGM-ICP23
		Au ppm 0.001	Pt ppm 0.005	Pd ppm 0.001
05-1895		0.009	0.040	0.225
05-1915		0.008	0.084	0.368
05-1940		0.001	0.011	0.054
05-2020		NSS	NSS	NSS
05-2034		NSS	NSS	NSS
05-2041		0.006	0.360	1.370
05-2042		0.009	0.303	0.933
05-2049		0.010	0.190	0.642
05-2058		0.002	0.045	0.150
05-2062		0.001	0.010	0.038

Commentaire: NSS is non-sufficient sample.



ALS Chemex

EXCELLENCE EN ANALYSE CHIMIQUE

ALS Canada Ltd.

212 Brooksbank Avenue

North Vancouver BC V7J 2C1

Téléphone: 604 984 0221 Télécopieur: 604 984 0218 www.alschemex.com

À: RESSOURCES MINIÈRES PRO-OR INC.

400 RUE ST-JACQUES OUEST

BUREAU 200

MONTREAL QC H2Y 1S1

Page: 1

Finalisée Date: 26-AOUT-2005

Compte: RESPRO

CERTIFICAT VO05065940

Projet:

Bon de commande #:

Ce rapport s'applique aux 111 échantillons de pulpe soumis à notre laboratoire le Val d'Or, QC, Canada de 12-AOUT-2005.

Les résultats sont transmis à:

YVAN BUSSIERES
M. ST-JACQUES

PIERRE GEVRY

MARC LAFLÈCHE

PRÉPARATION ÉCHANTILLONS

CODE ALS	DESCRIPTION
PUL-31	Pulvérisé à 85 % <75 um
LOG-24	Entrée pulpe - Reçu sans code barre

PROCÉDURES ANALYTIQUES

CODE ALS	DESCRIPTION	INSTRUMENT
PGM-ICP23	Pt, Pd et Au 30 g FA ICP	ICP-AES

À: RESSOURCES MINIÈRES PRO-OR INC.
ATTN: PIERRE GEVRY
400 RUE ST-JACQUES OUEST
BUREAU 200
MONTREAL QC H2Y 1S1

Ce rapport est final et remplace tout autre rapport préliminaire portant ce numéro de certificat. Les résultats s'appliquent aux échantillons soumis. Toutes les pages de ce rapport ont été vérifiées et approuvées avant publication.

Signature:



ALS Chemex

EXCELLENCE EN ANALYSE CHIMIQUE

ALS Canada Ltd.

212 Brooksbank Avenue
North Vancouver BC V7J 2C1

Téléphone: 604 984 0221 Télécopieur: 604 984 0218 www.alschemex.com

À: RESSOURCES MINIÈRES PRO-OR INC.
400 RUE ST-JACQUES OUEST
BUREAU 200
MONTREAL QC H2Y 1S1

Page: 2 - A
Nombre Total de Pages: 4 (A)
Finalisée Date: 26-AOÛT-2005
Compte: RESPRO

CERTIFICAT D'ANALYSE VO05065940

Description échantillon	Méthode élément unités L.D.	PGM-ICP23	PGM-ICP23	PGM-ICP23
		Au ppm 0.001	Pt ppm 0.005	Pd ppm 0.001
05-2013		<0.001	0.039	0.084
05-2014		<0.001	0.089	0.241
05-2015		<0.001	0.015	0.061
05-2016		<0.001	0.027	0.063
05-2017		<0.001	0.121	0.424
05-2018		<0.001	0.145	0.529
05-2019		0.001	0.250	1.200
05-2020		NSS	NSS	NSS
05-2021		<0.001	0.217	1.025
05-2022		0.001	0.039	0.095
05-2023		<0.001	0.028	0.045
05-2024		0.002	0.055	0.111
05-2025		<0.001	0.165	0.332
05-2026		<0.001	0.056	0.177
05-2027		<0.001	<0.005	0.017
05-2028		<0.001	0.013	0.008
05-2029		<0.001	0.016	0.049
05-2030		<0.001	0.049	0.092
05-2031		<0.001	0.062	0.252
05-2032		<0.001	0.075	0.219
05-2033		<0.001	0.102	0.374
05-2034		NSS	NSS	NSS
05-2035		<0.001	0.024	0.105
05-2036		<0.001	0.044	0.094
05-2037		<0.001	0.104	0.274
05-2038		0.012	0.017	0.130
05-2039		<0.001	0.131	0.601
05-2040		0.002	0.244	1.025
05-2041		NSS	NSS	NSS
05-2042		NSS	NSS	NSS
05-2043		<0.001	0.091	0.287
05-2044		<0.001	0.041	0.067
05-2045		<0.001	0.028	0.096
05-2046		<0.001	0.055	0.166
05-2047		<0.001	0.090	0.195
05-2048		<0.001	0.071	0.207
05-2049		NSS	NSS	NSS
05-2050		<0.001	0.038	0.086
05-2051		<0.001	0.041	0.093
05-2052		<0.001	0.075	0.242

Commentaire: Sample no# 05-2110 open in transport. Loss of approx. 25-30gr. NSS is non-sufficient sample.



ALS Chemex

EXCELLENCE EN ANALYSE CHIMIQUE

ALS Canada Ltd.

212 Brooksbank Avenue

North Vancouver BC V7J 2C1

Téléphone: 604 984 0221 Télécopieur: 604 984 0218 www.alschemex.com

À: RESSOURCES MINIÈRES PRO-OR INC.

400 RUE ST-JACQUES OUEST

BUREAU 200

MONTREAL QC H2Y 1S1

Page: 3 - A

Nombre Total de Pages: 4 (A)

Finalisée Date: 26-AOÛT-2005

Compte: RESPRO

CERTIFICAT D'ANALYSE VO05065940

Description échantillon	Méthode élément unités L.D.	PGM-ICP23	PGM-ICP23	PGM-ICP23
		Au ppm 0.001	Pt ppm 0.005	Pd ppm 0.001
05-2053		<0.001	0.028	0.113
05-2054		0.386	0.203	0.628
05-2055		<0.001	0.163	0.693
05-2056		0.005	0.046	0.120
05-2057		<0.001	0.022	0.032
05-2058		NSS	NSS	NSS
05-2059		<0.001	0.071	0.217
05-2060		<0.001	0.061	0.230
05-2061		<0.001	0.058	0.298
05-2062		NSS	NSS	NSS
05-2063		<0.001	0.039	0.097
05-2064		<0.001	0.037	0.116
05-2065		<0.001	0.063	0.119
05-2066		<0.001	0.039	0.045
05-2067		<0.001	0.065	0.288
05-2068		0.001	0.015	0.058
05-2069		<0.001	0.214	0.908
05-2070		<0.001	0.028	0.116
05-2071		<0.001	0.124	0.450
05-2072		0.025	0.429	1.575
05-2073		<0.001	0.289	1.185
05-2074		0.002	0.186	0.672
05-2075		0.002	0.074	0.194
05-2076		<0.001	0.013	0.003
05-2077		0.003	0.022	0.015
05-2078		<0.001	0.028	0.033
05-2079		<0.001	0.071	0.251
05-2080		<0.001	0.172	0.565
05-2081		<0.001	0.072	0.240
05-2082		<0.001	0.016	0.064
05-2083		<0.001	0.034	0.109
05-2084		<0.001	0.051	0.155
05-2085		<0.001	0.017	0.021
05-2086		<0.001	0.086	0.192
05-2087		<0.001	0.021	0.020
05-2088		<0.001	0.027	0.044
05-2089		<0.001	0.019	0.080
05-2090		<0.001	0.094	0.338
05-2091		<0.001	0.112	0.438
05-2092		<0.001	0.318	1.130

Commentaire: Sample no# 05-2110 open in transport. Loss of approx. 25-30gr. NSS is non-sufficient sample.



ALS Chemex

EXCELLENCE EN ANALYSE CHIMIQUE

ALS Canada Ltd.

212 Brooksbank Avenue

North Vancouver BC V7J 2C1

Téléphone: 604 984 0221 Télécopieur: 604 984 0218 www.alschemex.com

À: RESSOURCES MINIÈRES PRO-OR INC.

400 RUE ST-JACQUES OUEST

BUREAU 200

MONTREAL QC H2Y 1S1

Page: 4 - A

Nombre Total de Pages: 4. (A)

Finalisée Date: 26-AOÛT-2005

Compte: RESPRO

CERTIFICAT D'ANALYSE VO05065940

Description échantillon	Méthode élément unités L.D.	PGM-ICP23	PGM-ICP23	PGM-ICP23
		Au	Pt	Pd
		ppm	ppm	ppm
		0.001	0.005	0.001
05-2093		<0.001	0.146	0.654
05-2094		0.001	0.233	1.035
05-2095		0.001	0.285	1.270
05-2096		<0.001	0.012	0.016
05-2097		0.001	0.250	1.040
05-2098		0.002	0.103	0.322
05-2099		<0.001	0.039	0.120
05-2100		0.004	0.043	0.225
05-2101		0.002	0.031	0.125
05-2102		0.004	0.074	0.253
05-2103		<0.001	0.046	0.138
05-2104		0.088	0.112	0.381
05-2105		0.067	0.128	0.458
05-2106		<0.001	0.028	0.078
05-2107		0.017	0.097	0.289
05-2108		0.099	0.175	0.664
05-2109		0.002	0.041	0.088
05-2110		0.004	0.103	0.347
05-2111		0.002	0.034	0.103
05-2112		0.097	0.132	0.445
05-2113		0.011	0.067	0.223
05-2114		0.011	0.143	0.508
05-2115		0.019	0.293	0.907
05-2116		0.171	0.389	1.290
05-2117		0.014	0.124	0.669
05-2118		0.016	0.174	0.885
05-2119		0.023	0.359	1.480
05-2120		0.009	0.193	0.908
05-2121		0.031	0.511	2.13
05-2122		0.012	0.202	0.626
05-2123		0.003	0.030	0.072

Commentaire: Sample no# 05-2110 open in transport. Loss of approx. 25-30gr. NSS is non-sufficient sample.



ALS Chemex

EXCELLENCE EN ANALYSE CHIMIQUE

ALS Canada Ltd.

212 Brooksbank Avenue
North Vancouver BC V7J 2C1

Téléphone: 604 984 0221 Télécopieur: 604 984 0218 www.alschemex.com

À: RESSOURCES MINIÈRES PRO-OR INC.
400 RUE ST-JACQUES OUEST
BUREAU 200
MONTREAL QC H2Y 1S1

Page: 1
Finalisée Date: 2-SEPT-2005
Compte: RESPRO

CERTIFICAT VO05069533

Projet:

Bon de commande #:

Ce rapport s'applique aux 20 échantillons de pulpe soumis à notre laboratoire le Val d'Or, QC, Canada de 19-AOUT-2005.

Les résultats sont transmis à:

YVAN BUSSIERES
M. ST-JACQUES

PIERRE GEVRY

MARC LAFLÈCHE

PRÉPARATION ÉCHANTILLONS

CODE ALS	DESCRIPTION
LOG-24	Entrée pulpe - Reçu sans code barre
PUL-31	Pulvérisé à 85 % <75 um

PROCÉDURES ANALYTIQUES

CODE ALS	DESCRIPTION	INSTRUMENT
PGM-ICP23	Pt, Pd et Au 30 g FA ICP	ICP-AES

À: RESSOURCES MINIÈRES PRO-OR INC.
ATTN: PIERRE GEVRY
400 RUE ST-JACQUES OUEST
BUREAU 200
MONTREAL QC H2Y 1S1

Ce rapport est final et remplace tout autre rapport préliminaire portant ce numéro de certificat. Les résultats s'appliquent aux échantillons soumis. Toutes les pages de ce rapport ont été vérifiées et approuvées avant publication.

Signature:



ALS Chemex

EXCELLENCE EN ANALYSE CHIMIQUE

ALS Canada Ltd.

212 Brooksbank Avenue
North Vancouver BC V7J 2C1

Téléphone: 604 984 0221 Télécopieur: 604 984 0218 www.alschemex.com

À: RESSOURCES MINIÈRES PRO-OR INC.
400 RUE ST-JACQUES OUEST
BUREAU 200
MONTREAL QC H2Y 1S1

Page: 2 - A
Nombre Total de Pages: 2, (A)
Finalisée Date: 2-SEPT-2005
Compte: RESPRO

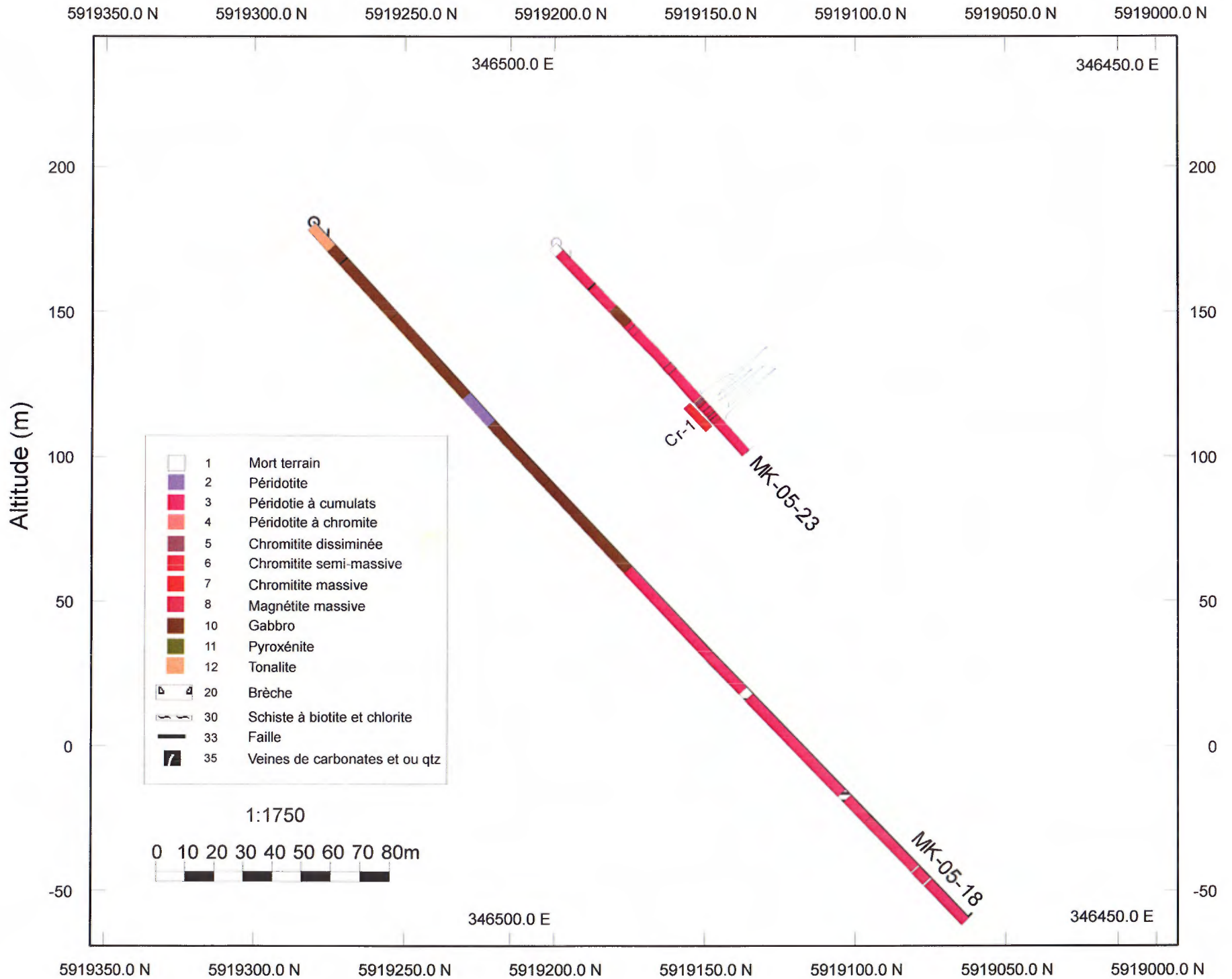
CERTIFICAT D'ANALYSE VO05069533

Description échantillon	Méthode élément unités L.D.	PGM-ICP23	PGM-ICP23	PGM-ICP23
		Au	Pt	Pd
		ppm	ppm	ppm
05-1739		0.024	0.009	0.150
05-1750		<0.001	<0.005	0.029
05-1804		0.007	0.127	0.473
05-1857		0.002	0.028	0.111
05-1877		0.007	0.088	0.220
05-1881		0.053	0.468	1.905
05-1889		<0.001	<0.005	0.047
05-1901		0.002	0.015	0.042
05-1904		<0.001	0.168	0.484
05-1915		NSS	NSS	NSS
05-1921		<0.001	0.149	0.556
05-1925		0.003	0.035	0.116
05-1926		0.005	0.176	0.591
05-1927		0.010	0.218	0.916
05-1934		0.002	0.111	0.332
05-1935		0.005	0.074	0.263
05-1943		<0.001	0.030	0.089
05-1995		0.003	0.162	0.540

Commentaire: NSS is non-sufficient sample.

ANNEXE IV SECTIONS DE FORAGE

Sondages MK-05-18 et MK-05-23



Sondage MK-05-24

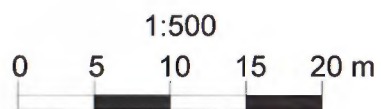
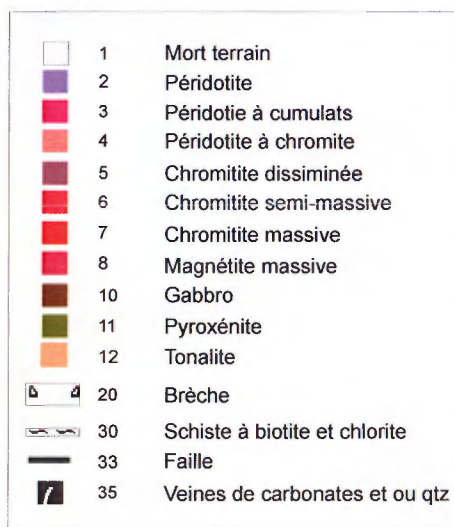
5919200.0 N

5919150.0 N

Altitude (m)

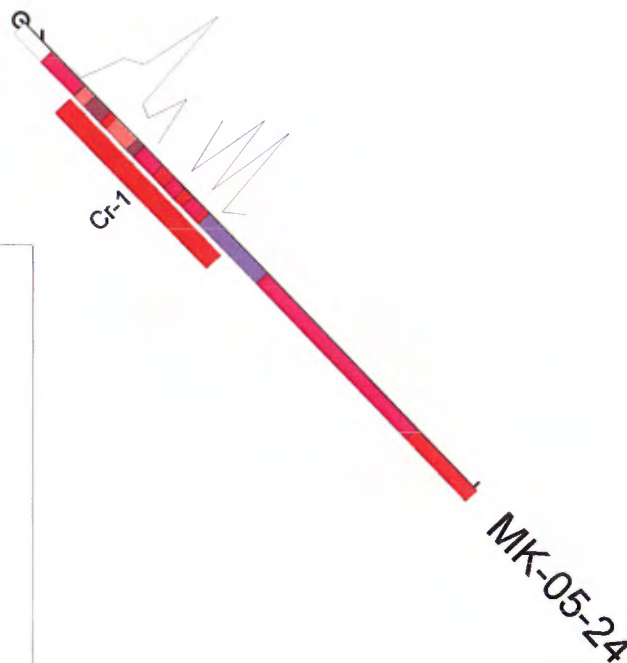
150 m

150 m

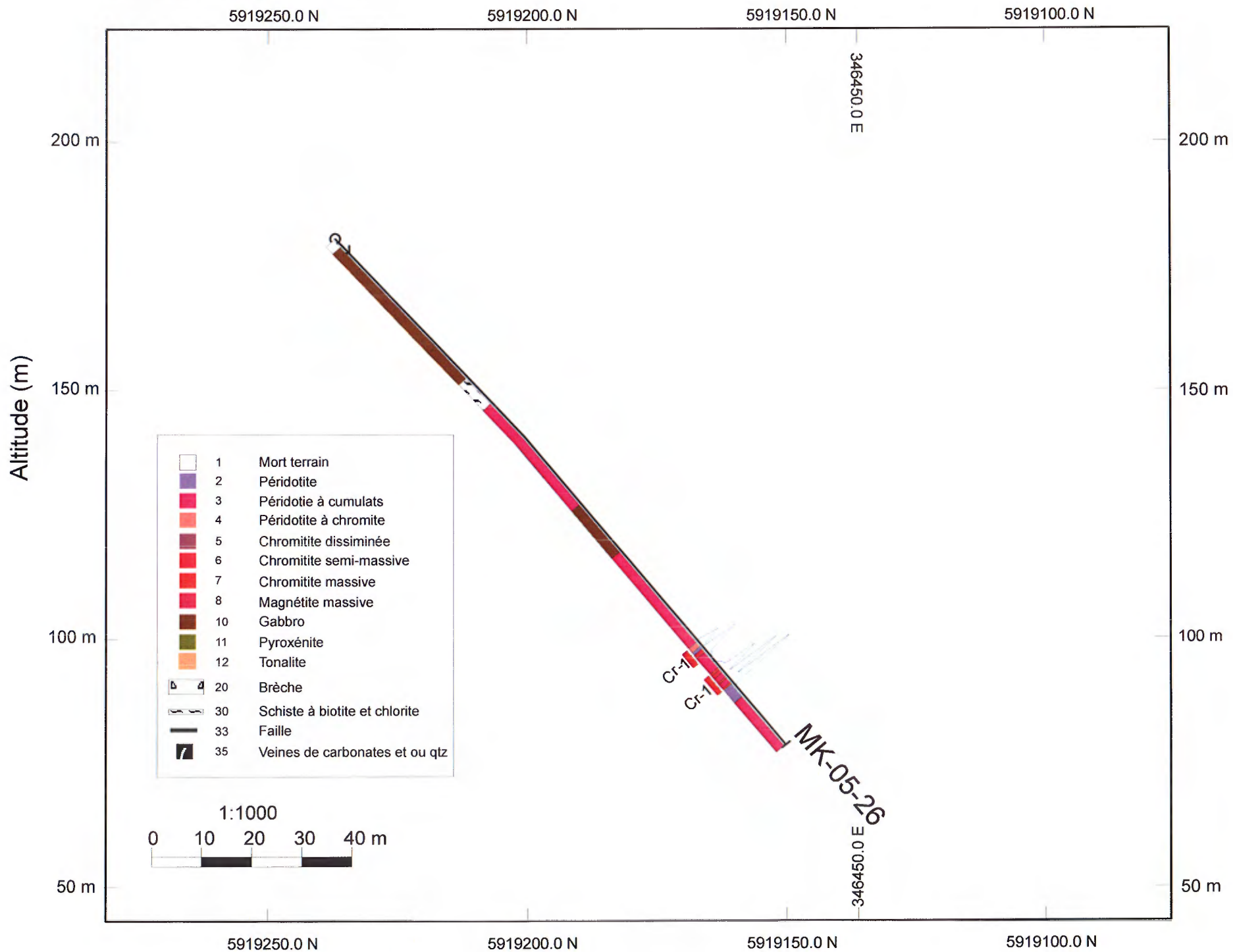


5919200.0 N

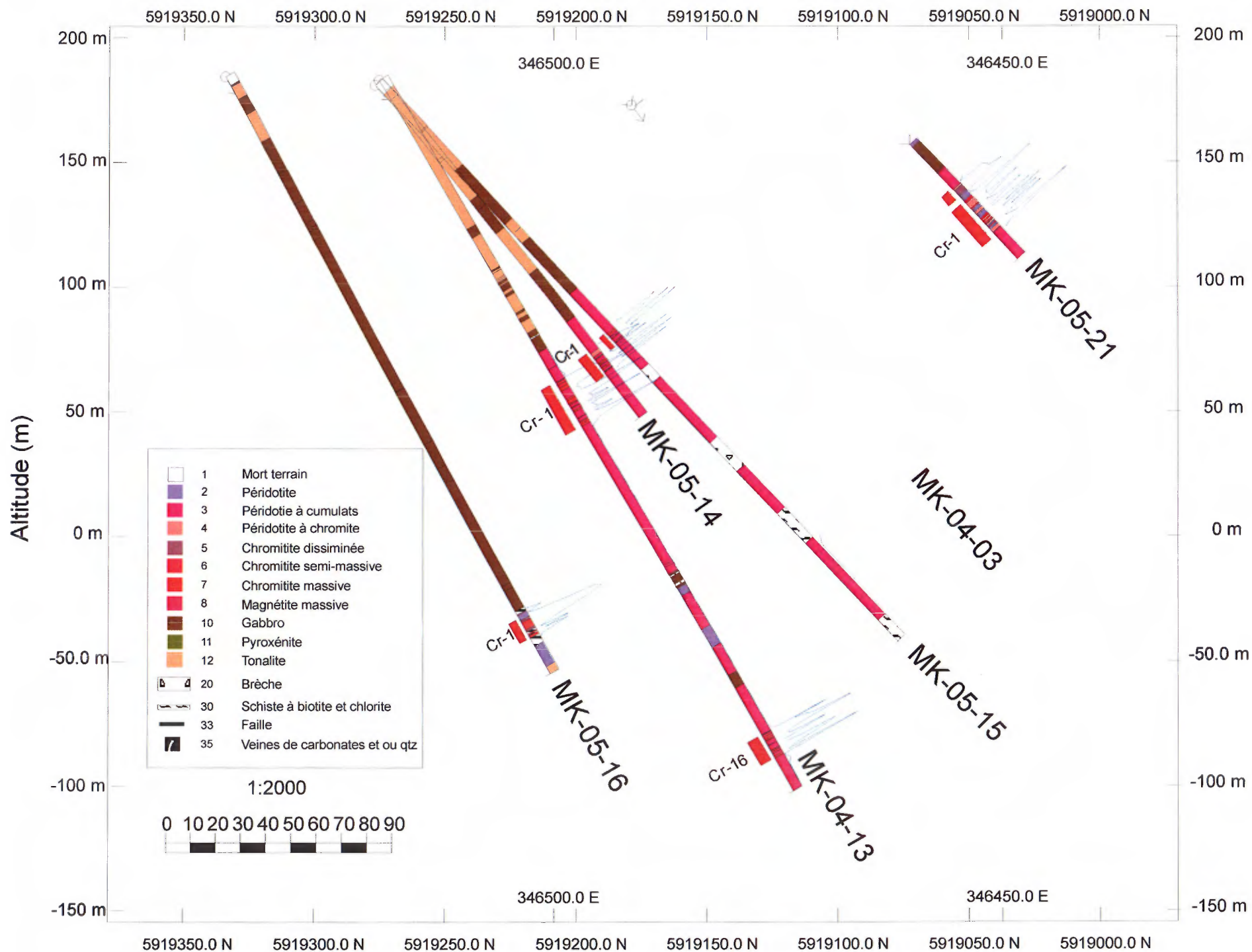
5919150.0 N



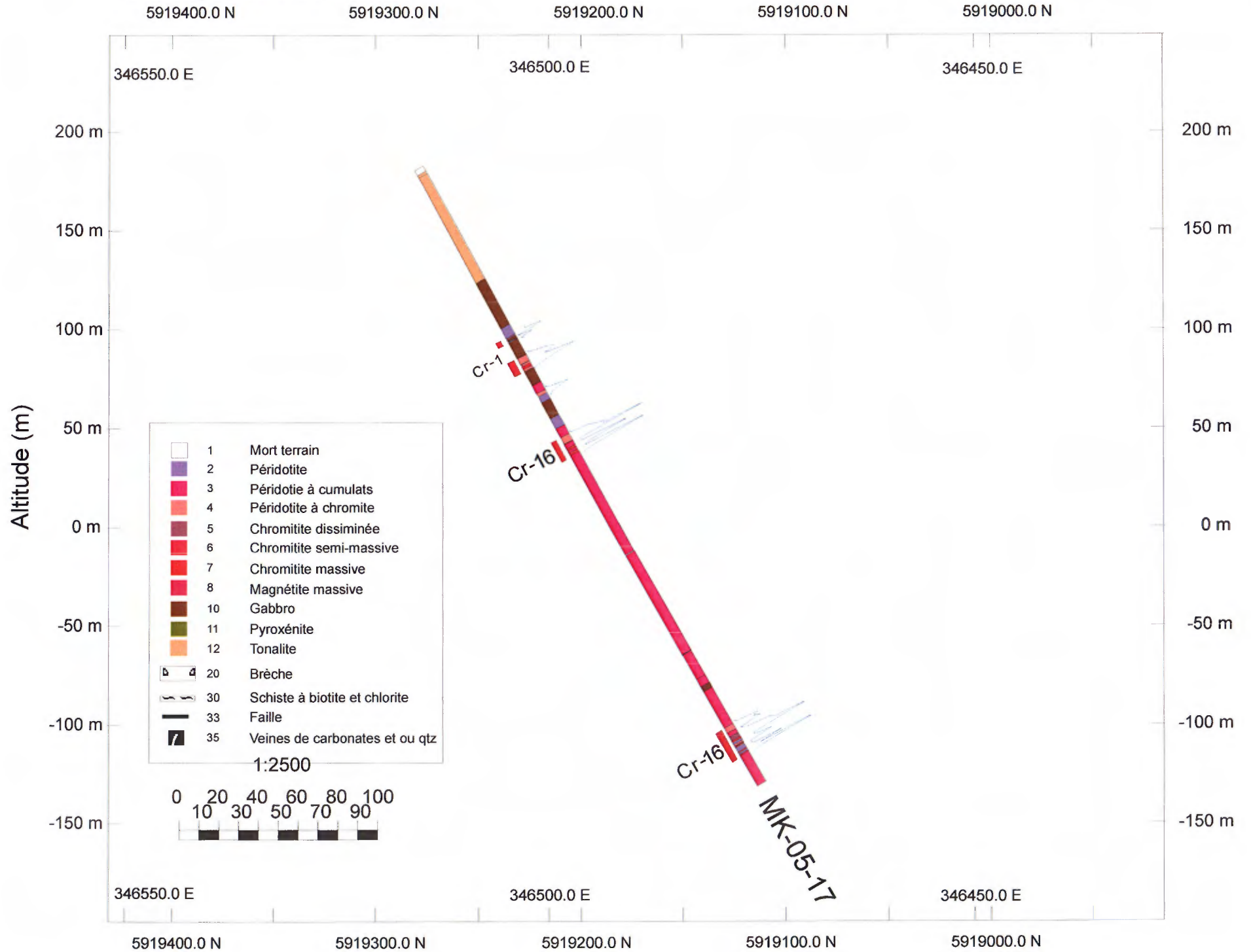
Sondage MK-05-26



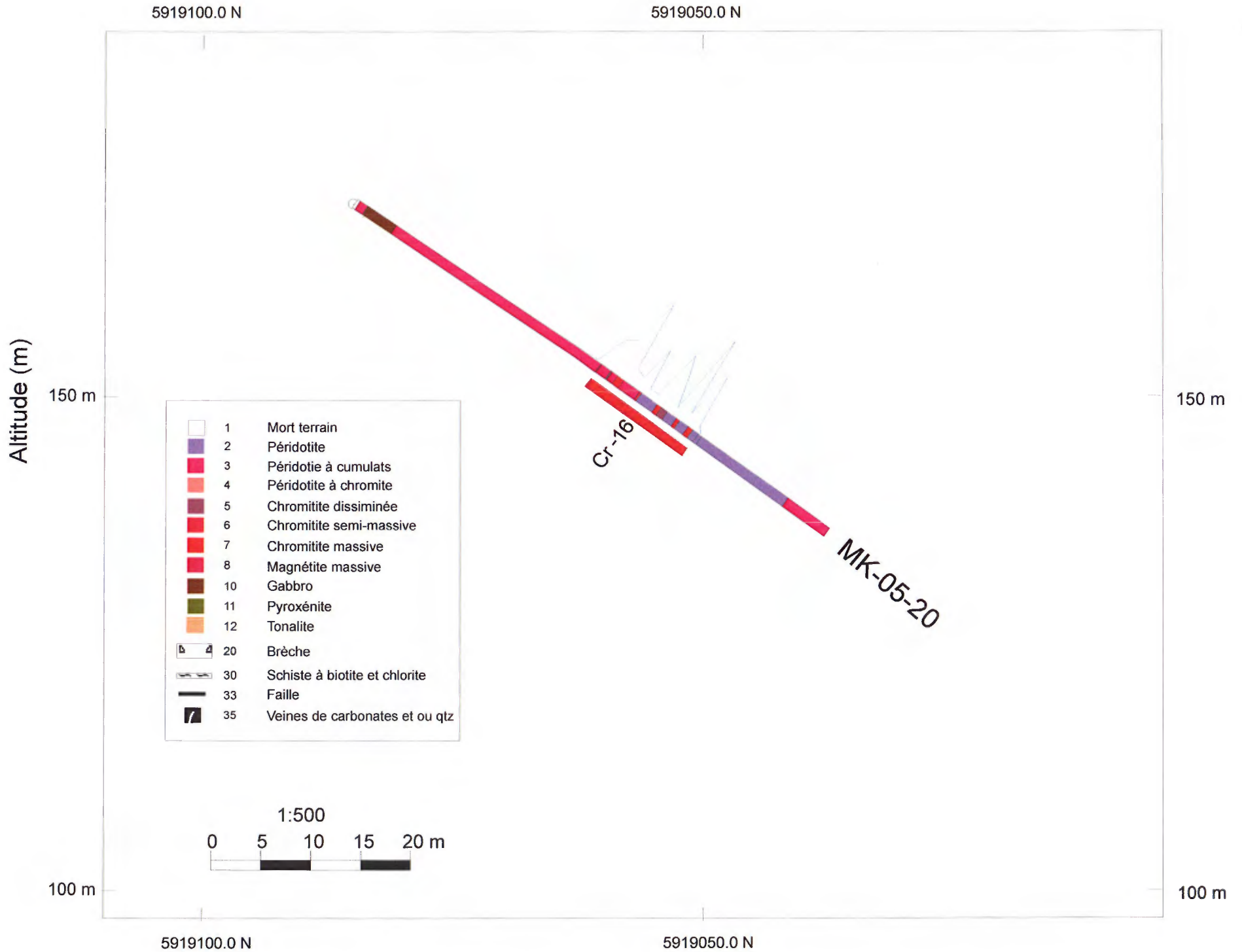
Sondages MK-05-14, MK-05-15, MK-05-16 et MK=05-21



Sondage MK-05-17



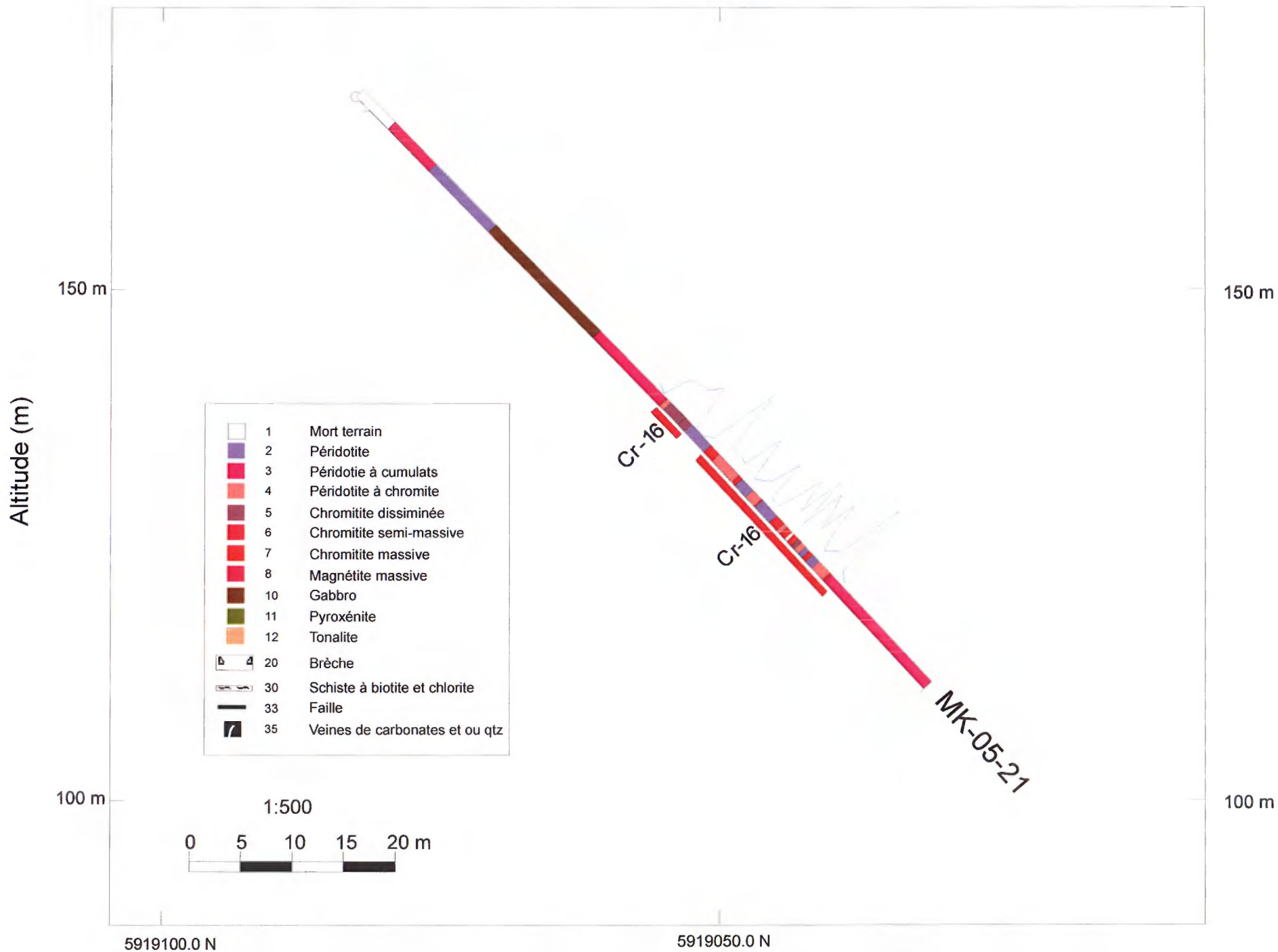
Sondage MK-05-20



Sondage MK-05-21

5919100.0 N

5919050.0 N



Sondage MK-05-22

5919050.0 N

5919000.0 N

Altitude (m)

150 m

150 m

100 m

100 m



1:500

0 5 10 15 20 m

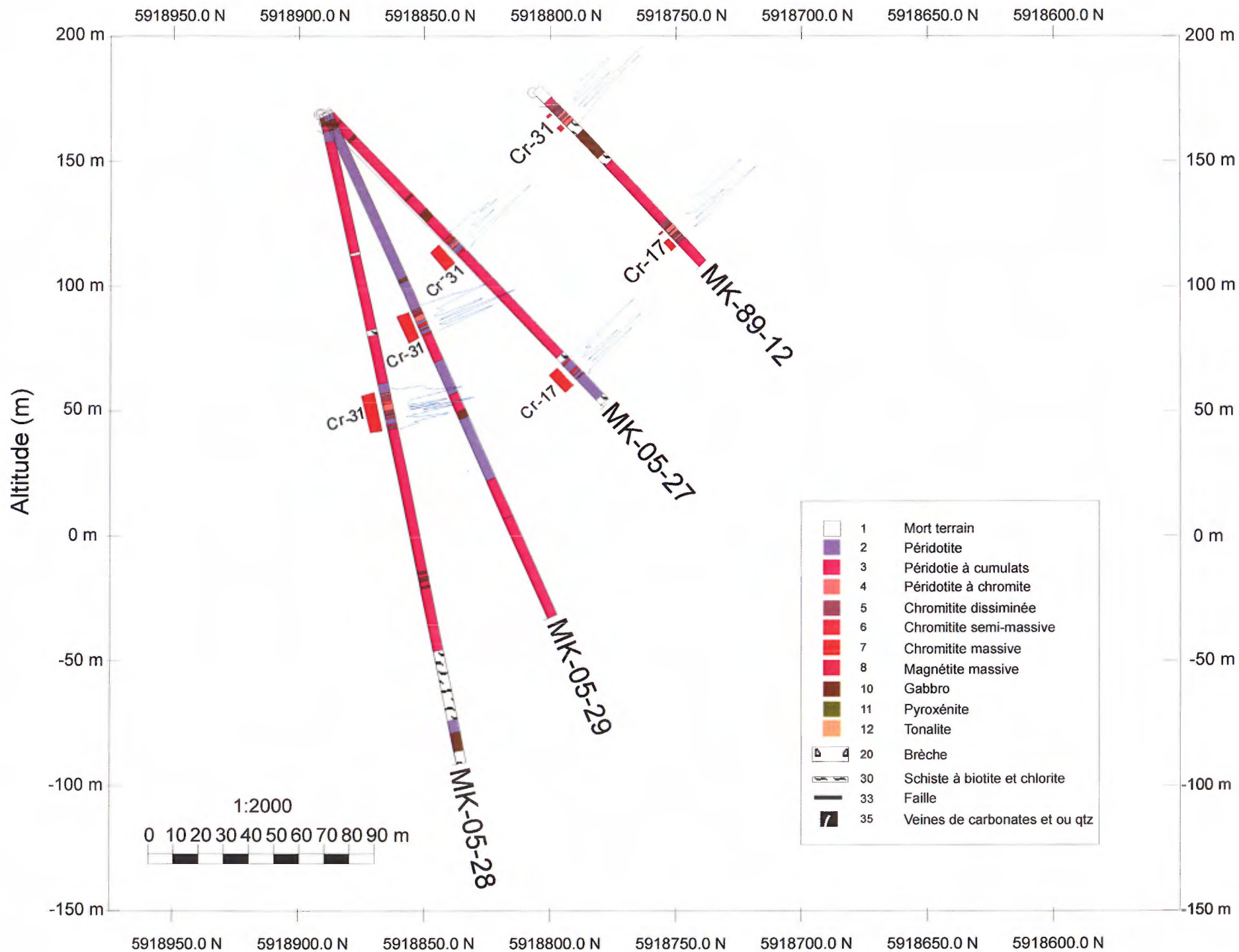


5919050.0 N

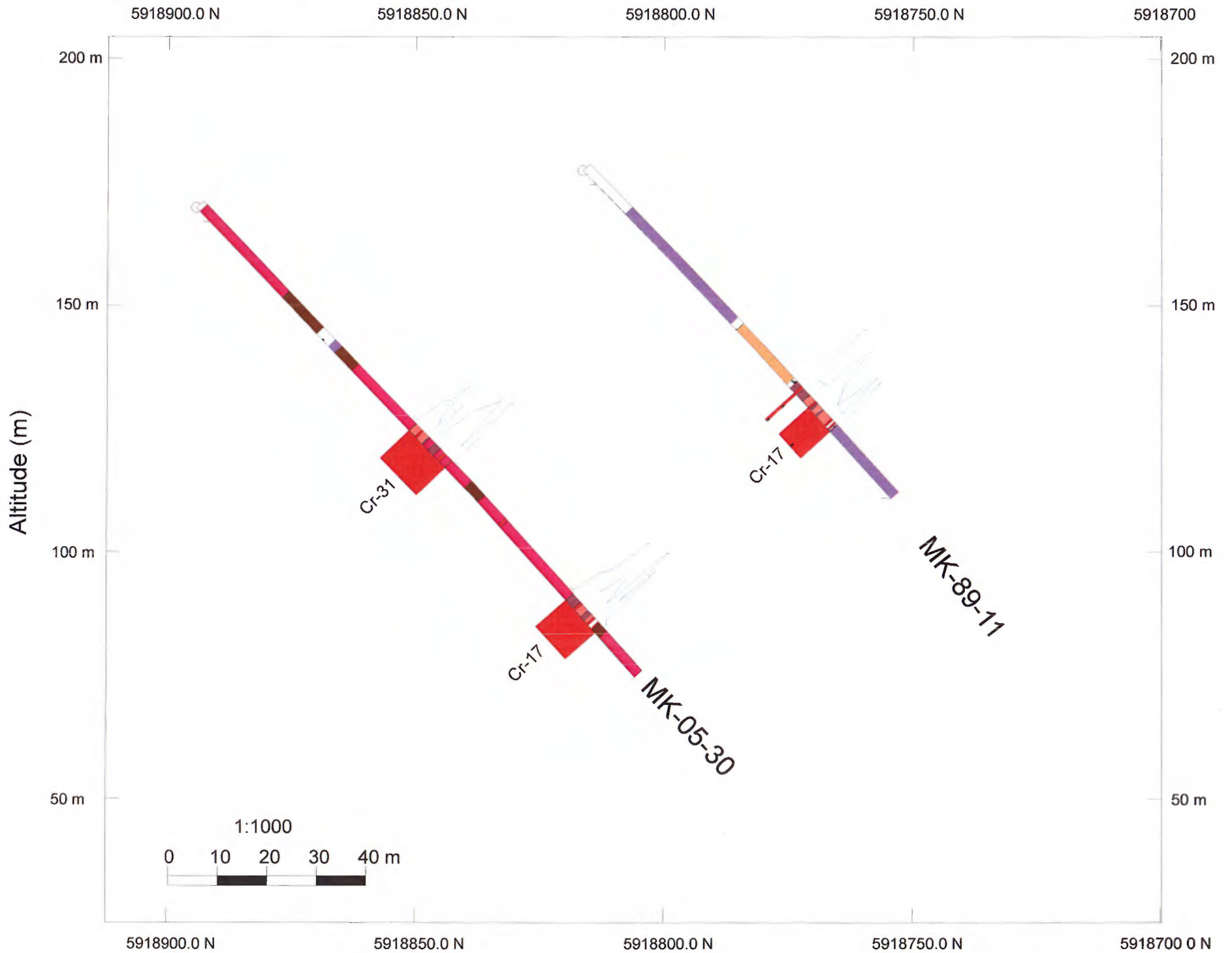
5919000.0 N

MK-05-22

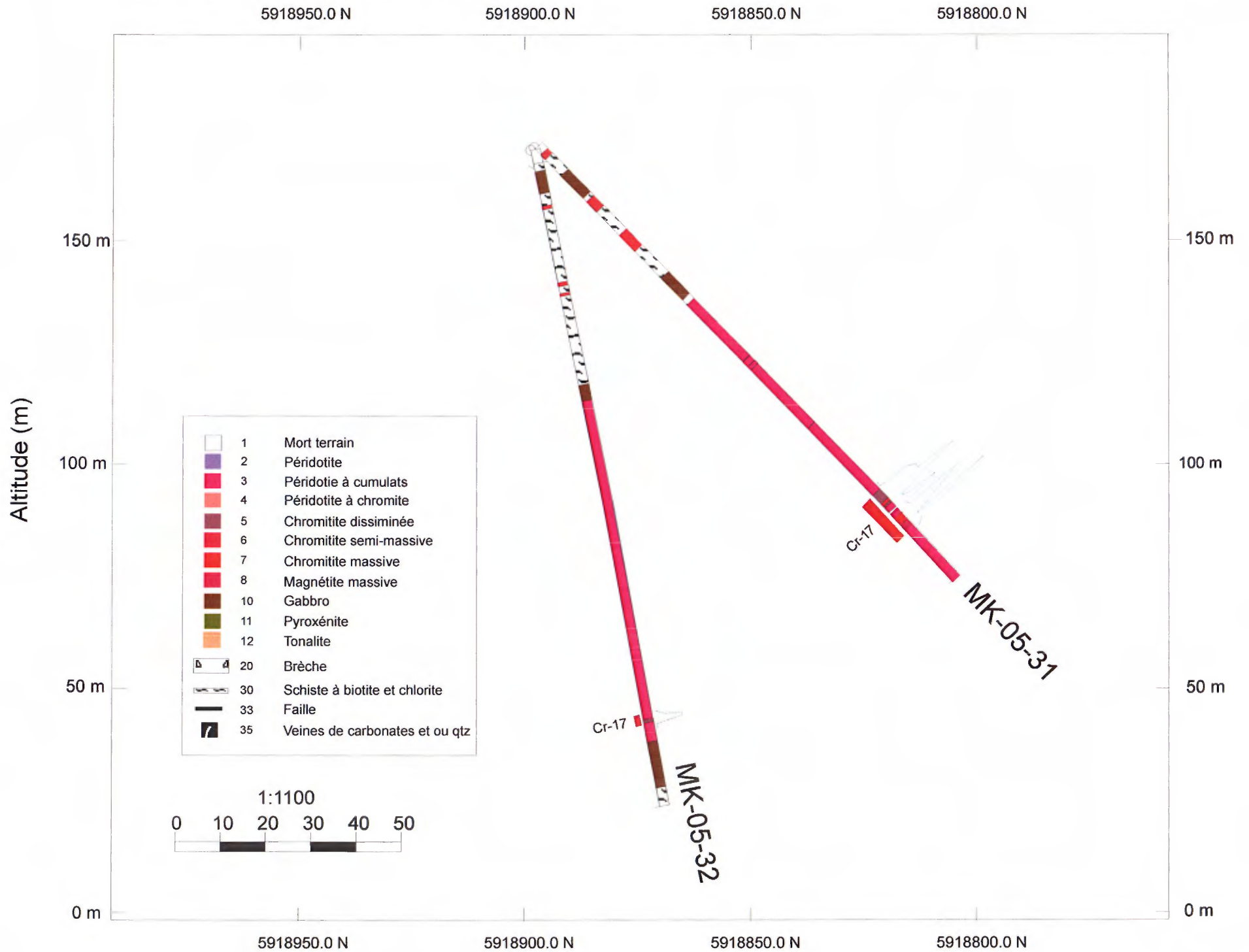
Sondages MK-05-27, MK-05-28 et MK-05-29



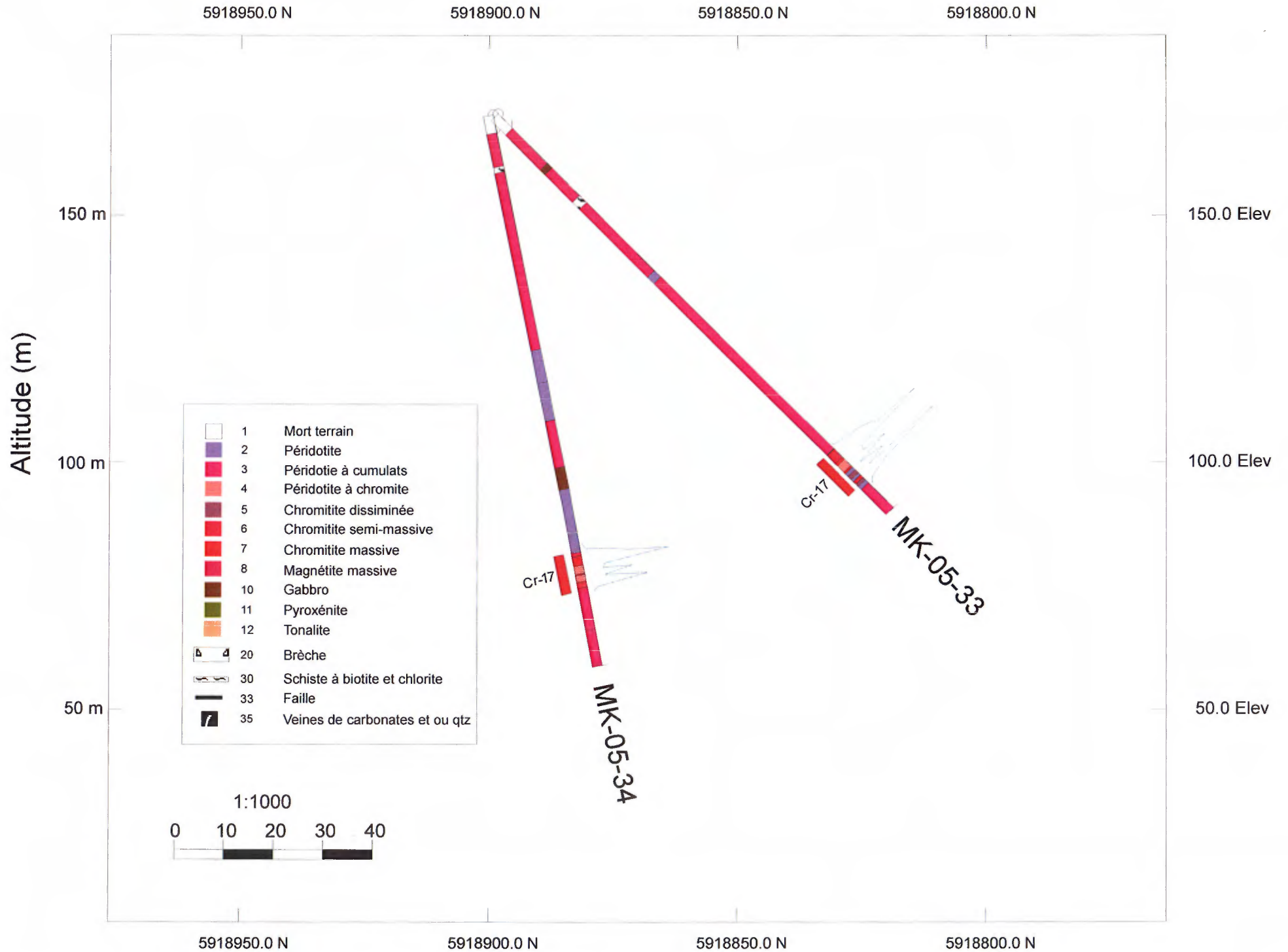
Sondage MK-05-30



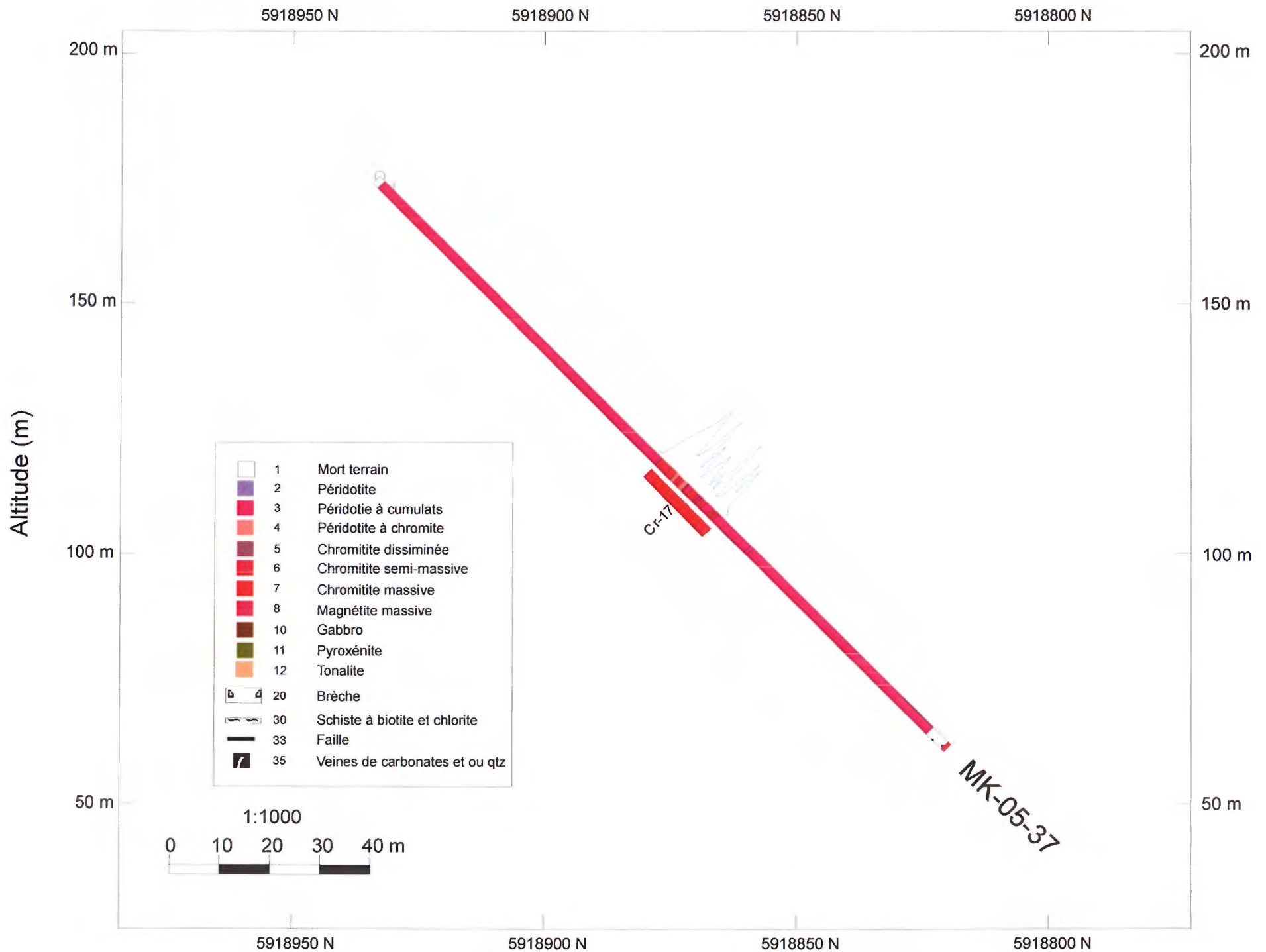
Sondages MK-05-31 et MK-05-32



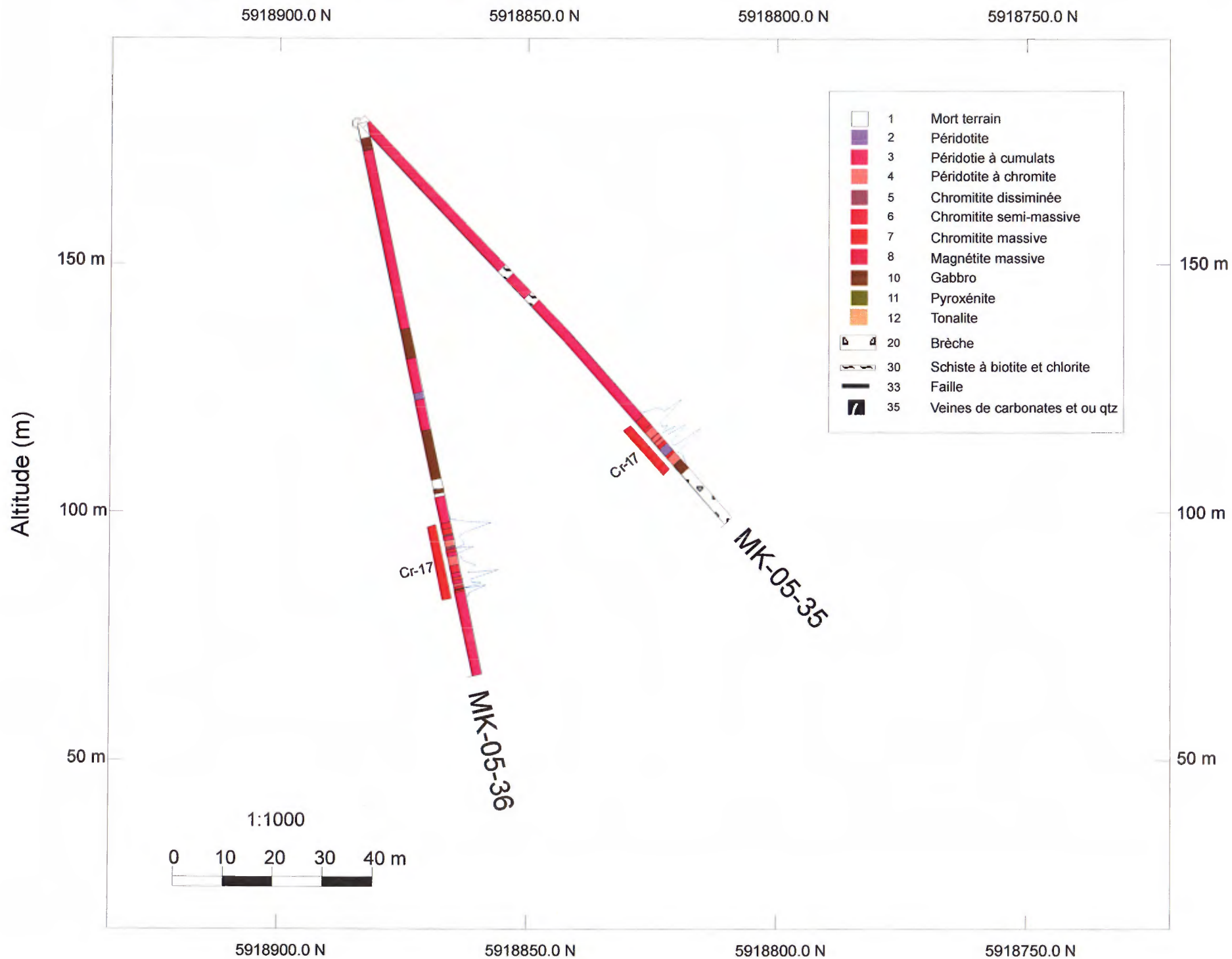
Sondages MK-05-33 et MK-05-34



Sondage MK-05-37



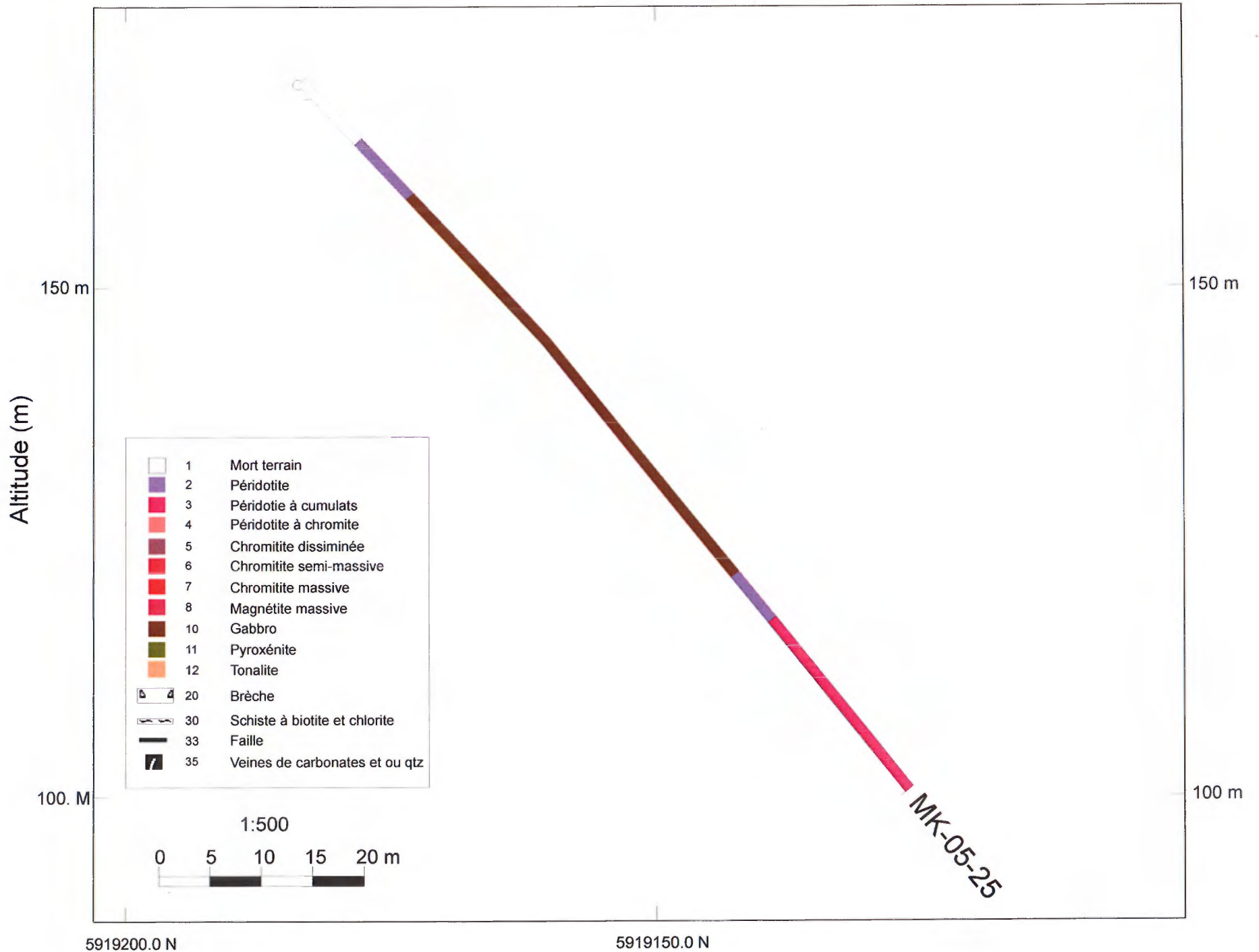
Sondages MK-05-35 et MK-05-36



Sondage MK-05-25

5919200.0 N

5919150.0 N



5919200.0 N

5919150.0 N

ANNEXE V LOG STRATIGRAPHIQUES

SONDAGE MK-05-14

Menarik-nad27-2005-panas2

Segment Start Depth :0.00

Segment End Depth :170.00

		litho-menarik1 (txt)			assaysmenarik1 (txt)				Geoph-menarik (txt)
Depth At	Elevation	Lithology	Description	ZONE	Cr2O3	Au	Pt	Pd	S.I.
			Mort terrain et tubage		5 10 15 20	50 100 150	200 400 600 800	500 1000 1500 2000	100 200 300
25	161.94		Tonalite						
			Tonalite						
50	142.60		Tonalite						
			Tonalite 25%						
			Gabbro fin						
75	123.10		Tonalite						
			Gabbro fin						
100	103.41		Gabbro grossier						
			Périd. cumulative						
125	83.56		Chromitite Cr-1: 2% chrom.	Cr-1					
			100% chrom.						
			Périd. cumulative						
			10% chrom.						
			Périd. cumulative						
			100% chrom.						
			30% chrom.						
			Périd. cumulative						
			100% chrom.						
			Périd. cumulative						
150	63.55		10% chrom.						
			100% chrom.						
			10% chrom.						
			Périd. cumulative						

Scale 1:709

11/23/05

12:39:41

SONDAGE MK-05-15

Menarik-nad27-2005-panas2

Segment Start Depth :0.00

Segment End Depth :305.00

		litho-menarik1 (txt)			assaysmenarik1 (txt)				Geoph-menarik (txt)
Depth At	Elevation	Lithology	Description	ZONE	Cr203	Au	Pt	Pd	S.I.
			Mort terrain et tubage		5	150	200	500	300
			Tonalite		10	100	400	1000	200
			zone cisailée		15	50	200	500	100
			Tonalite		20	150	400	1000	300
50	144.28		Gabbro fin						
			Gabbro fin						
			Tonalite. 50% gabbro						
			Gabbro. 30% tonalite						
100	107.51		Gabbro grossier						
			Périd. cumulative						
			100% chrom.	Cr-1					
			30% chrom.						
			Périd. cumulative						
			100% chrom.						
150	70.94		Périd. cumulative						
			100% chrom.						
			Périd. cumulative						
			30% brèche de faille.						
			30% v.q-c-t						
			Périd. cumulative						
200	34.38		30% brèche de faille.						
			30% v.q-c-t						
			Périd. cumulative						
250	-2.12		Schiste à biotite 30% biotite. 40% qz. 30% felds						
			Péridotite. indice Cr-16 absent						
300	-38.47		Schiste à biotite						

Scale 1:1272

11/23/05

12:41:09

SONDAGE MK-05-16									
Menarik-nad27-2005-panas2									
Segment Start Depth :0.00					Segment End Depth :272.20				
		litho-menarik1 (txt)			assaysmenarik1 (txt)				Geoph-menarik (txt)
Depth At	Elevation	Lithology	Description	ZONE	Cr2O3	Au	Pt	Pd	S.I.
			Mort terrain et tubage						
			Gabbro fin		5	150	800	2000	300
			Tonalite		10	100	400	1500	200
			Gabbro fin		20	50	200	500	100
			Tonalite. 30% gabbro						
			Zone de faille						
			Gabbro fin						
			Roche très fracturée						
50	140.37		Gabbro fin						
			Gabbro						
			Gabbro fin						
			Gabbro grossier						
			Gabbro Tr. Py						
			Gabbro grossier						
			Gabbro v.qtz-calc.						
			Tr. Py						
100	96.22		Gabbro grossier						
			Gabbro v.qtz-calc.						
			Py-Cp diss.						
150	52.11		Gabbro grossier						
			30% Gabbro fin						
			60% brèche de faille						
200	8.20		Gabbro grossier						
			Brèche de faille						
			Gabbro grossier						
			Boue de faille. péridot						
			5% chrom.						
			Péridotite						
			10% chrom.						
			100% chrom						
			5% chrom.						
			Zone cisailée						
			100% chrom						
			Péridotite cisailée						
			100% chrom						
			Zone cisailée						
			Péridotite						
			Tonalite						
250	-35.55			Cr-1					

Scale 1:1135

11/23/05

12:41:51

SONDAGE MK-05-17

Menarik-nad27-2005-panas2

Segment Start Depth :0.00

Segment End Depth :356.10

		litho-menarik1 (txt)			assaysmenarik1 (txt)				Geoph-menarik (txt)
Depth At	Elevation	Lithology	Description	ZONE	Cr2O3	Au	Pt	Pd	S.I.
			Mort terrain et tubage		5 10 15 20	50 100 150	200 400 600 800	500 1000 1500 2000	100 200 300
50	136.57		Tonalite						
			Gabbro grossier						
100	92.48		Péridotite altérée	Cr-1					
			reste 5% chrom.						
			2% chrom.						
			Gabbro						
			5% chrom.						
			Péridotite						
			Gabbro grossier						
			Périd. cumulative						
			2% chrom. Cr-1						
			5% chrom. lit de						
			chrom altéré						
			2% chrom.						
			100% chrom.						
150	48.43		2% chrom.						
			Gabbro grossier						
			Périd. cumulative						
			Péridotite avec 2% ch						
			Péridotite						
			Gabbro grossier						
			Péridotite						
			Périd. cumulative						
			2% chrom.						
			100% chrom.						
			Périd. cumulative						
			100% chrom. diminu						
			Périd. cumulative						
			100% chrom.						
200	4.57		Périd. cumulative						
			brèche de faille						
250	-39.10		Périd. cumulative						
			V.q-c-t						
			Périd. cumulative						
300	-82.64		Périd. cumulative						
			Gabbro						
			Péridotite avec cumu						
			2% chrom. Cr-16	Cr-16					
			Péridotite avec cumu						
			5% chrom.						
			100% chrom.						
			Péridotite						
			2% chrom.						
			100% chrom.						
			2% chrom.						
			100% chrom.						
			Péridotite						
			100% chrom.						
350	-126.03		Péridotite						
			100% chrom.						
			Périd. cumulative						

Scale 1:1485

11/23/05

12:42:16

SONDAGE MK-05-18													
Menarik-nad27-2005-panas2													
Segment Start Depth :0.00					Segment End Depth :328.70								
		litho-menarik1 (txt)			assaysmenarik1 (txt)				Geoph-menarik (txt)				
Depth At	Elevation	Lithology	Description	ZONE	Cr2O3	Au	Pt	Pd	S.I.				
			Mort terrain et tubage										
			Tonalite		5	10	15	20	50	100	150	200	300
			Gabbro à grain fin										
			v.q-c										
			Gabbro à grain fin										
			v.quartz										
50	143.66		Gabbro à grain fin										
			Gabbro grossier										
			Gabbro à grain fin										
			Péridotite										
100	106.58		Gabbro à grain fin										
			ZONE CISAILLÉE										
			Gabbro à grain fin										
150	69.71												
			Périd. cumulative										
200	33.42												
			Zone bréchique										
			Périd. cumulative										
250	-2.61												
			ZONE CISAILLÉE										
			Périd. cumulative										
			Périd. cumulative										
300	-38.80		Brèche de faille										
			Périd. cumulative										
			Brèche de faille										
			Périd. cumulative										

SONDAGE MK-05-19

Menarik-nad27-2005-panas2

Segment Start Depth :0.00

Segment End Depth :258.80

		litho-menarik1 (txt)			assaysmenarik1 (txt)				Geoph-menarik (txt)
Depth At	Elevation	Lithology	Description	ZONE	Cr2O3	Au	Pt	Pd	S.I.
			Mort terrain et tubage		5	50	200	500	100
			Tonalite		10	100	400	1000	200
			Gabbro fin		15	150	600	1500	500
			50% de tonalite		20	200	800	2000	300
50	145.29		Gabbro fin						
			Gabbro grossier						
			Périd. cumulative						
100	109.50		50% Gabbro						
			Périd. cumulative						
			Périd. cumulative						
			Zone cisailée						
			Périd. cumulative						
			20% chrom. Cr-1	Cr-1					
			2% chrom.						
			5% chrom.						
			10% chrom.						
			100% chrom.						
			2% chrom.						
150	73.68		Péridotite						
			10% chrom.						
			Péridotite						
			100% chrom.						
			Péridotite						
			100% chrom.						
			2% chrom.						
			100% chrom.						
200	38.17		Périd. cumulative						
			Gabbro fin						
			Péridotite						
			Schiste à biotite						
			Périd. cumulative						
250	2.82		Schiste à biotite						

Scale 1:1080

11/23/05

13:17:10

SONDAGE MK-05-20									
Menarik-nad27-2005-panas2									
Segment Start Depth :0.00					Segment End Depth :58.00				
		litho-menarik1 (txt)			assaysmenarik1 (txt)				Geoph-menarik (txt)
Depth At	Elevation	Lithology	Description	ZONE	Cr2O3	Au	Pt	Pd	S.I.
			Mort terrain						
			Périd. cumulative		5	50	200	500	100
			Gabbro fin		20	150	800	2000	200
					15	100	400	1500	300
					10		600	1000	
10	163.60								
			Périd. cumulative						
20	157.99								
30	152.28		30% chrom.-Cr-16	Cr-16					
			2% chrom.						
			10% chrom.						
			2% chrom.						
			100% chrom.						
			2% chrom.						
			50% chrom.						
			Péridotite						
			100% chrom.						
			10% chrom.						
40	146.47		Péridotite						
			100% chrom.						
			Péridotite						
			100% chrom.						
			Péridotite						
			100% chrom.						
			Péridotite						
			Zone cisailée						
			Péridotite						
50	140.57								
			Périd. cumulative						

Scale 1:242

11/23/05

13:17:54

SONDAGE MK-05-21

Menarik-nad27-2005-panas2

Segment Start Depth :0.00

Segment End Depth :80.00

		litho-menarik1 (txt)			assaysmenarik1 (txt)				Geoph-menarik (txt)
Depth At	Elevation	Lithology	Description	ZONE	Cr2O3	Au	Pt	Pd	S.I.
			Mort terrain		5 10 15 20	50 100 150	200 400 600 800	500 1000 1500 2000	100 200 300
10	161.81		Périd. cumulative						
			Péridotite						
20	154.67		Gabbro moyen (1 à 2 mm)						
30	147.50		Périd. cumulative fracturée						
40	140.28		100% chrom. Cr-16	Cr-16					
			2% chrom.						
			5% chrom.						
			10% chrom.						
			Péridotite						
50	133.02		100% chrom.	Cr-16					
			2% chrom.						
			100% chrom.						
			Péridotite						
			2% chrom.						
			100% chrom.						
			Péridotite						
60	125.71		100% chrom.						
			2% chrom.						
			100% chrom.						
			Breche de faille						
			100% chrom.						
			10% chrom.						
			2% chrom.						
			Péridotite						
			100% chrom.						
			Péridotite						
			2% chrom.						
			100% chrom.						
70	118.36		Périd. cumulative						

Scale 1:334

11/23/05

13:18:19

SONDAGE MK-05-22

Menarik-nad27-2005-panas2

Segment Start Depth :0.00

Segment End Depth :76.40

		litho-menarik1 (txt)			assaysmenarik1 (txt)				Geoph-menarik (txt)
Depth At	Elevation	Lithology	Description	ZONE	Cr2O3	Au	Pt	Pd	S.I.
			Mort terrain		5 10 15 20	50 100 150	200 400 600 800	500 1000 1500 2000	100 200 300
10	160.10		Périd. cumulative						
20	152.94								
30	145.72		Périd. cumulative fracturée						
40	138.44								
50	131.11		Péridotite						
60	123.72		Périd. cumulative. pas de Cr-16						
70	116.29								
			Zone cisillée						

Scale 1:319

11/23/05

13:18:54

SONDAGE MK-05-23

Menarik-nad27-2005-panas2

Segment Start Depth :0.00

Segment End Depth :97.40

		litho-menarik1 (txt)			assaysmenarik1 (txt)				Geoph-menarik (txt)
Depth At	Elevation	Lithology	Description	ZONE	Cr2O3	Au	Pt	Pd	S.I.
			Mort terrain et tubage		5	50	200	500	100
10	166.60		Périd. cumulative		20	150	800	2000	300
					15	100	600	1500	200
20	159.44		v.q-c-t		10	50	400	1000	100
			Périd. cumulative						
30	152.22		Gabbro						
40	144.95		Fracturée et cisailée Zone cisailée Fracturée et cisailée						
50	137.61		Périd. cumulative						
60	130.23		Péridotite Périd. cumulative Péridotite						
70	122.81		Périd. cumulative	Cr-1					
			2% chrom.-Cr1						
			5% chrom.						
			10% chrom.						
			100% chrom.						
			5% chrom.						
			Périd. cumulative						
80	115.34		50% chrom.						
			Périd. cumulative						
			60% chrom.						
			10% chrom.						
			Périd. cumulative						
			v.q-c						
			100% chrom.						
90	107.84		Périd. cumulative						
			100% chrom.						

Scale 1:406

11/23/05

13:19:22

SONDAGE MK-05-24									
Menarik-nad27-2005-panas2									
Segment Start Depth :0.00					Segment End Depth :43.00				
		litho-menarik1 (txt)			assaysmenarik1 (txt)				Geoph-menarik (txt)
Depth At	Elevation	Lithology	Description	ZONE	Cr2O3	Au	Pt	Pd	S.I.
			Mort terrain		5 10 15 20	50 100 150	200 400 600 800	500 1000 1500 2000	100 200 300
5	168.95		Périd. cumulative						
			2% chrom.-Cr1						
			100% chrom.						
			2% chrom.						
			5% chrom.						
			100% chrom.						
10	165.39		1% chrom.						
			5% chrom.						
			Périd. cumulative	Cr-1					
			100% chrom. diminuant à 30%						
15	161.81		Périd. cumulative						
			100% chrom.						
			Périd. cumulative						
			100% chrom.						
20	158.22		Péridotite						
25	154.60								
30	150.97		Périd. cumulative						
35	147.32								
40	143.65		QFP						

SONDAGE MK-05-25

Menarik-nad27-2005-panas2

Segment Start Depth :0.00

Segment End Depth :91.50

		litho-menarik1 (txt)			assaysmenarik1 (txt)				Geoph-menarik (txt)
Depth At	Elevation	Lithology	Description	ZONE	Cr2O3	Au	Pt	Pd	S.I.
			Mort terrain		5 10 15 20	50 100 150	200 400 600 800	500 1000 1500 2000	100 200 300
10	162.86		Péridotite						
20	155.58		Gabbro fin						
30	148.17								
40	140.62		Gabbro grossier						
50	132.98								
60	125.26								
70	117.45		Péridotite						
80	109.55		Périd. cumulative						
90	101.56								

Scale 1:382

11/23/05

13:20:12

SONDAGE MK-05-26

Menarik-nad27-2005-panas2

Segment Start Depth :0.00

Segment End Depth :136.00

		litho-menarik1 (txt)			assaysmenarik1 (txt)				Geoph-menarik
Depth At	Elevation	Lithology	Description	ZONE	Cr2O3	Au	Pt	Pd	S.I.
			Mort terrain						
			Gabbro grossier		5	50	200	500	100
10	173.09				15	100	400	1000	200
			Gabbro à grain moyen		20	150	600	1500	300
20	165.92								
			Gabbro grossier						
30	158.69								
			Schiste à biotote						
40	151.39								
			Périd. cumulative						
50	144.02								
			Gabbro grossier						
60	136.58								
			Périd. cumulative						
70	129.09								
			Gabbro grossier						
80	121.55								
			Périd. cumulative						
90	113.95								
			2% chrom. Cr-1	Cr-1					
110	98.58		zone cisailée						
			50% chromite massiv						
			Périd. cumulative						
			100% chrom.	Cr-1					
			60% chrom.						
120	90.82		Périd. cumulative						
			100% chrom.						
			Périd. cumulative						
			100% chrom.						
			Péridotite						
130	82.99		Périd. cumulative						

Scale 1:567

11/23/05

13:20:36

SONDAGE MK-05-27

Menarik-nad27-2005-panas2

Segment Start Depth :0.00

Segment End Depth :161.10

		litho-menarik1 (txt)			assaysmenarik1 (txt)				Geoph-menarik (txt)
Depth At	Elevation	Lithology	Description	ZONE	Cr2O3	Au	Pt	Pd	S.I.
			Mort terrain						
			Périd. cumulative		5	150	800	2000	300
			Gabbro		10	100	400	1500	200
			Périd. cumulative		15	50	200	500	100
			Gabbro		20				
25	151.03		Périd. cumulative						
			Gabbro						
50	133.06		Périd. cumulative						
			Gabbro						
			Périd. cumulative						
75	114.91		100% chrom.-Cr-31	Cr-31					
			50% chrom.						
			100% chrom.						
			10% chrom.						
			100% chrom.						
			Péridotite						
			2% chrom.						
			100% chrom.						
			Péridotite						
			100% chrom.						
			Péridotite						
			100% chrom.						
100	96.64		Périd. cumulative						
125	78.42								
			Schiste à biotite						
			Péridotite						
			100% chrom.-Cr-17	Cr-17					
			Péridotite						
			100% chrom.						
			diminuant à 0% Chr.						
			Péridotite						
			100% chrom.						
			Péridotite						
			100% chrom.						
			Péridotite						
150	60.24		Schiste à biotite						

Scale 1:672

11/23/05

13:21:03

SONDAGE MK-05-28

Menarik-nad27-2005-panas2

Segment Start Depth :0.00

Segment End Depth :266.00

		litho-menarik1 (txt)			assaysmenarik1 (txt)				Geoph-menarik (txt)
Depth At	Elevation	Lithology	Description	ZONE	Cr2O3	Au	Pt	Pd	S.I.
			Mort terrain et tubage						
			60% gabbro						
			Périd. cumulative		5	150	800	2000	300
			Péridotite fracturée		10	100	400	1500	200
					20	50	200	500	100
			Périd. cumulative						
50	119.95								
			Péridotite bréchifiée						
			Périd. cumulative						
			Schiste à biotite						
100	71.19								
			Périd. cumulative						
			Péridotite						
			100% chrom.-Cr-31	Cr-31					
			2% chrom.						
			5% chrom.						
			100% chrom.						
			2% chrom.						
			50% chrom.						
			2% chrom.						
			5% chrom.						
			2% chrom.						
			100% chrom.						
150	22.23		Péridotite						
			100% chrom.						
			Péridotite						
			5% chrom. massive.						
			Péridotite bréchifiée						
			Périd. cumulative						
			Gabbro						
			Périd. cumulative						
			Gabbro						
			Périd. cumulative						
			Gabbro						
200	-26.82								
			Périd. cumulative						
			Schiste à biotite						
250	-75.79		Péridotite						
			Gabbro fin						
			Péridotite bréchifiée						

Scale 1:1110

11/23/05

13:21:40

SONDAGE MK-05-29

Menarik-nad27-2005-panas2

Segment Start Depth :0.00

Segment End Depth :221.20

		litho-menarik1 (txt)			assaysmenarik1 (txt)				Geoph-menarik (bt)
Depth At	Elevation	Lithology	Description	ZONE	Cr2O3	Au	Pt	Pd	S.I.
			Mort terrain et tubage Péridotite Gabbro fin		5 10 20	50 100 150	200 400 600 800	500 1000 1500 2000	100 200 300
25	146.25		Péridotite						
50	123.50								
75	100.75		Gabbro Péridotite						
100	77.99		5% chrom.-Cr-31 10% chrom. 100% chrom. 5% chrom. 2% chrom. 100% chrom. 100% chrom. diminuant à 10% Péridotite 100% chrom. Péridotite 100% chrom. Périd. cumulative Péridotite brechifiée. 20% fragment	Cr-31					
125	55.18		Périd. cumulative Gabbro						
150	32.32		Péridotite fracturée						
175	9.41		Périd. cumulative						
200	-13.54		Périd. cumulative						

Scale 1:923

11/23/05

13:22:05

SONDAGE MK-05-30

Menarik-nad27-2005-panas2

Segment Start Depth :0.00

Segment End Depth :129.90

		litho-menarik1 (txt)			assaysmenarik1 (txt)				Geoph-menarik (txt)
Depth At	Elevation	Lithology	Description	ZONE	Cr2O3	Au	Pt	Pd	S.I.
			Mort terrain		5 10 15 20	50 100 150	200 400 600 800	500 1000 1500 2000	100 200 300
10	162.61		Périd. cumulative						
20	155.48		zone cisailée						
30	148.31		Gabbro						
40	141.11		Brèche de faille						
			Péridotite						
			Gabbro fin						
50	133.87		Périd. cumulative						
60	126.59		100% chrom. Cr-17	Cr-17					
			2% chrom.						
			100% chrom.						
			1% chrom.						
			30% chrom.						
70	119.27		20% chrom.						
			Péridotite						
			100% chrom.						
			Péridotite						
			100% chrom.						
			5% v.q-c-t						
80	111.92		Gabbro						
			Périd. cumulative						
90	104.52		Brèche de faille						
			Périd. cumulative						
100	97.10								
110	89.64		100% chrom.-Cr-31	Cr-31					
			5% chrom.						
			20% chrom.						
			100% chrom.						
			2% chrom.						
			20% chrom.						
			2% chrom.						
			100% chrom.						
120	82.14		Brèche de faille						
			100% chrom.						
			Gabbro fin						
			Périd. cumulative						

Scale 1:542

11/23/05

13:22:29

SONDAGE MK-05-31

Menarik-nad27-2005-panas2

Segment Start Depth :0.00

Segment End Depth :133.80

		litho-menarik1 (txt)			assaysmenarik1 (txt)				Geoph-menarik (txt)
Depth At	Elevation	Lithology	Description	ZONE	Cr2O3	Au	Pt	Pd	S.I.
			Mort terrain						
			Intrusif de QFP		5	50	200	500	100
			Schiste à biotite		15	100	400	1000	200
10	163.22		Gabbro		20	150	600	1500	300
			Schiste à biotite						
			Intrusif de QFP						
20	156.11		Schiste à biotite						
			Intrusif de QFP						
30	148.99		Schiste à biotite						
			Intrusif de QFP						
40	141.84		Schiste à biotite						
			Gabbro						
			Brèche de faille						
50	134.67		Périd. cumulative						
60	127.47		Périd. cumulative						
			Périd. cumulative						
			Périd. cumulative						
70	120.26		Périd. cumulative						
			Périd. cumulative						
80	113.02		Périd. cumulative						
			Périd. cumulative						
90	105.76		Périd. cumulative						
100	98.48		Périd. cumulative						
			100% chrom.-Cr-17						
			5% chrom.						
110	91.18		100% chrom.	Cr-17					
			5% chrom.						
			Périd. cumulative						
			20% chrom.						
			Périd. cumulative						
120	83.84		100% chrom.						
			Périd. cumulative						
			100% chrom.						
130	76.45		Périd. cumulative						

Scale 1:558

11/23/05

13:23:00

SONDAGE MK-05-32

Menarik-nad27-2005-panas2

Segment Start Depth :0.00

Segment End Depth :149.20

		litho-menarik1 (txt)			assaysmenarik1 (txt)				Geoph-menarik (txt)
Depth At	Elevation	Lithology	Description	ZONE	Cr2O3	Au	Pt	Pd	S.I.
			Mort terrain		5	50	200	500	100
			Schiste à biotite		10	100	400	1000	200
			Gabbro grossier		15	150	600	1500	300
10	160.32		Schiste à biotite		20	200	800	2000	
			Intrusif QFP						
20	150.53		Schiste à biotite						
30	140.74		Intrusif QFP						
			Schiste à biotite						
			Intrusif QFP						
40	130.94		Schiste à biotite						
50	121.14		Gabbro grossier. cisailé						
60	111.33		Périd. cumulative						
70	101.52								
80	91.71								
90	81.89								
100	72.06								
110	62.24								
120	52.40								
130	42.57		chrom. Masive-Cr-17 10% chrom.	Cr-17					
			Périd. cumulative						
140	32.73		Gabbro grossier						
			Schiste à biotite						

Scale 1:622

11/23/05

13:23:36

SONDAGE MK-05-33

Menarik-nad27-2005-panas2

Segment Start Depth :0.00

Segment End Depth :112.70

		litho-menarik1 (txt)			assaysmenarik1 (txt)				Geoph-menarik (txt)
Depth At	Elevation	Lithology	Description	ZONE	Cr2O3	Au	Pt	Pd	S.I.
			Mort terrain		5 10 15 20	50 100 150	200 400 600 800	500 1000 1500 2000	100 200 300
10	163.53		Périd. cumulative						
			Gabbro						
20	156.46		Périd. cumulative						
			Schiste à biotite						
30	149.39		Périd. cumulative						
40	142.32		Péridotite cisailée						
50	135.24		Périd. cumulative						
60	128.17		Périd. cumulative						
70	121.10		Périd. cumulative						
80	114.03		Périd. cumulative						
90	106.96		Périd. cumulative						
100	99.89		5% chrom.-Cr-17	Cr-17					
			100% chrom.						
			20% chrom.						
			100% chrom.						
			2% chrom.						
			100% chrom.						
			10% chrom.						
			massive. Péridotite						
			Péridotite						
			100% chrom.						
110	92.82		massive. Péridotite						
			Péridotite						
			Périd. cumulative						

Scale 1:470

11/23/05

13:24:10

SONDAGE MK-05-34

Menarik-nad27-2005-panas2

Segment Start Depth :0.00

Segment End Depth :113.60

		litho-menarik1 (txt)			assaysmenarik1 (txt)				Geoph-menarik (txt)
Depth At	Elevation	Lithology	Description	ZONE	Cr2O3	Au	Pt	Pd	S.I.
			Mort terrain		5	50	200	500	100
			Périd. cumulative		20	150	800	2000	300
10	160.62		Schiste à biotite		10	100	400	1000	200
20	150.83				15				
30	141.04		Périd. cumulative						
40	131.24								
50	121.44		Péridotite. 1% fractures de magnétite						
60	111.63		Péridotite. 1% fractures						
70	101.82		Périd. cumulative						
			Gabbro						
80	92.01		Péridotite. 1% fracture de magnétite						
90	82.19		20% chrom.-Cr-17	Cr-17					
			100% chrom.						
			2% chrom.						
			60% chrom.						
			2% chrom.						
100	72.36		100% chrom.						
			Périd. cumulative						
110	62.54		Périd. cumulative						

Scale 1:474

11/23/05

13:24:34

SONDAGE MK-05-35

Menarik-nad27-2005-panas2

Segment Start Depth :0.00

Segment End Depth :109.70

		litho-menarik1 (txt)			assaysmenarik1 (txt)				Geoph-menarik (txt)
Depth At	Elevation	Lithology	Description	ZONE	Cr2O3	Au	Pt	Pd	S.I.
			Mort terrain		5 10 15 20	50 100 150	200 400 600 800	500 1000 1500 2000	100 200 300
10	171.40								
20	164.23		Périd. cumulative						
30	157.01								
40	149.73		Schiste à biotite						
			Périd. cumulative						
50	142.39		Schiste à biotite						
60	134.98		Périd. cumulative						
70	127.53								
80	120.05								
			100% chrom.-Cr-17	Cr-17					
			20% chrom.						
			100% chrom.						
			2% chrom.						
			100% chrom.						
			2% chrom.						
			100% chrom.						
			2% chrom.						
			Péridotite						
			100% chrom.						
			2% chrom.						
			Gabbro						
100	104.98		Brèche intrusive cisailée						

Scale 1:458

11/23/05

13:25:01

SONDAGE MK-05-36

Menarik-nad27-2005-panas2

Segment Start Depth :0.00

Segment End Depth :113.70

		litho-menarik1 (txt)			assaysmenarik1 (txt)				Geoph-menarik (txt)
Depth At	Elevation	Lithology	Description	ZONE	Cr2O3	Au	Pt	Pd	S.I.
			Mort terrain						
			Gabbro		5	150	200	500	300
					10	100	400	1000	200
					20	50	600	2000	100
10	168.42								
			Périd. cumulative						
20	158.64								
30	148.86								
40	139.07								
			Gabbro						
50	129.29		Périd. cumulative						
			Zone cisailée						
60	119.51		Périd. cumulative						
70	109.73		Gabbro cisailé						
			Brèche de faille						
			Gabbro cisailé						
			Brèche de faille						
80	99.95		Périd. cumulative						
			60% chrom.-Cr-17						
			100% chrom.						
			5% chrom.						
			Périd. cumulative						
			2% chrom.						
90	90.17		10% chrom.						
			Périd. cumulative						
			100% chrom.						
			Périd. cumulative						
			1% chrom.						
			50% chrom.						
			Périd. cumulative						
			100% chrom.						
100	80.39		Périd. cumulative						
			2% chrom.						
			30% chrom. Massive						
			Gabbro						
			100% chrom.						
110	70.60		Périd. cumulative						

Scale 1:474

11/23/05

13:25:22

SONDAGE MK-05-37

Menarik-nad27-2005-panas2

Segment Start Depth :0.00

Segment End Depth :160.70

		litho-menarik1 (txt)			assaysmenarik1 (txt)				Geoph-menarik (txt)
Depth At	Elevation	Lithology	Description	ZONE	Cr2O3	Au	Pt	Pd	S.I.
			Mort terrain et tubage		5 20 15 10	50 150 100	200 800 600 400	500 2000 1500 1000	100 300 200
25	157.82								
50	140.14		Périd. cumulative						
75	122.47								
100	104.79		20% chrom.-Cr-17 100% chrom. 2% chrom. 20% chrom. 100% chrom. 2% chrom. 50% chrom. Périd. cumulative 100% chrom. Diminuant à 10% Périd. cumulative 50% chrom. Périd. cumulative 100% chrom. Périd. cumulative 100% chrom. Périd. cumulative 100% chrom. Périd. cumulative Brèche de faille	Cr-17					
125	87.11		Brèche de faille						
150	69.43		Brèche intrusive cisailée Intrusif QFP						

Scale 1:670

11/23/05

13:26:03